



Röhren-Dokumente

Zweiweg-Hochvakuum - Netzgleichrichterröhre

FUNKWERK-Sammlung, Gruppe Röhrentechnik 2 Blätter

AZ 11

AZ 1

AZ 21 [PhV]

AZ 31 [PhV]

AZ 41 [Ph]

RGN 1064 [Tel]

G 1064 (V)

1805 [Ph]

Blatt 1

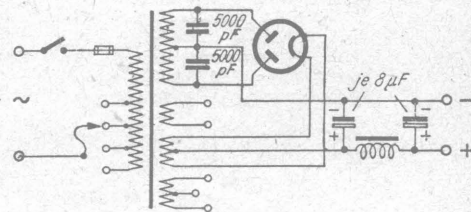
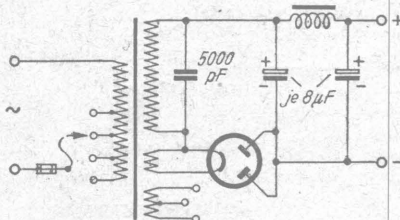
Heizung:

Bandkathode mit aufgespritzter Oxydschicht. Direkt geheizt.
Ältere Ausführung der RGN 1064 (speziell TKD-Fabrikation)
mit gespritzter enger Wendel nicht so hoch belastbar.

Heizspannung	U_f	4 Volt ~, dir
Heizstrom	I_f	1,1 A (AZ11, AZ1, AZ31)
		1 A (AZ21, RGN 1064, 1805)

0,625 A (AZ41)

Betriebswerte: Siehe Kennlinienfelder



Einweggleichrichtung mit Zweiweggleichrichterröhre

Zweiweggleichrichtung

Verwendung einer Zweiweggleichrichterröhre zur Einweggleichrichtung:

a) Es wird nur eine Anode verwendet, die andere freigelassen. Nur die halbe Belastung ist zulässig, und entsprechend darf nur der halbe maximale Anodenstrom entnommen werden.

b) Beide Anoden werden parallel geschaltet. Die Belastung und die Stromstärke entsprechen denen der Zweiweggleichrichtung.

Zweiweggleichrichtung mit zwei Röhren mit parallel geschalteten Anoden: Belastung und Stromstärke können doppelt so groß sein wie bei einer Röhre in Zweiweggleichrichtung.

Betriebshinweise: Siehe bei der AZ12

Grenzwerte pro System:

Ladekondensator	$C_L \text{ max}$	60 μF (AZ11, AZ1, AZ21, AZ31, AZ41)
Transformatorspannung, Effektivwert entnehmbarer Gleichstrom	$U_{tr \text{ eff max}}$	32 μF (RGN 1064, G 1064, 1805)
Gleichrichterbelastung ($U_{tr \text{ eff}} \times I_{\text{max}}$)	I_{max}	2 x 500 Volt
	$N_{gl \text{ max}}$	120 mA
		ältere Daten neuere Daten
		30 36 Watt

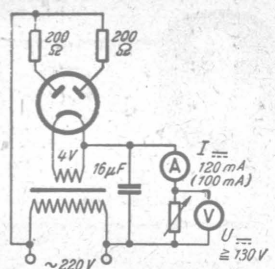
Hieraus ergeben sich für beide Systeme bei Zweiweggleichrichtung bei den einzelnen Transformatorspannungen folgende Werte:

Bei einer Transformatorspannung ($U_{tr \text{ eff}}$) von ... Volt	beträgt der maximal entnehmbare Gleichstrom (I_{max}) ... mA	ältere Daten	neuere Daten
2 x 500	60	70	
2 x 400	75	90	
2 x 350	85	100	
2 x 300	100	120	
< 2 x 300	100	120	

Die neueren Daten werden propagiert von Telefunken für die AZ11 und AZ1,
von Philips-Valvo für die AZ11, AZ21 und AZ41;
die älteren Daten werden propagiert von Telefunken für die RGN 1064,
von Philips-Valvo für die AZ1, AZ31, G 1064 und 1805.

Streudaten:

Bei $U_f = 4$ Volt, $U_{\sim} = 220$ Volt und $I_{\sim} = 120 \text{ mA}$ (100 mA) ist $U_{\sim} \geq 130$ Volt

Schaltung zur Streudaten - MessungFaustformeln für die Berechnung der Brummspannung

Siebungsgrößen: Bei Gleichrichtern mit konstanter Belastung (wie bei Rundfunkempfängern) verwendet man C-Eingang der Siebkette. Die Brummspannung am Ladekondensator C_L beträgt ungefähr

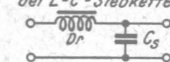
$$\text{bei Einweggleichrichtung: } U_{br} = \frac{4I}{C_L}$$

$$\text{bei Zweiweggleichrichtung: } U_{br} = \frac{1.5I}{C_L}$$

(I in mA, C_L in μF , U_{br} in Volt)

Am Siebkondensator beträgt die Brummspannung ungefähr

bei L-C-Siebkette:



bei Einweg-gleichrichtung

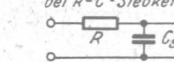
$$U_{br}' = \frac{10.24}{LC_S} \cdot U_{br}$$

bei Zweiweg-gleichrichtung

$$U_{br}' = \frac{256}{LC_S} \cdot U_{br}$$

(R in Ω , L in H, I in mA, C_S in μF , U_{br}' in Volt)

bei R-C-Siebkette

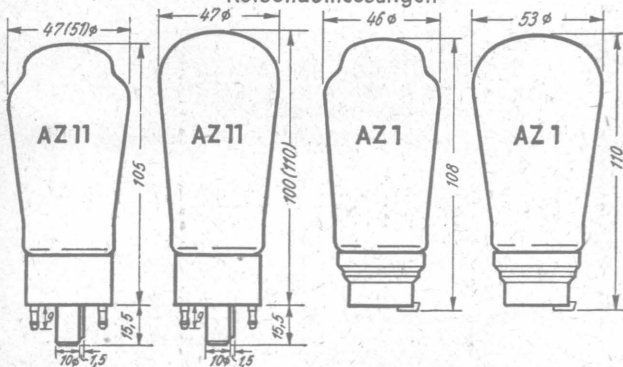


bei Einweg-gleichrichtung

$$U_{br}' = \frac{3200}{RC_S} \cdot U_{br}$$

bei Zweiweg-gleichrichtung

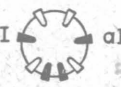
$$U_{br}' = \frac{1600}{RC_S} \cdot U_{br}$$

Kolbenabmessungen**Socket vor untengesehen**

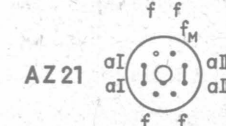
AZ11



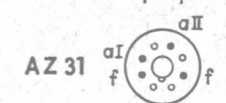
AZ1



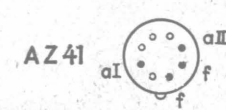
AZ21



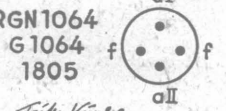
AZ31



AZ41



RGN1064
G1064
1805



Fritz Künze

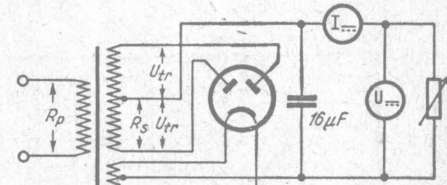
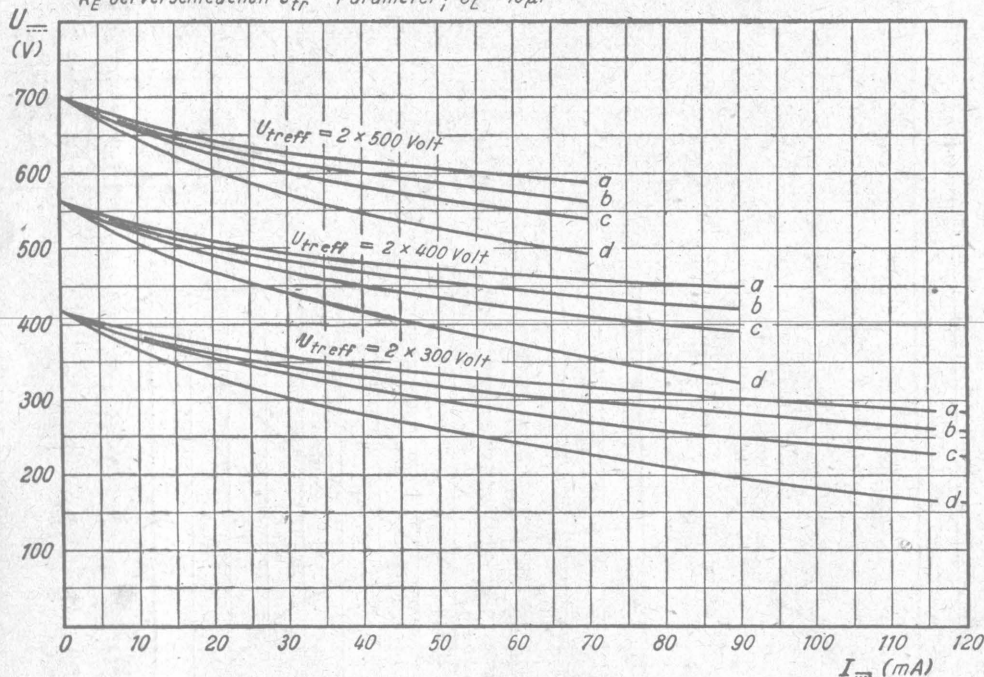
AZ11/1u

Kennlinienfeld 1

Entladekurven

$$U_{\text{m}} = f(I_{\text{m}})$$

R_E bei verschiedenen U_{tr} = Parameter; $C_L = 16 \mu\text{F}$



Meßschaltbild für Entladekurven

Bei den Entladekurven ist

U_{tr} die effektive Leerlaufspannung der Anoden-
spannungswicklung des Netztransformatoren,
 R_E den Ersatzwiderstand des Netztransformatoren.

Es ist $R_E = R_S + \bar{\mu}^2 R_p + R_z$.

(R_S = ohmscher Widerstand der halben Sekundär-
wicklung,

R_p = ohmscher Widerstand der Primärwicklung,
 $\bar{\mu}$ = Verhältnis der halben Sekundärwicklung zur
Primärwicklung,

R_z = eventueller Zusatzwiderstand.)

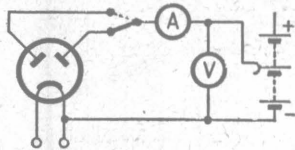
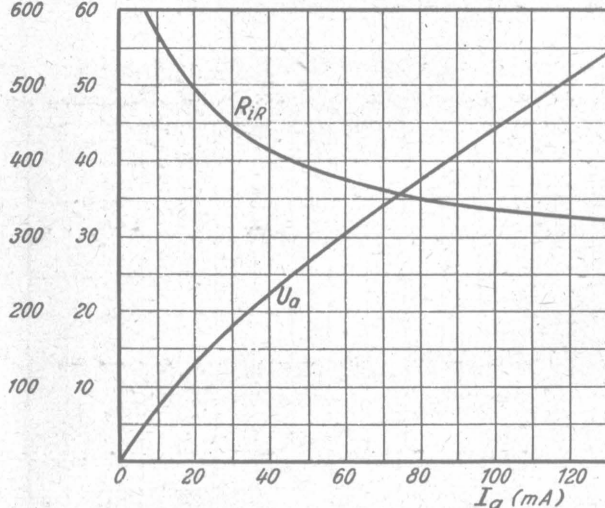
Es ist R_E bei a = 100 Ω

bei b = 200 Ω

bei c = 400 Ω

bei d = 800 Ω

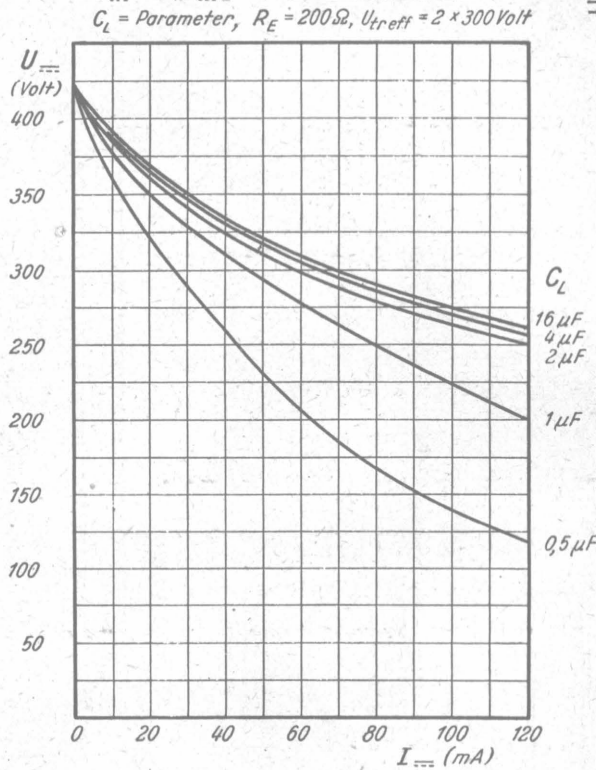
Kennlinienfeld 2
 R_{iR} Werte je Anode
 (S_2) U_a , $R_{iR} = f(I_a)$



Meßschaltbild für Innenwiderstandskurven

Innenwiderstandskurven

Kennlinienfeld 3 Entladekurven bei verschiedenen C_L



Der Innenwiderstand R_{iR} kann nicht einfach aus $U_a : I_a$ errechnet werden, wie vielfach angenommen wird. Er hängt vielmehr von \dot{U} sowie dem jeweiligen Spitzenstrom \dot{I} ab. Nach Philips kann man als Faustformel für die Berechnung des Innenwiderstandes setzen:

$$R_{iR} = 0,75 \frac{U_a}{I_a}$$

Die Innenwiderstandskurve bezieht sich nur auf 1 System. Bei Zweiweggleichrichtung und bei Parallelschaltung ist, auf beide Systeme bezogen, I_a doppelt so groß und R_{iR} halb so groß.



Röhren-Dokumente

Zweiweg-Hochvakuum - Netzgleichrichterröhre

FUNKWERK-Sammlung, Gruppe Röhrentechnik 2 Blätter

AZ12

AZ4 (phV)

RGN2004 (Teil)

G2004 (V) 1561 (Ph)

Heizung:

Bandkatode mit aufgespritzter Oxydschicht.

Direkt geheizt.

Heizspannung

U_f

4 Volt~, d.h.

Heizstrom

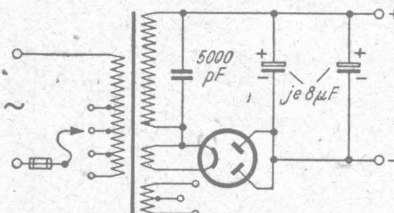
I_f

2,2 A (AZ12, AZ4)

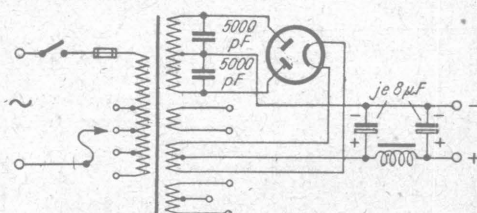
2 A (RGN2004, G2004, 1561)

Blatt 1

Betriebswerte: Siehe Kennlinienfelder



Einweggleichrichtung mit Zweiweggleichrichterröhre



Zweiweggleichrichtung

Verwendung einer Zweiweggleichrichterröhre zur Einweggleichrichtung:

- a) Es wird nur eine Anode verwendet, die andere freigelassen. Nur die halbe Belastung ist zulässig, und entsprechend darf nur der halbe maximale Anodenstrom entnommen werden.
- b) Beide Anoden werden parallel geschaltet. Die Belastung und die Stromstärke entsprechen denen der Zweiweggleichrichtung.

Zweiweggleichrichtung mit zwei Röhren mit parallel geschalteten Anoden: Belastung und Stromstärke können doppelt so groß sein wie bei einer Röhre in Zweiweggleichrichtung.

Betriebshinweise: Direkt geheizte Gleichrichterröhren sind möglichst aufrecht zu stellen. Müssen sie unbedingt liegend angeordnet werden, so ist darauf zu achten, daß die Schmalseiten der Anodenkästen parallel zur Grundplatte verlaufen.

Der Ladekondensator muß für eine Betriebsspannung dimensioniert sein, die der Transformator-Spitzenspannung ($\hat{U}_{tr} = U_{treff} \times 1,4$) entspricht. Ein Elektrolytkondensator für $U_b = 500$ V darf also nur für $U_{treff} \leq 350$ V verwendet werden. Bei Verwendung indirekt geheizter Endröhren und direkt geheizter Gleichrichterröhren trifft das auch für den Siebkondensator zu. In der Anheizperiode der Endröhre fließt noch kein Strom durch die Siebdrossel (Feldspule, Siebwiderstand), es findet also auch kein Spannungsabfall an ihr statt, so daß auch am Siebkondensator die volle Spannung liegt. Vermeiden kann man die hohe Spannungsbeanspruchung des Siebkondensators

- a, durch zusätzliche Belastung (Parallelwiderstand zum Siebkondensator),
- b, durch stromabhängigen Widerstand (Urdoxwiderstand zwischen Gleichrichter und Ladekondensator),
- c, durch Widerstand von etwa 1 Ω im Heizkreis der Gleichrichterröhre (Gleichrichter-Heizspannungswicklung durch Windungen mit Widerstandsdrähten 0,4...0,5 mm Ø um etwa 1 Volt erhöhen).

Zur Vermeidung von Störschwingungen und Verhinderung des Eindringens von Störschwingungen von außen überbrücke man die Sekundär-Anodenwicklungen (gegen Mittelabgriff) mit einem Kondensator von 5000 pF und verweise einen Abschirmmantel (Abschirmwicklung) zwischen Primär- und Sekundärwicklung des Netztransformators. Bei sehr hohen Ansprüchen (Meßgeräte) können außerdem HF-Drosseln im Netzeingang verwendet werden.

Grenzwerte pro System:

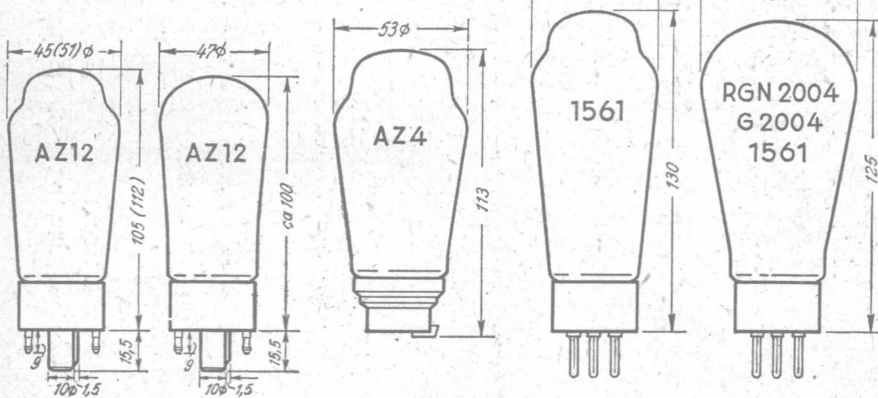
Ladekondensator	$C_L \max$	60 μF (AZ 12, AZ 4)
Transformatorspannung, Effektivwert	$U_{\text{eff}} \max$	32 μF (RGN 2004, G 2004, 1561)
entnehmbarer Gleichstrom	$I_{\text{---}} \max$	200 mA
Gleichrichterbelastung ¹⁾	$N_{\text{gl}} \max$	60 Watt

Hieraus ergeben sich für beide Systeme in Zweiweggleichrichtung bei den einzelnen Transformatorspannungen folgende Werte:

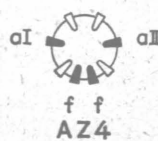
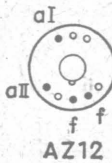
Bei einer Transformatorspannung (U_{eff}) von Volt	beträgt der maximal entnehmbare Gleichstrom ($I_{\text{---}}$) mA
2 x 500	120
2 x 400	150
2 x 350	160
2 x 300	200
< 2 x 300	200

¹⁾ Unter Gleichrichterbelastung N_{gl} ist das Produkt $U_{\text{eff}} \times I_{\text{---}}$ zu verstehen. N_{gl} ist keine Gleichstrombelastung (U_{tp} ist ja eine Wechselspannung), entspricht aber auch nicht der Anodenverlustleistung. Die Anodenverlustleistung Q_a ist bei Gleichrichterröhren $Q_a = \text{ca } 0,8 (\hat{U}_{\text{tp}} - U_{\text{---}}) \times I_{\text{---}}$. Die Sperrspannung beträgt bei Zweiweggleichrichtung $U_{\text{sperr}} = \hat{U}_{\text{tp}} + U_{\text{---}} = 2,8 \times U_{\text{eff}}$

Kolbenabmessungen



Sockel von unten gesehen

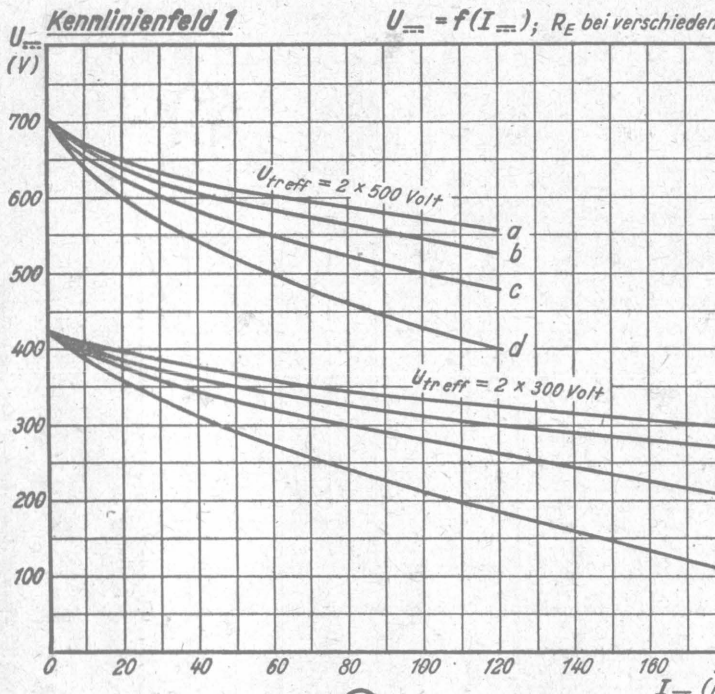


Fritz Künzler

AZ 12/1

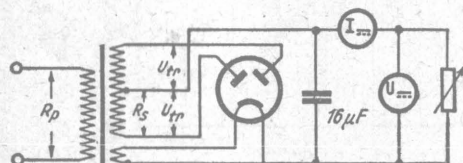
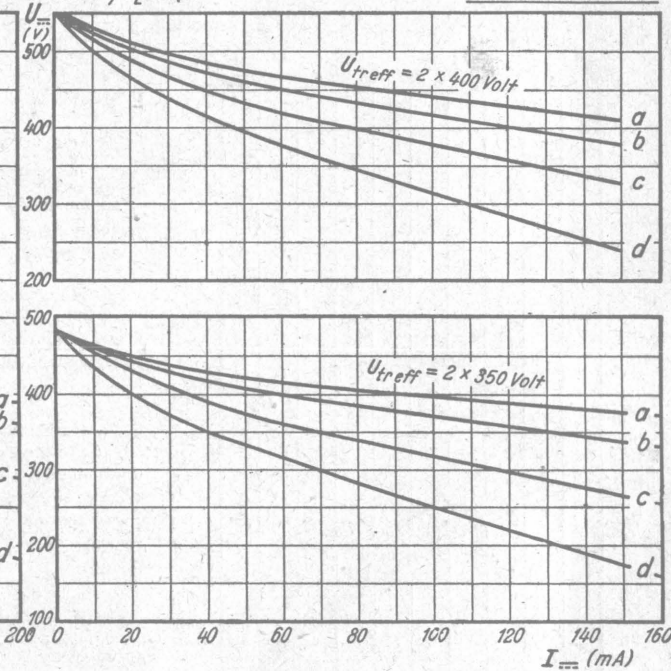
Entladekurven

Kennlinienfeld 1



$U_{\text{eff}} = f(I_{\text{eff}})$; R_E bei verschiedenen U_{tr} = Parameter; $C_L = 16 \mu\text{F}$

Kennlinienfeld 2



Meßschaltbild für Entladekurven

Bei den Entladekurven ist:

U_{tr} die effektive Leerlaufspannung der Anoden-spannungswicklung des Netztransformators,
 R_E der Ersatzwiderstand des Netztransformators

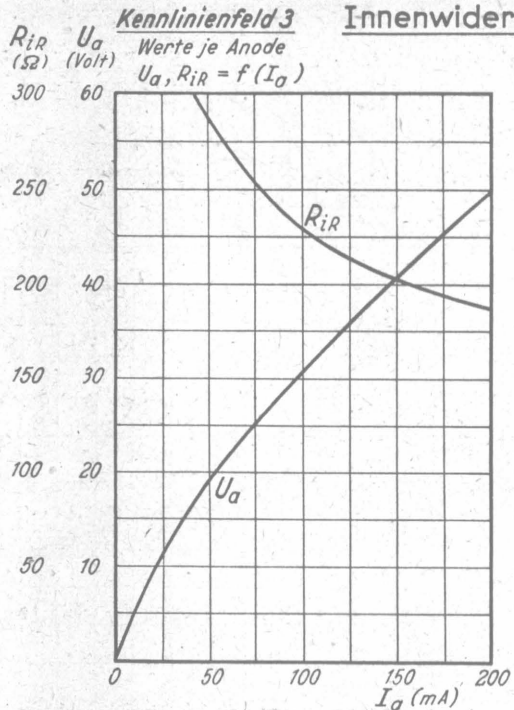
Es ist $R_E = R_S + \frac{U^2}{R_p} (+ R_Z)$
 $(R_S$ = ohmscher Widerstand der halben Sekundärwicklung,

R_p = ohmscher Widerstand der Primärwicklung,

\ddot{u} = Verhältnis der halben Sekundärwicklung zur Primärwicklung,

R_Z = eventueller Zusatzwiderstand.)

Es ist R_E bei a = 100 Ω
 b = 200 Ω
 c = 400 Ω
 d = 800 Ω



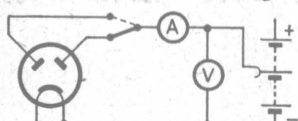
Der Innenwiderstand R_{iR} kann nicht einfach aus $U_a : I_a$ errechnet werden, wie vielfach angenommen wird: Er hängt vielmehr von \emptyset sowie dem jeweiligen Spitzstrom I ab. Nach Philips kann man als Faustformel für die Berechnung des Innenwiderstandes setzen:

$$R_{iR} = 0,75 \frac{U_a}{I_a}.$$

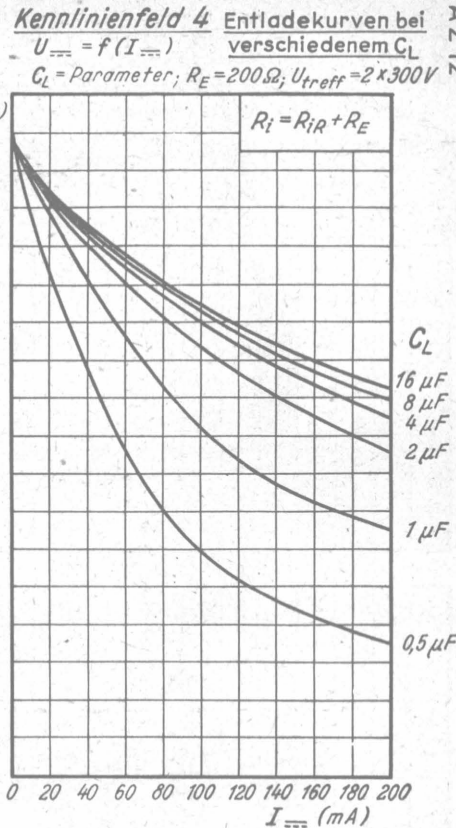
Die Innenwiderstandskurve bezieht sich nur auf 1 System. Bei Zweiweggleichrichtung und bei Parallelschaltung ist, auf beide Systeme bezogen, I_a doppelt so groß und R_{iR} halb so groß.

Der Innenwiderstand einer Gleichrichtstrecke R_i setzt sich aus dem Innenwiderstand der Röhre R_{iR} und dem Ersatzwiderstand des Netztransformators R_E zusammen:

$$R_i = R_{iR} + R_E$$



Meßschaltbild für Innenwiderstandskurven.





Röhren-Dokumente

Diodiode mit zwei getrennten Katoden

EB 11

1 Blatt

FUNKWERK-Sammlung, Gruppe Röhrentechnik

Allgemeines:

Stahlmantel und Abschirmung mit k_I im Innern der Röhre verbunden. Beide Systeme gegeneinander abgeschirmt.

Heizung:

Heizspannung U_H 6,3 Volt $\sim \sim A$
Heizstrom I_H 200 mA ind.

Betriebswerte: Siehe auch die Kennlinienfelder 1 und 2.

Für Empfangsgleichrichtung verweise man dI ,
für Regelspannungszeugung dII .

Wenn $U_{HF\sim}$ v	ist Dämpfungswiderstand R_d bei Reihenschaltung	Parallelschaltung
< 0,1	$\frac{0,1}{I_d}$	$\frac{0,1}{I_d}$
0,1 ... 10	$\frac{R}{2} + \frac{U_{HF\sim} \cdot 1,4}{U_{mn}}$	$\frac{R}{3} + \frac{U_{HF\sim} \cdot 1,4}{U_{mn}}$
> 10	$\frac{R}{2}$	$\frac{R}{3}$

C stets 50...100 pF

Wenn $U_{HF\sim eff.} \geq 10V$, $U_d \approx 1,4 \cdot U_{HF\sim eff.} = U_{HF\sim sp}$

Grenzwerte:

Diodenspannung 1)

Diodenstrom je Diode

Diodenstrom-Einsatzpunkt

max ($I_d \leq 0,3 \mu A$)

min ($I_d \leq 0,3 \mu A$)

Spannung zwischen Faden und Schicht

Spannung zwischen den Katoden

Außenwiderstand zwisch. Faden u. Schicht $R_{F/K}$

$U_{d,max}$ 200 Volt (spitze)

$I_{d,max}$ 0,8 mA

U_{de} -0,1 Volt

U_{de} -1,3 Volt

$U_{F/K}$ 100 Volt

$U_{z,I/kII}$ 125 Volt

$R_{F/K}$ 1 MΩ

1) $U_d = U_{HF\sim sp} + \text{Modulation}$. Hieraus Grenzwert von $U_{HF\sim eff.}$

bei $m = 100\%$: $U_{HF\sim} = 70,7 \text{ Volt}$,

bei $m = 30\%$: $U_{HF\sim} = 108,8 \text{ Volt}$.

Aus $U_{HF\sim}$ ergibt sich

bei $m = 100\%$: $U_d = 2,83 \cdot U_{HF\sim}$,

bei $m = 30\%$: $U_d = 7,84 \cdot U_{HF\sim}$

Weiter bedeuten: U_{mn} = erzielbare Gleichspannung,

ΔU_{mn} = erzielbare Gleichspannungsänderung,

$U_{HF\sim}$ = verbleibende Niederfrequenzspannung (Modulation),

Es ist also ungefähr $U_{HF\sim} (\text{Vollwert}) = \frac{U_d}{0,7}$

2) Die Einschaltung anderer Schaltmittel zwischen Faden und Schicht als solchen, die zur Erzeugung von Diodenvorspannung oder Regelspannung dienen, ist unzulässig. Der Widerstand der Diodenstrecke kann in die Berechnung der einzelnen Gitterableitwiderstände mit einem Wert von mindestens 100 000 Ohm angesetzt werden, vorausgesetzt, daß an der betreffenden Diodenstrecke keine negative Vorspannung (Verzögerungsspannung) liegt.

Innere Röhrenkapazitäten:

Diode I / Katode I

$C_{dI/kI}$ 3,5 pF

Diode II / Katode II

$C_{dII/kII}$ 1,0 pF

Diode I / Diode II

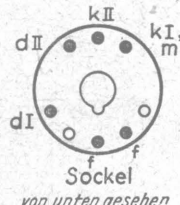
$C_{dI/dII}$ < 0,004 pF

Weitere Erklärungen:

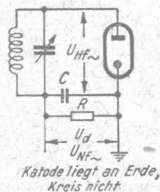
U_m = Anlaufspannung + ΔU_{mn}

Regelspannung U_R bei unverzögter Regulierung: U_m

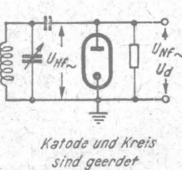
bei verzögter Regulierung: $U_m - \text{Verzögerungsspannung}$



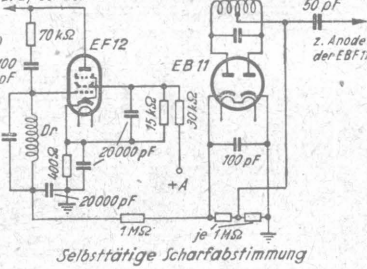
Reihenschaltung



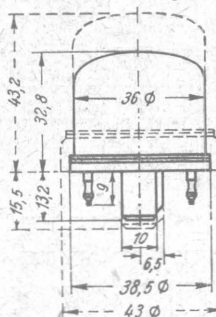
Parallelschaltung



z. Anode der ECH 11



Kolbenabmessungen



Gestrichelt: ältere Ausführung

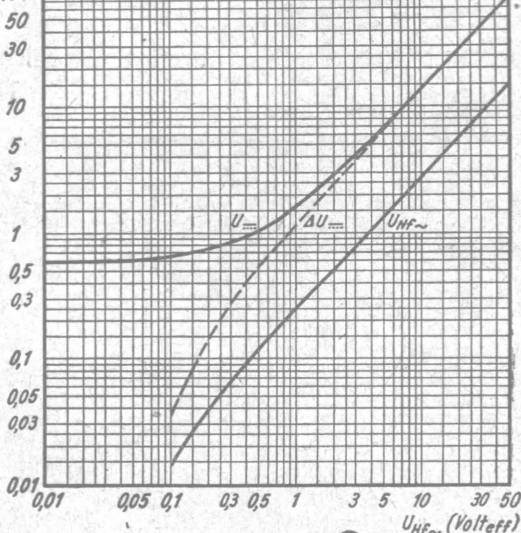
Ausgezogen: Neue Ausführung

Fritz Künzle

E B 11

Kennlinienfeld 1

$U_{\text{...}}, \Delta U_{\text{...}} (\text{Volt})$, $U_{\text{HF}\sim} (\text{Volteff})$



$$U_{\text{...}}, \Delta U_{\text{...}} = f(U_{\text{HF}\sim})$$

$$R = 0,1 \dots 1 \text{ M}\Omega$$

$$C = 100 \text{ pF}$$

$$U_{\text{HF}\sim} = f(U_{\text{HF}\sim})$$

$$m = 0,3$$

$$R = 0,5 \text{ M}\Omega$$

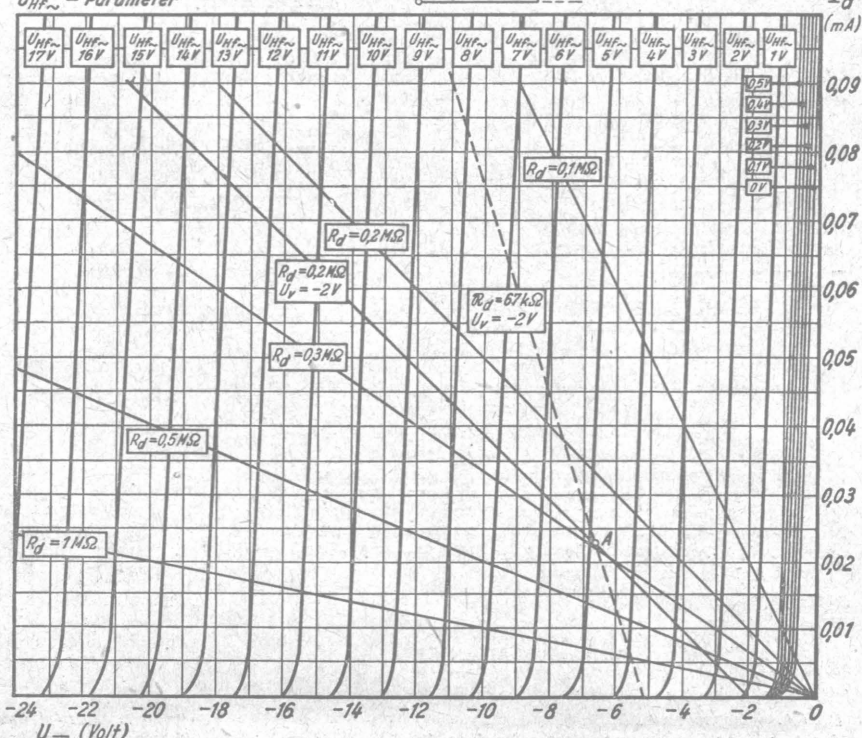
$$C = 100 \text{ pF}$$

Meßschaltung zu
Kennlinienfeld 1
wie Reihenschaltung

Kennlinienfeld 2

$I_d = f(U_{\text{...}})$

$U_{\text{HF}\sim}$ = Parameter





Röhren-Dokumente

Duodiode + Triode (Verbundröhre)

EBC11

2 Blätter

FUNKWERK-Sammlung, Gruppe Röhrentechnik

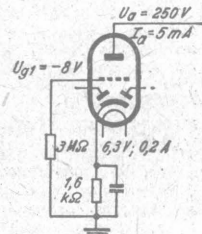
Blatt 1

Allgemeines:

Stahlröhre Stahlmantel und Abschirmung mit K
im Innern der Röhre verbunden.

Heizung:

Heizspannung	U_f	6,3	Volt $\sim \approx A$
Heizstrom	I_f	200	mA ind.



Betriebswerte:

1. der Diodenstrecken:

Werte und Kennlinien siehe EB 11 und Kennlinienfeld F

dI = Diodenanode für Empfangsgleichrichtung

dII = Diodenanode für Regelspannungserzeugung und andere Zwecke

dIII liegt bei der Fünferreihe des Röhrensockels am weitesten außen

dI liegt zwischen dII und Heizfaden.

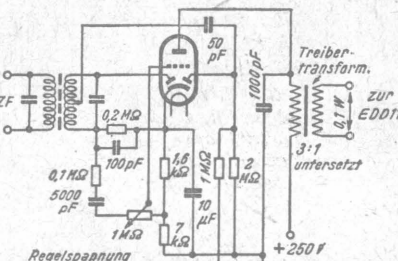
2. des Triodenteils:

a. bei Drossel- oder Transformatorkopplung
(z.B. als Treiberöhre vor der EDD 11):

Anodenspannung	U_a	250	200	100	Volt
Anodenstrom	I_a	5	4	2	mA
Gittervorspannung	U_{g1}	-8	-6,3	-3,2	Volt
Steilheit	S	2,2	2	1,8	mAV
Durchgriff	D	4	4	4	%
Innenwiderstand	R_i	11,5	12,5	14	kΩ
Katodenwiderstand	R_k	1,6	1,6	1,6	kΩ

Siehe auch die Kennlinienfelder 2 und 3

Zur vollen Aussteuerung der EDD 11 werden bei der EBC 11 $U_g = 4,5$ V benötigt, für $N_{\text{eff}} = 50$ mW: 0,15 Volt.



Die EBC11 als Treiberröhre

b. bei RC-Kopplung:

Betriebs- spannung	Außen- widerstd. Volt	Katoden- widerstd. R_k kΩ	Gittervor- spannung U_{g1} Volt	Anoden- strom I_a mA	Spannungs- verstärkung V
250	200	5	-4	0,75	18
	100	3	-4	1,4	18
	50	2	-4,5	2,3	17
200	200	5	-3,5	0,65	18
	100	3	-3,2	1,1	18
	50	2	-3,6	1,8	17
100	200	5	-1,8	0,35	18
	100	3	-1,8	0,6	18
	50	2	-2	0,95	17

Siehe auch Kennlinienfeld 4

Zur vollen Aussteuerung der EL 11 werden bei $U_a = 250$ V 0,25 V, der EL 12 0,27 V eff an Gitter der EBC 11 benötigt.

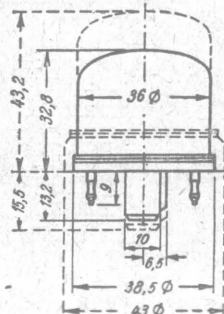
Grenzwerte:

1. Diodenteil:

Diodenspannung U_d	$U_{d\max} 200$	Volt (Spitze)
Diodenstrom je Diode	$I_{d\max} 0,8$	mA
Diodenstrom-Einsatzpunkt max ($I_d \geq 0,3 \mu A$)	$U_{de} -0,1$	Volt
min ($I_d \leq 0,3 \mu A$)	$U_{de} -1,3$	Volt

*) siehe Erklärung bei der EB 11

Kolbenabmessungen



Ostrichelt: Ältere Ausführung
Ausgezogen: Neue Ausführung

Grenzwerte (Fortsetzung):

2. Triodenteil:

Anodenspannung	U_a max	300	Volt
Anodenkaltspannung	U_{aL} max	550	Volt
Anodenverlustleistung	ϱ_a max	1,5	Watt
Katodenstrom	I_k max	10	mA
Gitterableitwiderstand ν	R_{g1} max	3	M Ω
Gitterstrom-Einsatzpunkt ($I_g \leq 0,3 \text{ M}\Omega$)	U_g	-1,3	Volt

1) Der Widerstand der Diodenstrecke kann bei der Berechnung der einzelnen Gitterableitwiderstände mit einem Wert von mindestens $0,1 \text{ M}\Omega$ eingesetzt werden, vorausgesetzt, daß an der betreffenden Diodenstrecke keine negative Spannung (Verzögerungsspannung) liegt.

3. Allgemeines

Spannung zwischen Faden und Schicht	$U_{f/k}$ max	100	Volt
Widerstand zwischen Faden und Schicht	$R_{f/k}$ max	20	k Ω

Mit Rücksicht auf Brummen und andere Störgeräusche sollen nur solche Schaltmittel zwischen Faden und Schicht gelegt werden, die Gittervorspannung erzeugen. Für Gegenkopplungsschaltungen sind HF-Spannungen an Teilwiderständen des Katodenwiderstandes zulässig.

Innere Röhrenkapazitäten

1. Diodenteil

Diode I/Katode	$C_{dI/k}$	2,5	pF
Diode II/Katode	$C_{dII/k}$	2,8	pF
Diode I+II/Diode II	C_{dI+II}	< 0,5	pF

2. Triodenteil

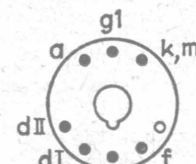
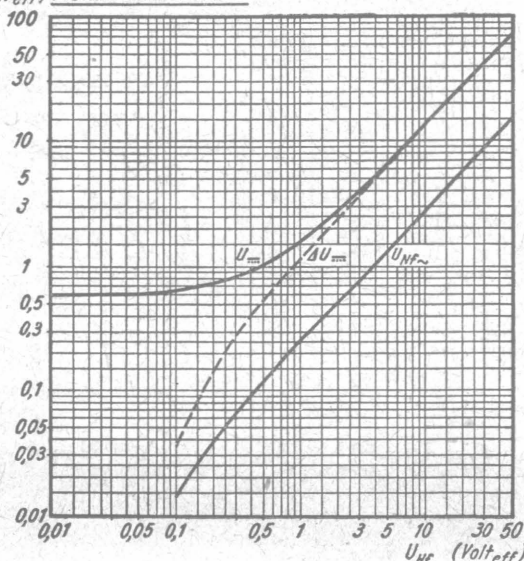
Heizfaden/Gitter	$C_{f/gt}$	< 0,001	pF
------------------	------------	---------	----

3. Kapazitäten beider Systeme gegeneinander

Diode I/Gitter	$C_{dI/gt}$	< 0,001	pF
Diode II/Gitter	$C_{dII/gt}$	< 0,001	pF
Diode I+II/Gitter	$C_{dI+II/gt}$	< 0,003	pF
Diode I+II/Anode	$C_{dI+II/a}$	< 0,008	pF

Fritz Künze

U_m , ΔU_m (Volt)
 $U_{HF\sim}$ (Volt $_{eff}$) Kennlinienfeld 1



Sockel
von unten gesehen

$$U_m, \Delta U_m = f(U_{HF\sim})$$

$$R = 0,1 \dots 1 \text{ M}\Omega$$

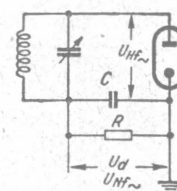
$$C = 100 \text{ pF}$$

$$U_{HF\sim} = f(U_{HF\sim})$$

$$m = 0,3$$

$$R = 0,5 \text{ M}\Omega$$

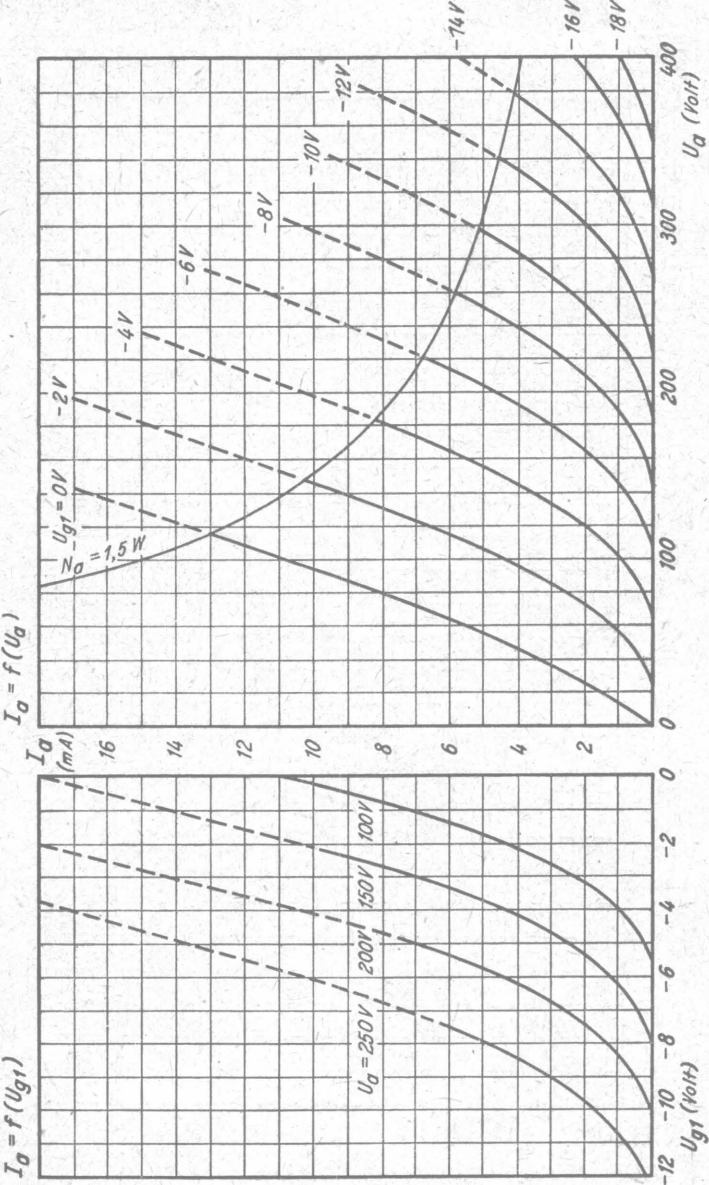
$$C = 100 \text{ pF}$$



Meßschaltung

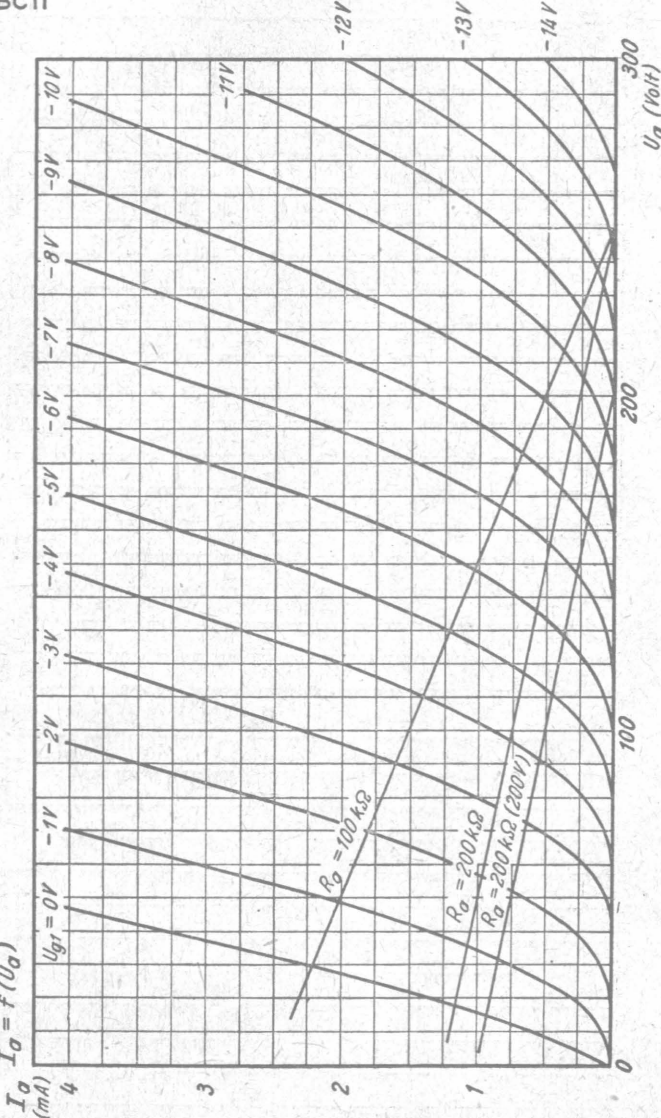
Kennlinienfeld 2

$$I_\alpha = f(U_{g1})$$

Kennlinienfeld 3

Kennlinienfeld 4

EBC11



Funkschau - Vertrieb Wilhelm Wolf, Potsdam, Tizianstraße 8. Nachdruck verboten!

EBC11/20



Röhren-Dokumente

Duodiode + Regelpentode (Verbundröhre)

FUNKWERK-Sammlung, Gruppe Röhrentechnik

EBF 11

5 Blätter

Blatt 1

Allgemeines:

Stahlröhre. Stahlmantel, Abschirmung und g_3 im Innern der Röhre mit k verbunden. Diodenteil gegen Pentoden Teil abgeschirmt. Pentoden System hat gute Regel Eigenschaften trotz geringem Anodenstrombedarf.

Heizung:

Heizspannung	U_F	6,3	Volt	$\sim 2 A$
Heizstrom	I_F	200	mA	ind.

Meßwerte:

1. der Diodenstrecken:

Werte und Kennlinien siehe Kennlinienfelder 2 und 3

2. des Pentoden Teils (Regelröhre)

Anodenspannung	U_a	250	200	100	Volt
Schirmgitterspannung	U_{g1}	100	100	100	Volt
Gittervorspannung	U_g	-2	-2	-2	Volt
Anodenstrom	I_a	5	5	5	mA
Schirmgitterstrom	I_{g1}	1,8	1,8	1,8	mA
Steilheit	S	1,8	1,8	1,8	mA/V
Innenwiderstand	R_i	2	1,5	0,5	MΩ

Siehe Kennlinienfeld 6

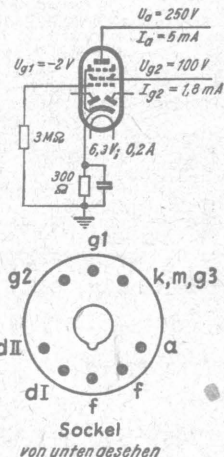
Betriebswerte:

1. der Diodenstrecken:

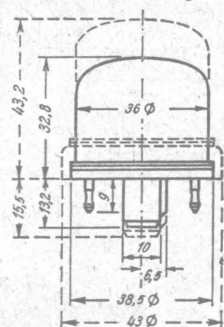
Im Allgemeinen verwendet man den Pentoden Teil der EBF 11 zur ZF-Verstärkung und die Diodenstrecken zur Gleichrichtung der Zwischenfrequenz und zur Regelspannungs Erzeugung. Zur Gleichrichtung der Zwischenfrequenz (bzw. der Hochfrequenz) nimmt man dII, zur Regelspannungs Erzeugung (und andere Zwecke) dIz. dIz liegt bei der Fünferreihe des Röhrensockels (von unten betrachtet) am weitesten außen, dII liegt zwischen dII und Heizfaden. Das Kennlinienfeld 2 zeigt die erzielbare Gleichspannung (U_{m1}), die Regelspannung (U_m) und die Niederfrequenzspannung (U_{Hf}) in Abhängigkeit von der Hochfrequenzspannung (U_{HF}) auf.

Will man die mit einer gegebenen HF-Spannung erzielbare NF-Spannung ermitteln, so muß man sich zunächst den für die HF-Spannung wirksamen Außenwiderstand zur Diodenstrecke berechnen. Dieser Widerstand R_d setzt sich aus folgenden Faktoren zusammen: Parallel zum Belastungswiderstand R_d liegt der wirksame Gitterwiderstand R_g der folgenden Röhre, der sich wiederum zusammensetzt aus $R_s + R_{Ca} + (P_{II} / [R_{Ca} + R_g])$ – sowie der Belastungswiderstand R_{d2} der zweiten Diodenstrecke. Der letztere kann vernachlässigt werden; er liegt ja nicht direkt parallel zu R_g , sondern die Reihenschaltung $C = 50\text{ pF}$ hinter $50\text{ pF} + R_{d2}$. Und der Widerstand von 25 pF beträgt ja bei $f = 800\text{ Hz}$ etwa 15 MΩ . Nur bei hohen Frequenzen ist R_{d2} nicht ganz zu vernachlässigen; bei $f = 4,5\text{ kHz}$ verringert sich R_g durch $25\text{ pF} + R_{d2}$ um ungefähr 5%, also unerwunscht. Genauso kann der Einfluß des ZF-Kreises vernachlässigt werden, da er auch über $C = 50\text{ pF}$ angeschlossen ist.

Ein Beispiel: $R_g = 0,2\text{ MΩ}$, $R_s = 0,2\text{ MΩ}$, $P_{II} = 1\text{ MΩ}$, $R_{d2} = 1\text{ MΩ}$, Es ist $P_{II} R_g = 1\text{ MΩ} \parallel 0,7\text{ MΩ} = 0,47\text{ MΩ}$, in Reihe mit $R_s = 0,2\text{ MΩ}$: $0,6\text{ MΩ}$ (C kann vernachlässigt werden). $R_d \parallel R_{d2} = 0,2\text{ MΩ} \parallel 0,071\text{ MΩ} = 0,15\text{ MΩ}$. Fehlt R_s , so ergibt sich $0,2\text{ MΩ} \parallel 0,41\text{ MΩ} = 0,133\text{ MΩ}$. Unter Vernachlässigung des Einflusses der durch die Kapazitäten bedingten Blindwiderstände, die die Arbeitskennlinie zu einer Ellipse umformen, ergibt sich aus Kennlinienfeld 3 folgende Rechnung: Es sei $U_{HF} = -6\text{ Volt}$ bei $m = 30\%$. Der Arbeitspunkt A liegt bei $U_m = -6,7\text{ V}$. Die Niederfrequenz schwingt also um $\pm 0,3 = \pm 1,5\%$, also von $-3,5\text{--}-6,5\text{ Volt}$. Ihre Spitzen reichen von $-2,9\text{--}-7,1\text{ V}$ ($\pm 1,5\text{--}1,4$). Der Arbeitspunkt ist gegeben durch den Schnittpunkt von $U_{Hf} = 5\text{ V}$ mit der Widerstandsgeraden



Kolbenabmessungen

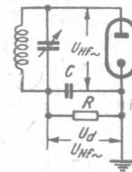


Bestrichelt: Ältere Ausführung
Ausgezogen: Neue Ausführung

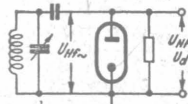
$R_d = 0,2 \text{ M}\Omega$. Durch diesen Arbeitspunkt geht die Widerstandsgerade von $R_d = 0,15 \text{ M}\Omega$. Die Niederfrequenz schwankt bei $m = 30\%$ um $\pm 0,5 = \pm 1,5\%$. Die Trägerwellen schwingt also um $5 \pm 1,5\% = 3,5 \dots 6,5 \text{ kHz}$. Durch $U_{HF} = 5 \text{ V}$ wird eine Gleichspannung von $-6,7 \text{ V}$ erzeugt. Ein Schwanke der modulierten Trägerfrequenz von $3,5 \dots 6,5 \text{ kHz}$ hat ein Schwanke der Gleichspannung von $-4,6 \dots -8,8 \text{ V}$ zur Folge. Entsprechend würde die Regelspannung und damit die Verstärkung der Regelröhren schwanken, und zwar im Sinne einer Dynamikverflachung. Infolgedessen ist es notwendig, in den Regelweg Siebglieder zu legen, die die Schwankungen ausgleichen und die Regelspannung nur noch von der HF-Trägerfrequenz abhängig machen. Zur Berechnung eines solchen Siebgliedes legt man eine Zeitkonstante $(C_{HF} \cdot R_d)$ von $0,1 \dots 0,2 \text{ s}$ zugrunde. Die Zeitkonstante gibt den Zeitschritt an, in dem sich der Kondensator über den Widerstand auf $2/3$ der angelegten Spannung aufgeladen bzw. auf $1/3$ der an ihm stehenden Spannung entladen hat. Vorteilhaft ist es, den Siebwiderstand möglichst groß zu nehmen. Die Regelspannung, U_{reg} , setzt sich zusammen aus der gleichgerichteten Spannung, ΔU_{reg} , und der Anlaufspannung (im Mittel $0,6 \text{ V}$). Bei der Berechnung des zulässigen Oberspannungs der zu regelnden Röhren ist zu berücksichtigen, daß deren Röhrenwiderstand sich zusammensetzt aus der Serienbeschaltung des Siebwiderstandes mit dem Widerstand der Diodenstrecke. Letztere ist mit $0,1 \text{ M}\Omega$ anzusetzen, sofern keine Verzögerungsspannung wirksam ist. Erst kommt noch die abgegriffene Strecke des Diodenpotentiometers oder ein separater Röhrenwiderstand hinzu.

Regelung bedeutet Schwächung des Empfangs. Bei kleinen Empfangsaufstärken ist eine Schwächung nicht ratsam, deshalb wird die Regelung durch eine negative Spannung bis zu einer gewissen Grenze aufgehoben. Diese sogenannte Verzögerungsspannung wird bei der EBF 11 einfach dadurch gewonnen, daß man den Belastungswiderstand nicht an die Kathode, sondern an Masse legt. Damit hat man die Gitterspannung von -2 Volt , die man als Vorspannung für das Pentodenstromsystem gebraucht, als Verzögerungsspannung gewonnen. Bei fernem Sendern, die eine Regelspannung kleiner als 2 Volt erzeugen, tritt die automatische Fadingregelung nicht in Kraft. Erst wenn diese Grenze überschritten wird, werden die Röhren geregelt.

Der Diodenkreis wird durch die Diodenstrecke gedämpft. Bei Reihenschaltung ist hierbei Diodenstrecke + Belastungswiderstand: $R'_d = \frac{0,7 \cdot U_{HF} \cdot R_d}{K \cdot U_{reg}}$. K ist eine Konstante nach Kennlinienfeld 4. Ist $U_{HF} > 5 \text{ V}$, so ist $K = 1$. Da $\frac{0,7 \cdot U_{HF}}{U_{reg}} = 0,5$, wird damit bei $U_{HF} > 5 \text{ V}$ $R'_d = \frac{R_d}{2}$. Bei einer mittleren Anlaufspannung von $0,6 \text{ V}$ ergeben sich die (ausgezogenen) Kurven des Kennlinienfeldes 5.



Reihenschaltung



Parallelschaltung

Bei Parallelschaltung ergibt sich: $R''_d = \frac{R'_d \cdot R_d}{R'_d + R_d}$ (gestrichelte Kurven des Kennlinienfeldes 5). Bei $U_{HF} > 5 \text{ V}$ ist dann $R''_d = \frac{R_d}{3}$.

Die Parallelschaltung der Diodenstrecke hat also den Nachteil, daß sie den Abstimmkreis um 50% mehr dämpft als die Reihenschaltung. Sie hat aber den Vorteil, daß bei ihr die Kathode der Diode geerdet werden kann. Die Dämpfung des Kreises kann man vermindern dadurch, daß man die Diodenstrecke an eine Anzapfung der Spule legt. Da für den Schwingkreis wirksame Dämpfung wird hierdurch um das Quadrat des Übersetzungsverhältnisses verkleinert. Ist z.B. $R_d = 200 \text{ k}\Omega$, so ist bei Parallelschaltung $R''_d = \frac{200 \cdot 0,000}{3} = 67 \text{ k}\Omega$. Der ZF-Kreis habe einen Resonanzwiderstand von $250 \text{ k}\Omega$. Sein Widerstand würde sich durch $R''_d = 67 \text{ k}\Omega$ auf $93 \text{ k}\Omega$ verringern. Eine nicht tragbare Dämpfung. Bei Anzapfung der Spule bei der Hälfte würde R''_d so wirken, daß es $4 \cdot 67 = 270 \text{ k}\Omega$ groß wäre. Bei Anzapfung bei einem Drittel wie $3 \cdot 3 = 9 \cdot 67 = 600 \text{ k}\Omega$, bei Anzapfung bei einem Viertel wie $4 \cdot 4 = 16 \cdot 67 = 1070 \text{ k}\Omega$. Entsprechend wäre R''_d bei Anzapfung bei $1/2 \text{ R}$ des ZF-Kreises $= 130 \text{ k}\Omega$, bei $1/3 = 177 \text{ k}\Omega$, bei $1/4 = 203 \text{ k}\Omega$.

2. des Pentodenröhrengesamts:

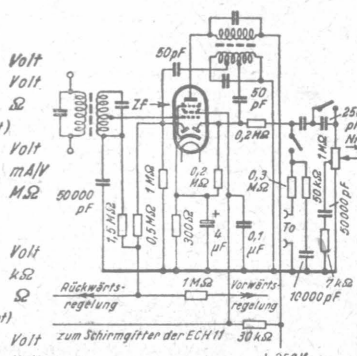
a. als HF- und ZF-Verstärker

α) Schirmgitterspannung fest

Anodenspannung	U_a	250 ... 100	Volt
Schirmgitterspannung	U_g2	100	Volt
Katodenwiderstand	R_k	300	Ω
Regelbereich 1	:	100 : 200 (opt)	
Gittervorspannung	U_g1	-2 -16 -18	Volt
Steilheit	S	1,8 0,018 0,009	mA/V
Innenwiderstand	R_i	2 ... 0,5 >1	$\text{M}\Omega$

β) Schirmgitterspannung gliedert

Betriebsspannung	U_b	250	Volt
Schirmgitterwiderstand	R_g2	85	$\text{k}\Omega$
Katodenwiderstand	R_k	300	Ω
Regelbereich 1	:	100 : 200 (opt)	
Schirmgitterspannung	U_g2	100 250 250	Volt
Gittervorspannung	U_g1	-2 -41 -45	Volt
Steilheit	S	1,8 0,018 0,009	mA/V
Innenwiderstand	R_i	2 >10	$\text{M}\Omega$



Schaltbild der EBF 11
als ZF-Verstärker

b) Schirmgitterspannung gleitend (Fortsetzung)

Betriebsspannung	U_b	200	100	100	Volt			
Schirmgittervorwiderstand	R_{g2}	55	55	55	k Ω			
Katodenwiderstand	R_k	300	300	300	k Ω			
Regelbereich	1	: 100 : 200 (opt)	1	: 100 : 150 (opt)				
Schirmgitterspannung	U_{g2}	100	200	50	100	100	Volt	
Gittervorspannung	U_{g1}	-2	-32	-35	-1	-16	-18	Volt
Steilheit	S	1,8	0,018	0,009	1,4	0,014	0,009	mA/V
Innenwiderstand	R_i	7,5	>10	>10	0,5	>10	>10	M Ω

Siehe Kennlinienfelder 6, 7, 8, 9.

b. als NF-Verstärker (in RC-Kopplung)

Betriebsspannung	U_b	250	250	250	250	Volt
Außenwiderstand	R_a	0,3	0,2	0,1	0,05	M Ω
Siebwiderstand	R_{sieb}	0,02	0,02	0,02	0,02	M Ω
Schirmgittervorwiderstd.	R_{g2}	1	0,6	0,4	0,2	M Ω
Katodenwiderstand	R_k	2,5	1,6	1	0,6	k Ω
Gittervorspannung	U_{g1}	-2 -20 -2 -20 -2 -20 -2 -20				Volt
Anodenstrom	I_a	0,87 -	1 -	1,5 -	2,6 -	mA
Schirmgitterstrom	I_{g2}	0,2 -	0,3 -	0,5 -	0,8 -	mA
Spannungsverstärkung	V	100 15 95 15 75 10 60 5				
Klirrfaktor ($U_{a\sim} = 3V_{eff}$)	K	0,4 0,9	0,4 0,9	0,4 1,2	0,4 1,5	%
Klirrfaktor ($U_{a\sim} = 5V_{eff}$)	K	0,7 2	0,7 2	0,7 2	0,6 2,5	%

Betriebsspannung	U_b	200	200	200	200	100	100	100	Volt	
Außenwiderstand	R_a	0,3	0,2	0,1	0,05	0,3	0,2	0,1	0,05	M Ω
Siebwiderstand	R_{sieb}	0,02	0,02	0,02	0,02	0,02	0,02	0,02	0,02	M Ω
Schirmgittervorwiderstd.	R_{g2}	1	0,6	0,4	0,2	1	0,6	0,4	0,2	M Ω
Katodenwiderstand	R_k	3	2	1,6	0,8	3	2	1,6	0,8	k Ω
Gittervorspannung	U_{g1}	-2 -20 -2 -20 -2 -20 -2 -20				-1 -10	-1 -10	-1 -10	-1 -10	Volt
Anodenstrom	I_a	0,52 -	0,75 -	1 -	2 -	0,60 -	0,4 -	0,5 -	1 -	mA
Schirmgitterstrom	I_{g2}	0,15 -	0,25 -	0,35 -	0,7 -	0,09 -	0,1 -	0,17 -	0,32 -	mA
Spannungsverstärkung	V	90 10 80 10 65 5 50 3				70 7 70 7 70 7 60 5	45 3			
Klirrfaktor ($U_{a\sim} = 3V_{eff}$)	K	0,8 2	0,8 2	0,8 3	0,8 3,5	1 4	1 4	0,7 5	0,5 6	%
Klirrfaktor ($U_{a\sim} = 5V_{eff}$)	K	1,3 4	1,3 4	1,3 4	1,3 4	-	-	-	-	%

Siehe Kennlinienfeld 7

Grenzwerte:**1. der Diodenstrecken:**

Diodenspannung	U_d max	200	Volt (Spitze)
Diodenstrom je Diode	I_d max	0,8	mA

Der Widerstand einer Diodenstrecke kann bei der Berechnung der Gitterab-
leitwiderstände mit einem Wert von mindestens $100k\Omega$ angesetzt werden,
sofern an der betreffenden Diodenstrecke keine negative Vorspannung
(Verzögerungsspannung) liegt.

Diodenstrom-Einsatzpunkt:

max ($I_d \geq 0,3\mu A$)	U_{de}	-0,1	Volt
min ($I_d \leq 0,3\mu A$)	U_{de}	-1,3	Volt

2. des Pentodenteils:

Anodenspannung	U_a max	300	Volt
Anodenkältespannung	U_{aL} max	550	Volt

Schirmgitterspannung ($I_a = 5mA$)	U_{g2} max	125	Volt
($I_a \leq 2mA$)	U_{g2} max	300	Volt

Schirmgitterkältespannung

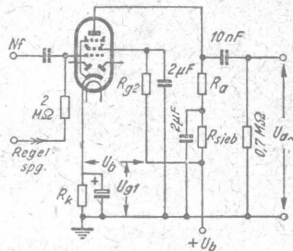
Anodenverlustleistung	Q_a max	1,5	Watt
Schirmgitterverlustleistung	Q_{g2} max	0,3	Watt

Innenwiderstand

bei $I_a = 5mA$, $U_{g2} = 100V$ und $U_a = 250V$: R_i min	1,5	M Ω
$U_a = 200V$: R_i min	1	M Ω
$U_a = 100V$: R_i min	0,3	M Ω

Katodenstrom

I_k max	10	mA
R_{g1} max	3	M Ω

Gitterstrom-Einsatzpunkt:Bei $I_{g1} = 0,3\mu A$ ist U_{g1} nie negativer als -1,3 Volt

Schaltbild der EBF 11 als NF-Verstärk.

Grenzwerte (Fortsetzung):

3. allgemein:

- Spannung zwischen Faden und Schicht $U_{f/k}$ max 100 Volt
 Außenwiderstand zwischen Faden und Schicht $R_{f/k}$ max 20 k Ω
 Mit Rücksicht auf Brummen und andere Störgeräusche sollen nur solche Schaltmittel zwischen Faden und Schicht gelegt werden, die die Gitterverspannung bzw. Verzögerungsspannungen erzeugen.

Innere Röhrenkapazitäten:

1. des Diodenteils:

Diode I/Katode	$C_{dI/k}$	2,4	pF
Diode II/Katode	$C_{dII/k}$	2,7	pF
Diode I/Diode II	$C_{dI/dII}$	<0,5	pF

2. des Pentodenteils:

Eingang	C_e	5,2	pF
Ausgang	C_a	6,2	pF
Gitter 1/Anode	$C_{g1/a}$	<0,002	pF
Heizfaden/Gitter 1	$C_{F/g1}$	<0,001	pF

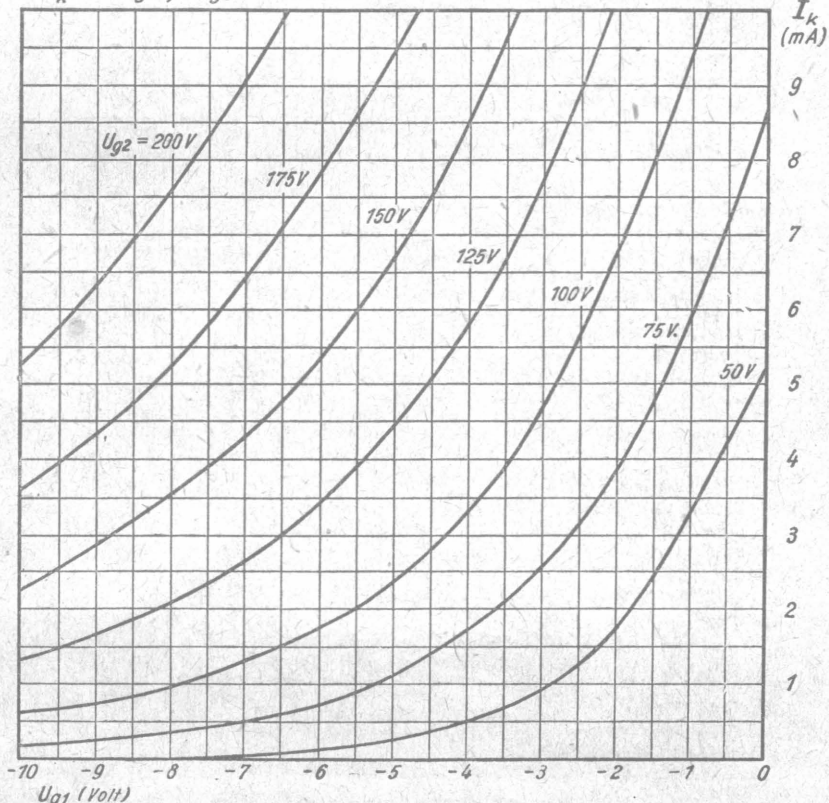
3. allgemein:

Diode I/Gitter 1	$C_{dI/g1}$	<0,001	pF
Diode II/Gitter 1	$C_{dII/g1}$	<0,001	pF
Diode (I+II)/Gitter 1	$C_{dI+II/g1}$	<0,001	pF
Diode I/Anode	$C_{dI/a}$	<0,015	pF
Diode II/Anode	$C_{dII/a}$	<0,015	pF
Diode (I+II)/Anode	$C_{dI+II/a}$	<0,015	pF

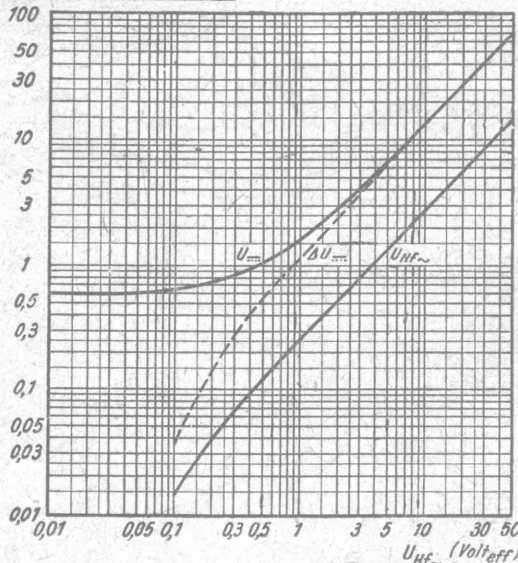
Fritz Künze

Kennlinienfeld 1

$$I_k = f(U_{g1}), \quad U_{g2} = \text{Parameter}$$



$U_{m\sim}, \Delta U_{m\sim}$ (Volt)
 $U_{NF\sim}$ (Volt_{eff}) Kennlinienfeld 2



$$U_{m\sim}, \Delta U_{m\sim} = f(U_{HF\sim})$$

$R = 0.1 \dots 1 M\Omega$

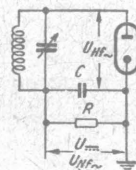
$C = 100 pF$

$$U_{NF\sim} = f(U_{HF\sim})$$

$m = 0,3$

$R = 0,5 M\Omega$

$C = 100 pF$

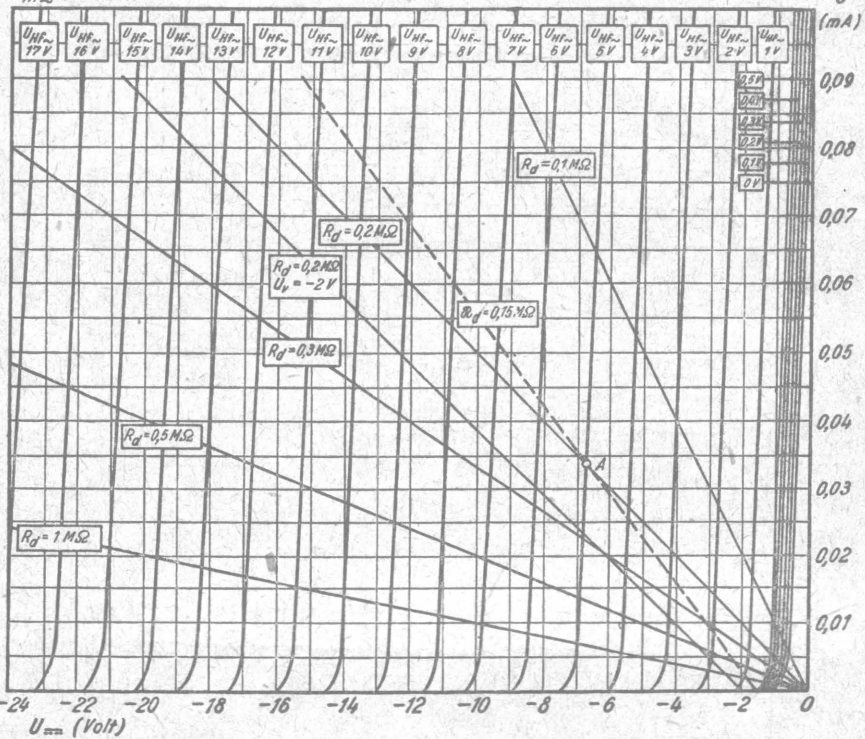


Meßschaltung zu
Kennlinienfeld 2

Kennlinienfeld 3

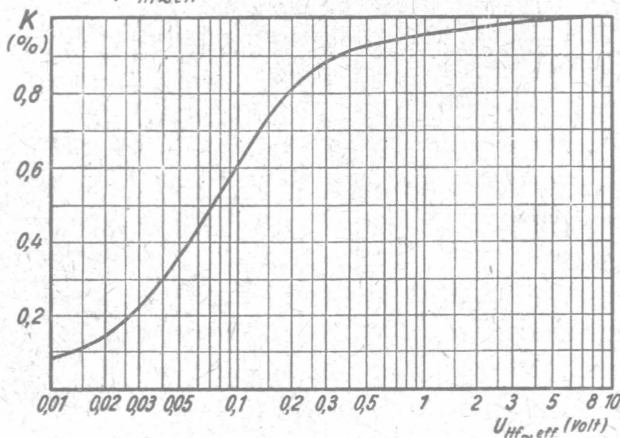
$$I_d = f(U_{m\sim})$$

$U_{HF\sim}$ = Parameter



Kennlinienfeld 4

$$K = f(U_{HF \sim eff})$$

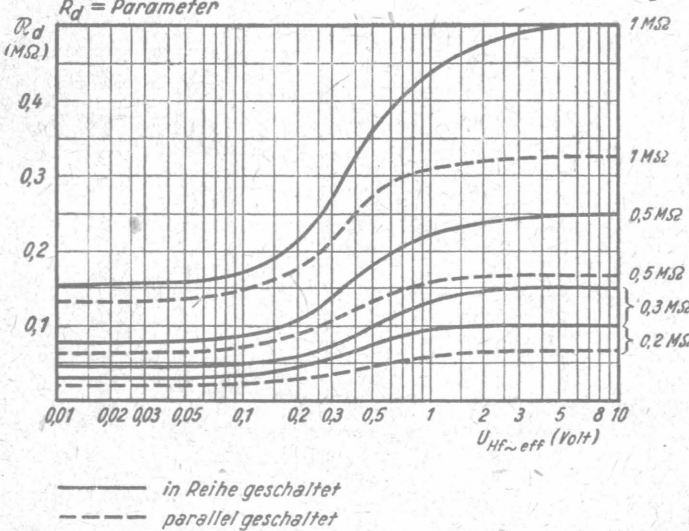
Kennlinienfeld 5

$$R_d = f(U_{HF \sim eff})$$

R_d = Parameter

$$R_d =$$

1 MΩ

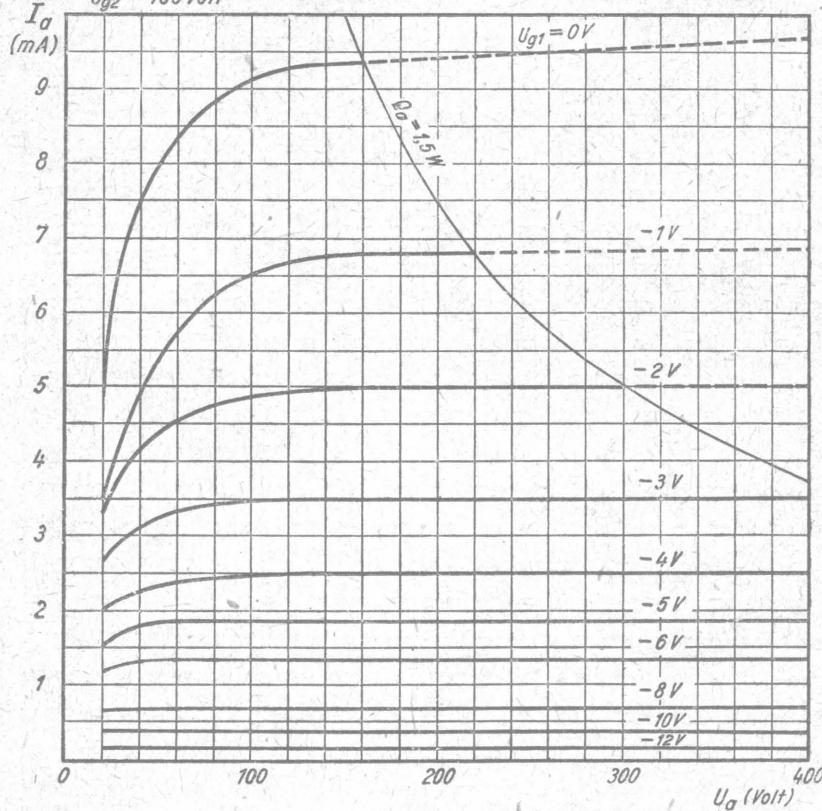


Kennlinienfeld 6

EBF 11
Blatt 4

$$I_a = f(U_a)$$

$$U_{g2} = 100 \text{ Volt}$$

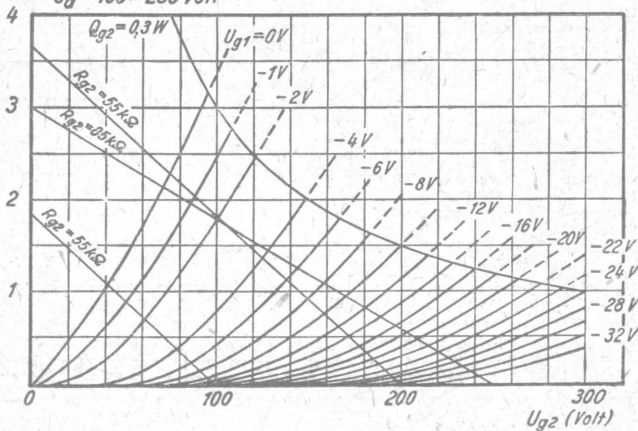


Kennlinienfeld 7

$$I_{g2} = f(U_{g2})$$

$$(nA)$$

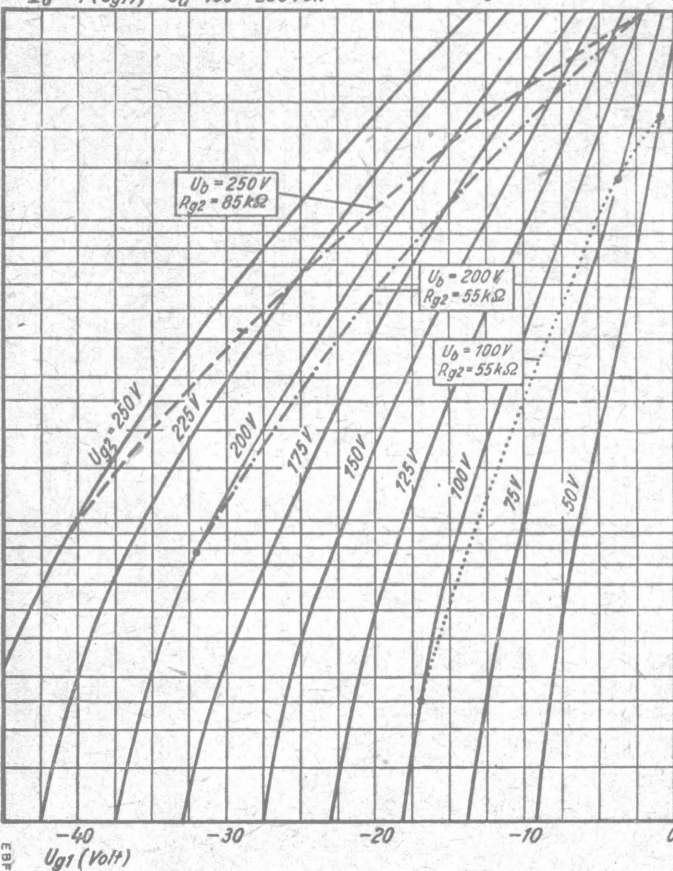
$$U_a = 100 \dots 250 \text{ Volt}$$



Kennlinienfeld 8

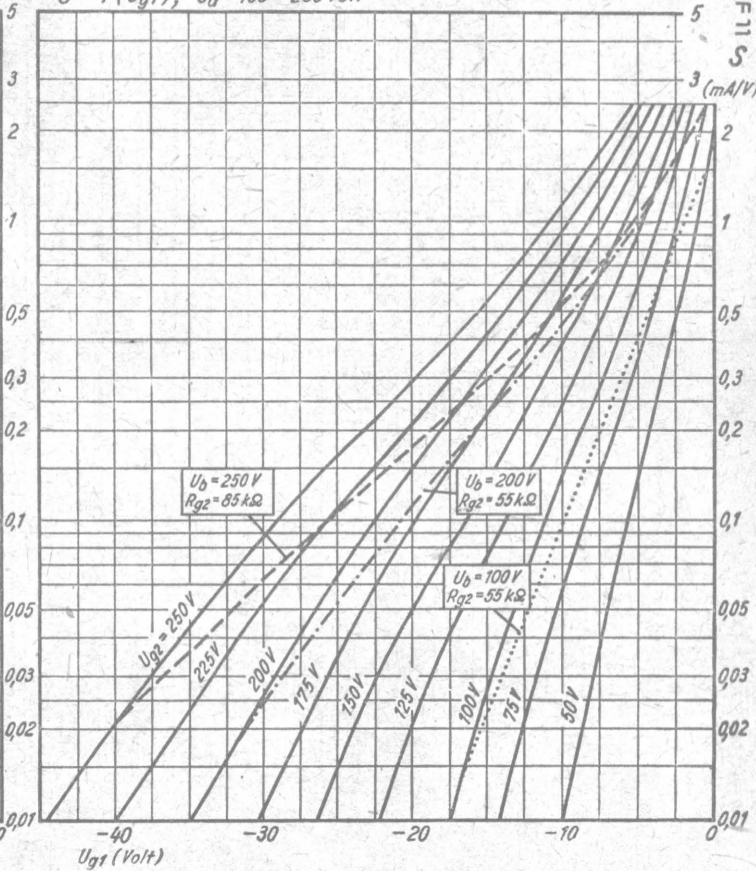
$$I_a = f(U_{g1}), \quad U_a = 100 \dots 250 \text{ Volt}$$

Verlauf der Arbeitskennlinien
eingezeichnet

 **I_a Kennlinienfeld 9**

$$(mA) \quad S = f(U_{g1}), \quad U_a = 100 \dots 250 \text{ Volt}$$

Verlauf der Arbeitskennlinien
eingezeichnet

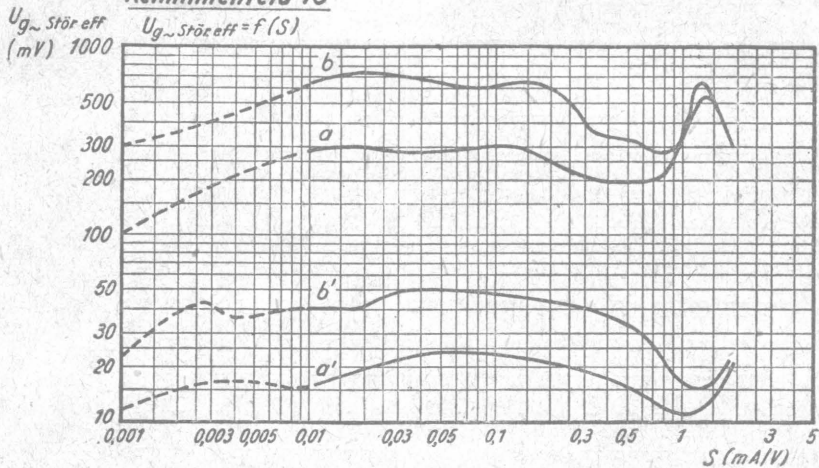


Brumm- und Kreuzmodulationskurven

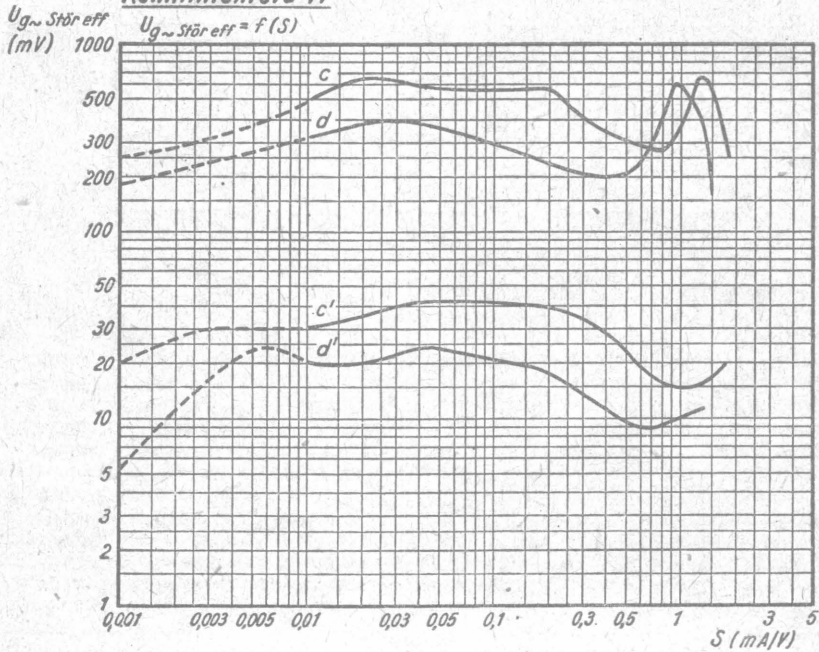
Erklärung siehe Rückseite

EBF 11
Blatt 5

Kennlinienfeld 10



Kennlinienfeld 11



Kurven bei 1% Kreuzmodulation ($m_{\text{Stör}} = m_{\text{Nutz}}$)
bzw. bei 1% Brummmodulation ($m_{\text{Stör}} = 1$)

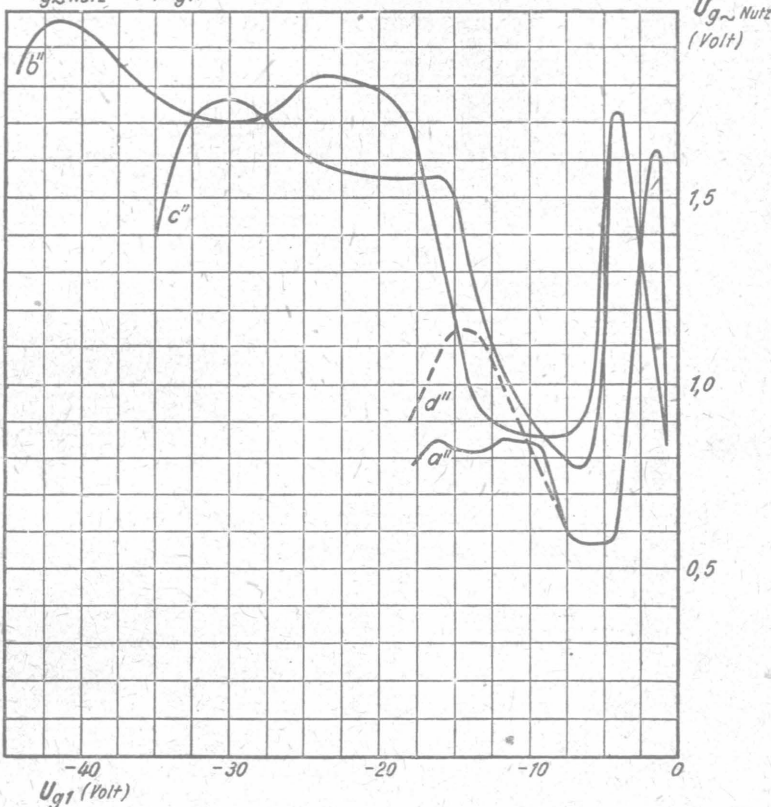
	Kreuz- modulation	Brumm- modulation	Zulässige Gitterwechsel- spannung
$U_a = 100 \dots 250 \text{ V}, U_{g2} = 100 \text{ V}$	a	a'	a''
$U_b = 250 \text{ V}, \text{ gleitende Schirmgitterspannung über } R_{g2} = 85 \text{ k}\Omega \dots b$	b	b'	b''
$U_b = 200 \text{ V}, \text{ gleitende Schirmgitterspannung über } R_{g2} = 55 \text{ k}\Omega \dots c$	c	c'	c''
$U_b = 100 \text{ V}, \text{ gleitende Schirmgitterspannung über } R_{g2} = 55 \text{ k}\Omega \dots d$	d	d'	d''

Zulässige Gitterwechselspannung

Bedeutung von a'', b'', c'', d'' siehe Kennlinienfelder 10 und 11.

Kennlinienfeld 12

$$U_{g\sim \text{Nutz}} = f(U_{g1})$$



Die Kreuzmodulationskurven geben die Größe der effektiven Störspannung in Abhängigkeit von der Steilheit bei einem Kreuzmodulationsgrad von 1% an, vorausgesetzt, daß $m_{\text{Stör}} = m_{\text{Nutz}}$ ist. Es ist also gleichgültig, ob beide Sender mit $m = 30\%$ oder 100% moduliert sind. Die Hauptsache ist, daß die Modulation des Störsenders und die Modulation des Nutzsenders gleich groß sind. Ist das nicht der Fall, so ist die aus den Kurven gefundene Größe noch mit $\sqrt{\frac{m_{\text{Stör}}}{m_{\text{Nutz}}}}$ zu multiplizieren.

Die aus den Kurven ermittelte Störwechselspannung $U_{g\sim \text{Stör}}$ entspricht zugleich Verzerrungen von $1/12\% K_3$, $3\% m_T$ und $0,5\% m_T$. Das Verzerrungsmaß U_T ist im betreffenden Arbeitspunkt = 10 $U_{g\sim \text{Stör}}$, und die höchstzulässige Nutzwechselspannung ist gleich $2,828 U_{g\sim \text{Stör}}$ (effektiv) bzw. gleich $4 U_{g\sim \text{Stör}}$ (Spitzenspannung).

Es ist K_2 die 2. Harmonische, K_3 die 3. Harmonische, m_T die (hochfrequente) Modulationsverzerrung und m_T die Modulationsvertiefung.

Die Brummmodulationskurven geben die Größe der effektiven Störspannung $U_{g\sim \text{Stör}}$ in Abhängigkeit von der Steilheit bei einem Brummmodulationsgrad von 1% an, vorausgesetzt, daß $m_{\text{Nutz}} = 100\%$. Ist m_{Nutz} kleiner, so ist $U_{g\sim \text{Stör}}$ noch mit m_{Nutz} zu multiplizieren. Eigentlich kennzeichnen die Kurven ja das Verhältnis der Störspannung zur Nutzträgerwelle, unabhängig vom Modulationsgrad. Nun ist es natürlich klar, daß eine Brummstörung viel unangenehmer in Erscheinung tritt, wenn der Nutzsender nur 30prozentig moduliert ist, als bei 100prozentiger Modulation. Deshalb wird die Forderung gestellt, daß der Modulationsbrumm höchstens $1/100$ der Sendermodulation beträgt. Bei einer 30prozentigen Sendermodulation darf der Brummmodulationsfaktor entsprechend auch nur $\frac{0,3}{100} = 0,3\%$ der Nutzträgerwelle betragen, also nur $0,3 \cdot U_{g\sim \text{Stör}}$ der Brummmodulationskurven. Die Brummmodulationskurven entsprechen außerdem noch zugleich einem Gehalt an K_2 von 0,25%.



Röhren-Dokumente

Stahlröhre, Triode - Hexode

für regelbare Mischstufen

FUNKWERK - Sammlung, Gruppe Röhrentechnik

ECH 11

13 Blätter

Heizung:

Indirekt geheizte Kathode

Heizspannung

U_f

6.3

Volt $\sim \sim$

Heizstrom

I_f

0.2

A ind.

Meßwerte (statisch):

1. Triodenteil

Anodenspannung	U_{AT}	150	150	150	120	100	100	65	Volt
Gittervorspannung	U_{g11}	0	-2	-10	-10	0	-2	-5	Volt
Anodenstrom	I_{AT}	19	12.5	0.6	0.2	11	6	0.5	mA
Steilheit	S	3.3	2.9	0.3	0.25	2.7	2.1	0.3	mA/V
Durchgriff	D	5	5	6	6	5	5.3	6	%
Innenwiderstand	R_i	6	6.9	55	67	7.4	9.5	55	k Ω

Siehe auch das Kennlinienfeld 24

2. Hexodenteil

Anodenspannung	U_{AH}	250	200	100	Volt
Schirmgitterspannung	U_{g2+4}	100	100	50	Volt
Gitterspannung	U_{g3}	-10	-10	-5	Volt
Gittervorspannung	U_{g1H}	-2	-2	-2	Volt
Anodenstrom	I_{AH}	2.3	2.3	0.45	mA
Schirmgitterstrom	I_{g2+4}	3	3	0.6	mA
Steilheit	S	7.1	7.1	0.7	mA/V
Innenwiderstand	R_i	>0.8	>0.4	>1	k Ω

Siehe auch die Kennlinienfelder 1 - 5, 8 - 10

Betriebswerte:

1. Triodenteil (in schwingendem Zustand, bei mittlerer Kreisgüte)

Betriebsspannung	U_b	250	200	100	Volt
Anodenwiderstand	R_A	30	30	30	k Ω
Anodenspannung	U_{AT}	150	120	65	Volt
Durchgriff	D	6	6	6	%
Oszillatorenspannung 1) U_{OSZ}	-10	-10	-5	Volt	
Anodenstrom	I_{AT}	3.4	2.6	1.2	mA
Gitterableitwiderstand	R_{g1T}	30	30	30	k Ω

Siehe auch die Kennlinienfelder 23 und 25

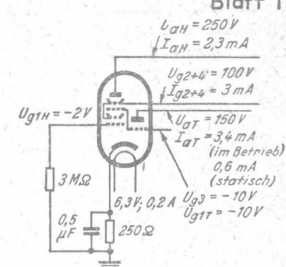
2. Hexodenteil

a) Schirmgitterspannung fest

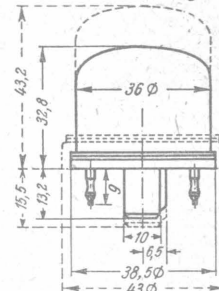
Anodenspannung	U_{AH}	250	200	100	Volt
Schirmgitterspannung	U_{g2+4}	100	100	50	Volt
Oszillatorenspannung 1) U_{g3}	-10	-10	-5	Volt	
Katodenwiderstand	R_k	250	300	300	Ω
Regelbereich	1 : 100	: 400 (opt)	1 : 100 (opt)	1 : 100 (opt)	1 : 300 (opt)
Gittervorspannung	U_{g1H}	-2	-13	-17	Volt
Mischsteilheit	S_c	650	6.5	1.6	650
Innenwiderstand	R_i	>0.8	>10	>10	k Ω

b) Schirmgitterspannung über Vorwiderstand $R_{g2+4} = 50 \text{ k}\Omega$ (vollgleitend)

Betriebsspannung	U_b	250	200	100	Volt
Oszillatorenspannung 1) U_{g3}	-10	-10	-5	Volt	
Katodenwiderstand	R_k	230	350	350	Ω
Regelbereich	1 : 100	: 400 (opt)	1 : 100 (opt)	1 : 100 (opt)	1 : 300 (opt)
Schirmgitterspannung	U_{g2+4}	100	227	235	Volt
Gittervorspannung	U_{g1H}	-2	-18	-24	Volt
Mischsteilheit	S_c	650	6.5	1.6	650
Innenwiderstand	R_i	>0.8	>0.3	>0.5	k Ω

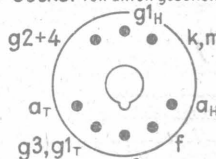


Kolbenabmessungen



Gestrichelt: Ältere Ausführung
Ausgezogen: Neue Ausführung

Sockel von unten gesehen



c) Schirmgitterspannung über Spannungsteiler (schwach gleitend)

Betriebsspannung	U_b	250	200	100	Volt
Oszillatorkennspannung 1)	U_{g3}	-10	-10	-5	Volt
Spannungsteiler	$R_{g2/+}$	35	35	35	k Ω
	$R_{g2/-}$	60	100	100	k Ω
Katodenwiderstand	R_k	250	350	350	Ω
Regelbereich	1 : 100 : 400 (opt.)	1 : 100 : 400 (opt.)	1 : 100 : 300 (opt.)		
Schirmgitterspannung	U_{g2+4}	97	156	157	
Gittervorspannung	U_{g1H}	-2	-16	-20	
Mischstabilität	S_c	640	6,4	1,6	
Innenwiderstand	R_i	> 1	> 7	> 10	M Ω

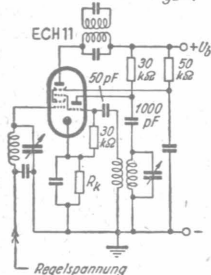
1) Im schwingenden Zustand ist $U_{g3H} = -U_{g1T} = -U_{g3N} = -I_{g1T} \times R_{g1T}$ (30 k Ω bei der ECH 11).

Zur Konstanthaltung der Schwingamplitude im Kurzwelengebiet ist ein zusätzlicher Dämpfungswiderstand R_d zweckmäßig. (Siehe Kennlinienfelder 15 und 16 und die dazugehörige Meßschaltung)

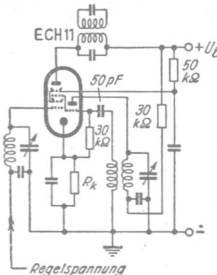
Siehe auch die Kennlinienfelder 7, 11...22 und 26...36

Schirmgitterspannung über Vorwiderstand

$$R_{g2+4} = 50 \text{ k}\Omega$$

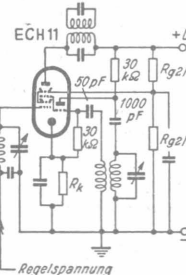


Anodenwiderstand des Triodenteils parallel zum Oszillatorkreis

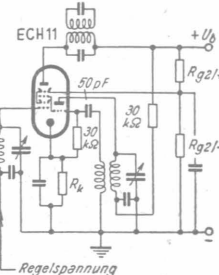


Anodenwiderstand des Triodenteils in Reihe mit dem Oszillatorkreis

Schirmgitterspannung über Spannungsteiler



Anodenwiderstand des Triodenteils parallel zum Oszillatorkreis



Anodenwiderstand des Triodenteils in Reihe mit dem Oszillatorkreis

Grenzwerte:

	des Triodenteils	des Hexodenteils	
Anodenspannung	150	300	Volt
Anodenkältespannung	550	550	Volt
Schirmgitterspannung	$I_{g2+4} \text{ max}$ { $I_{g1H} = 2,3 \text{ mA}$ - } $I_{g1H} \leq 1 \text{ mA}$ -	125	Volt
Schirmgitterkältespannung	-	300	Volt
Anodenbelastung	$Q_a \text{ max}$	550	Volt
Schirmgitterbelastung	$Q_{g2+4} \text{ max}$	550	Volt
Gitterableitwiderstand	$R_{g1} \text{ max}$	0,050	μA
Katodenstrom	$I_k \text{ max}$	1,8	mA
Gitterstrom-Einsatzpunkt bei $U_{ge} = -1,3 \text{ Volt}$	I_{g1H} $I_{g3} = I_{g1T}$	$\leq 0,3$	μA
Sperrspannung zwischen Faden und Schicht	$U_{f/k} \text{ max}$	100	Volt
Außenwiderstand zwischen Faden u. Schicht 2)	$R_{f/k} \text{ max}$	20	k Ω

2) Mit Rücksicht auf Brummen und andere Störgeräusche sollen nur solche Schaltmittel zwischen Faden und Schicht gelegt werden, die Gittervorspannung erzeugen.

Innere Röhrenkapazitäten

	des Triodenteils	des Hexodenteils	
Eingang	$C_e (C_{g/k})$	4,3	pF
Ausgang	$C_a (C_{a/k})$	2,5	pF
Gitter 1 - Anode	$C_{g1/a}$	< 1,6	pF
Gitter 1 - Gitter 3	$C_{g1/g3}$	-	< 0,001 pF
Gitter 1 - Heizfaden	$C_{g1/f}$	-	< 0,25 pF

Pfeifstörungen bei Mischröhren

Treffen auf das Gitter einer Röhre mit einer gekrümmten Kennlinie zu gleicher Zeit zwei Frequenzen auf, so treten im Anodenkreis dieser Röhre nicht nur diese beiden Frequenzen auf, sondern auch die Summen- und Differenzfrequenzen $f_1 + f_2$ und $f_1 - f_2$ (Mischfrequenzen, Kombinationstöne).

Bei der **Zwischenfrequenzbildung** ist dieser Vorgang gewollt, die gewünschte Differenzfrequenz ($f_0 - f_e = f_z$) wird durch das ausgangsseitige Zwischenfrequenzfilter herausgesiebt. Die Zwischenfrequenz kann sich aber auch durch Überlagerung einer dritten, gleich weit entfernten Frequenz mit der Oszillatorkreisfrequenz bilden:

Spiegelfrequenzbildung. Ist z.B. $f_0 = 500\text{ kHz}$, $f_e = 125\text{ kHz}$, so ergibt sowohl $500\text{ kHz} - 375\text{ kHz}$ als auch $625\text{ kHz} - 500\text{ kHz}$ die Zwischenfrequenz. Es ist 625 kHz die Spiegelfrequenz zu 375 kHz . Bei mangelnder Selektivität des Eingangskreises kann diese Spiegelfrequenz stören.

Haben zwei Sender einen Abstand, der nur wenig von der Zwischenfrequenz verschieden ist, und mischen sich diese beiden Sender direkt infolge der Unlinearität der Kennlinie, so bildet diese Mischfrequenz mit der Zwischenfrequenz zusammen einen Pfeifton. Man bezeichnet diese Störung als **Überlagerungspfeifen**: $f_0 = 500\text{ kHz} - 375\text{ kHz} = 125\text{ kHz}$, $f_e = 505\text{ kHz} - 375\text{ kHz} = 130\text{ kHz}$, $130\text{ kHz} - 125\text{ kHz} = 5\text{ kHz}$.

Es können sich auch Oberwellen der Empfangsfrequenz mit Oberwellen der Oszillatorkreisfrequenz mischen und die entstandene Mischfrequenz wiederum mit der Zwischenfrequenz: **Mehrdeutigkeitspfeifen**. Beispiel: $f_e = 366\text{ kHz}$, $f_0 = 497\text{ kHz}$, ergibt $f_z = 125\text{ kHz}$. Aus $f_e 3 \pm f_0 2$ bildet sich $1098\text{ kHz} - 982\text{ kHz} = 116\text{ kHz}$ und aus 125 kHz

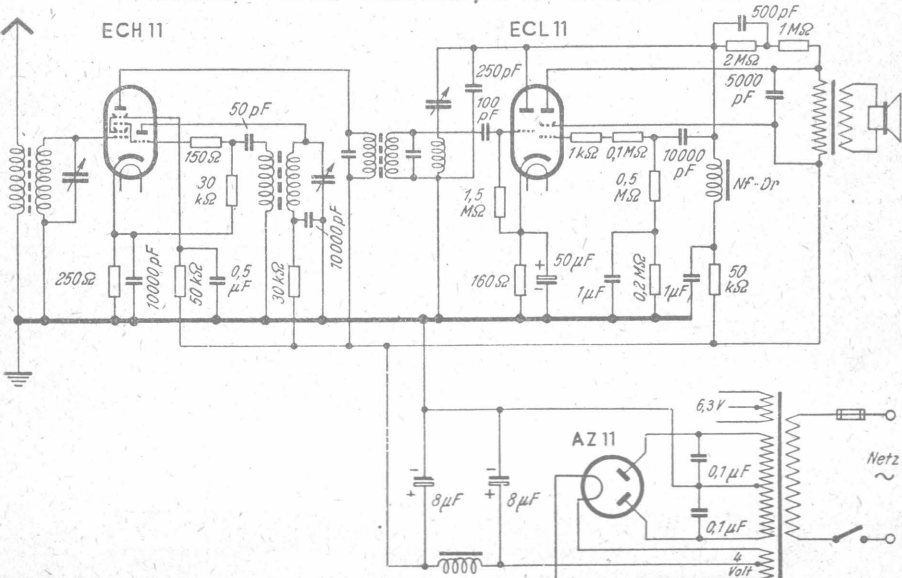
- 116 kHz ein Pfeifton von 9 kHz . Es kann sich auch eine Harmonische der Empfangsfrequenz mit der Grundwelle des Oszillators mischen, auch eine Grundwelle der Empfangsfrequenz mit einer Harmonischen der Oszillatorkreisfrequenz, und immer kann dabei ein Mehrdeutigkeitspfeifen entstehen. Die erste Art von Mehrdeutigkeitspfeifen, für die das Beispiel gebracht wurde, nennt man auch **Selbstüberlagerung**. Tritt Selbstüberlagerung beim Empfang eines nahegelegenen stärkeren Senders auf, so muß man eine andere Zwischenfrequenz wählen. Aus diesem Grunde z.B. kann man in Westdeutschland nicht die Zwischenfrequenz 468 kHz anwenden.

Gegenmittel. Pfeiftonbildung verhindert man durch genügende Vor selektion (Bandfilter, Zwischenfrequenzsperrer, Sperrkreis für Ortsender usw.) oder durch eine Vorstufe. Auch vermeide man additive Mischung; multiplikative Mischung neigt weniger zu Pfeiftonbildungen (A11, ECH 11, UCH 11, EK 3 usw.).

Pfeifstörungen werden also besonders bei älteren Überlagerungsempfängern zu finden sein, bei denen die Vor selektion noch nicht so weit getrieben war. Großsuper mit Vorstufe dagegen werden weniger darunter zu leiden haben. Außerdem wurde bei den älteren Supern eine lange Zwischenfrequenzwelle genommen, wodurch besonders viel Pfeilstellen möglich sind. Durch eine hohe Zwischenfrequenz wird erreicht, daß die Spiegelfrequenzen usw. so weit entfernt liegen, daß sie nicht mehr stören können. In Kauf nehmen muß man dann aber vermindernde Verstärkung der Zwischenfrequenz.

Fritz Künzel

3 Röhren - 4 Kreis - Kleinstsuper für Wechselstrom



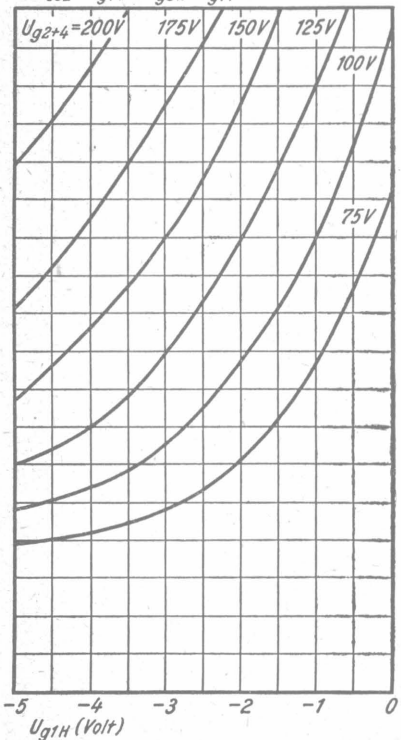
Kennlinienfeld 1

$$I_k = f(U_{g1H})$$

U_{g2+4} = Parameter

$$U_b = 250 \text{ Volt}; R_{aT} = 30 \text{ k}\Omega$$

$$U_{0SZ} = U_{g1T} = U_{g3H} = I_{g1T} \times 30 \text{ k}\Omega = -10 \text{ Volt}$$

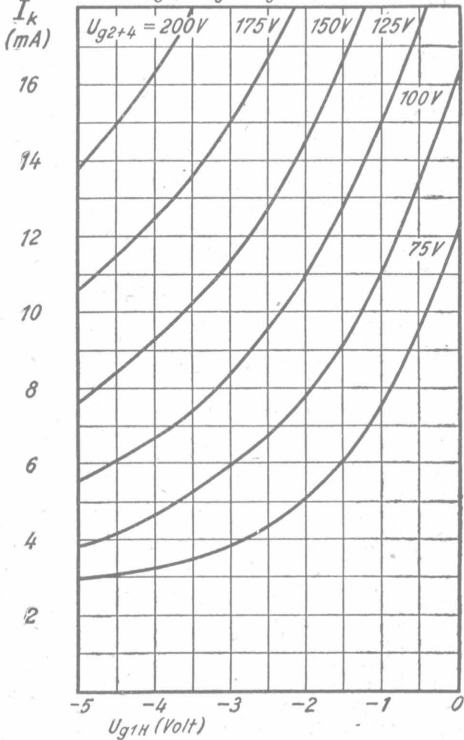
KatodenströmeKennlinienfeld 2

$$I_k = f(U_{g1H})$$

U_{g2+4} = Parameter

$$U_b = 200 \text{ Volt}; R_{aT} = 30 \text{ k}\Omega$$

$$U_{0SZ} = U_{g1T} = U_{g3H} = I_{g1T} \times 30 \text{ k}\Omega = -10 \text{ Volt}$$

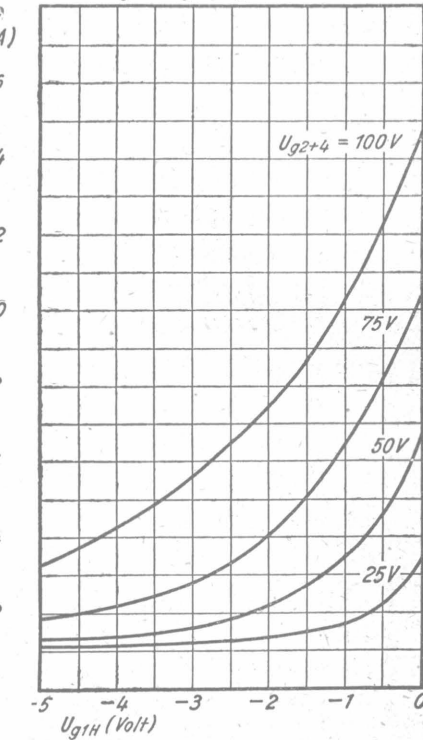
Kennlinienfeld 3

$$I_k = f(U_{g1H})$$

U_{g2+4} = Parameter

$$U_b = 100 \text{ Volt}; R_{aT} = 30 \text{ k}\Omega$$

$$U_{0SZ} = U_{g1T} = U_{g3H} = I_{g1T} \times 30 \text{ k}\Omega = -5 \text{ Volt}$$

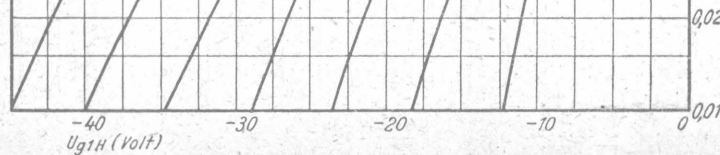
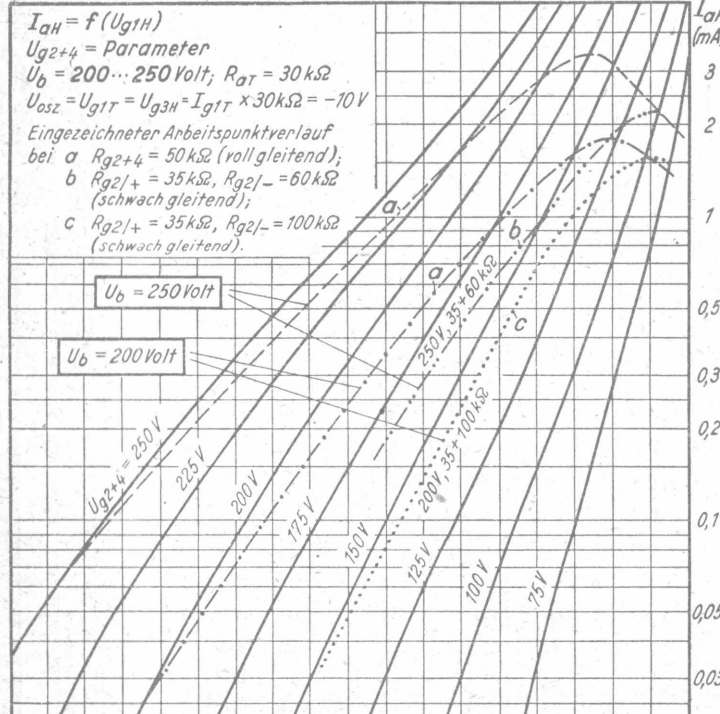
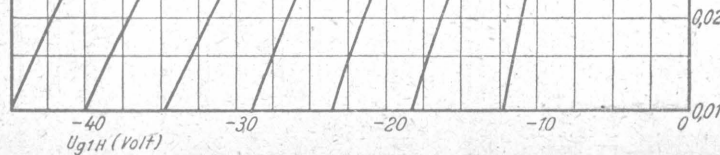
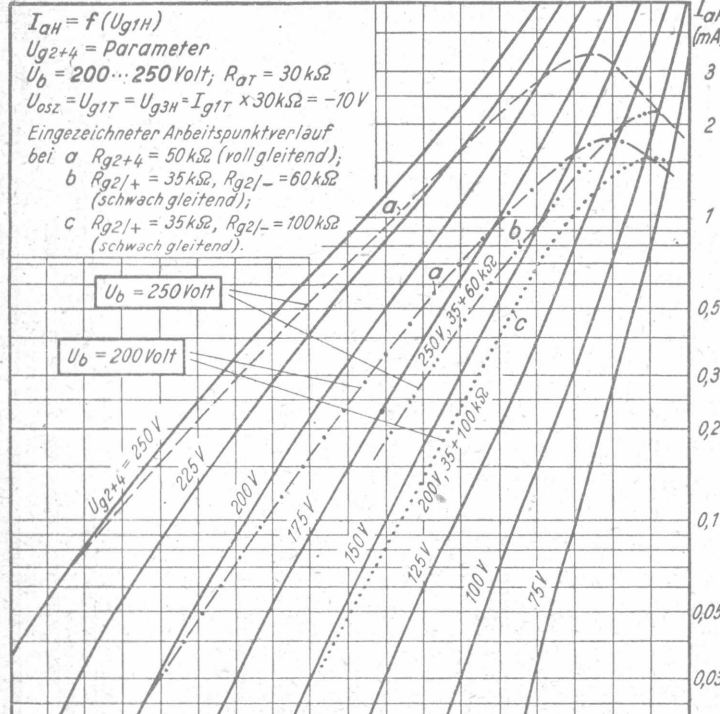
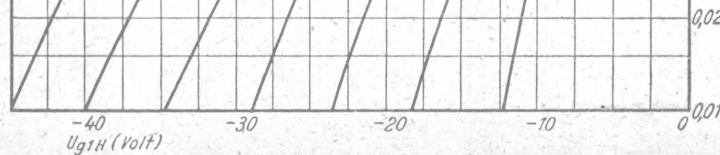
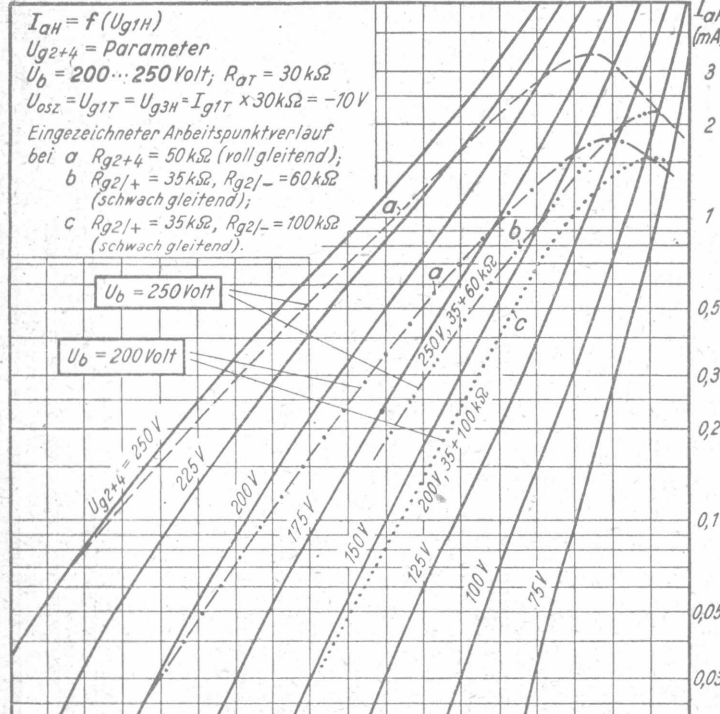
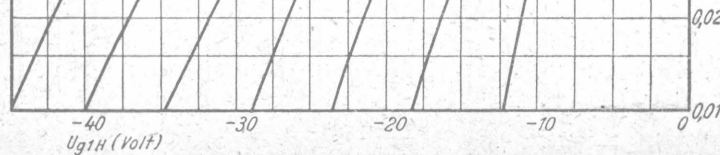
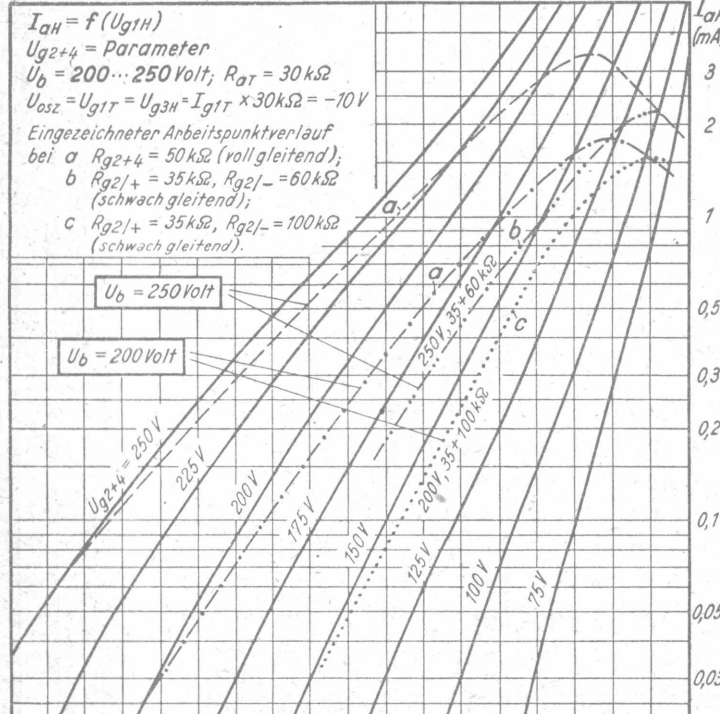
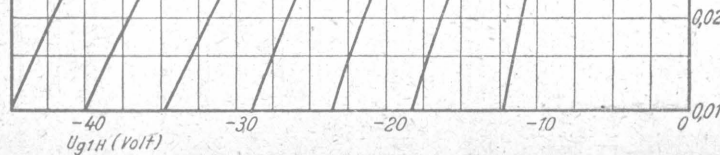
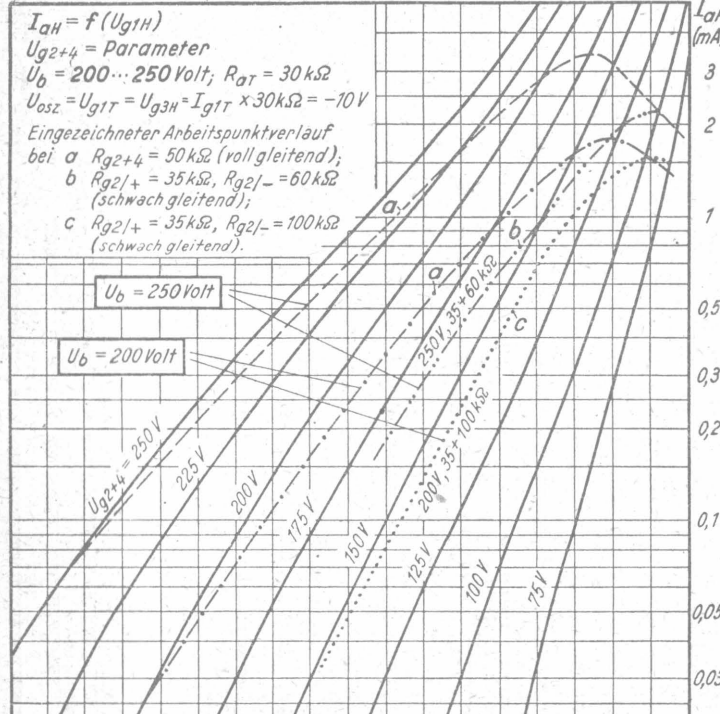
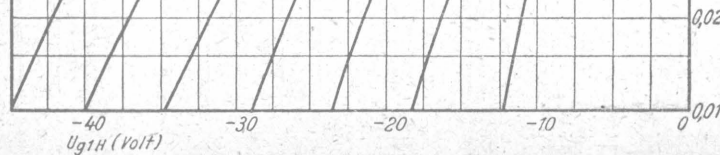
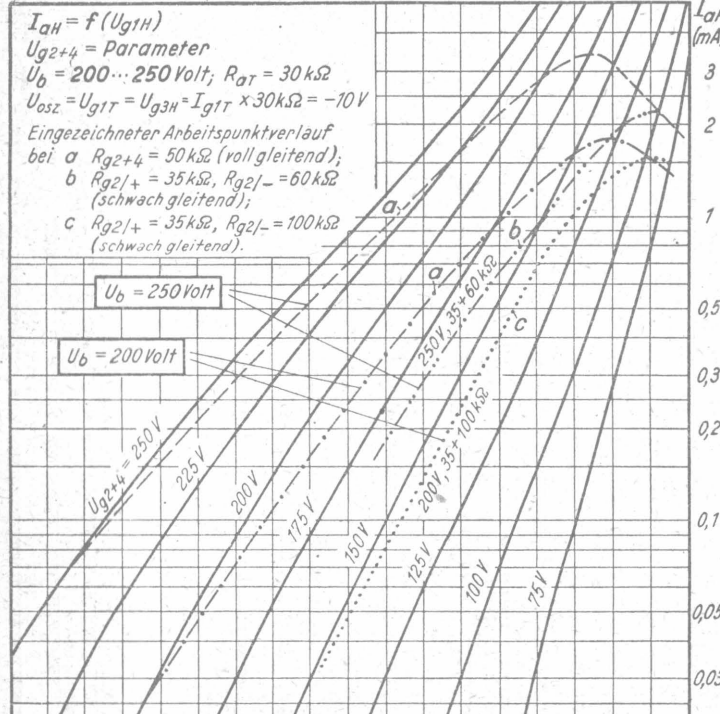
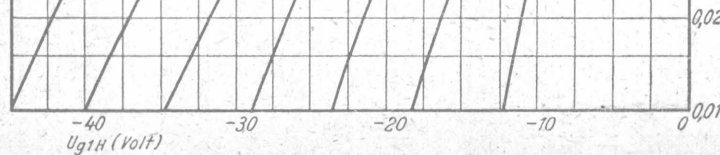
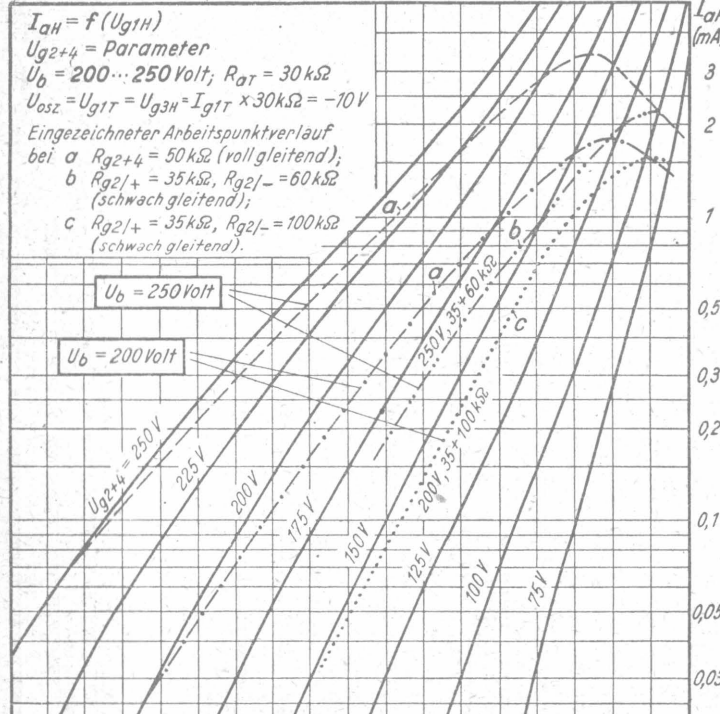
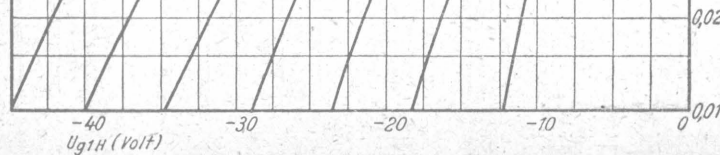
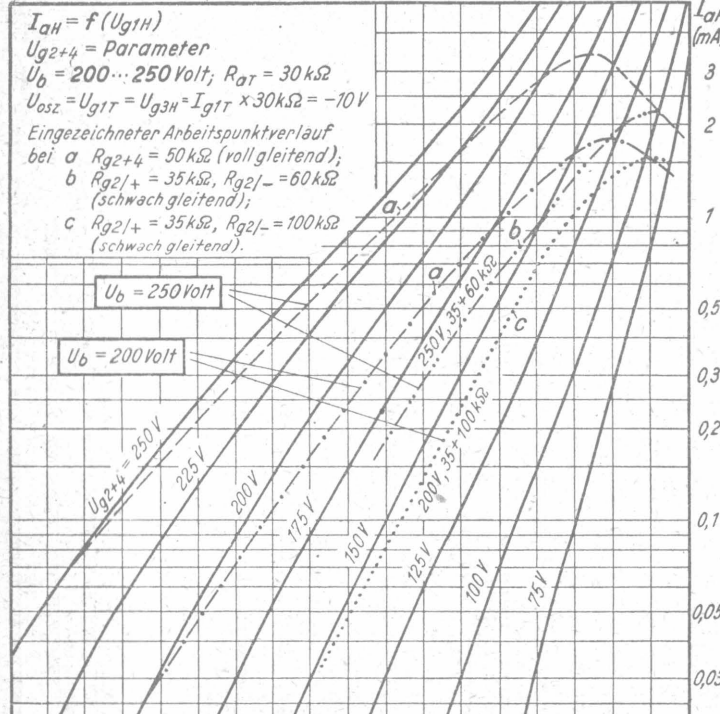
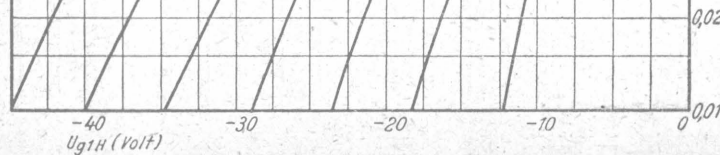
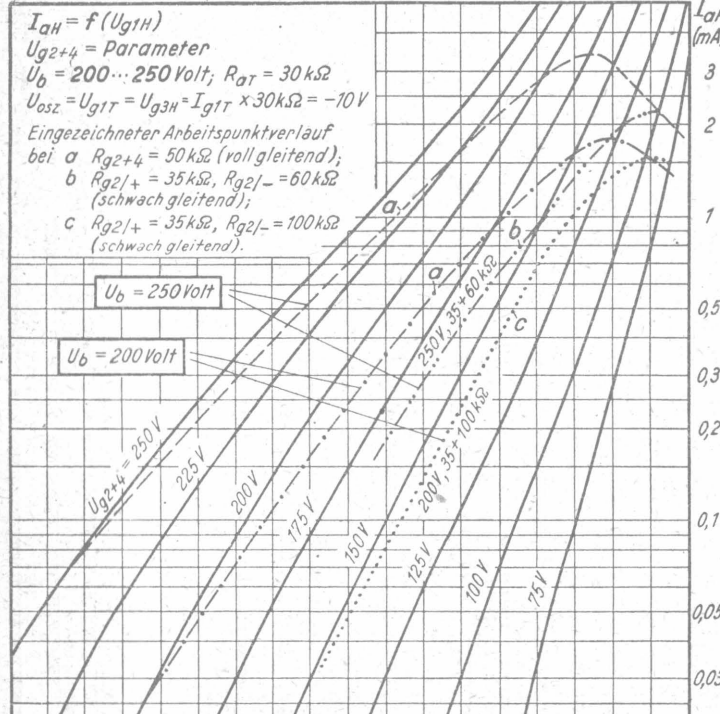
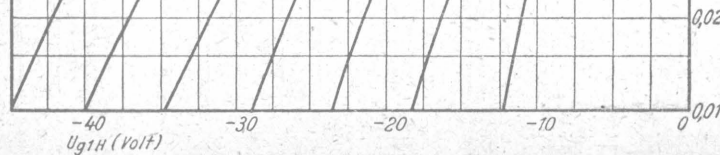
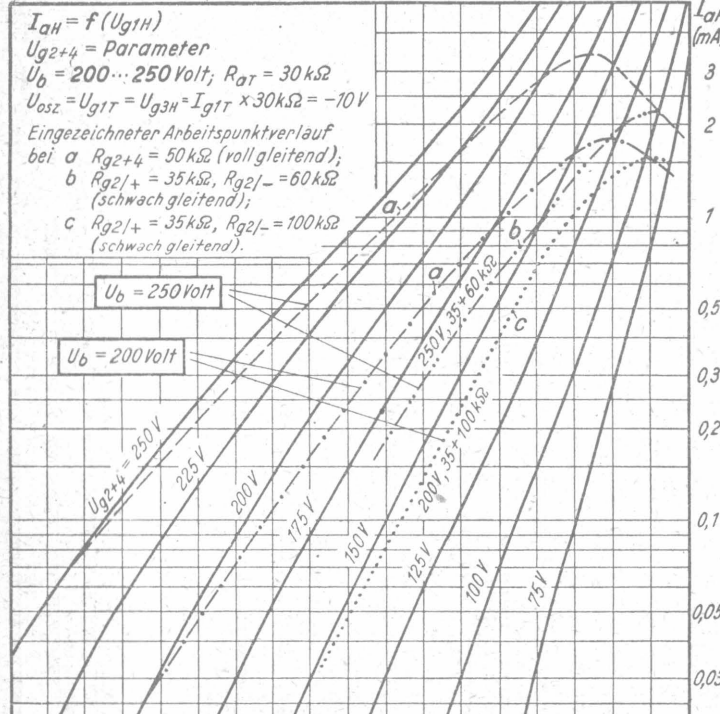
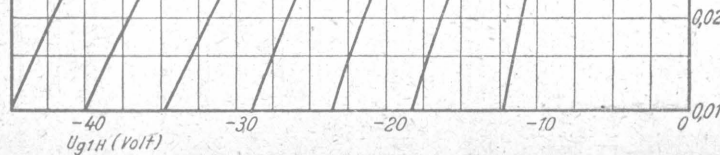
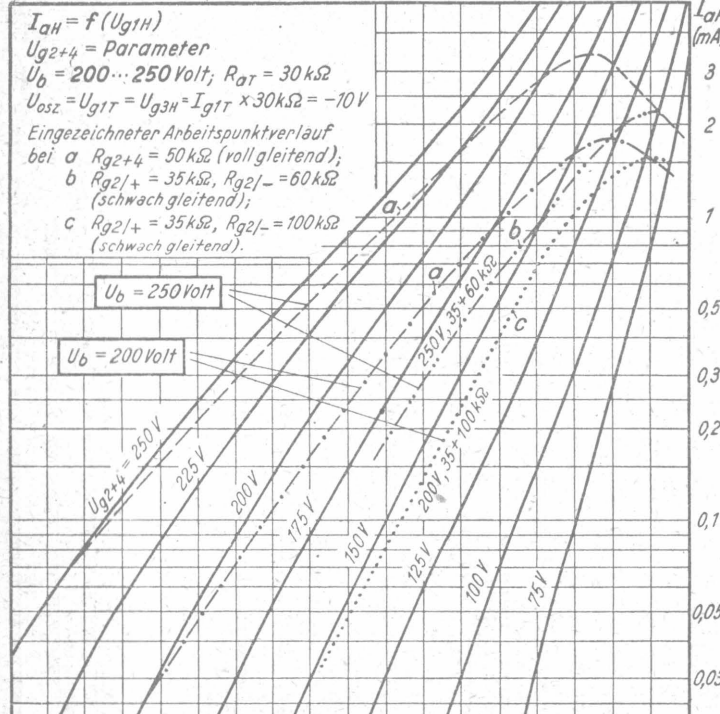
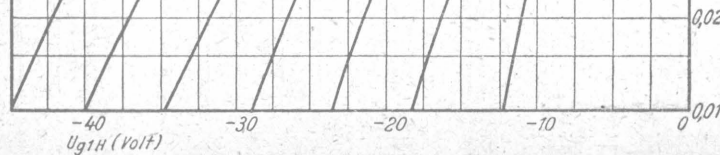
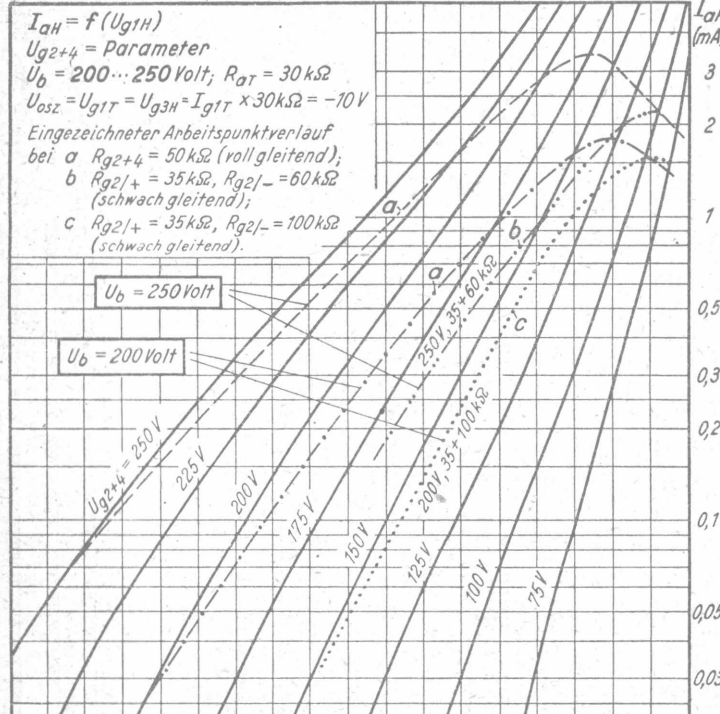
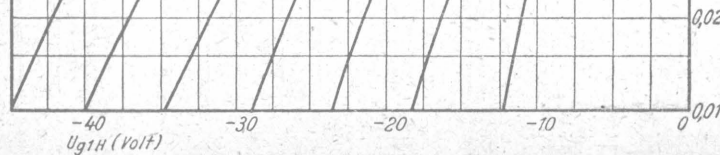
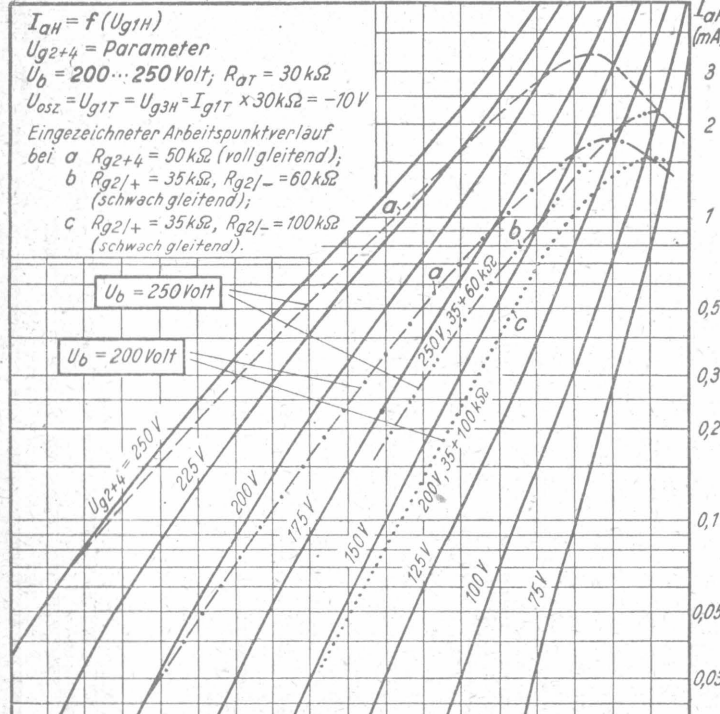
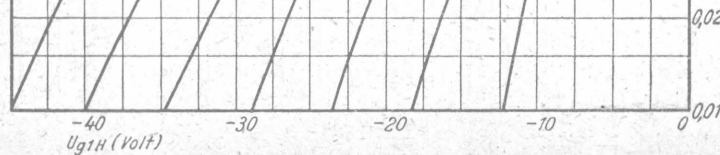
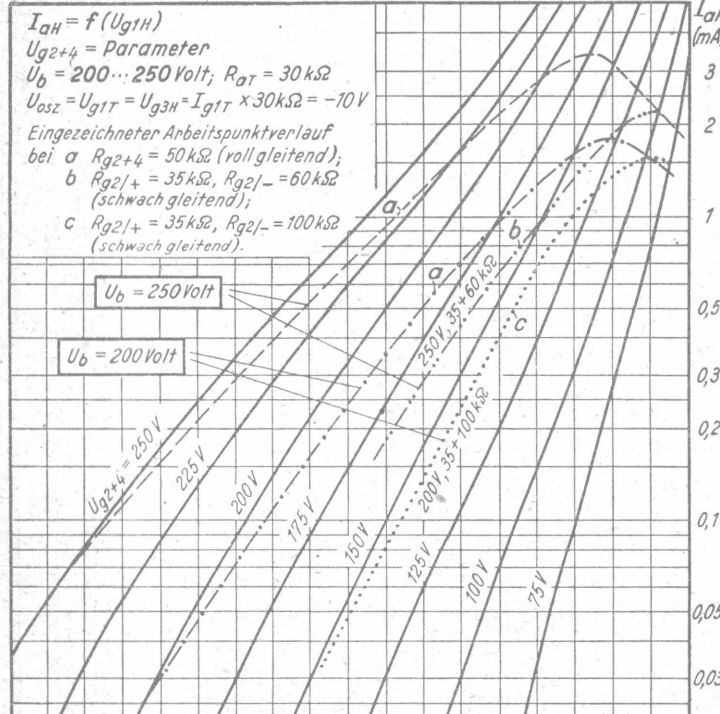
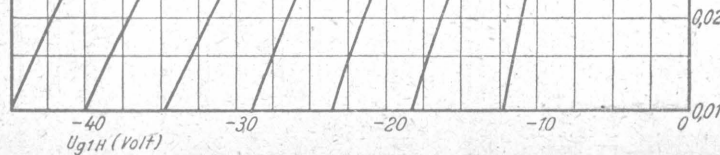
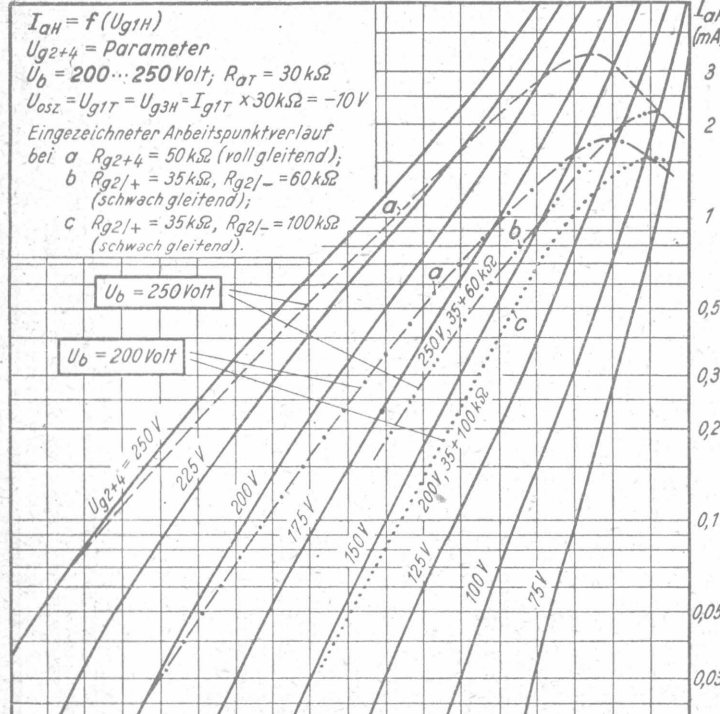
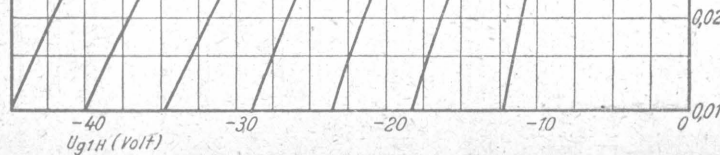
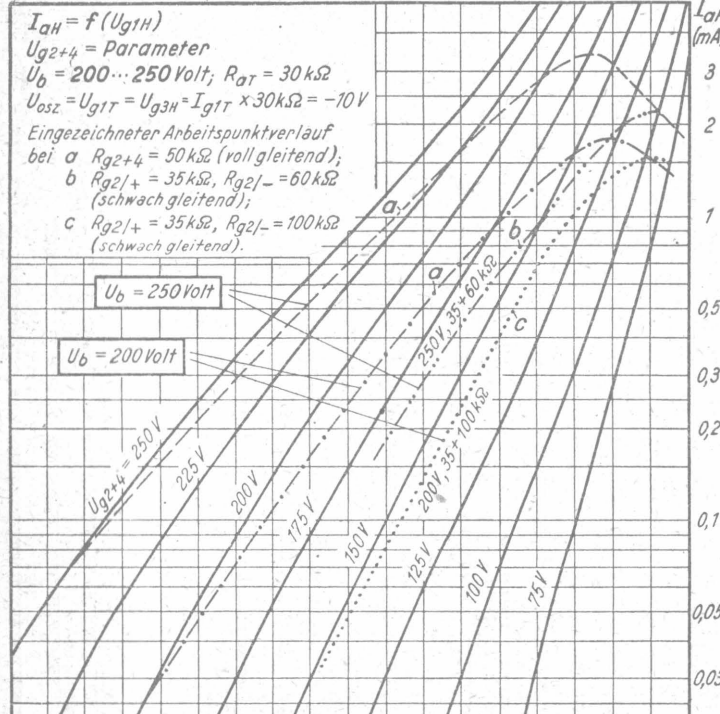
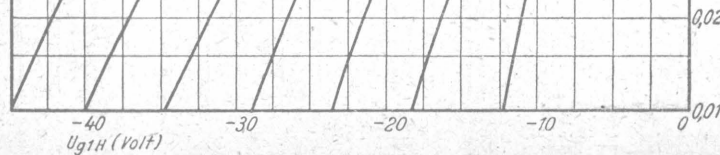
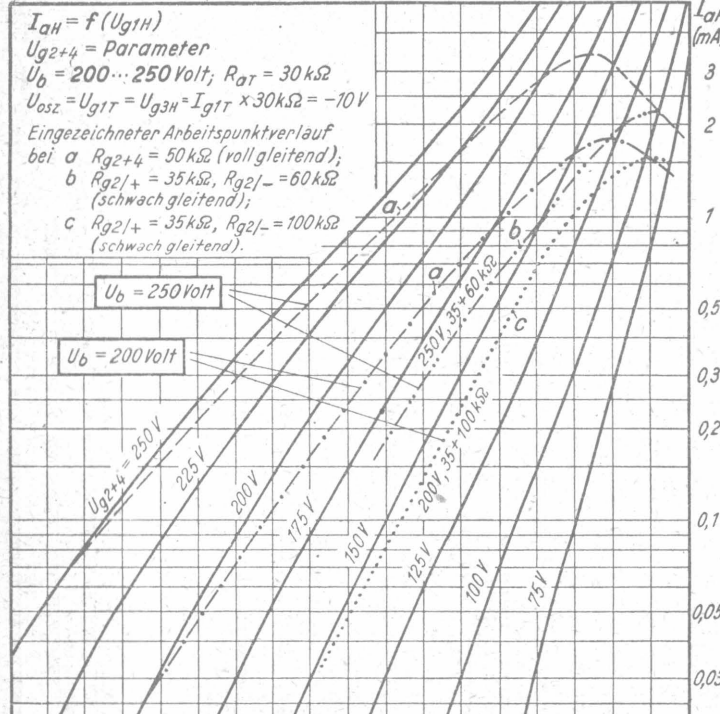
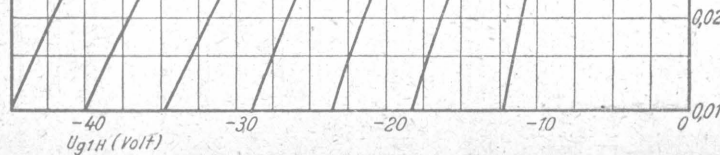
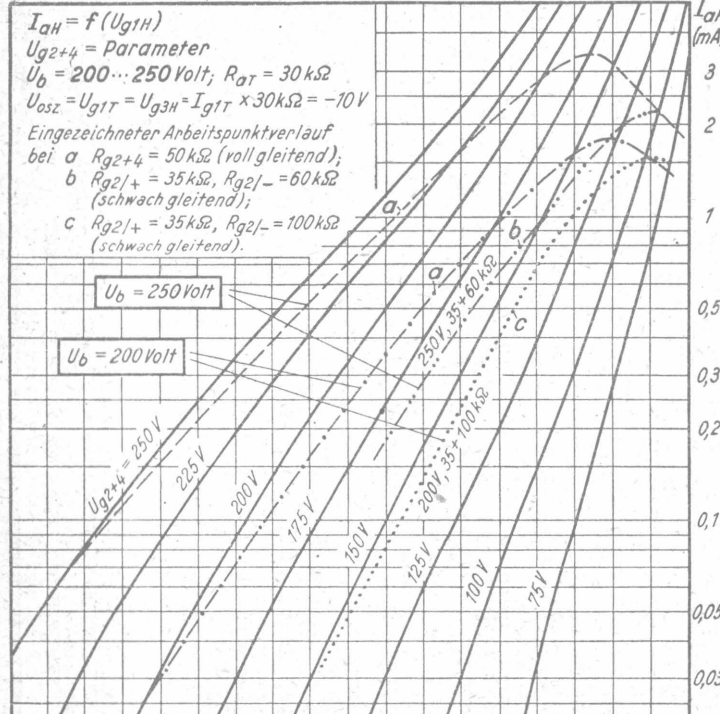
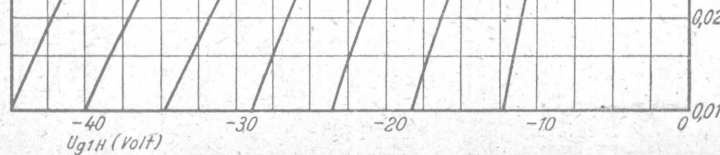
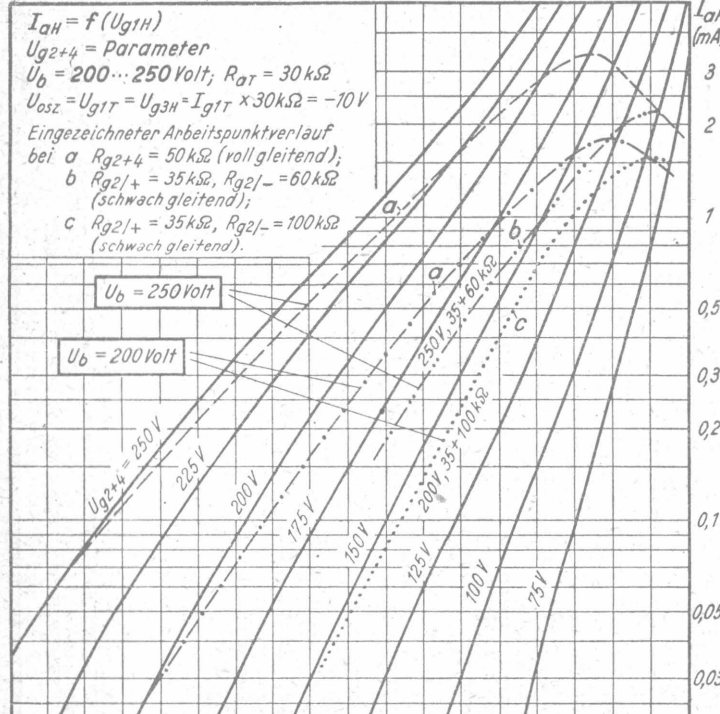
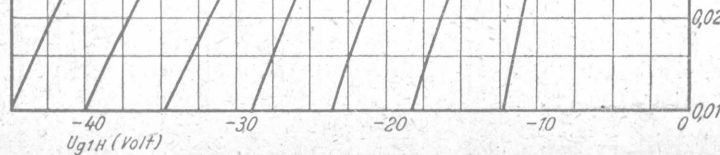
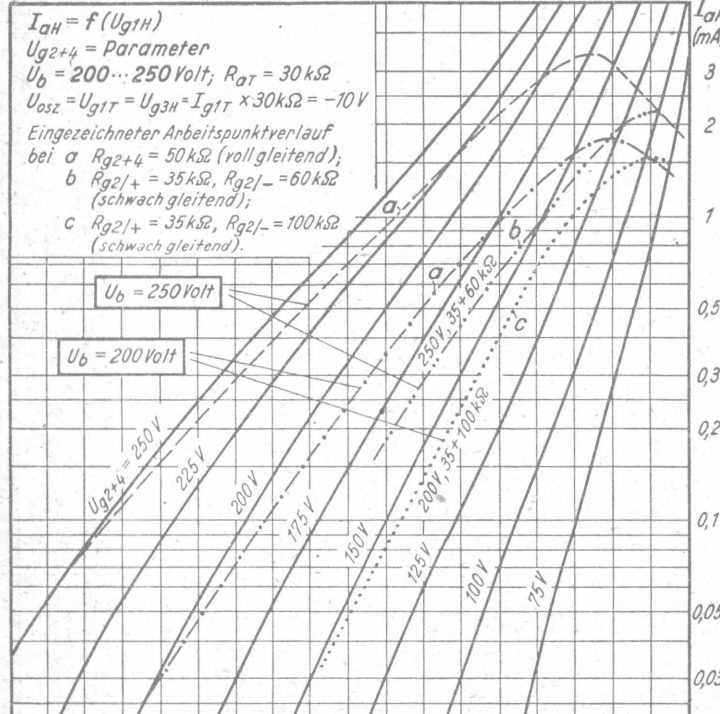
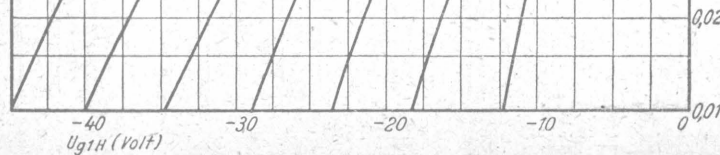
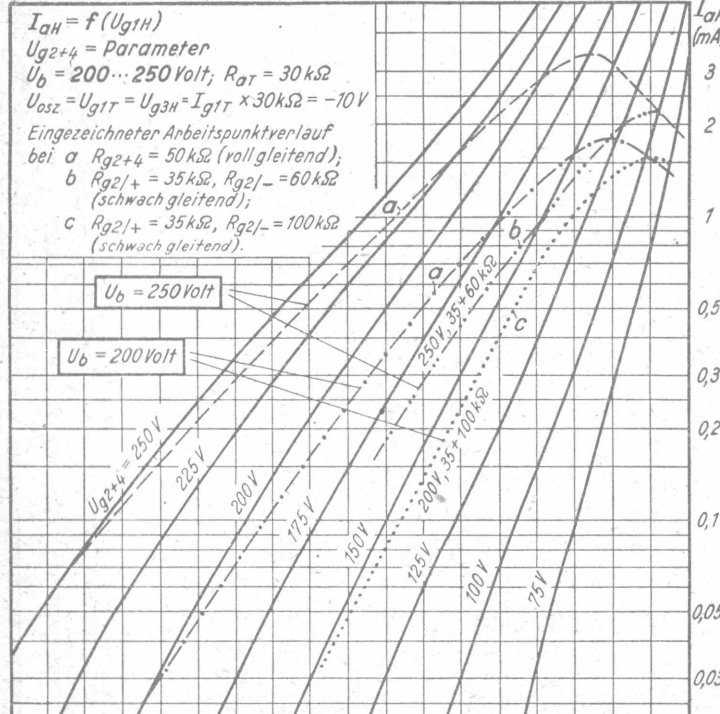
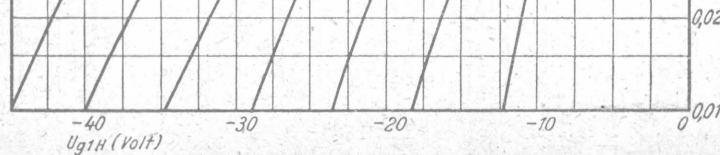
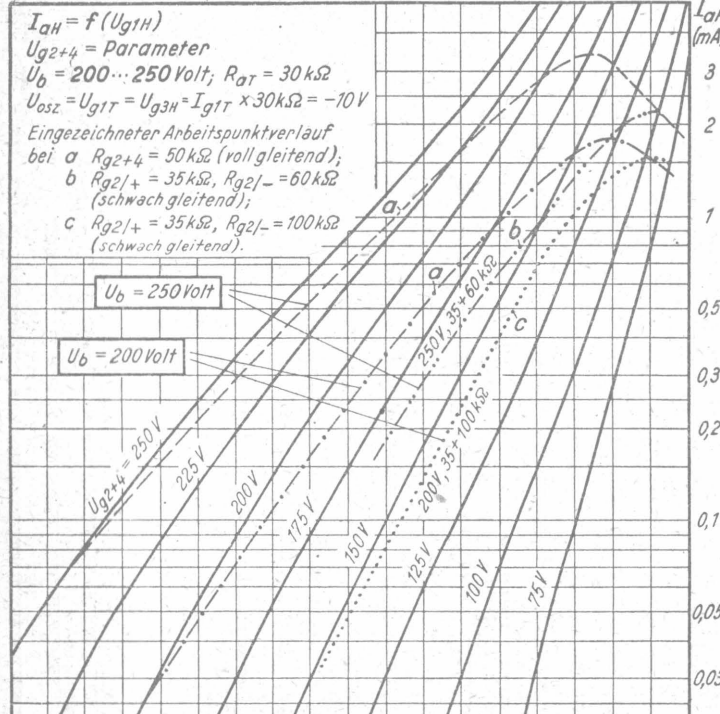
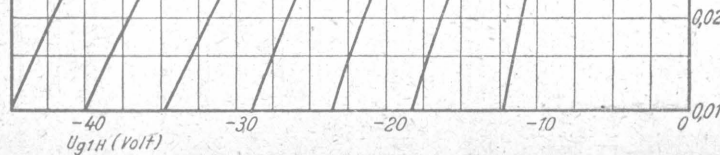
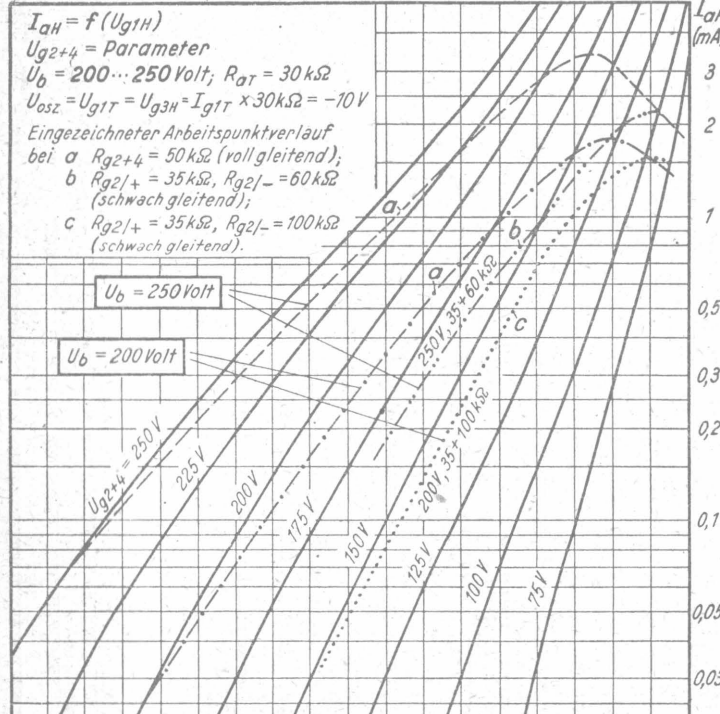
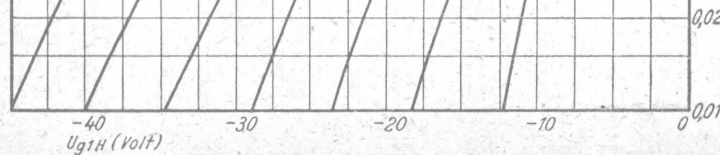
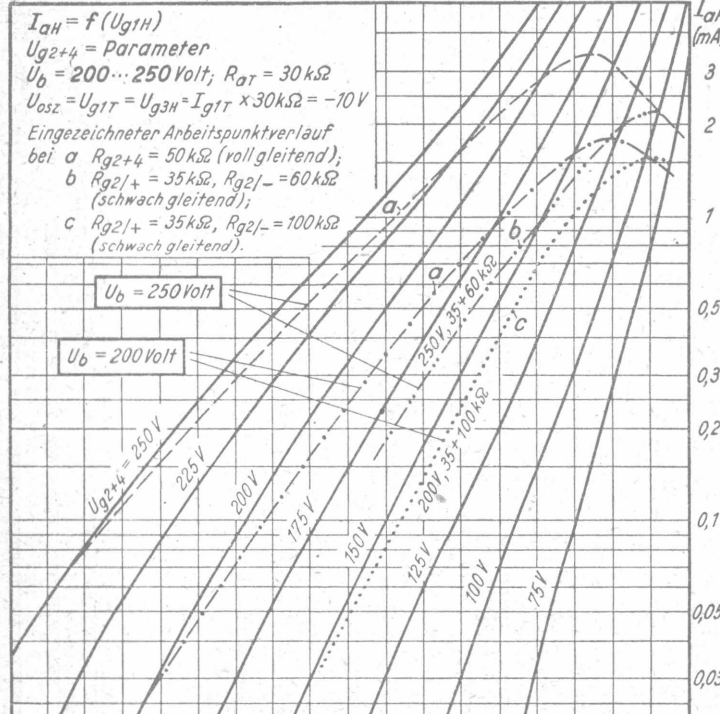
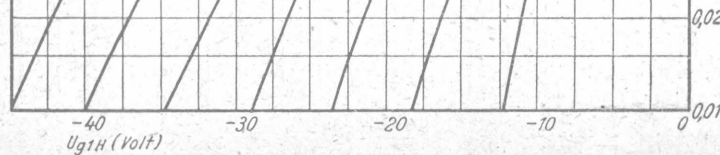
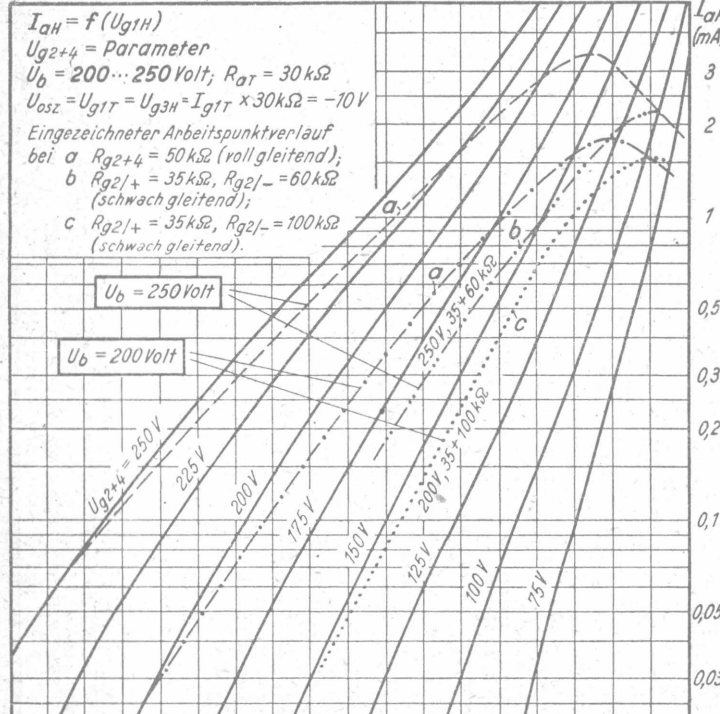
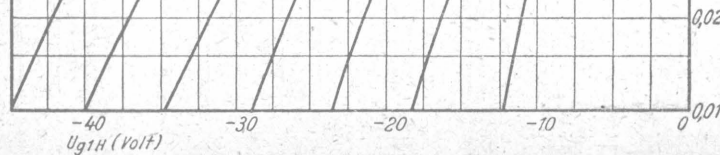
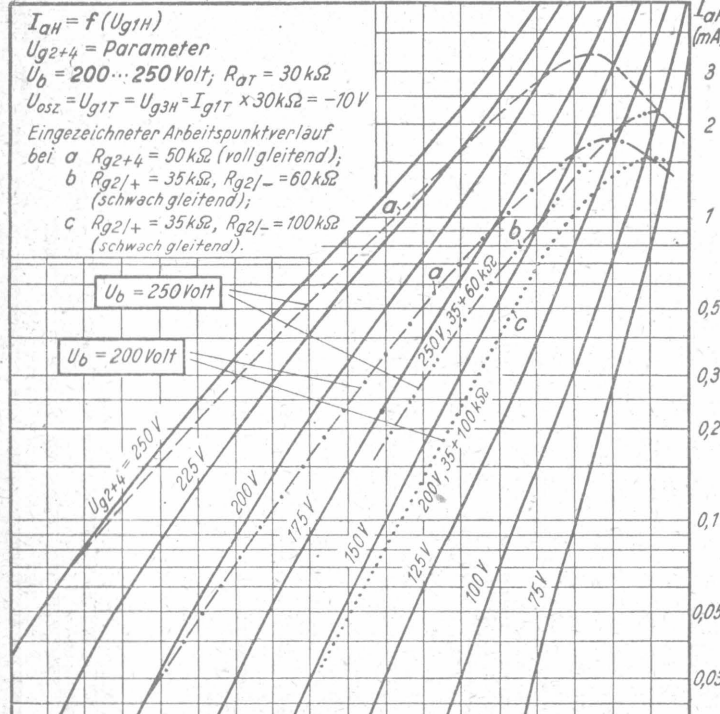
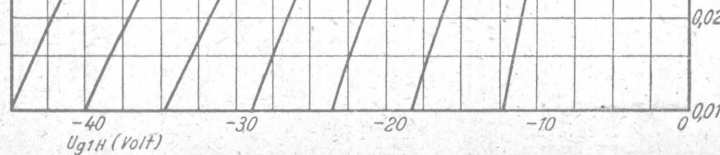
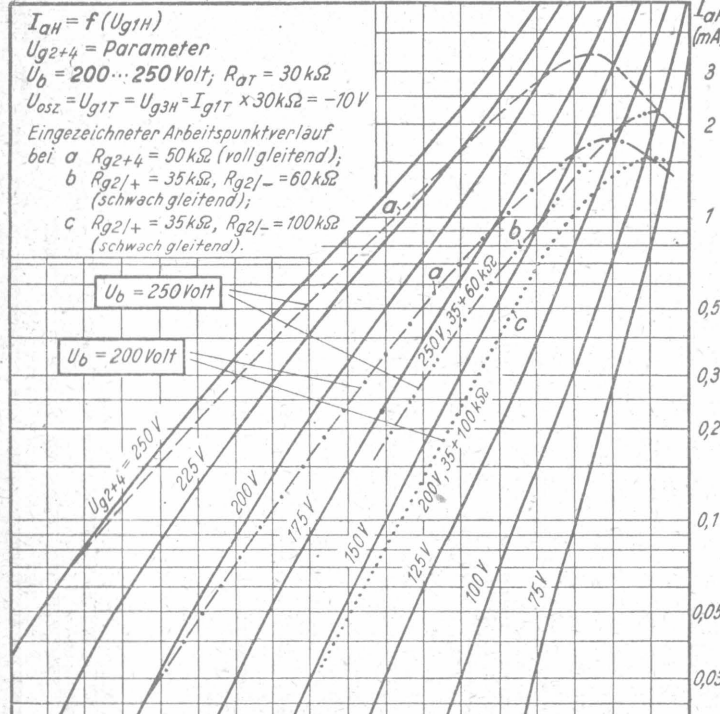
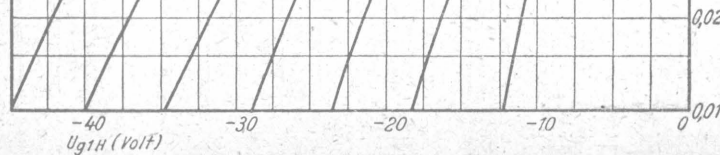
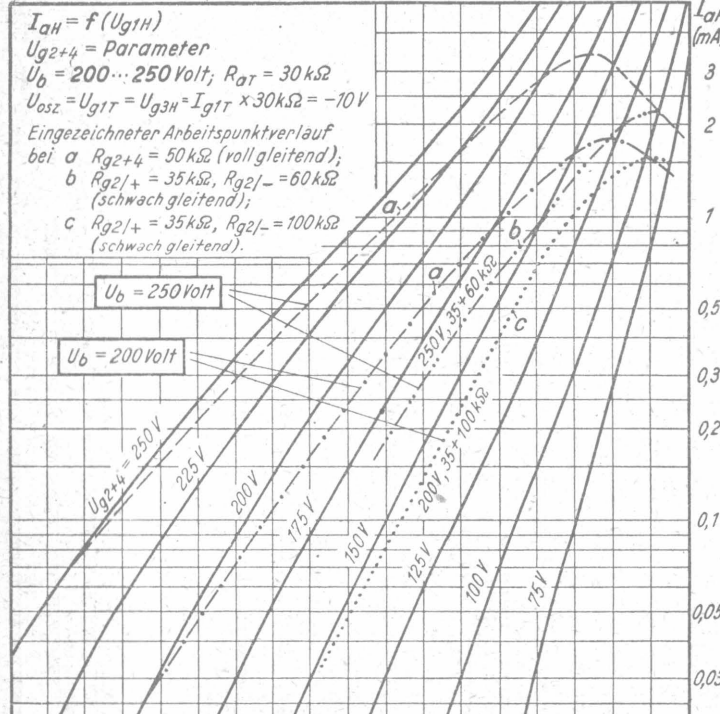
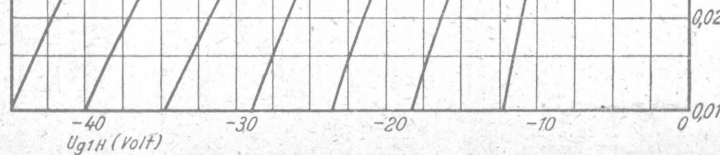
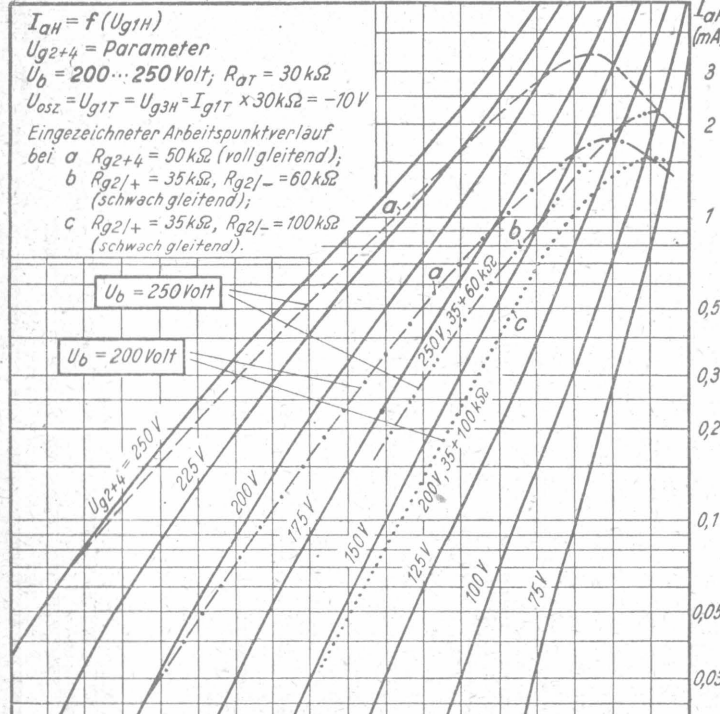
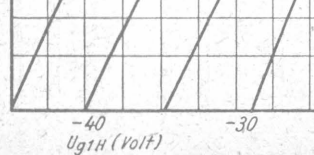
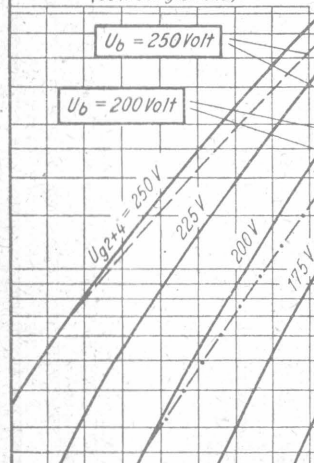


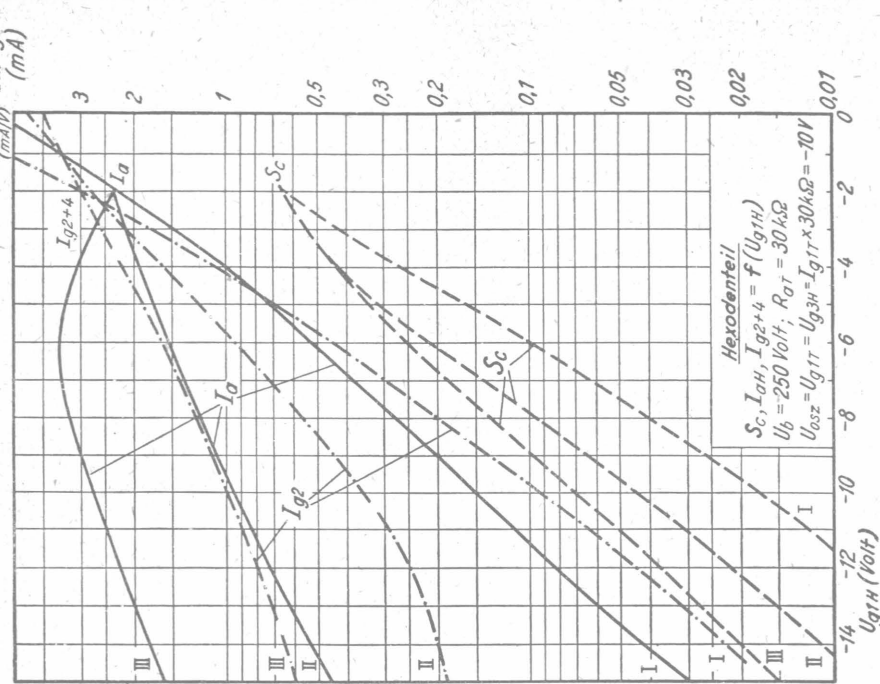
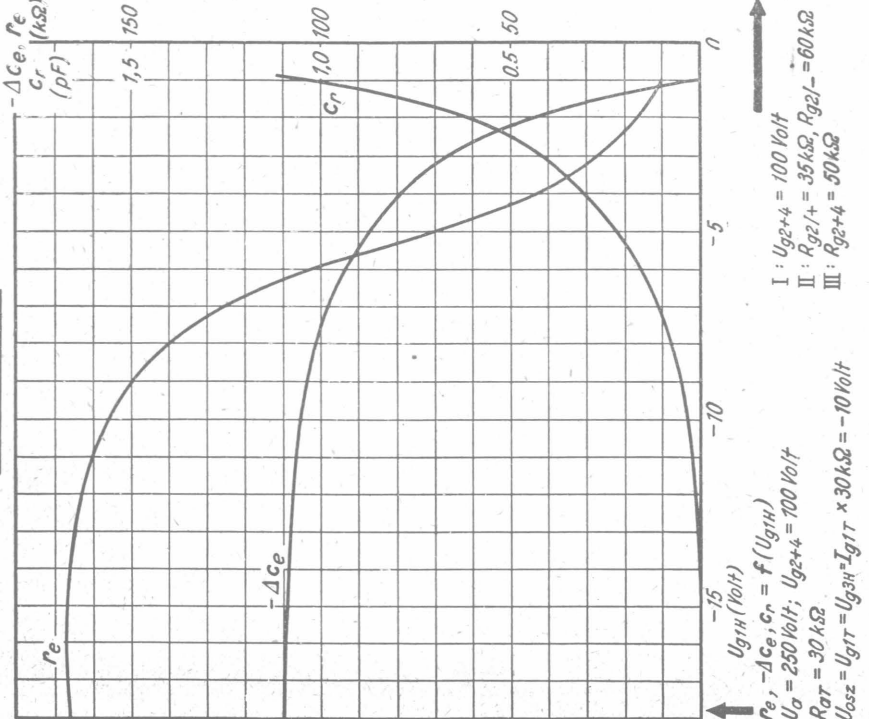
Kennlinienfeld 4

Anodenströme

Kennlinienfeld 5

$I_{AH} = f(U_{g1H})$
 U_{g2+4} = Parameter
 $U_b = 200 \dots 250$ Volt; $R_{aT} = 30 \text{ k}\Omega$
 $U_{osz} = U_{g1T} = U_{g3H} = I_{g1T} \times 30 \text{ k}\Omega = -10$ V
 Eingezeichneter Arbeitspunktverlauf
 bei a) $R_{g2+4} = 50 \text{ k}\Omega$ (vollgleitend);
 b) $R_{g2/+} = 35 \text{ k}\Omega$, $R_{g2/-} = 60 \text{ k}\Omega$
 (schwächegleitend);
 c) $R_{g2/+} = 35 \text{ k}\Omega$, $R_{g2/-} = 100 \text{ k}\Omega$
 (schwachgleitend).



Kennlinienfeld 7Kennlinienfeld 6

Schirmgitterströme

Kennlinienfeld 8

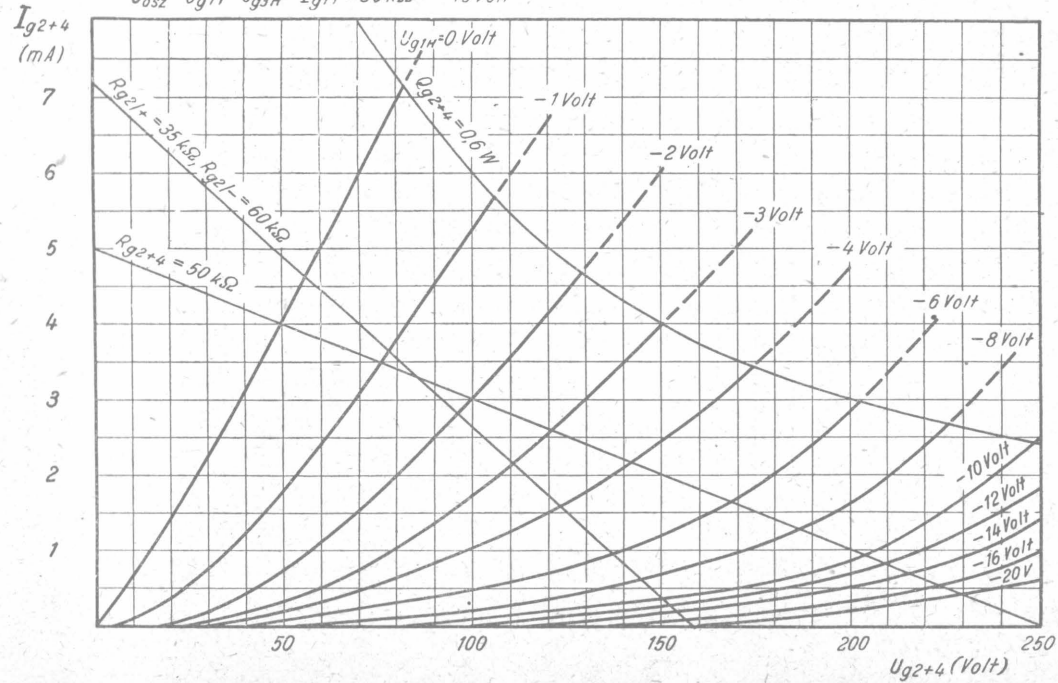
$$I_{g2+4} = f(U_{g2+4})$$

U_{a1H} = Parameter

$$U_b = 250 \text{ Volt}$$

$$R_{ar} = 30 \text{ k}\Omega$$

$$U_{Q5Z} = U_{Q1T} = U_{Q3H} = I_{Q1T} \times 30\text{ kS2} = -10\text{ Volts}$$



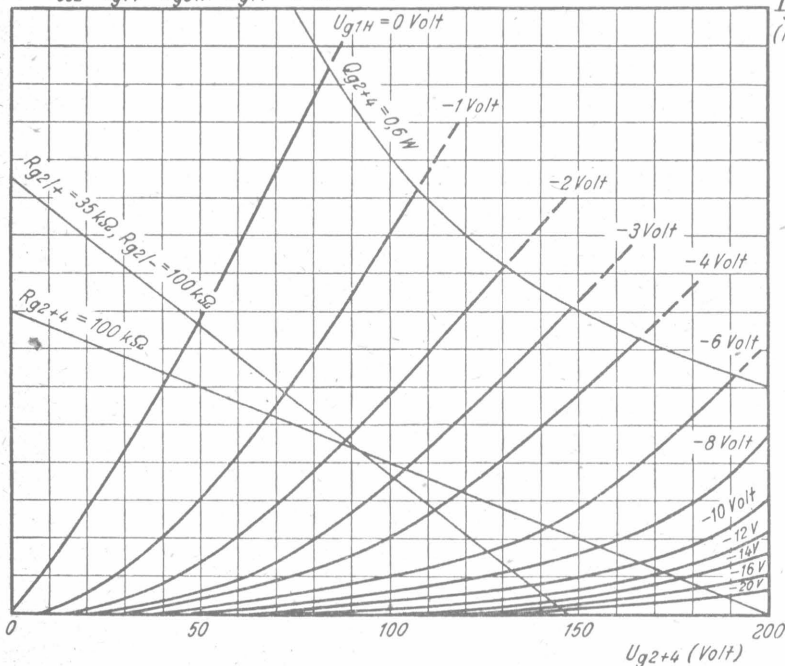
Kennlinienfeld 9

$$I_{g2+4} = f(U_{g2+4})$$

U_{g1H} = Parameter

$$U_b = 200 \text{ Volt}; R_{AT} = 30 \text{ k}\Omega$$

$$U_{OSZ} = U_{g1T} = U_{g3H} = I_{g1T} \times 30 \text{ k}\Omega = -10 \text{ Volt}$$

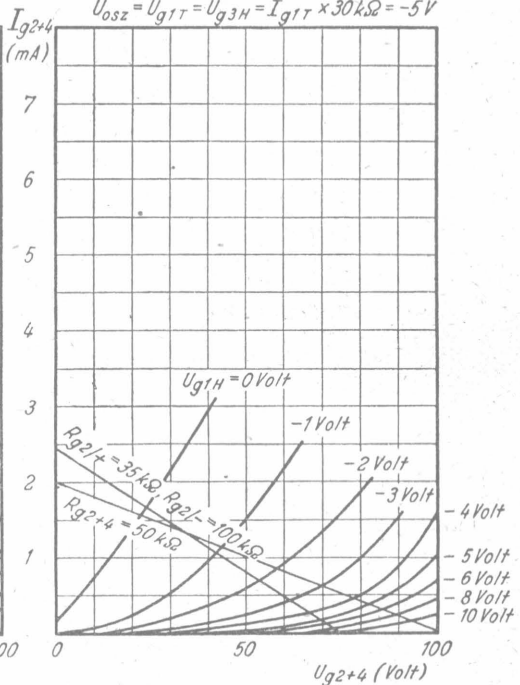
SchirmgitterströmeKennlinienfeld 10

$$I_{g2+4} = f(U_{g2+4})$$

U_{g1H} = Parameter

$$U_b = 100 \text{ Volt}; R_{AT} = 30 \text{ k}\Omega$$

$$U_{OSZ} = U_{g1T} = U_{g3H} = I_{g1T} \times 30 \text{ k}\Omega = -5 \text{ V}$$

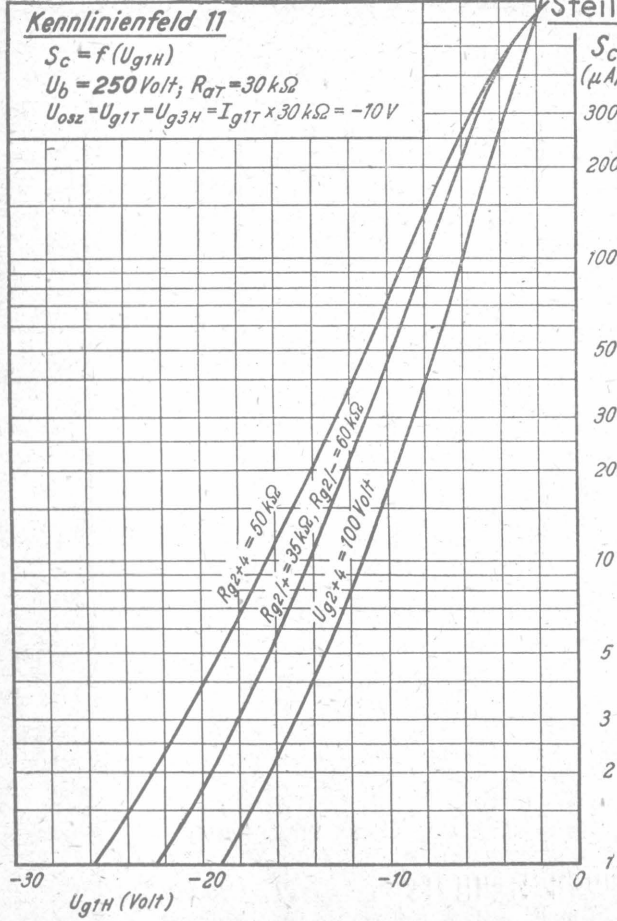


Kennlinienfeld 11

$$S_C = f(U_{g1H})$$

$$U_b = 250 \text{ Volt}; R_{aT} = 30 \text{ k}\Omega$$

$$U_{osz} = U_{g1T} = U_{g3H} = I_{g1T} \times 30 \text{ k}\Omega = -10 \text{ V}$$



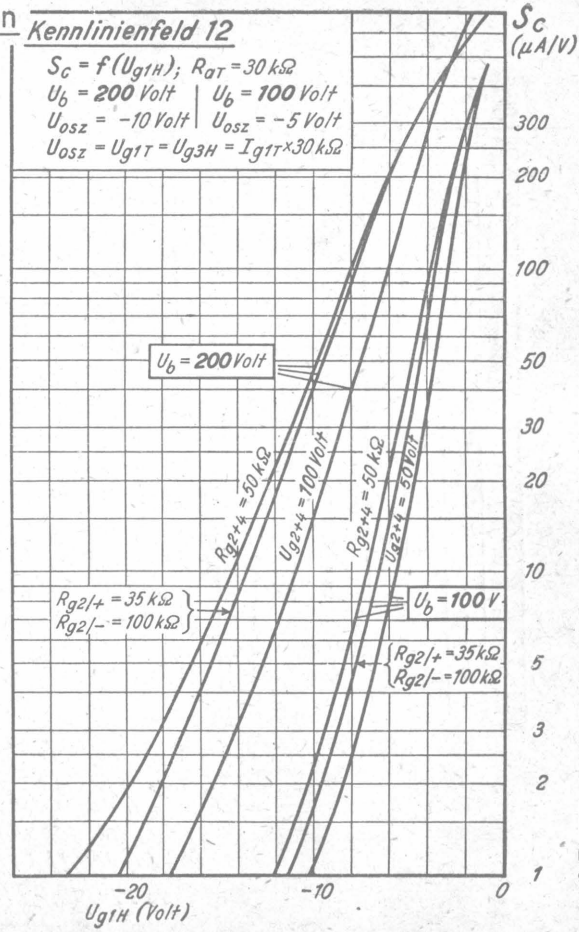
Kennlinienfeld 12

$$S_C = f(U_{g1H}); R_{aT} = 30 \text{ k}\Omega$$

$$U_b = 200 \text{ Volt} \quad | \quad U_b = 100 \text{ Volt}$$

$$U_{osz} = -10 \text{ Volt} \quad | \quad U_{osz} = -5 \text{ Volt}$$

$$U_{osz} = U_{g1T} = U_{g3H} = I_{g1T} \times 30 \text{ k}\Omega$$



Kennlinienfeld 13

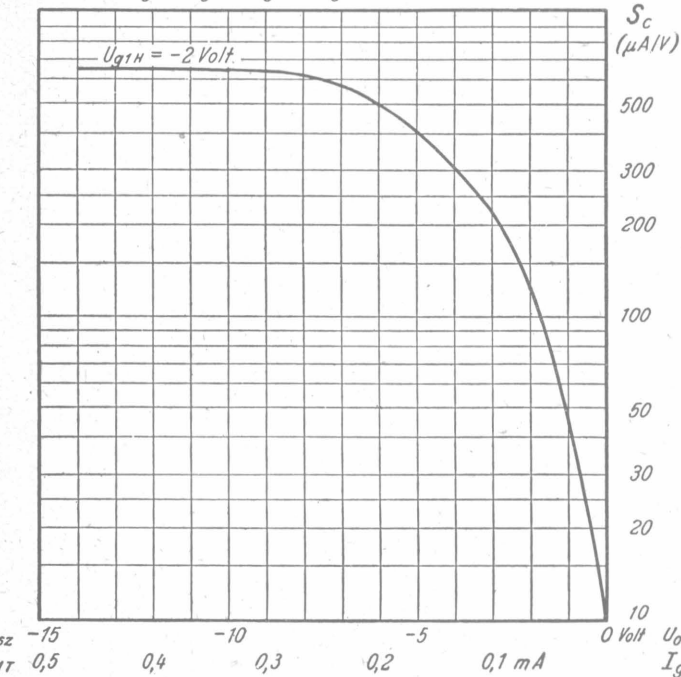
$$S_C = f(U_{osz} \text{ und } I_{g1T})$$

$$U_b = 200 \dots 250 \text{ Volt}$$

$$U_{g2+4} = 100 \text{ Volt}$$

$$R_{OT} = 30 \text{ k}\Omega$$

$$U_{osz} = U_{g1T} = U_{g3H} = I_{g1T} \times R_{g1T} (30 \text{ k}\Omega)$$

SteilheitskennlinienKennlinienfeld 14

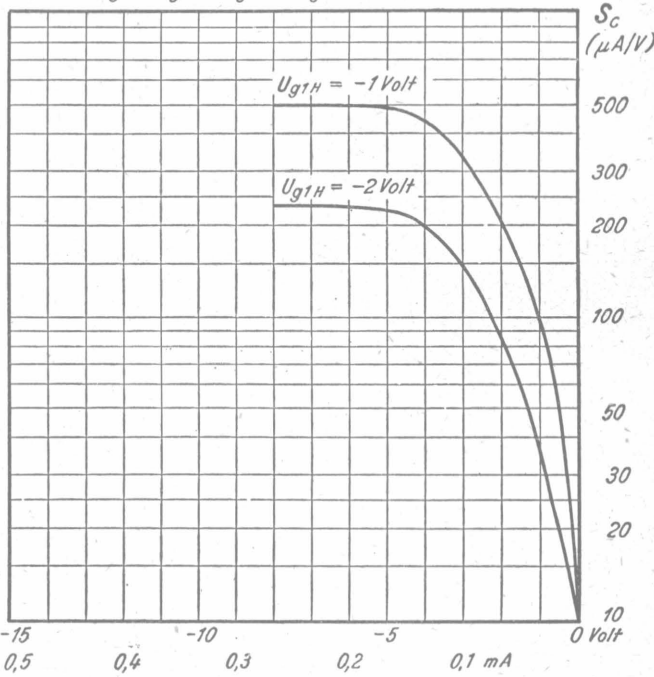
$$S_C = f(U_{osz} \text{ und } I_{g1T})$$

$$U_b = 100 \text{ Volt}$$

$$U_{g2+4} = 50 \text{ Volt}$$

$$R_{OT} = 30 \text{ k}\Omega$$

$$U_{osz} = U_{g1T} = U_{g3H} = I_{g1T} \times R_{g1T} (30 \text{ k}\Omega)$$



Der Dämpfungswiderstand im Gitterkreis

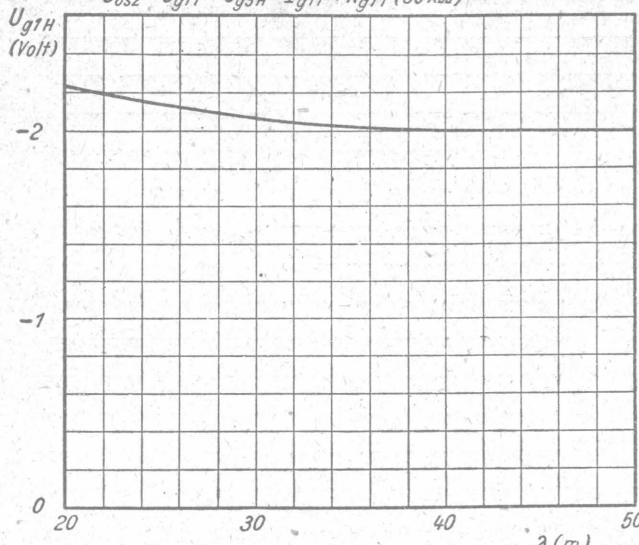
ECH11
Blatt 6

Kennlinienfeld 15

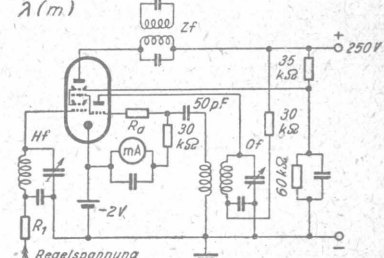
$$U_{g1H} = f(\lambda)$$

$$R_d = 150 \Omega$$

$$U_{osz} = U_{g1T} = U_{g3H} = I_{g1T} \times R_{g1T} (30 k\Omega)$$



Meßschaltung

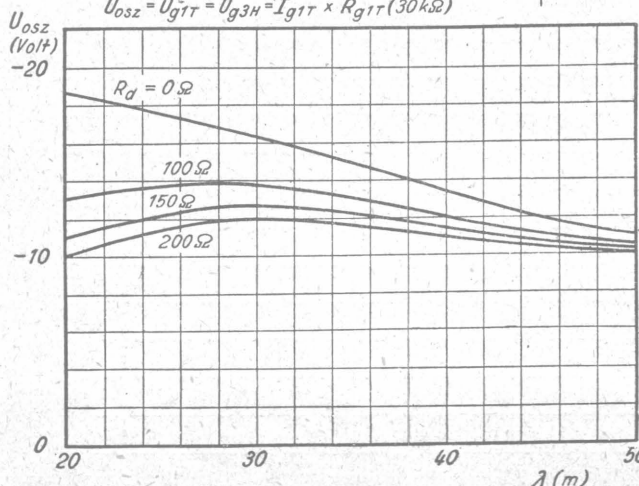


Kennlinienfeld 16

$$U_{osz} = f(\lambda)$$

R_d = Parameter

$$U_{osz} = U_{g1T} = U_{g3H} = I_{g1T} \times R_{g1T} (30 k\Omega)$$

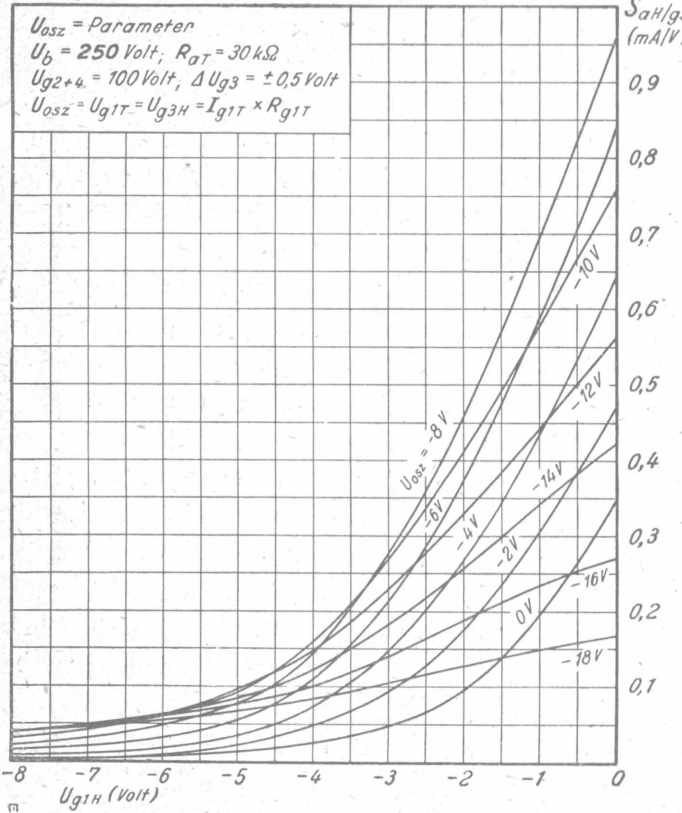


Zur Konstanthaltung der Schwingamplitude im Kurzwellengebiet ist eine zusätzliche Dämpfung „ R_d “ zweckmäßig. Das Kennlinienfeld 16 zeigt die Abhängigkeit der Schwingamplitude von der Wellenlänge und von der Größe dieses Dämpfungswiderstandes. Das Kennlinienfeld 15 zeigt die Verlagerung des Arbeitspunktes in Abhängigkeit von der Wellenlänge. Hierbei ist „ R_d “ = 150 Ω und R_f = 2 M Ω (siehe Meßschaltung).

Kennlinienfeld 17

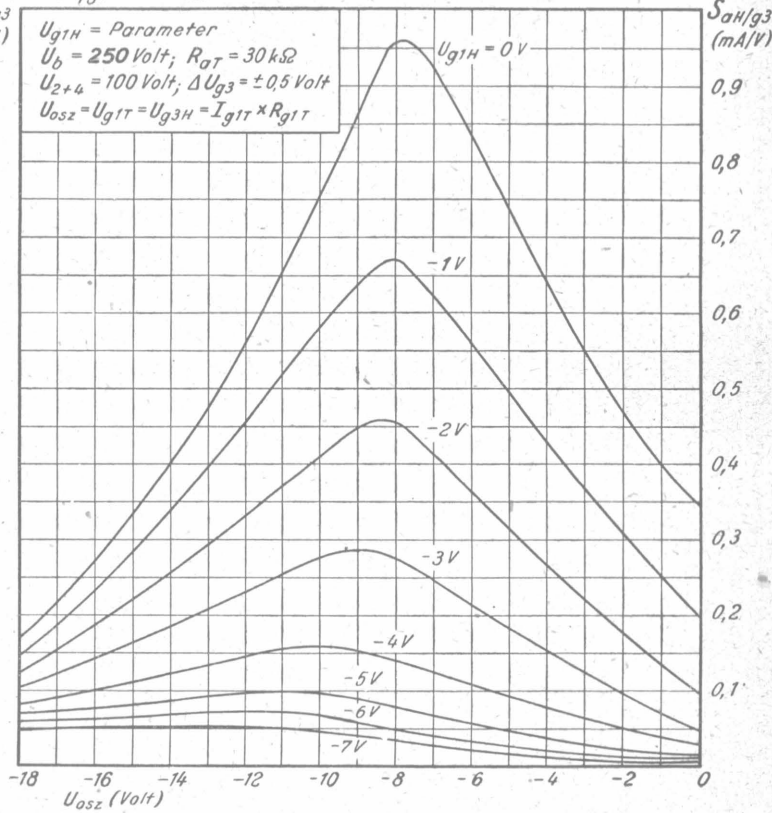
$$S_{\text{OH}/g_3} = f(U_{g1H})$$

$U_{\text{OSZ}} = \text{Parameter}$
 $U_b = 250 \text{ Volt}; R_{\text{AT}} = 30 \text{ k}\Omega$
 $U_{g2+4} = 100 \text{ Volt}; \Delta U_{g3} = \pm 0,5 \text{ Volt}$
 $U_{\text{OSZ}} = U_{g1T} = U_{g3H} = I_{g1T} \times R_{g1T}$

SteilheitskennlinienKennlinienfeld 18

$$S_{\text{OH}/g_3} = f(U_{\text{OSZ}})$$

$U_{g1H} = \text{Parameter}$
 $U_b = 250 \text{ Volt}; R_{\text{AT}} = 30 \text{ k}\Omega$
 $U_{2+4} = 100 \text{ Volt}; \Delta U_{g3} = \pm 0,5 \text{ Volt}$
 $U_{\text{OSZ}} = U_{g1T} = U_{g3H} = I_{g1T} \times R_{g1T}$



Frequenzverwerfung

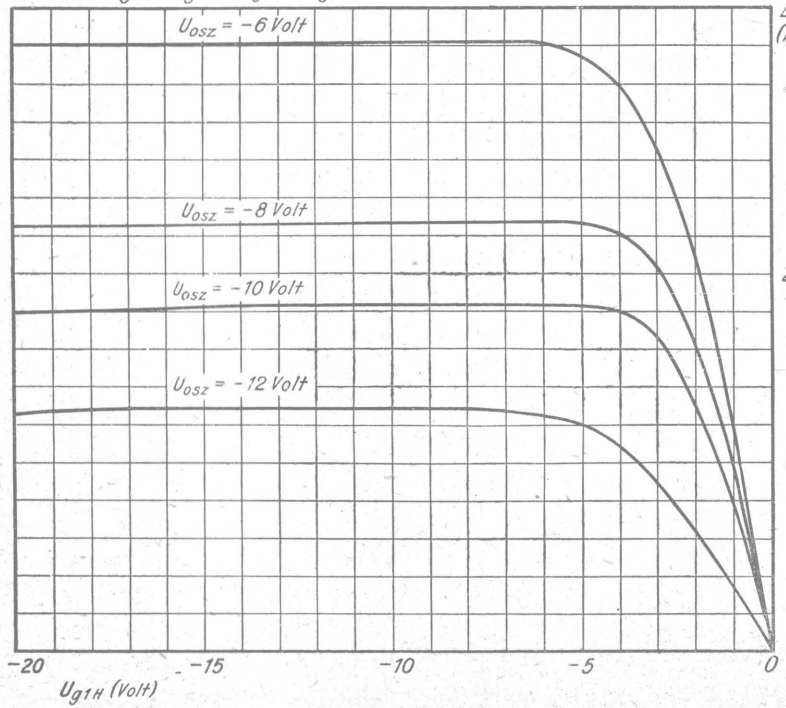
Kennlinienfeld 19

$$\Delta f = f(U_{g1H})$$

U_{osz} = Parameter

$\lambda = 15 \text{ m}$; $U_b = 250 \text{ Volt}$

$$U_{osz} = U_{g1T} = U_{g3H} = I_{g1T} \times R_{g1T}$$



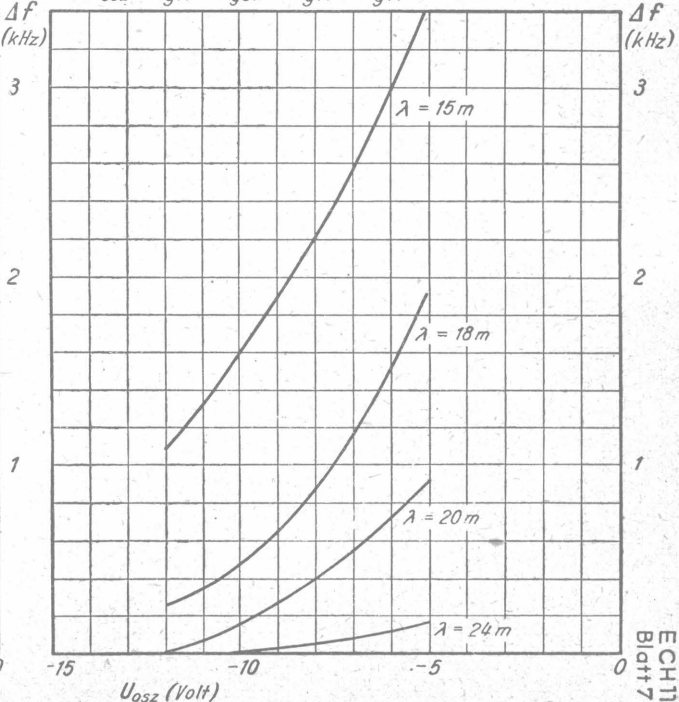
Kennlinienfeld 20

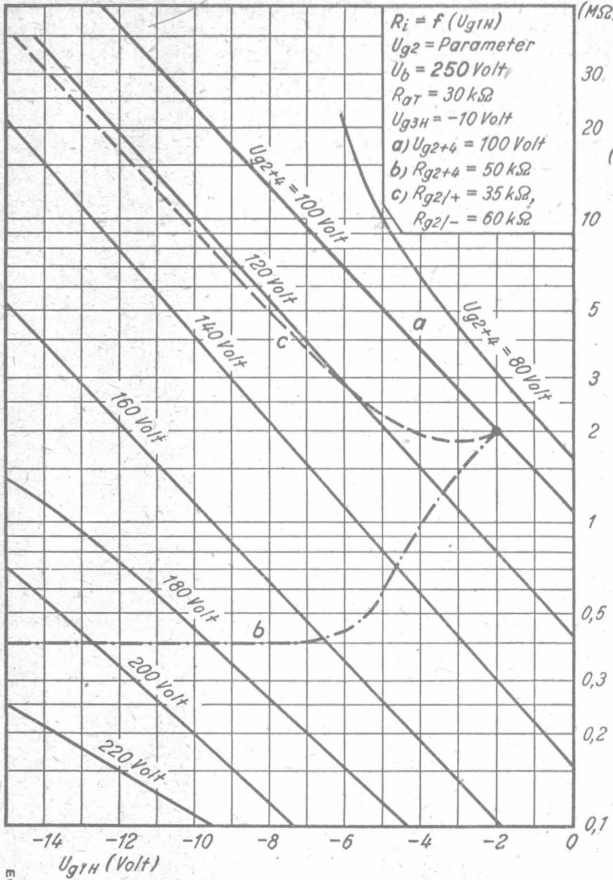
$$\Delta f = f(U_{osz})$$

λ = Parameter

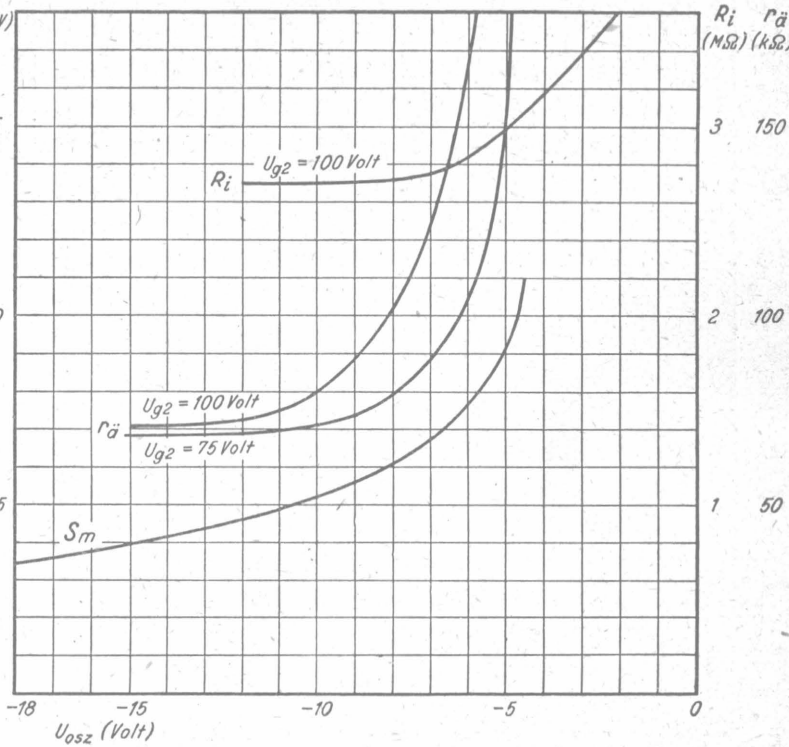
$U_b = 250 \text{ Volt}$, $U_{g1H} = -10 \text{ Volt}$

$$U_{osz} = U_{g1T} = U_{g3H} = I_{g1T} \times R_{g1T}$$



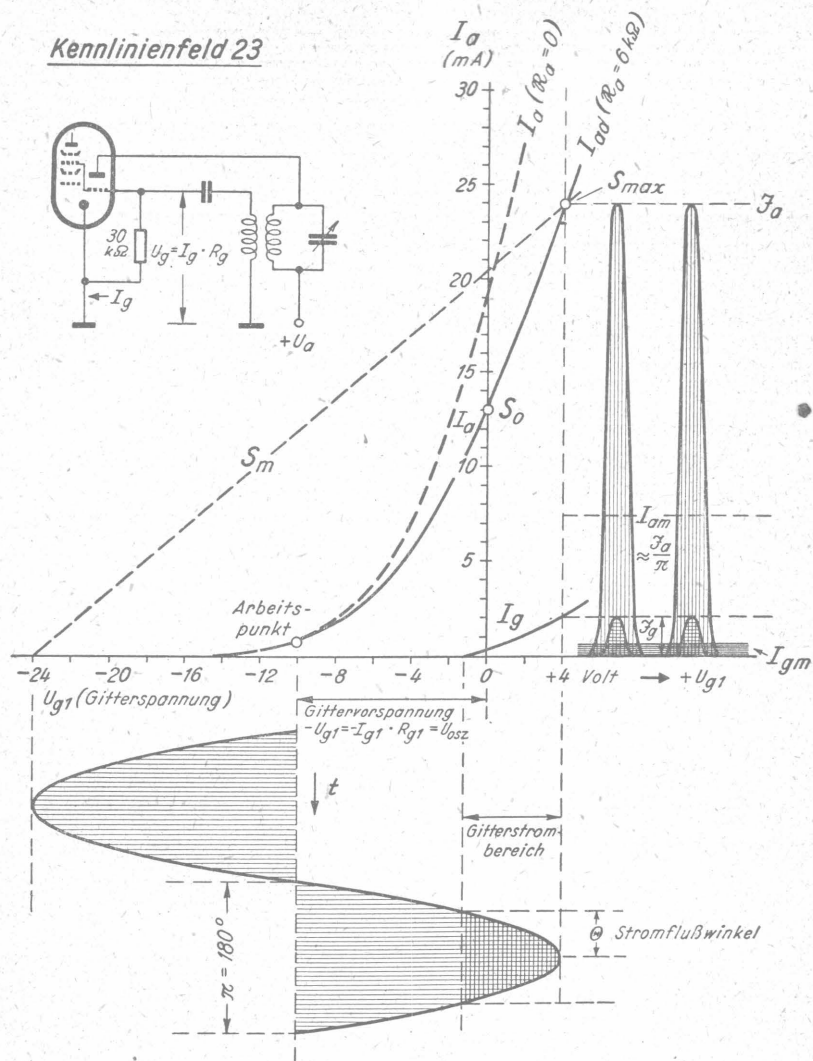
Kennlinienfeld 21Kennlinienfeld 22

$R_i, r_o, S_m = f(U_{osz})$
 $U_b = 250 \text{ Volt}$, $R_{oT} = 30 \text{ k}\Omega$
 $U_{g1H} = -2 \text{ Volt}$
 $U_{osz} = U_{g1T} = U_{g3H} = I_{g1T} \times R_{g1T}$



Der Aussteuervorgang beim Triodenteil der ECH 11

Kennlinienfeld 23



S_o = Anschwingsteilheit (Steilheit bei $U_{g1} = 0$ Volt)

S_m = mittlere Steilheit

S_{max} = maximale Steilheit

I_a = Anodenspitzenstrom

I_{am} = mittlerer Anodenstrom

I_a = statische Anodenstromkennlinie

I_{ad} = Anodenstrom - Arbeitskennlinie

I_g = Gitterspitzenstrom

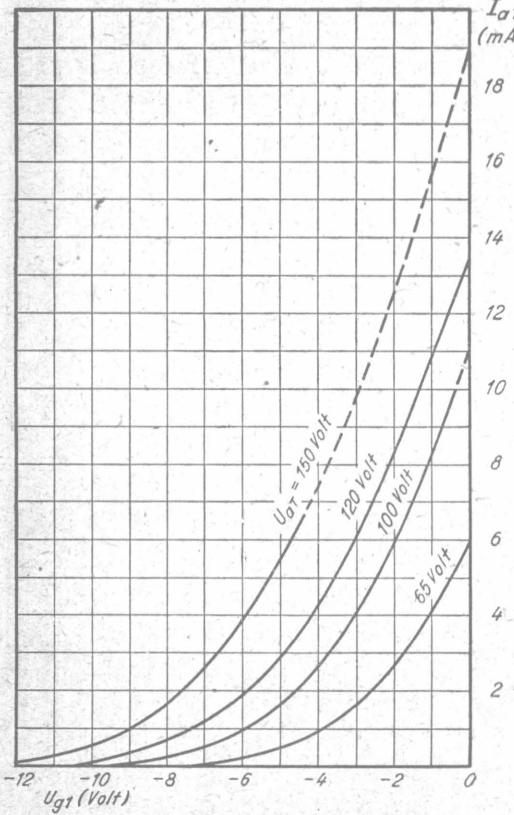
I_{gm} = mittlerer Gitterstrom

I_g = statische Gitterstromkennlinie

Kennlinienfeld 24

$$I_{gT} = f(U_{g1T})$$

$$U_{gT} = \text{Parameter}$$

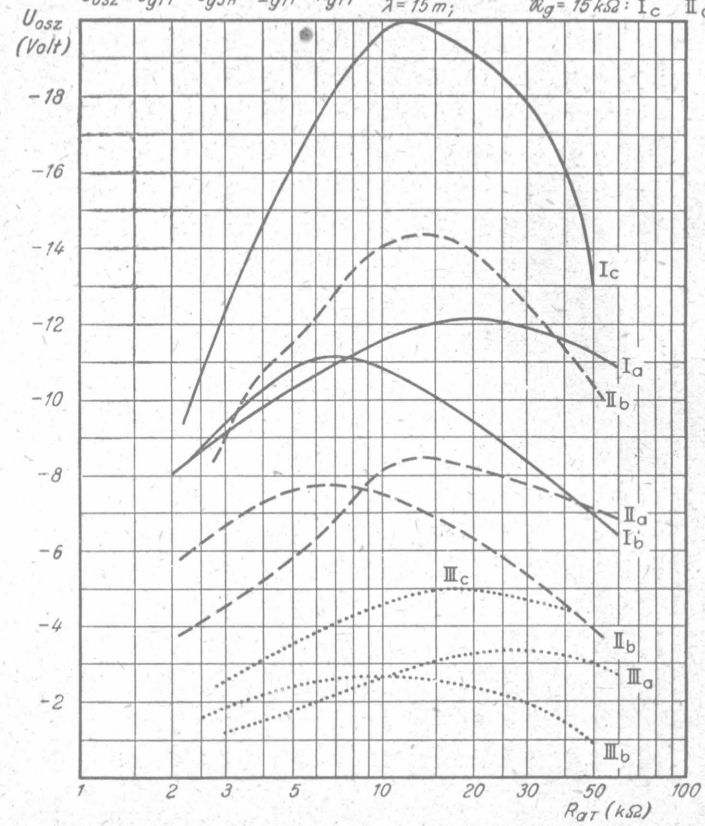
**Kennlinienfeld 25**

$$U_{osz} = f(R_{gT})$$

$$U_{osz} = U_{g1T} = U_{g3H} = I_{g1T} \times R_{g1T}$$

$$U_A = 250 \quad 200 \quad 100 \text{ Volt}$$

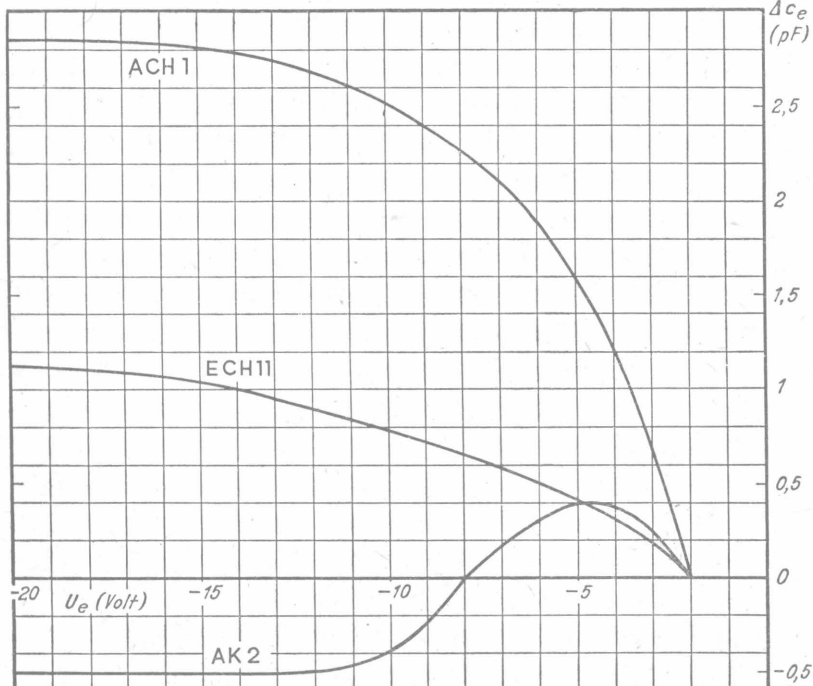
$$\begin{aligned} & \lambda = 200 \dots 2000 \text{ m}; \quad R_g = 30 \text{ k}\Omega: \quad \text{I}_a \quad \text{II}_a \quad \text{III}_a \\ & \lambda = 50 \text{ m}; \quad R_g = 5 \text{ k}\Omega: \quad \text{I}_b \quad \text{II}_b \quad \text{III}_b \\ & \lambda = 15 \text{ m}; \quad R_g = 15 \text{ k}\Omega: \quad \text{I}_c \quad \text{II}_c \quad \text{III}_c \end{aligned}$$



Vergleiche an Mischröhren

Kennlinienfeld 26

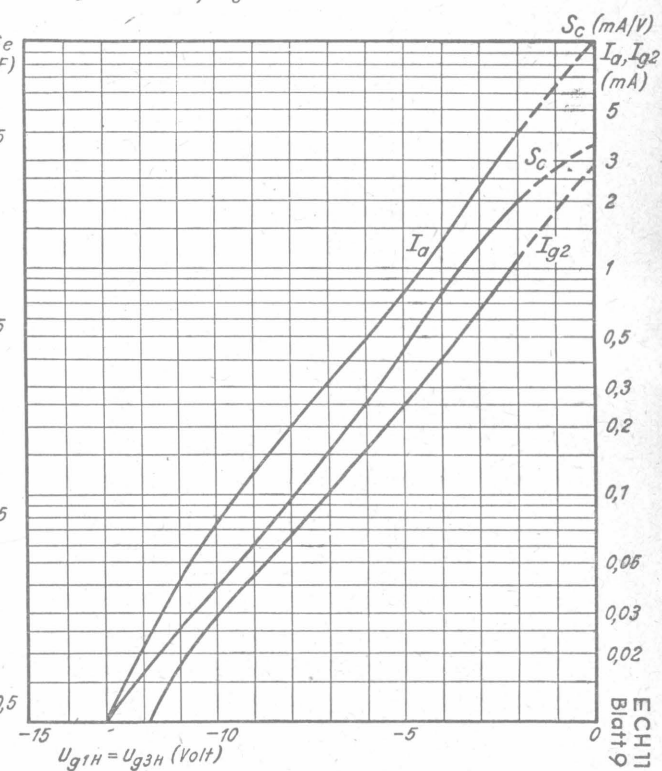
$-\Delta c_e = f(U_e)$; $U_e = U_{g1H}$ bei der ACH 1 und ECH 11, $= U_{g4}$ bei der AK 2
 $U_a = 250$ Volt; $U_{g2} = 100$ Volt
 $U_{osz} = \text{opt.}$



Regelung über beide Gitter

Kennlinienfeld 27

$S_c, I_a, I_{g2} = f(U_{g1H} + g_{3H})$
 $U_a = 250$ Volt; $U_{g2} = 100$ Volt



Vergleiche an Mischröhren

Kennlinienfeld 28

Dämpfung des Gitterkreises durch den Laufzeiteffekt

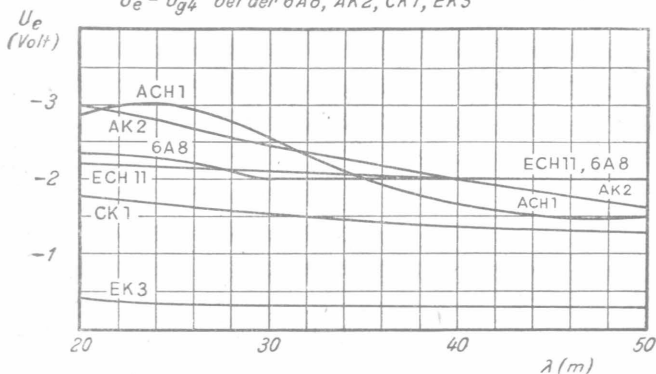
$$U_e = f(\lambda)$$

$$U_d = 250 \text{ bzw. } 200 \text{ Volt; } R_d = 150 \Omega$$

$$U_{OSZ} = \text{opt.}$$

$$U_e = U_{gTH} \text{ bei der ECH 11, ACH 1}$$

$$U_e = U_{g4} \text{ bei der 6A8, AK2, CK1, EK3}$$



Kennwerte der Mischröhren

	N_f (Watt)	I_k (mA)	I_g (mA)	S_c (mA/V)	R_i (MΩ)	$\Delta S_{c\max}$	erforderliche Regelspannung (Volt)
ACH 1	4,0	11,0	3,0	0,75	0,8	1:750	-18
AK 2	2,6	7,4	8,8	0,6	1,6	1:600	-23
CCH 1	4,8	7,7	8,0	0,75	0,9	1:750	-18
CK 1	2,6	7,4	8,8	0,6	1,5	1:600	-23
EK 2	1,25	4,6	3,0	0,55	2,0	1:280	-23
ECH 11	1,25	8,8	—	0,65	1,5	1:400	-19
EK 3	4,1	14,0	5,0	0,65	2,0	1:100	-36
6A8	1,9	14,0	—	0,5	0,36	1:250	-42

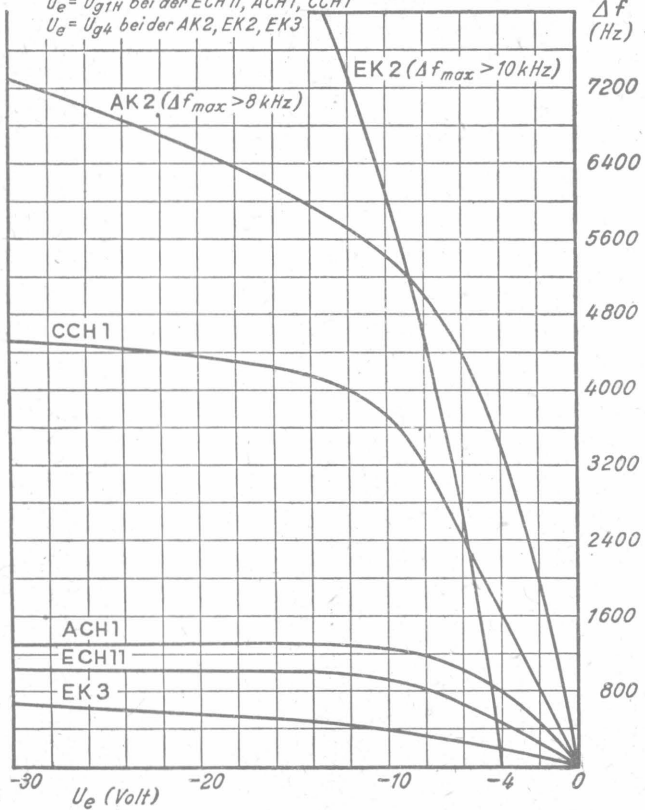
Kennlinienfeld 29

$$\Delta f = f(U_e)$$

$\lambda = 24 \text{ m}; U_a = 250 \text{ bzw. } 200 \text{ Volt}$

$U_e = U_{g1H}$ bei der ECH11, ACH1, CCH1

$U_e = U_{g4}$ bei der AK2, EK2, EK3



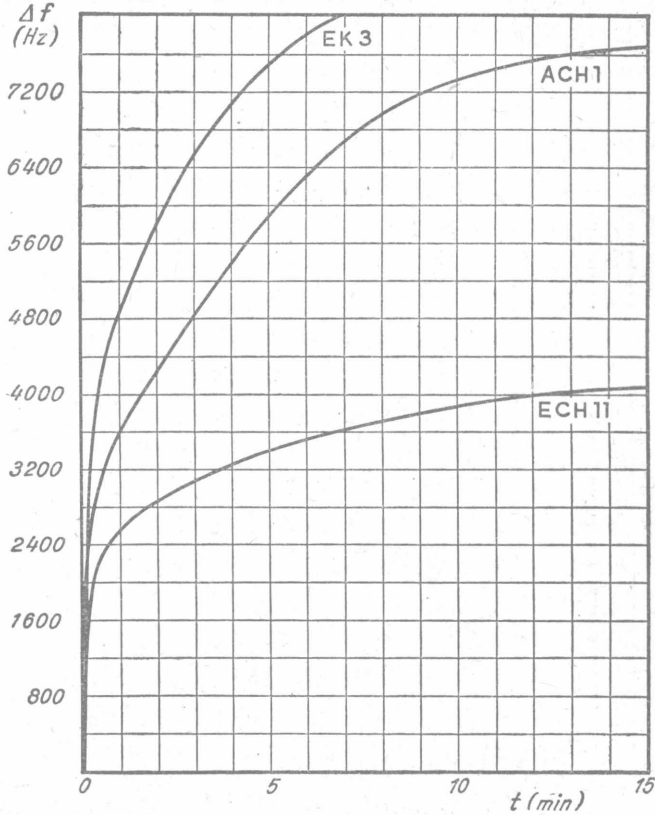
Vergleiche an Mischröhren

Einfluß der Frequenzverwerfung

Kennlinienfeld 30

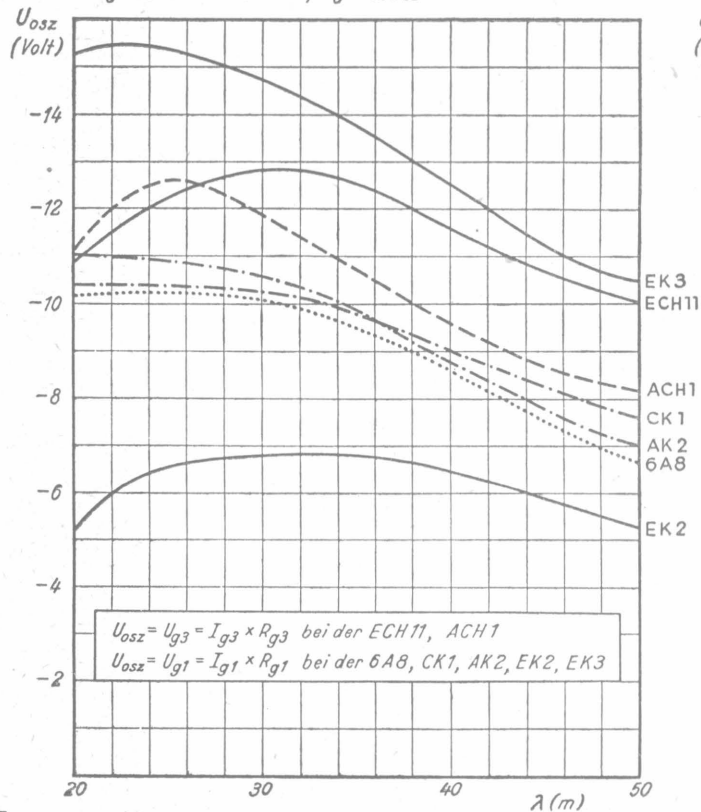
$$\Delta f = f(t)$$

$\lambda = 24 \text{ m}; U_a = 250 \text{ bzw. } 200 \text{ Volt}$



Kennlinienfeld 31

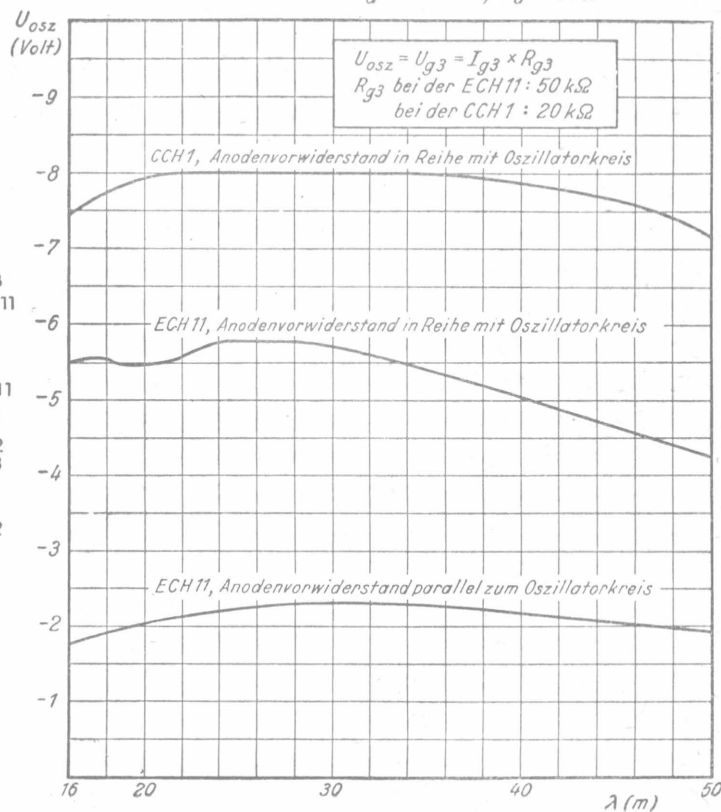
$U_{osz} = f(\lambda)$; $R_{g\ osz} = \text{opt}$.
 $U_\alpha = 250$ bzw. 200 Volt, $R_d = 150\Omega$

Vergleiche an Mischröhren

Die Größe der Oszillatorkennspannung

Kennlinienfeld 32

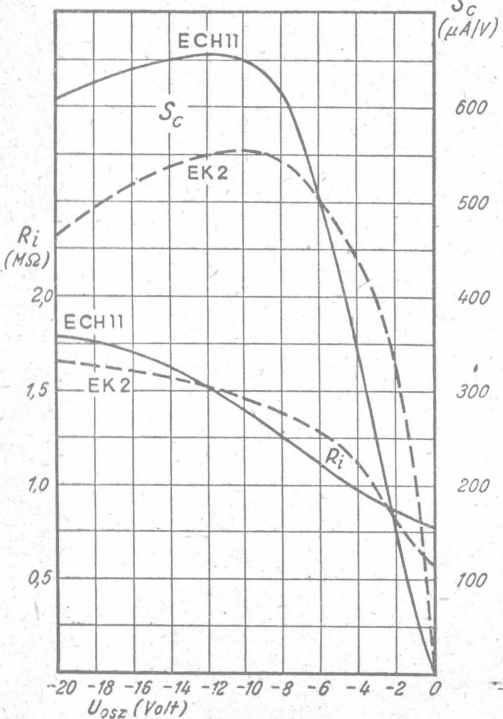
$U_{osz} = f(\lambda)$
 $U_\alpha = 100$ Volt, $R_d = 100\Omega$



Vergleiche an Mischröhren

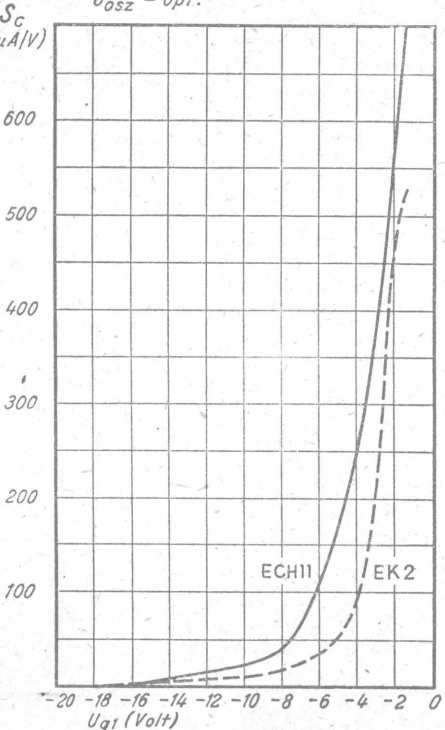
Kennlinienfeld 33

$S_C = f(U_{osz})$; $R_i = f(U_{osz})$
 $U_a = 250$ bzw. 200 Volt; $R_d = 150\Omega$



Kennlinienfeld 34

$S_C = f(U_{g1})$
 $U_a = 250$ bzw. 200 Volt; $R_d = 150\Omega$
 $U_{osz} = \text{opt.}$



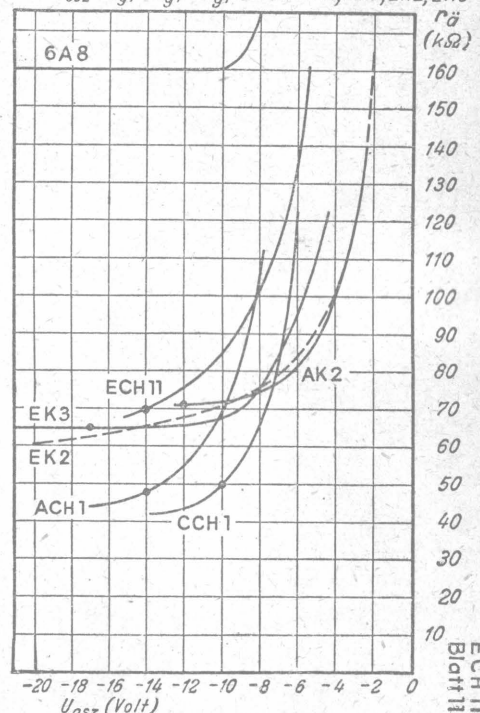
Kennlinienfeld 35

Der Rauschwiderstand

$$r_o = f(U_{osz})$$

$U_a = 250$ bzw. 200 Volt; $R_d = 150\Omega$

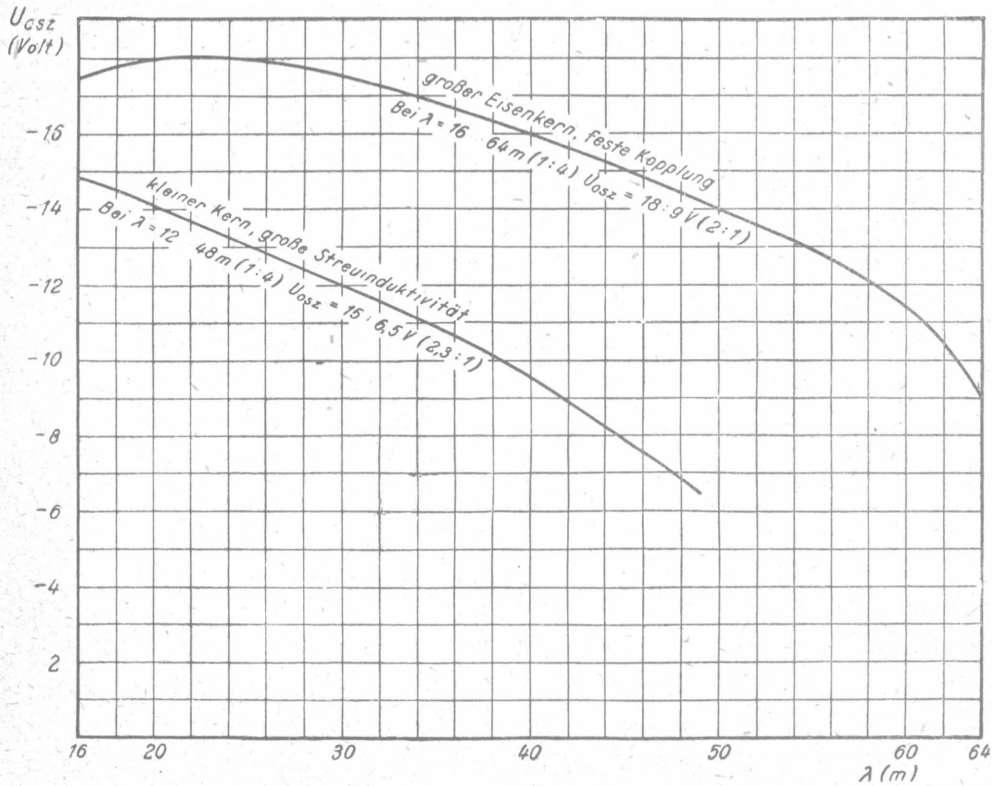
$U_{osz} = U_{g3} - I_{g3} \times R_{g3}$ bei der ECH11, ACH1, CCH1
 $U_{osz} = U_{g1} - I_{g1} \times R_{g1}$ bei der 6A8, AK2, EK2, EK3



Der Einfluß der Güte des Oszillatorkreises

Kennlinienfeld 36

$$U_{Osz} = f(\lambda)$$



Bei $\lambda = 16 \text{ m}$ sinkt die Oszillatormplitude bei Spulen mit großem Eisenkern und fester Kopplung von 17,4 auf 14 Volt, bei Spulen mit kleinem Eisenkern mit größerer Streuinduktivität von 15 auf 6 Volt ab.

ECH 11 und EBF 11 mit gemeinsamem Schirmgitter-Vorwiderstand

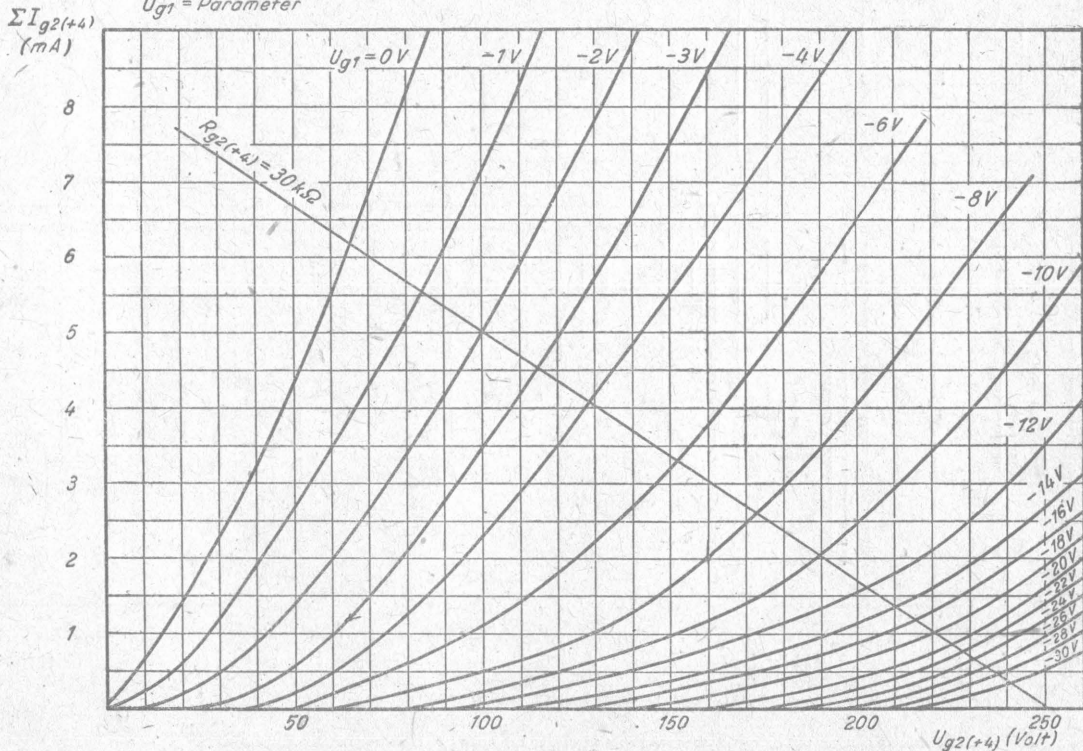
Kennlinienfeld 37

$$\Sigma I_{g2(+4)} = f(U_{g2(+4)})$$

$U_\alpha = 100 \dots 250 \text{ Volt}$; $R_{g2(+4)} = 30 \text{ k}\Omega$

U_{g1} = Parameter

Siehe auch die Kennlinienfelder
17 und 18 der EBF 11.



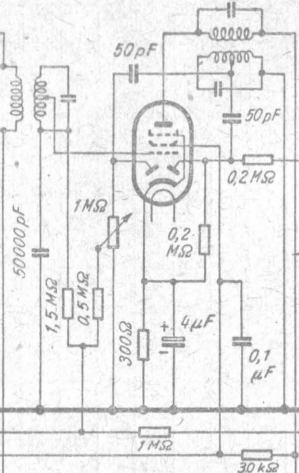
5 Röhren-6 Kreis-Standardsuper für Wechselstrom

Die ECH 11 und die EBF 11 erhalten ihre Schirmgitterspannung über einen gemeinsamen Vorwiderstand von 30 k Ω .

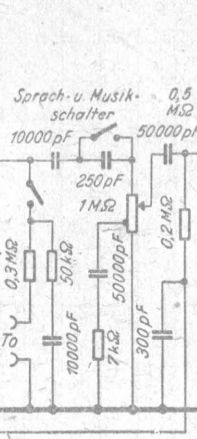
ECH 11



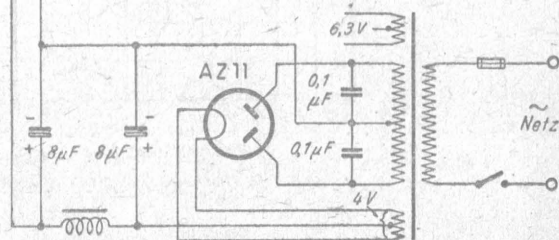
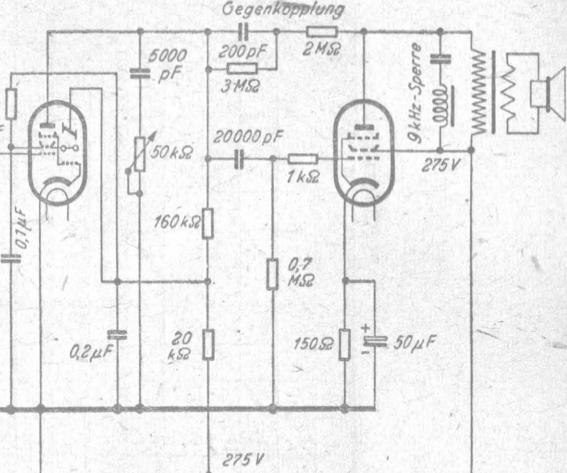
EBF 11



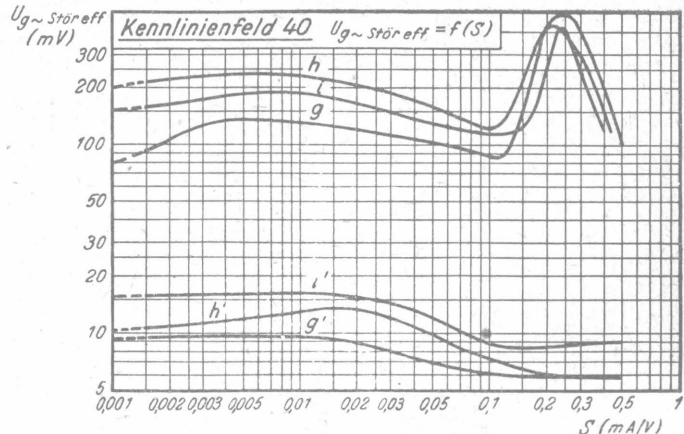
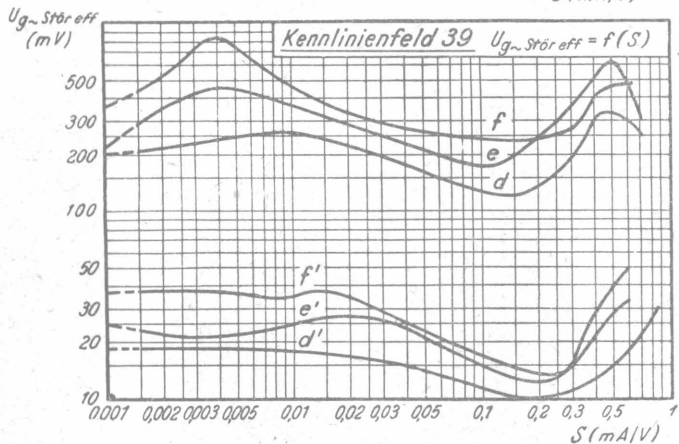
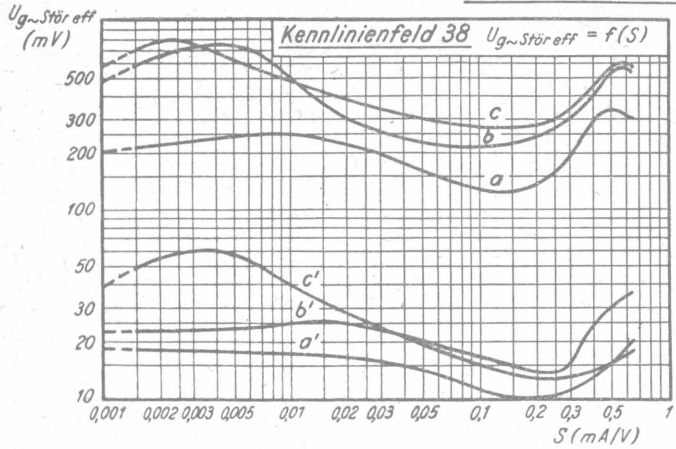
EFM 11



EL 11

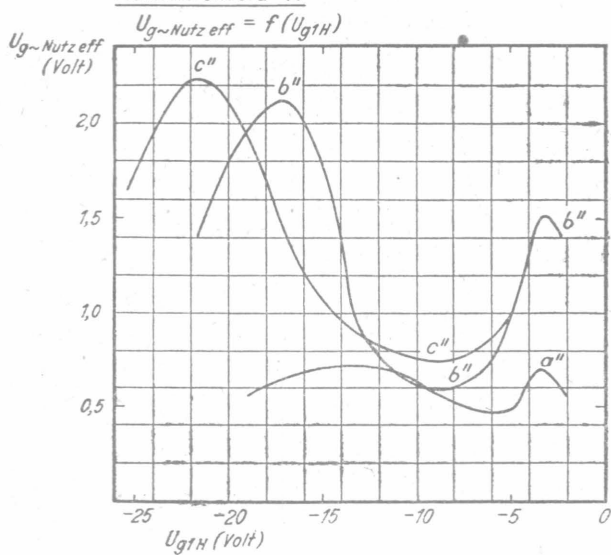
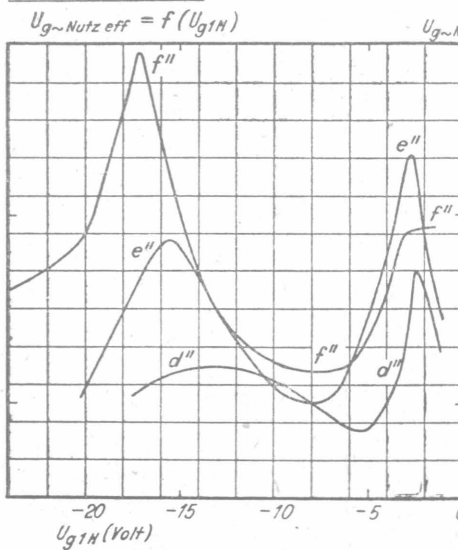
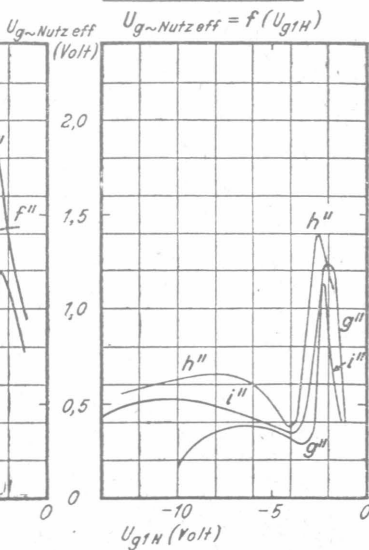


Brumm- und Kreuzmodulationskurven



Kurven bei 1% Kreuzmodulation ($m_{\text{Stör}} = m_{\text{Nutz}}$)
bzw. bei 1% Brummmodulation ($m_{\text{Stör}} = 1$)

Kreuz-modulation Kurve	Brumm-modulation Kurve	Zulässige Gitter-wechselspannung Kurve
$U_b = 250 \text{ Volt}$, $U_{g2+4} = 100 \text{ Volt}$ $R_{g2+/+} = 35 \text{ k}\Omega$, $R_{g2/-} = 60 \text{ k}\Omega$ $R_{g2+4} = 50 \text{ k}\Omega$	a b c	a' b' c'
$U_b = 200 \text{ Volt}$, $U_{g2+4} = 100 \text{ Volt}$ $R_{g2+/+} = 35 \text{ k}\Omega$, $R_{g2/-} = 100 \text{ k}\Omega$ $R_{g2+4} = 50 \text{ k}\Omega$	d e f	d' e' f'
$U_b = 100 \text{ Volt}$, $U_{g2+4} = 50 \text{ Volt}$ $R_{g2+/+} = 35 \text{ k}\Omega$, $R_{g2/-} = 100 \text{ k}\Omega$ $R_{g2+4} = 50 \text{ k}\Omega$	g h i	g' h' i'

Kennlinienfeld 41Kennlinienfeld 42Kennlinienfeld 43



Röhren-Dokumente ECL 11

Nf-Triode + Endtetrode
(Verbundröhre)

6 Blätter

FUNKWERK - Sammlung, Gruppe Röhrentechnik

Blatt 1

Allgemeines:

Röhre mit Stahlröhrensockel und Glaskolben (innen geschwärzt). Innere Abschirmungen mit Kathode verbunden. Sockelblech zur Abschirmung unbedingt erforderlich.

Triodensystem mit kleinem Durchgriff. Endtetrodensystem mit „kritischem Anodenabstand“, um das Auftreten von Sekundärelektronen zu verhindern. Zur Vermeidung von UKW-Schwingungen ist im Röhrensockel vielfach ein Urdrosselwiderstand dem Steuergitter des Tetrodeenteils vorgeschaltet.

Heizung:

Oktakatode (Bariumoxyd) mit bifilar gewickelten Heizfädern

Heizspannung	U_H	6,3	Volt ~
Heizstrom	I_H	1	A ind

Meßwerte:

1. des Triodenteils

Anodenspannung	U_{AT}	250	200	100	Volt
Gitterverspannung	U_{g1T}	-2,5	-1,8	-1	Volt
Anodenstrom	I_{AT}	2	2	1,2	mA
Steilheit	S	2	1,8	1,2	mA/V
Durchgriff	D	1,5	1,5	1,5	%
Innenwiderstand	R_i	33	37	55	k Ω

Siehe auch die Kennlinienfelder 1 und 2

2. des Tetrodeenteils

Anodenspannung	U_{AQ}	250	200	Volt
Schirmgitterspannung	U_{g2Q}	250	215	Volt
Gitterverspannung	U_{g1Q}	-6	-5	Volt
Anodenstrom	I_{AQ}	36	28	mA
Schirmgitterstrom	I_{g2Q}	4	3	mA
Steilheit	S	9	8	mA/V
Schirmgitterdurchgriff	D_{g2}	4	4	%
Innenwiderstand	R_i	25		k Ω

Siehe auch die Kennlinienfelder 10 und 11

Betriebswerte:

1. des Triodenteils

a) als Audion in RC-Kopplung

Betriebsspannung	U_b	250	250	250	250	Volt
Außenwiderstand	R_{AT}	50	100	200	300	k Ω
Siebwiderstand	$R_{AT} \text{ Sieb}$	10	20	20	30	k Ω
Anodenstrom	I_{AT}	2,8	1,8	1	0,75	mA
Detektorverstärkung	V	2...3	5...6	4...6	3...5,5	fach

Das Endsystem wird hierbei nicht ausgesteuert

Siehe auch die Kennlinienfelder 3 und 4

b) als Audion in Drosselkopplung

Betriebsspannung	U_b	250	250	250	Volt
Siebwiderstand	$R_{AT} \text{ Sieb}$	10	25	50	k Ω
Anodenstrom	I_{AT}	7	48	3,3	mA
Detektorverstärkung	V	5...7	4...6	3...5	fach

Der Siebwiderstand muß mindestens 20 k Ω groß sein, da sonst die Anodenbelastung des Triodensystems zu groß wird.

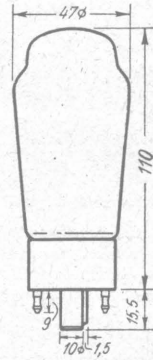
Siehe auch die Kennlinienfelder 2...4

c) als NF-Verstärker in RC-Kopplung

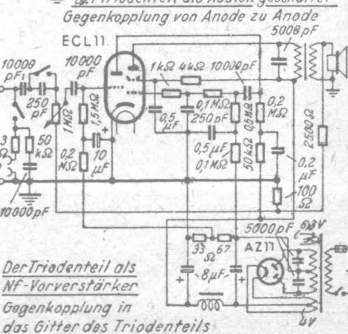
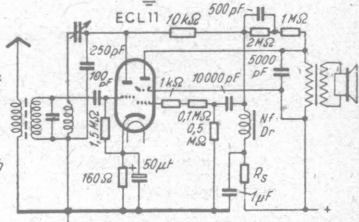
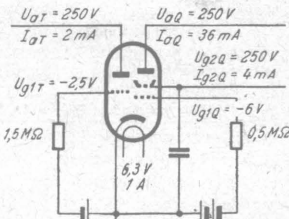
Betriebsspannung	U_b	250	250	250	Volt
Außenwiderstand	R_{AT}	300	200	100	k Ω
Siebwiderstand	$R_{AT} \text{ Sieb}$	50	20	20	k Ω
Anodenspannung	U_{AT}	100	140	140	Volt
Gitterverspannung	U_{g1T}	-1,4	-2	-2,5	Volt
Anodenstrom	I_{AT}	0,43	0,43	0,55	mA
Spannungsverstärkung	V	42,5	43	34	fach

Kurve in Kennlinienfeld 6 und 7

Kolben-abmessungen



Sockel von unten gesehen



ECL 11

Betriebswerte (Fortsæzung):

2. des Endtetrodebetrieb

a) Einakt-A-Betrieb

Der Arbeitspunkt entspricht dem Arbeitspunkt bei der ECL 11. Da die ECL 11 über einen Endtetrodeanteil besitzt, ist der Verlauf der Klirrfaktorkurve etwas anders.

Anodenspannung	U_{OA}	250	200	Volt
Schirmgitterspannung	U_{G2Q}	250	215	Volt
Gittervorspannung	U_{G1A}	-6	-5	Volt
Anodenstrom	I_{OA}	36	28	mA
Schirmgitterstrom	I_{G2Q}	4	3	mA
Außenwiderstand	R_a	7	7	kΩ
max. Sprechleistung	$N_{A\sim}$	4	2,9	Watt
hierbei Klirrfaktor	K	10	10	%
Gitterwechselspannung	$U_{GG\sim eff}$	4,2	3,8	Volt
Empfindlichkeit				
(Gitterwechselspannung bei einer Sprechleistung von 50 mW)	$U_{GG\sim eff}$	0,3	0,31	Volt

Siehe auch die Kennlinienfelder 10...14.

Die Gittervorspannung darf nur halbautomatisch durch Spannungsabfall an einem Widerstand erzeugt werden, der in der gemeinsamen Minusleitung des Gerätes liegt und somit von den Anoden- und Schirmgitterströmen aller Röhren durchflossen wird, da sonst die Gefahr einer unerwünschten Kopplung zwischen Trioden- und Tetrodensystem besteht. Seine Größe errechnet sich nach dem Ohmschen Gesetz:

$$R = \frac{U_{G1A}}{\sum I_{OA} + \sum I_{G2Q}}$$

Die Gittervorspannung des Triodensystems wird durch entsprechende Unterteilung des Widerstandes gewonnen ($\frac{1}{3}$ des Gesamtwiderstandes).

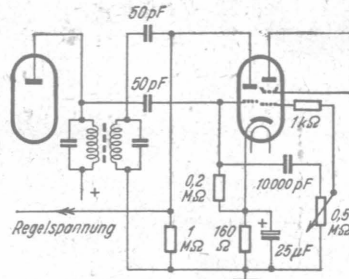
Nur wenn das Triodensystem als Audion geschaltet ist, darf die Gittervorspannung vollautomatisch durch Spannungsabfall an einem Kathodenwiderstand erzeugt werden, da dieser dann nur von den Strömen des Endtetrodensystems durchflossen wird. Hierbei ist $R_K = 150 \dots 165 \Omega$.

b) 2 Röhren im Gegenakt-A-Betrieb

Anodenspannung	U_{OA}	250	Volt
Schirmgitterspannung	U_{G2Q}	250	Volt
Gittervorspannung	U_{G1A}	je -6	Volt
Anodenstrom	I_{OA}	2×36	mA
Schirmgitterstrom	I_{G2Q}	2×5	mA
bei voller Aussteuerung	I_{G2Qd}	2×14	mA
Außenwiderstand von Anode zu Anode	R_{OA}	11	kΩ
opt. Sprechleistung	$N_{A\sim}$	8	Watt
hierbei Klirrfaktor	K	5	%
(Aussteuerung bis zum Einsatzpunkt des Gitterstromes)			
Gitterwechselspannung von Gitter zu Gitter	$U_{GG\sim eff}$	7,2	Volt

c) 2 Röhren im Gegenakt-AB-Betrieb

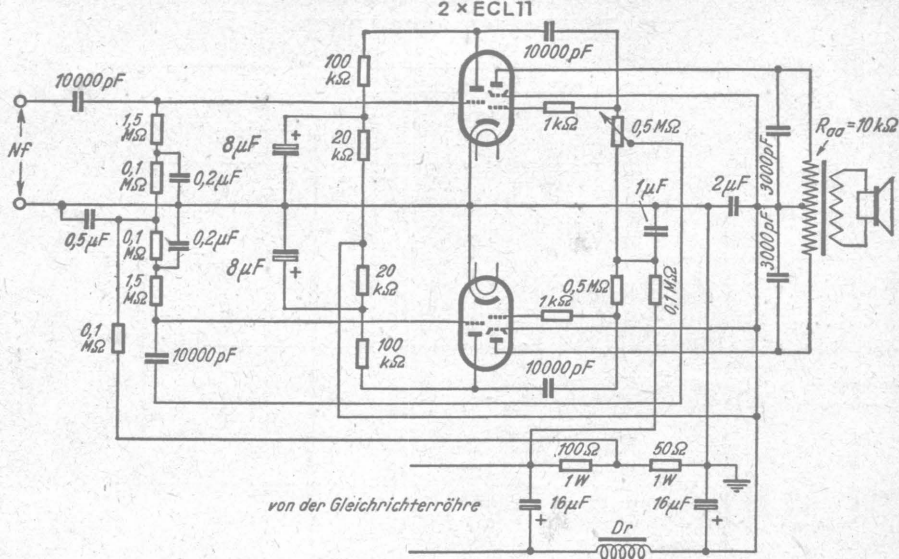
Anodenspannung	U_{OA}	250	Volt
Schirmgitterspannung	U_{G2Q}	250	Volt
Gittervorspannung	U_{G1A}	je -7,5	Volt
Anodenstrom	I_{OA}	2×24	mA
Schirmgitterstrom	I_{G2Q}	$2 \times 2,8$	mA
bei voller Aussteuerung	I_{G2Qd}	2×8	mA
Außenwiderstand von Anode zu Anode	R_{OA}	10	kΩ
opt. Sprechleistung	$N_{A\sim}$	8,2	Watt
hierbei Klirrfaktor	K	3	%
(Aussteuerung bis zum Einsatzpunkt des Gitterstromes)			
Gitterwechselspannung von Gitter zu Gitter	$U_{GG\sim eff}$	10,6	Volt



Verwendung der ECL 11
als Duodiode + Endtetrode
(grundsätzlich dargestellt)

8-Watt-Kraftverstärker mit Phasenumkehr-Eingangsschaltung

ECL11
Blatt 2



Grenzwerte:

	Triodenteil	Endtetrodenteil	
Anodenspannung	300	250	Volt
Anodenkaltspannung	U _{oL}	550	Volt
Schirmgitterspannung	U _{g2}	—	Volt
Schirmgitterkaltspannung	U _{g2L}	—	Volt
Anodenverlustleistung	Q _a	0,6	Watt
Schirmgitterbelastung bei U _{g~} = 0 Volt	Q _{g2}	—	Watt
bei voller Aussteuerung	Q _{g2d}	—	Watt
Gitterableitwiderstand	R _{gt}	1,7	MΩ
hier von zweckmäßig Kopplungswiderstand	R _{gr}	1,5	MΩ
Siebwiderstand	R _{gtsieb}	0,2	MΩ
Katodenstrom	I _k	60	mA
Gitterstrom - Einsatzpunkt	Bei I _{g1} = 0,3 μA ist U _{g1} nie negativer als -1,3 Volt		
Spannung zwischen Faden und Schicht	U _{f/k}	50	Volt
Außenwiderstand zwischen Faden und Schicht	R _{f/k}	5	kΩ

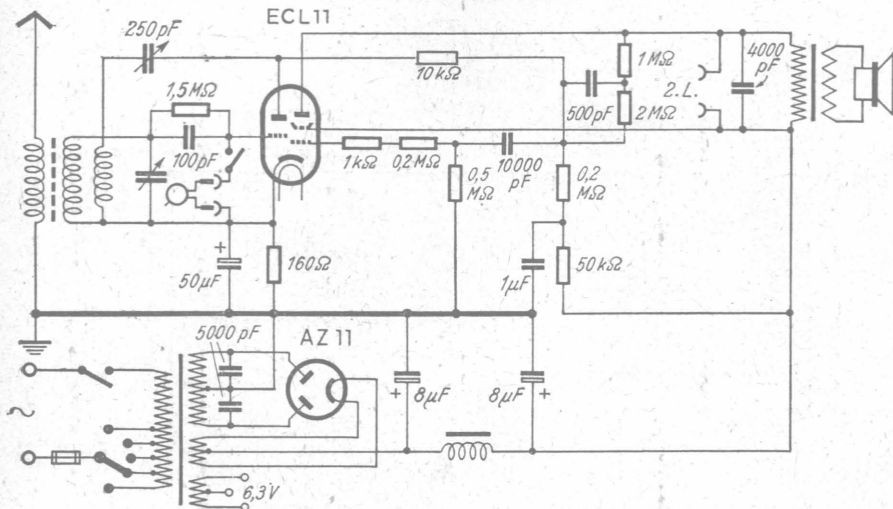
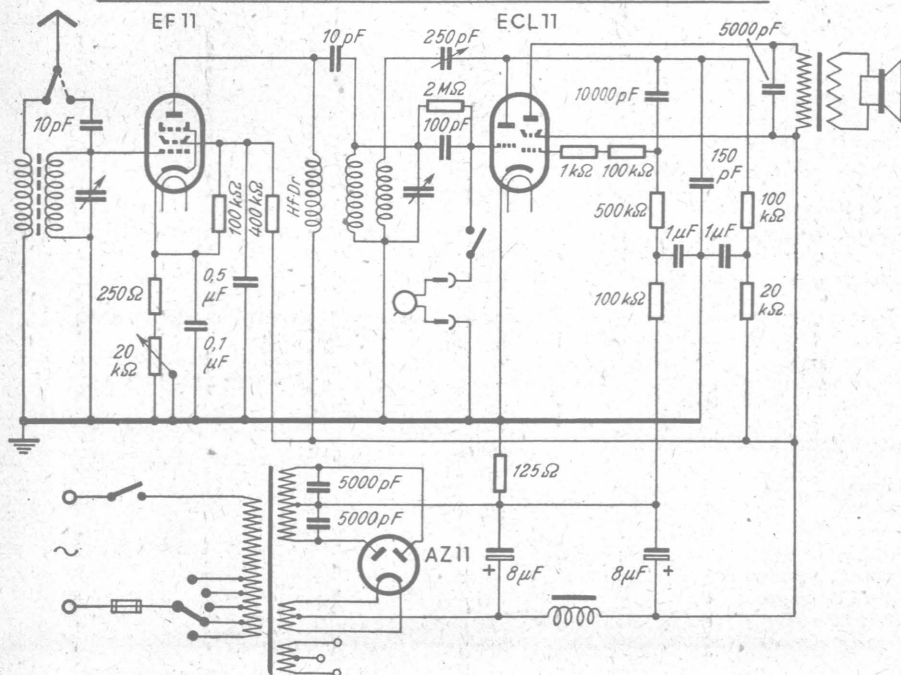
Mit Rücksicht auf Brummen und andere Störgeräusche sollen nur solche Schaltmittel zwischen Faden und Schicht gelegt werden, die die Gittervorspannung erzeugen.

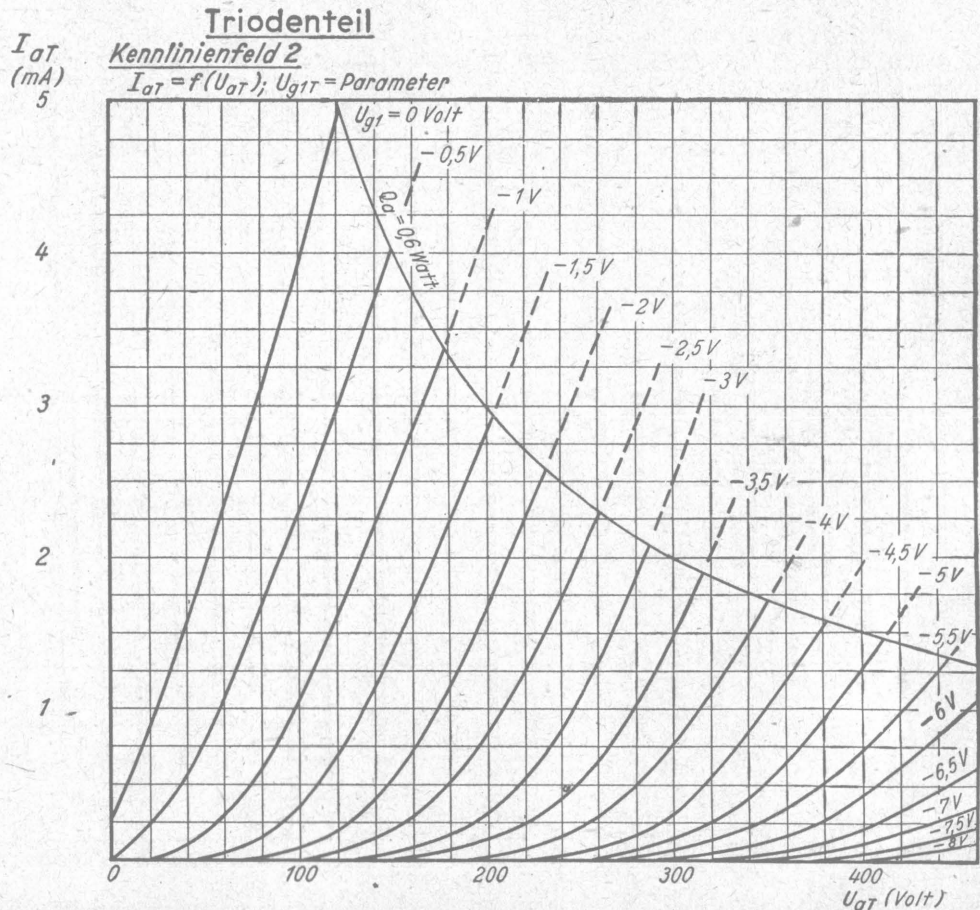
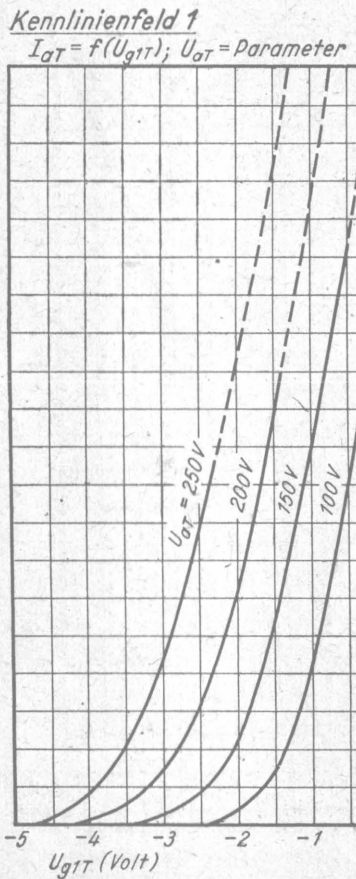
Zur Vermeidung von UKW-Störschwingungen ist es notwendig, unmittelbar vor das Steuergitter einen Schutzwiderstand von mindestens 1000 Ω oder (und) vor das Schirmgitter einen Widerstand von mindestens 100 Ω zu legen.

Innere Röhrenkapazitäten:

	Triodenteil	Endtetrodenteil	
Eingang	C _e (c _{g1/k})	4,9	pF
Ausgang	C _a (c _{a/k})	3,8	pF
Gitter - Anode	c _{g1/a}	< 1,5	pF
Gitter - Heizfaden	c _{g1/f}	< 0,016	pF
Gitter 1 II - Gitter 1 I	c _{g12/g1r}	< 0,1	pF
Gitter 1 II - Anode 1 II	c _{g17/a2}	< 0,02	pF
Gitter 1 II - Anode 1 I	c _{g12/a1T}	< 0,2	pF
Anode 1 II - Anode 1 I	c _{a2/a1T}	< 0,15	pF

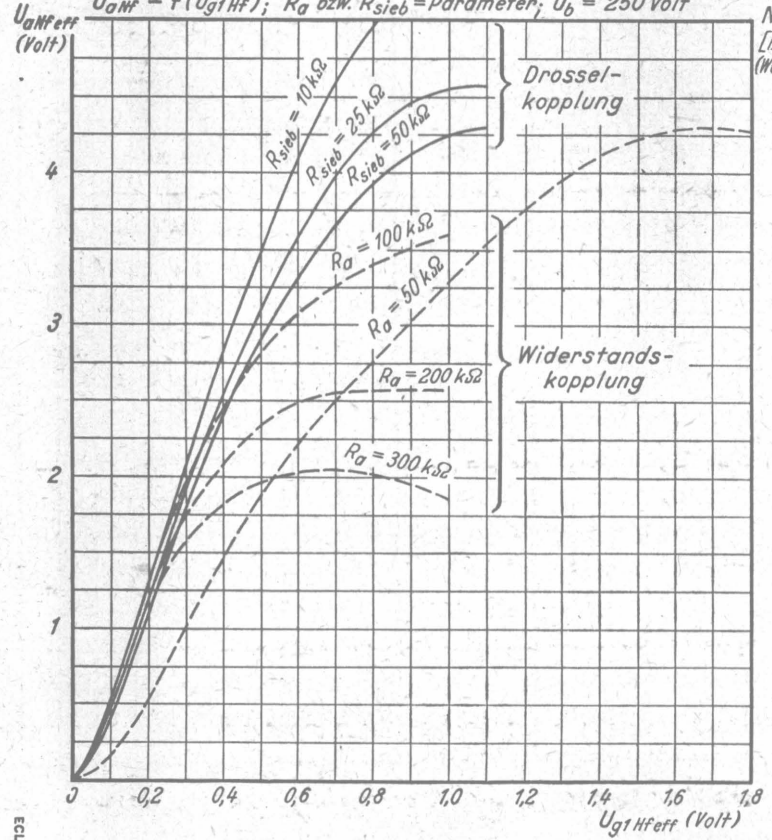
Fritz Künzle

Einkreiser für WechselstromZweikreis - Dreiröhren - Empfänger für Wechselstrom

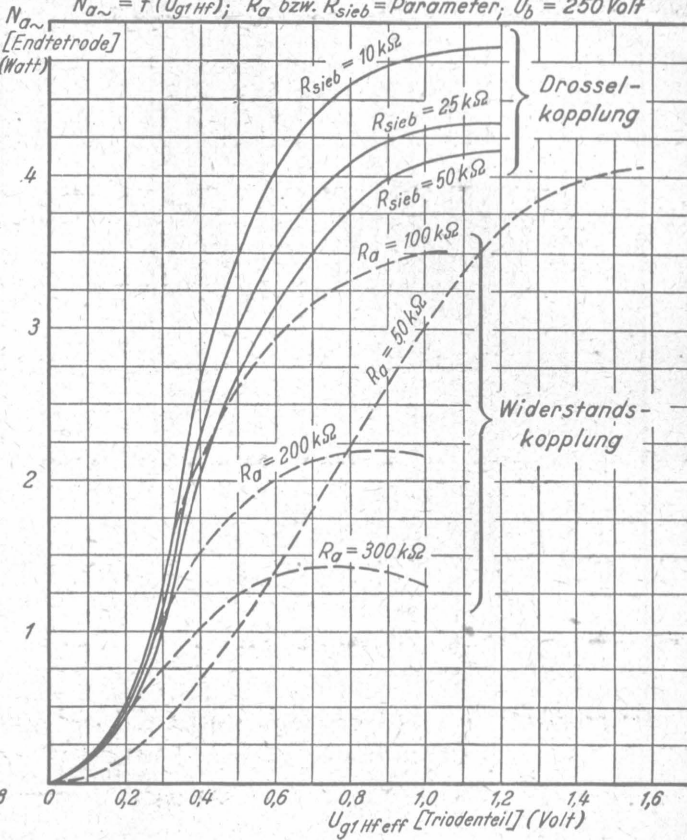


Kennlinienfeld 3Detektorverstärkung

FUNKWERK-Vertrieb Wilhelm Wolf, Potsdam, Seestraße 43. Nachdruck verboten!

AudiongleichrichtungKennlinienfeld 4Aussteuerfähigkeit

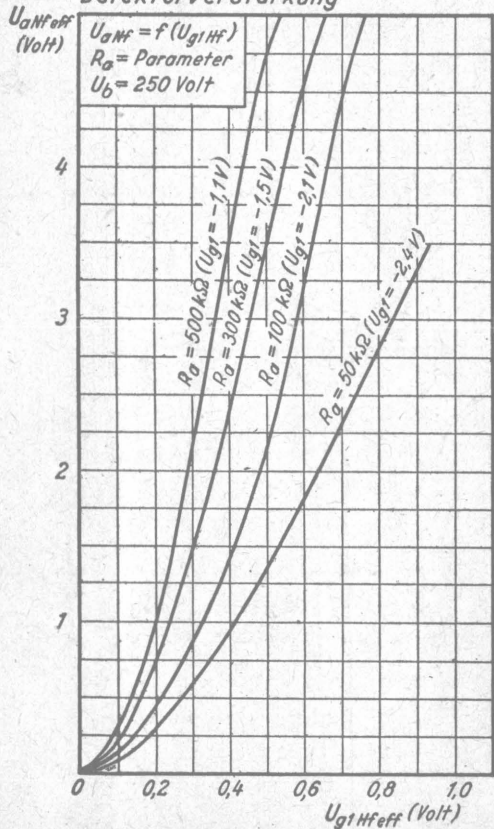
$N_{a\sim} = f(U_{g1Hf})$; R_a bzw. R_{sieb} = Parameter; $U_b = 250$ Volt



Anodengleichrichtung

Kennlinienfeld 5

Detektorverstärkung

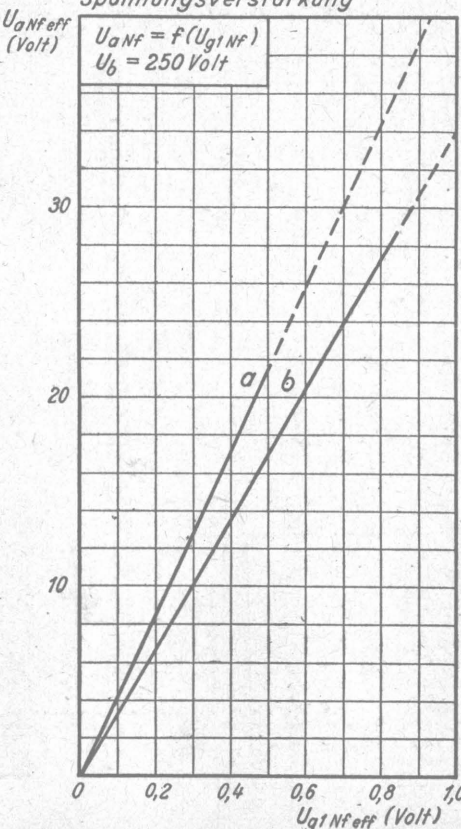


Niederfrequenzverstärkung des Triodenteils mit RC-Kopplung

Kennlinienfeld 6

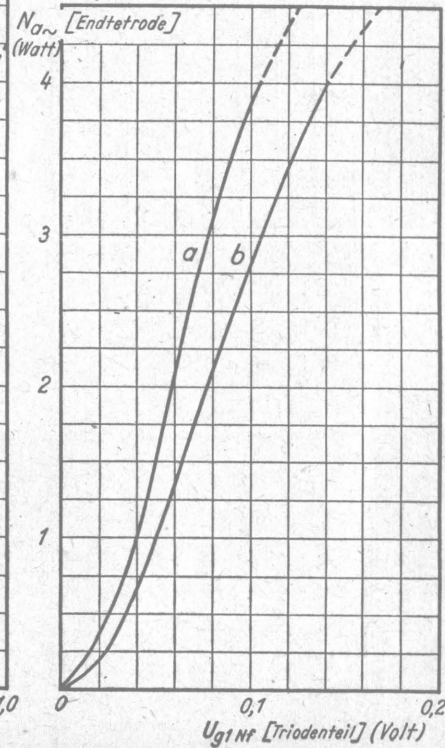
Bedeutung von a und b siehe Text

Spannungsverstärkung



Kennlinienfeld 7

Aussteuerfähigkeit
 $N_{a\sim} = f(U_{g1NF})$
 $U_b = 250 \text{ Volt}$

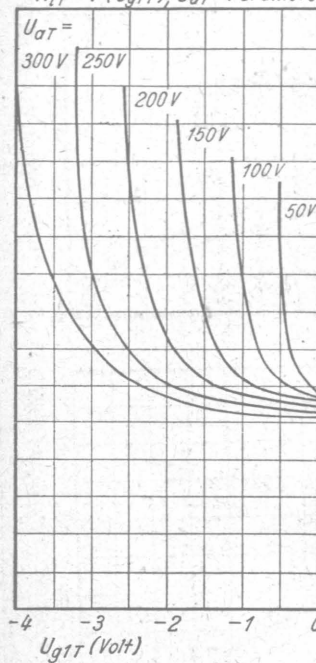


ECL11

Kennlinienfeld 8

Innenwiderstandskurve des Triodenteils

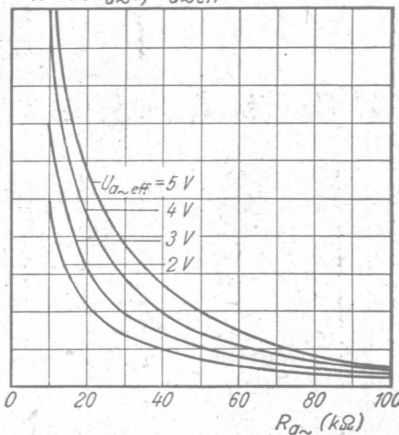
$$R_{iT} = f(U_{g1T}); U_{gT} = \text{Parameter}$$



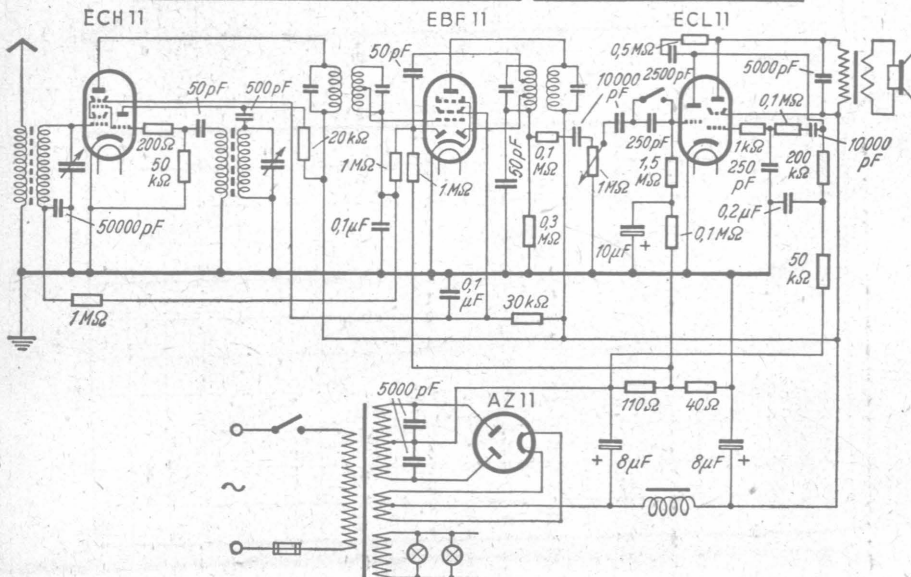
Kennlinienfeld 9

Klirrfaktorkurve
des Triebenteils

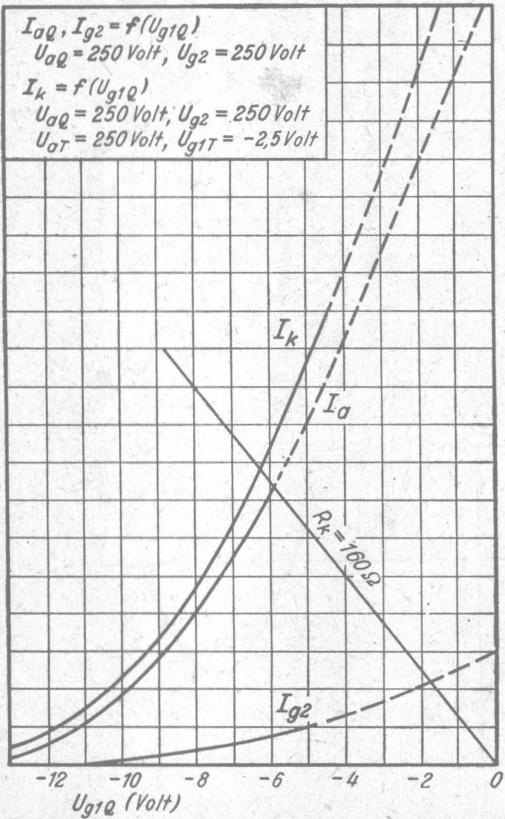
$K = f(R_{\text{eff}})$: R_{eff} = Parameter



4 Röhren-6 Kreis - Standardsuper für Wechselstrom

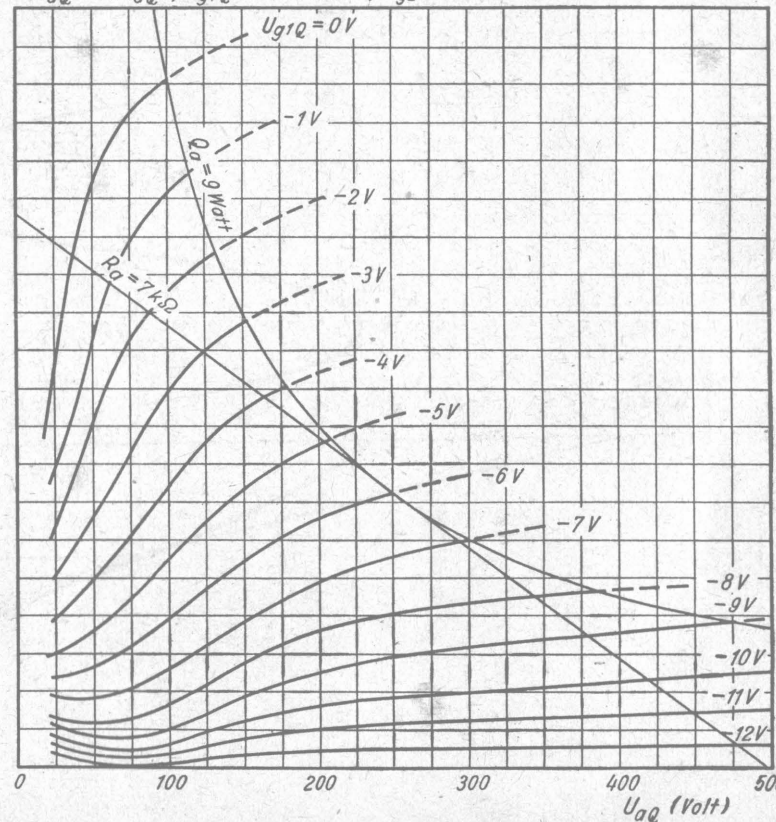


Kennlinienfeld 10

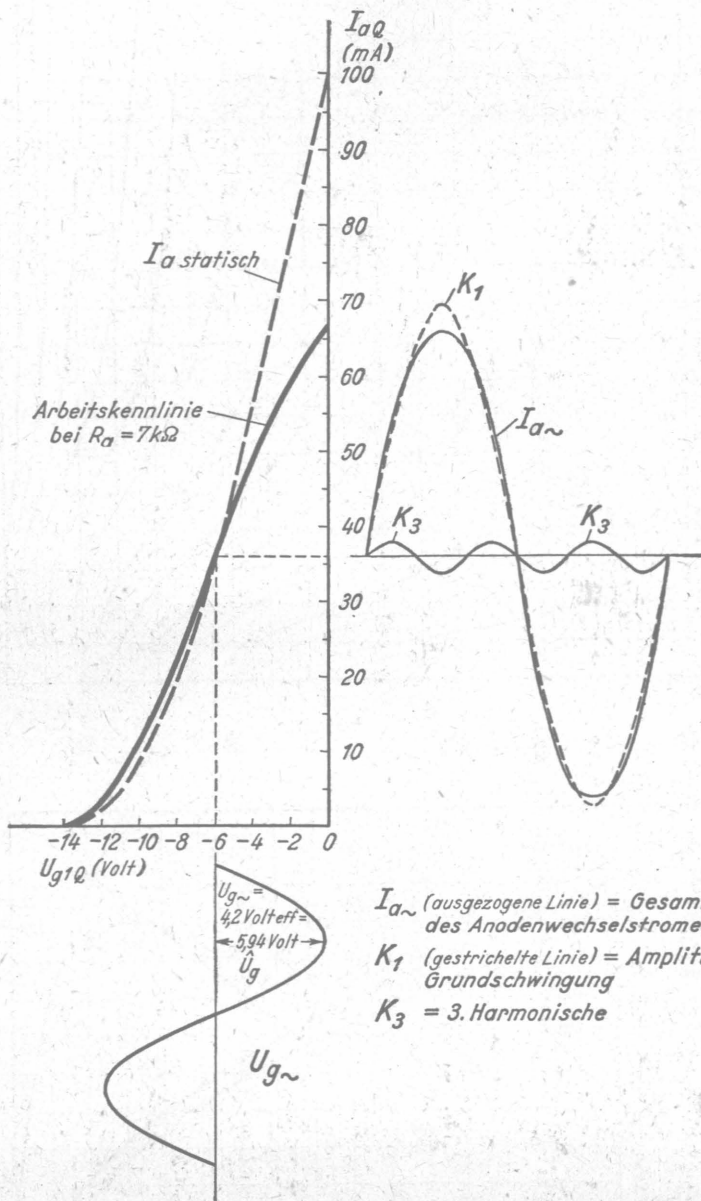


Tetrodenteil

Kennlinienfeld 11
 $I_{aQ} = f(U_{aQ}), U_{g1Q} = \text{Parameter}, U_{g2} = 250 \text{ Volt}$

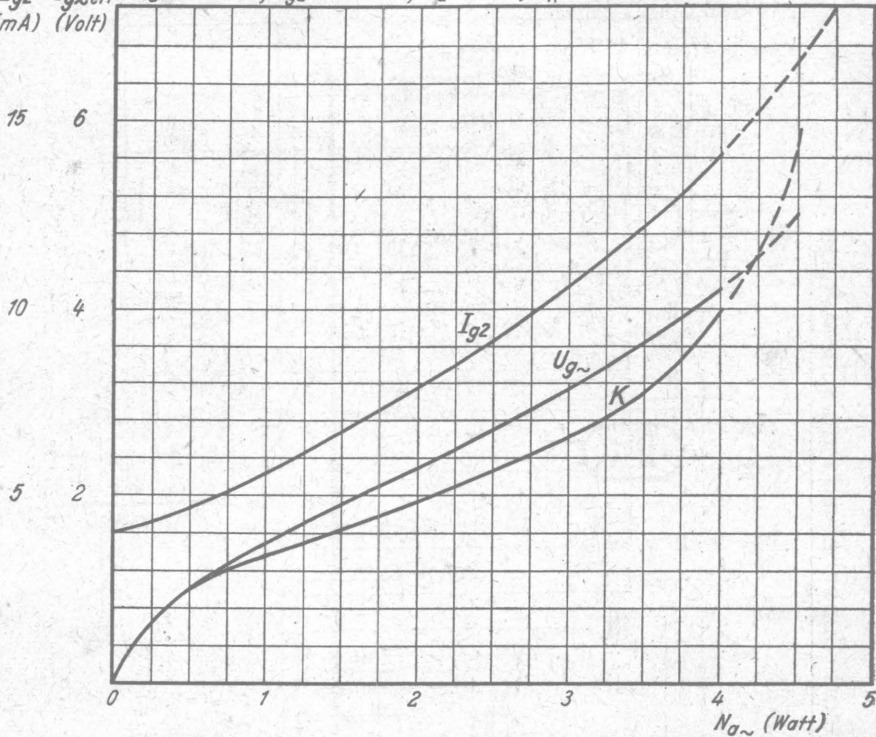


Kennlinienfeld 12
Die Aussteuerung des Endtetrodenteils

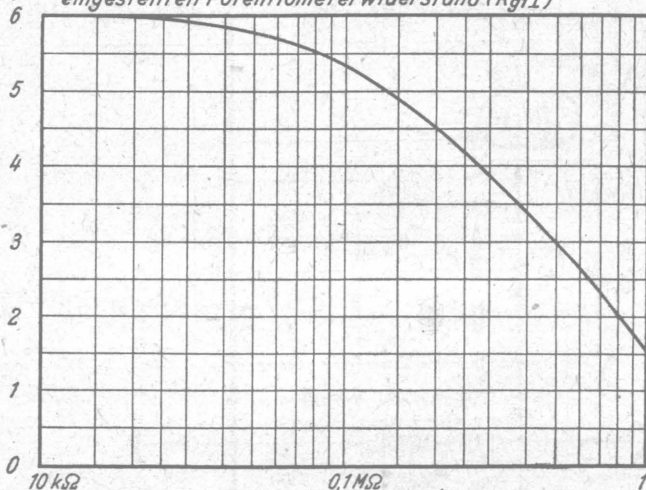


Kennlinienfeld 13

K (%)
 I_{g2} $U_{g\sim \text{eff}}$ $U_a = 250 \text{ Volt}$, $U_{g2} = 250 \text{ Volt}$, $R_a = 7 \text{ k}\Omega$, $R_K = 160 \Omega$
 (mA) (Volt)

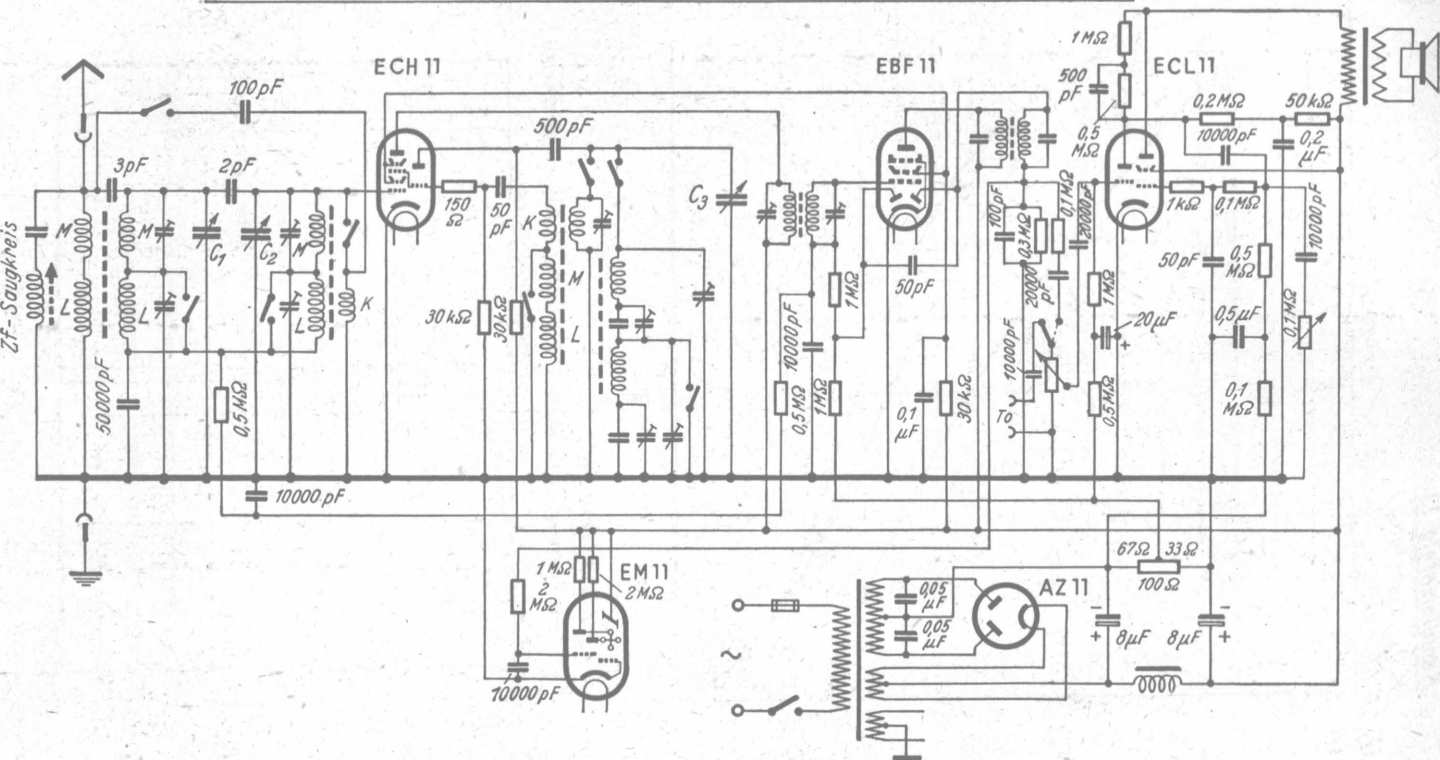
Kennlinienfeld 14

$\frac{V}{V'}$ Änderung des Gegenkopplungsgrades in Abhängigkeit vom eingestellten Potentiometerwiderstand (R_{gtI})



Abgegriffene Werte am $1 \text{ M}\Omega$ -Potentiometer (Siehe Schaltung des Standardsupers auf Blatt ECL 11/4a)

7 Kreis - 4 Röhren - Wechselstrom-Superhet mit magischem Auge





Röhren-Dokumente

Regelpentode

EF 11

5 Blätter

FUNKWERK-Sammlung, Gruppe Röhrentechnik

Blatt 1

Allgemeines:

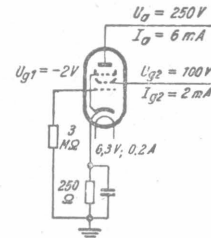
Stahlröhre Stahlmantel, Abschirmung und g3 im Innern der Röhre mit k verbunden. Gute Regeleigenschaften und gute Steilheit bei geringem Anodenstrombedarf.

Heizung:

Heizspannung	U_F	6,3	Volt	$\sim A$
Heizstrom	I_F	200	mA	ind.

Meßwerte:

Anodenspannung	U_a	250	200	100	Volt
Schirmgitterspannung	U_{g2}	100	100	100	Volt
Gittervorspannung	U_{g1}	-2	-2	-2	Volt
Anodenstrom	I_a	6	6	6	mA
Schirmgitterstrom	I_{g2}	2	2	2	mA
Steilheit	S	2,2	2,2	2,2	mA/V
Innenwiderstand	R_i	3	2	0,4	$M\Omega$



Betriebswerte:

a. als HF- und ZF- Regelröhre

α) Schirmgitterspannung fest

Anodenspannung U_a 250...100 Volt

Schirmgitterspannung U_{g2} 100 Volt

Katodenwiderstand R_k 250 Ω

Regelbereich 1 : 100 : 300 (opt)

Gittervorspannung U_{g1} -2 -7 -21 Volt

Steilheit S 2,2 0,022 0,0075 mA/V

Innenwiderstand R_i 3 >10 >10 $M\Omega$

β) Schirmgitterspannung gleitend

Betriebsspannung U_b 250 Volt

Schirmgitterwiderst. R_{g2} 75 $k\Omega$

Katodenwiderstand R_k 250 Ω

Regelbereich 1 : 100 : 500 (opt)

Schirmgitterspannung U_{g2} 100 250 300 Volt

Gittervorspannung U_{g1} -2 -45 -53 Volt

Steilheit S 2,2 0,022 0,0044 mA/V

Innenwiderstand R_i 3 >10 >10 $M\Omega$

Betriebsspannung U_b 200 Volt

Schirmgitterwiderst. R_{g2} 50 $k\Omega$

Katodenwiderstand R_k 300 Ω

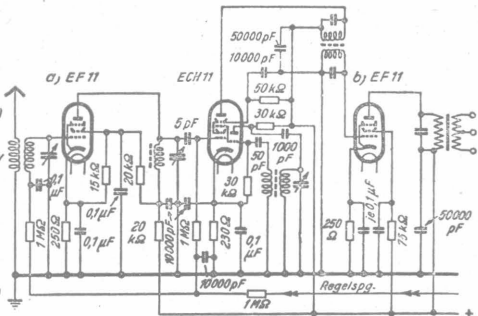
Regelbereich 1 : 100 : 400 (opt)

Schirmgitterspannung U_{g2} 100 200 200 Volt

Gittervorspannung U_{g1} -2 -36 -42 Volt

Steilheit S 2,2 0,022 0,0055 mA/V

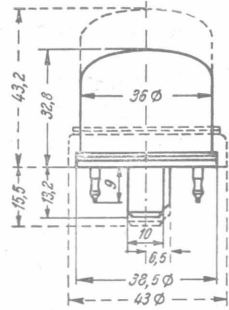
Innenwiderstand R_i 2 >10 >10 $M\Omega$



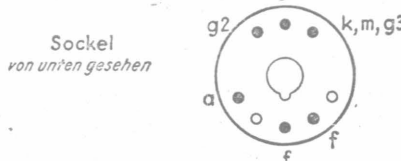
Schaltung der EF 11 a) als HF-Regelröhre (feste Schirmgitterspannung)

b) als ZF-Regelröhre (gleitende Schirmgitterspannung)

Kolbenabmessungen



Gestrichelt: Ältere Ausführung
Ausgezogen: Neue Ausführung



Betriebswerte (Fortsetzung)

b. als NF-Regelröhre (in RC-Kopplung):

Da bei Mehrpolröhren Durchgriff unwichtig und μ keine Röhrenkonstante, lautet die Verstärkungsformel: $V = \frac{S \cdot R_a}{1 + \frac{R_g}{R_i}}$. Da meist $R_i \gg R_a$, vereinfacht sie sich zu: $V \approx S \cdot R_a$. Die Verstärkung wird also sehr stark von R_a beeinflusst.

Betriebsspannung	U_b	250	250	250	250	Volt
Anodenwiderstand	R_a	0,3	0,2	0,1	0,05	MΩ
Siebwiderstand	R_{sieb}	0,02	0,02	0,02	0,02	MΩ
Schirmgittervorwiderstand	R_{g2}	1	0,6	0,4	0,2	MΩ
Katodenwiderstand	R_k	2,4	1,5	1	0,6	kΩ
Gittervorwiderstand	U_{gt}	-2 -20	-2 -20	-2 -20	-2 -20	Volt
Anodenstrom	I_a	0,64	- 1,0	- 1,45	- 2,6	- mA
Schirmgitterstrom	I_{g2}	0,2	- 0,35	- 0,5	- 0,9	- mA
Spannungsverstärkung	V	100 15	95 15	75 10	60 5	-
Klirrfaktor ($U_{a\sim} = 3V_{eff}$)	K	0,3 0,9	0,3 0,9	0,3 1,5	0,3 1,5	%
($U_{a\sim} = 5V_{eff}$)	K	0,7 1,7	0,7 1,7	0,7 2	0,3 2	%

Betriebsspannung	U_b	200	200	200	200	100	100	100	100	Volt
Anodenwiderstand	R_a	0,3	0,2	0,1	0,05	0,3	0,2	0,1	0,05	MΩ
Siebwiderstand	R_{sieb}	0,02	0,02	0,02	0,02	0,02	0,02	0,02	0,02	MΩ
Schirmgittervorwiderstand	R_{g2}	1	0,6	0,4	0,2	1	0,5	0,4	0,2	MΩ
Katodenwiderstand	R_k	3	2	1,4	0,75	3	2	1,4	0,75	kΩ
Gittervorwiderstand	U_{gt}	-2 -20	-2 -20	-2 -20	-2 -20	-1 -10	-1 -10	-1 -10	-1 -10	Volt
Anodenstrom	I_a	0,68	- 0,75	- 1,12	- 2,0	- 0,26	- 0,37	- 0,55	- 1	- mA
Schirmgitterstrom	I_{g2}	0,16	- 0,25	- 0,36	- 0,7	- 0,1	- 0,13	- 0,2	- 0,35	- mA
Spannungsverstärkung	V	80 10	80 10	65 5	50 5	70 7	70 7	60 5	45 3	-
Klirrfaktor ($U_{a\sim} = 3V_{eff}$)	K	0,8 2,5	0,8 2,5	0,8 3	0,8 3	1 4,5	1 4,5	1 5	0,5 5	%
($U_{a\sim} = 5V_{eff}$)	K	1,3 4	1,3 4	1,3 4	1 4	- -	- -	- -	- -	%

c. als Regeltriode (g_2 an a):

Anodenspannung	U_a	200	250	100	Volt
Anodenwiderstand	R_a	-	200	-	kΩ
Gittervorspannung	U_{gt}	-6,5	-2 -40	-2 -15	Volt
Katodenwiderstand	R_k	0,68	1,8	0,25	kΩ
Anodenstrom	I_a	10	1,1 0,1	8 0,05	mA
Stabilität	S	1,5	0,5 -	1,5 -	mA/V
Durchgriff	O	2,6	2,6 -	2,6 -	%

Grenzwerte:

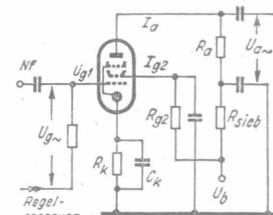
Anodenspannung	als Pentode		als Triode	
	U_a max	U_{aL} max	U_g max	U_{g2L} max
Anodenkapselfspannung ($I_a = 6 \text{ mA}$)	300 V	550	200	550
($I_a \leq 3 \text{ mA}$)	U_{aL} max	125	-	Volt
Schirmgitterspannung	U_{g2} max	300	-	Volt
Anodenverlustleistung	Q_a max	550	-	Volt
Schirmgitterverlustleistung	Q_{g2} max	2	2	Watt
Innenwiderstand	R_i min	0,3	-	Watt
bei $I_a = 6 \text{ mA}$, $U_{g2} = 100 \text{ V}$ u. $U_a = 250 \text{ V}$:	R_i min	1,5	-	MΩ
$U_a = 200 \text{ V}$:	R_i min	1,5	-	MΩ
$U_a = 100 \text{ V}$:	R_i min	0,3	-	MΩ
Katodenstrom	I_k max	10	10	mA
Gitterableitwiderstand	R_{gt} max	3	3	MΩ
Gitterstrom-Einsatzpunkt				
bei $I_{gt} \leq 0,3 \mu\text{A}$ ist U_g nie negativer als $-1,3 \text{ Volt}$				
Spannung zwischen Faden und Schicht	$U_{f/k}$ max	100	100	Volt
Außenwiderstand zwischen Faden u. Schicht	$R_{f/k}$ max	20	20	MΩ

1) Bei hohem ohmschen Außenwiderstand kann U_g bis 550 Volt genommen werden, da zwischen $U_a = 550 \dots 300 \text{ Volt}$ der Anodenstrom sehr klein, nur wenig mehr als 0 mA, ist.

2) Mit Rücksicht auf Brummen und andere Störgeräusche sollen nur solche Schaltmittel zwischen Faden und Schicht gelegt werden, die die Gittervorspannung erzeugen.

Innere Röhrenkapazitäten:

Eingang	C_e	6,1	pF
Ausgang	C_a	6,5	pF
Gitter1/Anode	$C_{gt/a}$	< 0,002	pF
Heizfaden/Gitter1	$C_{f/gt}$	< 0,03	pF

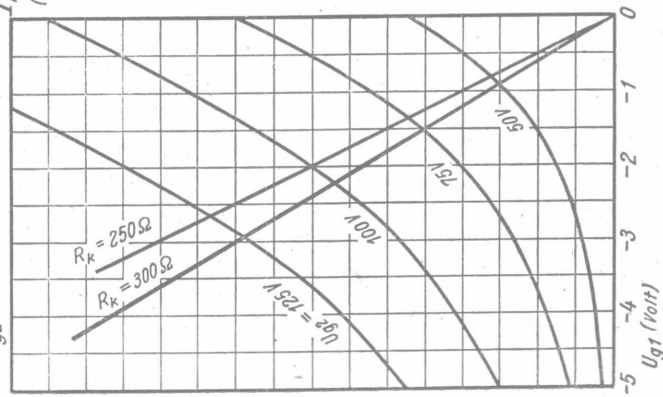


Schaltung der EF11 als NF-Regelröhre

Kennlinienfeld 1

$$I_k = f(U_{g1})$$

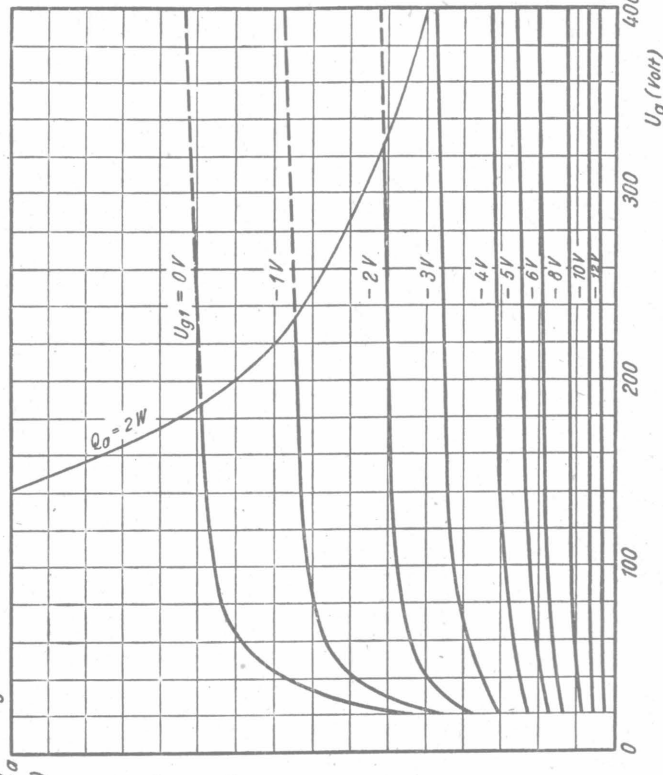
$$U_\alpha = 100 \dots 250 \text{ Volt}$$

$$U_{g2} = \text{Parameter}$$


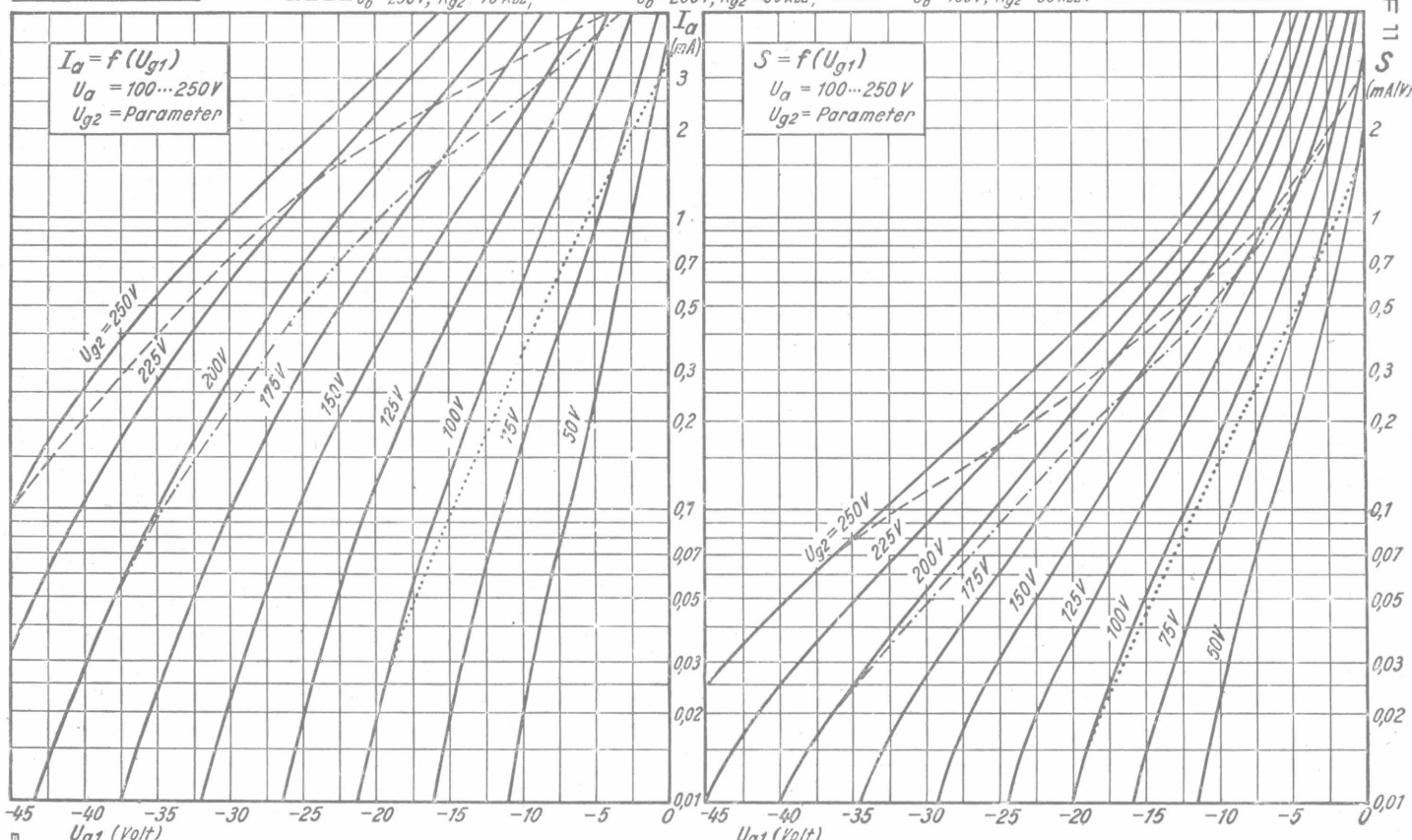
Kennlinienfeld 2

$$I_\sigma = f(U_\alpha)$$

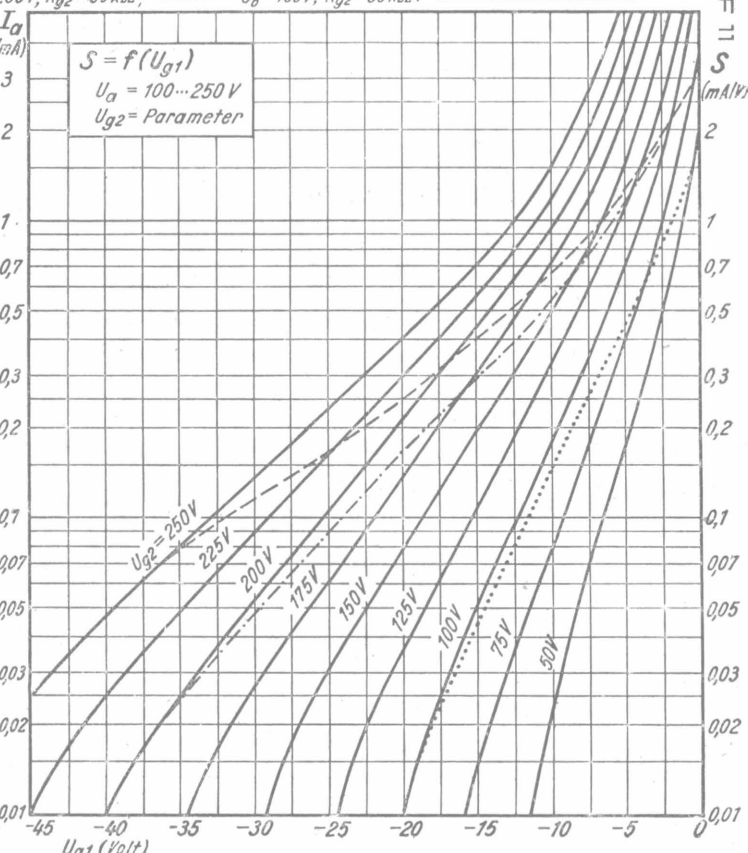
$$U_{g2} = 100 \text{ Volt}$$

$$U_{g1} = \text{Parameter}$$


Kennlinienfeld 3



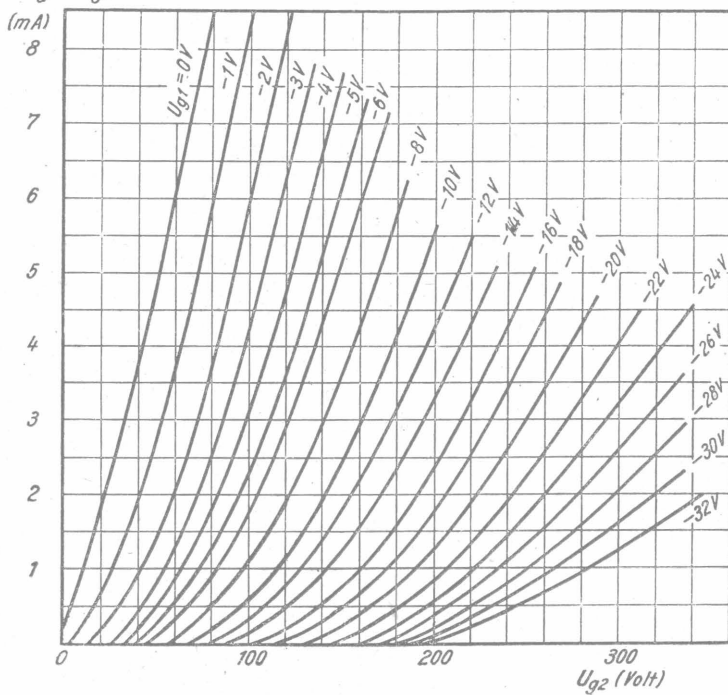
Kennlinienfeld 4



Kennlinienfeld 5

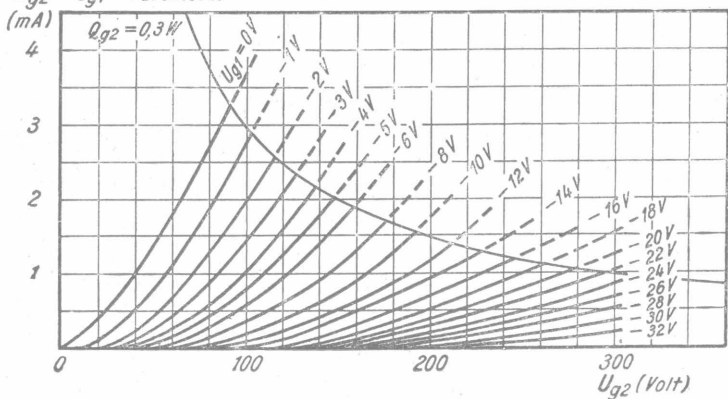
$I_\alpha = f(U_{g2})$

$U_g = 100 \dots 250 V$

 I_α U_{g1} = ParameterKennlinienfeld 6

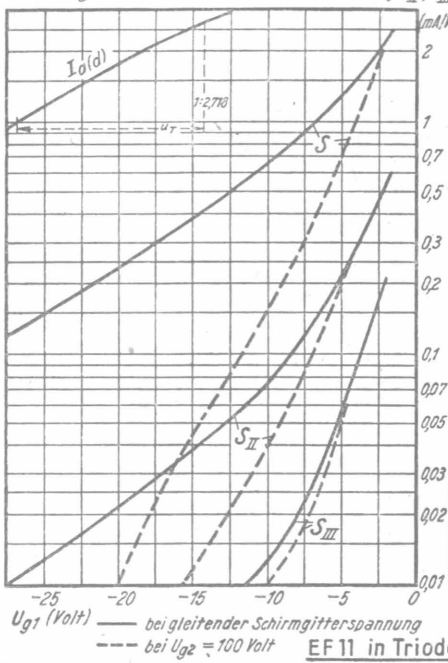
$I_{g2} = f(U_{g2})$

$U_g = 100 \dots 250 V$

 I_{g2} U_{g1} = Parameter

EF 11

Kennlinienfeld 7 in halblogarithmischem Maßstab

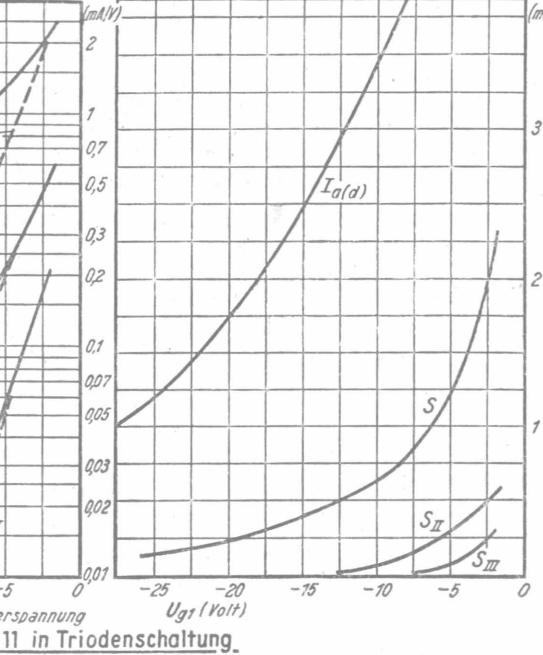


Steilheitskennlinien

$$I_a(d), S, S_{II}, S_{III} = f(U_{g1})$$

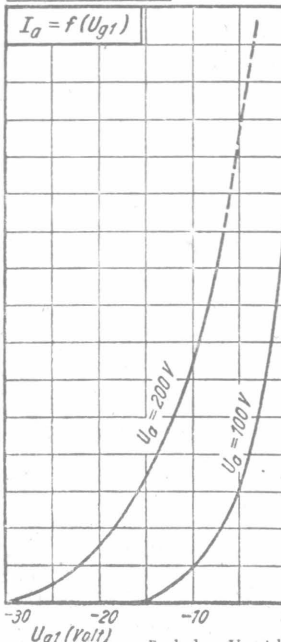
$$I_a(mA)$$
 Kennlinienfeld 8
 S, S_{II}, S_{III} in linearem Maßstab

I_a
(mA)
 S, S_{II}, S_{III}
(mA/V)

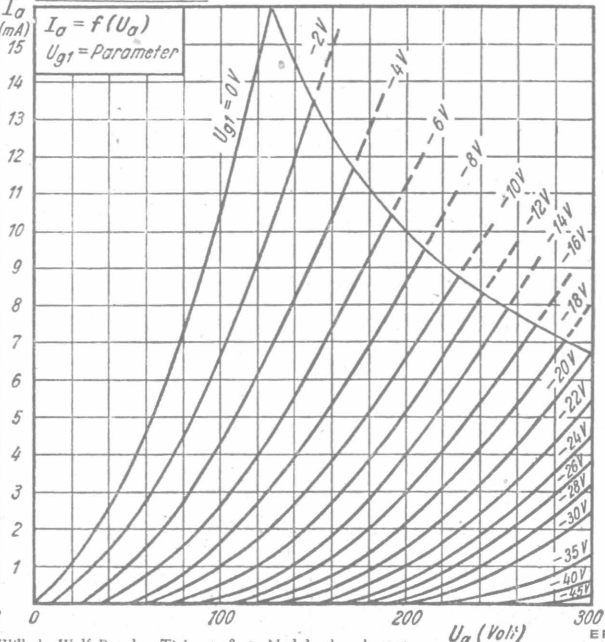


EF 11 in Triodenschaltung.

Kennlinienfeld 9

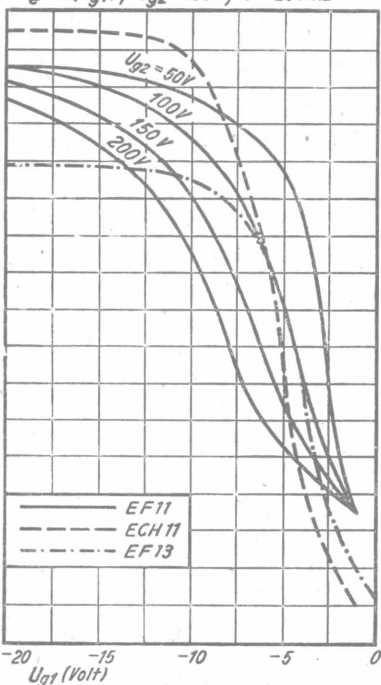


Kennlinienfeld 10



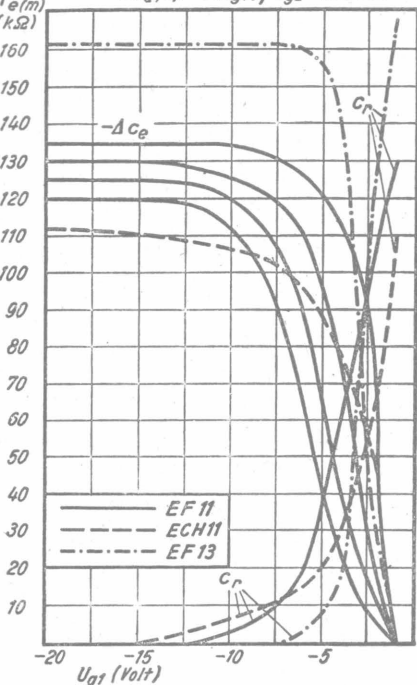
Kennlinienfeld 11

$r_e = f(U_{g1})$; $U_{g2} = 100V$; $f = 20MHz$



Kennlinien für KW - Verstärkung

$-\Delta c_e, C_r = f(U_{g1})$; $U_{g2} = 100 Volt$



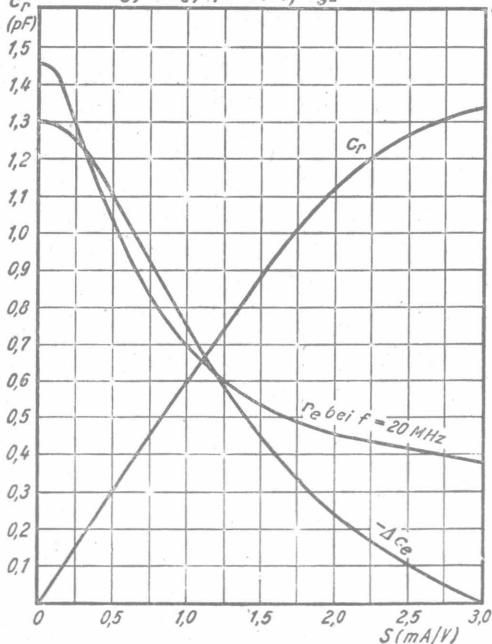
Kennlinienfeld 12

EF 11 Blatt 4

$-\Delta c_e, C_r$ (pF)

Kennlinienfeld 13

$r_e, -\Delta c_e, C_r = f(S)$; $U_{g2} = 100 V$



Eingangswiderstand r_{in} ,

Es ist bei gegebener Wellenlänge λ_x (meter):

$$r_{in}(x) = r_{in}(m) \cdot \frac{\lambda_x}{165}$$

r_e liegt parallel dem Kreiswiderstand R_{kr} .

Wirksame Eingangskapazität Σc_e liegt parallel dem Abstimmkreis und ver- stimmt ihn.

Es ist $\Sigma c_o = c_{gt}/k + c_{gt}lm + c_{gt}lf + c_{gt}/g_3 + c_{gt}/g_2 + C_r$. Die Raumladungskapazität C_r ändert sich beim Regeln; bei negativer werdender Gitterspannung wird C_r kleiner. Die wirksame Eingangskapazität Σc_e wird durch C_r um den Betrag Δc_e verkleinert. Es ist C_r = der Diffe- renz von $-\Delta c_e$ bei voller Regelung und $-\Delta c_e$ im jeweiligen Arbeitspunkt. Durch Ankopplung des Abstimmkreises über einen Kondensator C_d kann man die Verstimmung verringern. Es ist der Kopplungsgrad

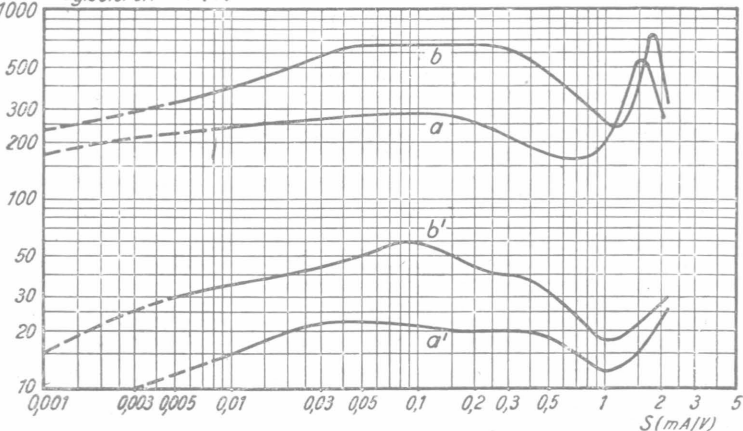
$$K = \frac{C_d}{C_d + \Delta c_e};$$

die Kapazitätsänderung wird bei loser An- koppelung quadratisch mit dem Kopplungs- grad abgeschwächt. Bei $K=1:2$ wird Δc_e auf den 4. Teil, bei $K=1:3$ auf den 9. Teil verkleinert usw.

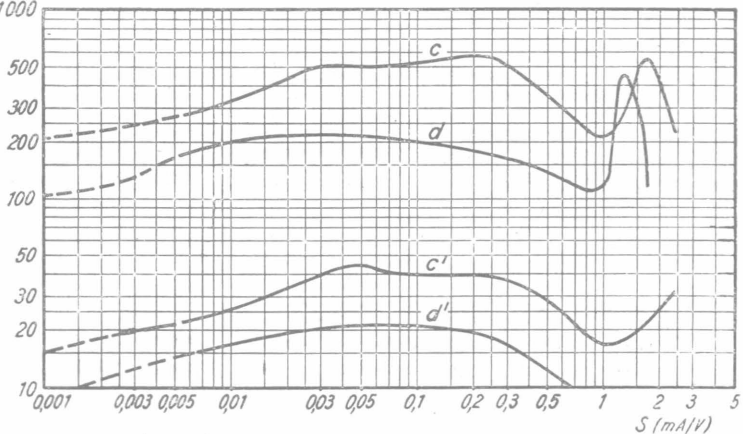
Brumm- und Kreuzmodulationskurven

Erklärung siehe bei der EBF 11

Kennlinienfeld 14
 $U_{g\sim \text{Stör}} (\text{mV})$ 1000
 $U_{g\sim \text{Stör}} = f(S)$



Kennlinienfeld 15
 $U_{g\sim \text{Stör}} (\text{mV})$ 1000
 $U_{g\sim \text{Stör}} = f(S)$



Kurven bei 1% Kreuzmodulation ($m_{\text{Stör}} = m_{\text{Lutz}}$)
bzw. bei 1% Brummmodulation ($m_{\text{Stör}} = 1$)

Kreuzmodulation	Brummmodulation	Zulässige Gitterwechselspannung
-----------------	-----------------	---------------------------------

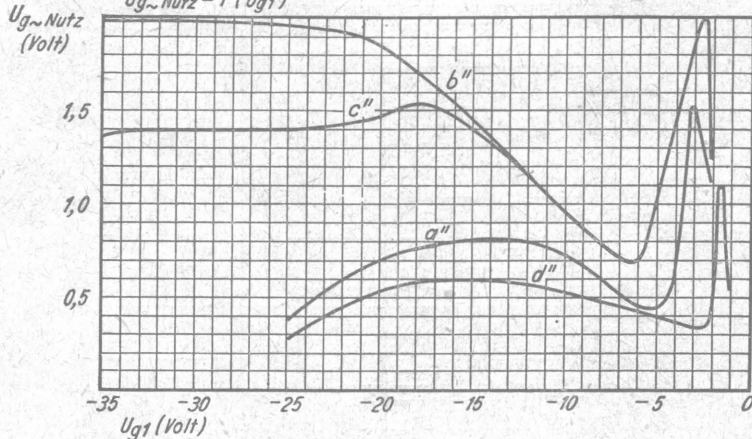
$U_g = 100 \dots 250 \text{ V}$, $U_{g2} = 100 \text{ V}$	a	a'	a''
$U_g = 250 \text{ V}$, gleitende Schirmgitterspannung über $R_{g2} = 15 \text{ k}\Omega \dots$ b	b	b'	b''
$U_g = 200 \text{ V}$, gleitende Schirmgitterspannung über $R_{g2} = 50 \text{ k}\Omega \dots$ c	c	c'	c''
$U_g = 100 \text{ V}$, gleitende Schirmgitterspannung über $R_{g2} = 50 \text{ k}\Omega \dots$ d	d	d'	d''

Zulässige Gitterwechselspannung
 Erklärung siehe auf Blatt 4, Rückseite

E F 11
 Blatt 5

Kennlinienfeld 16

$$U_{g\sim \text{Nutz}} = f(U_{g1})$$

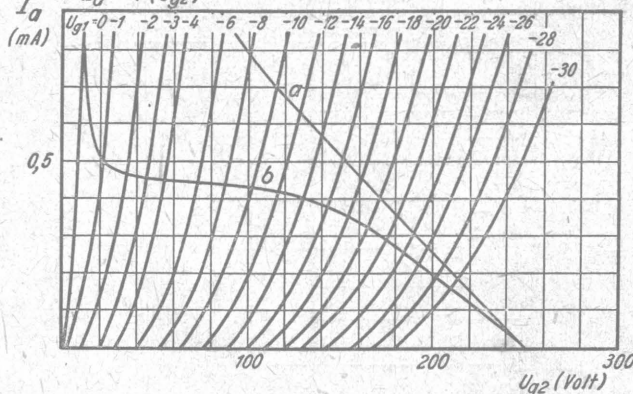


Doppelt gleitende Schirmgitterspannung

(als Betriebsspannung dient die bereits gleitende Schirmgitterspannung der Vorröhren, siehe auch umseitige Schaltskizze)

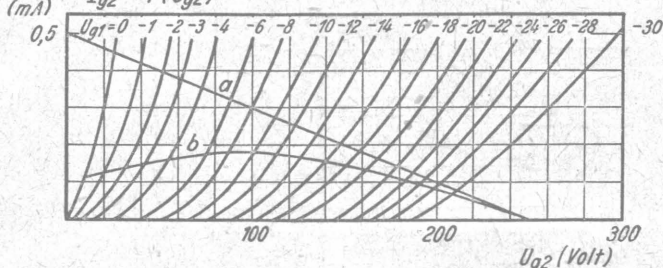
Kennlinienfeld 17

$$I_a = f(U_{g2})$$



Kennlinienfeld 18

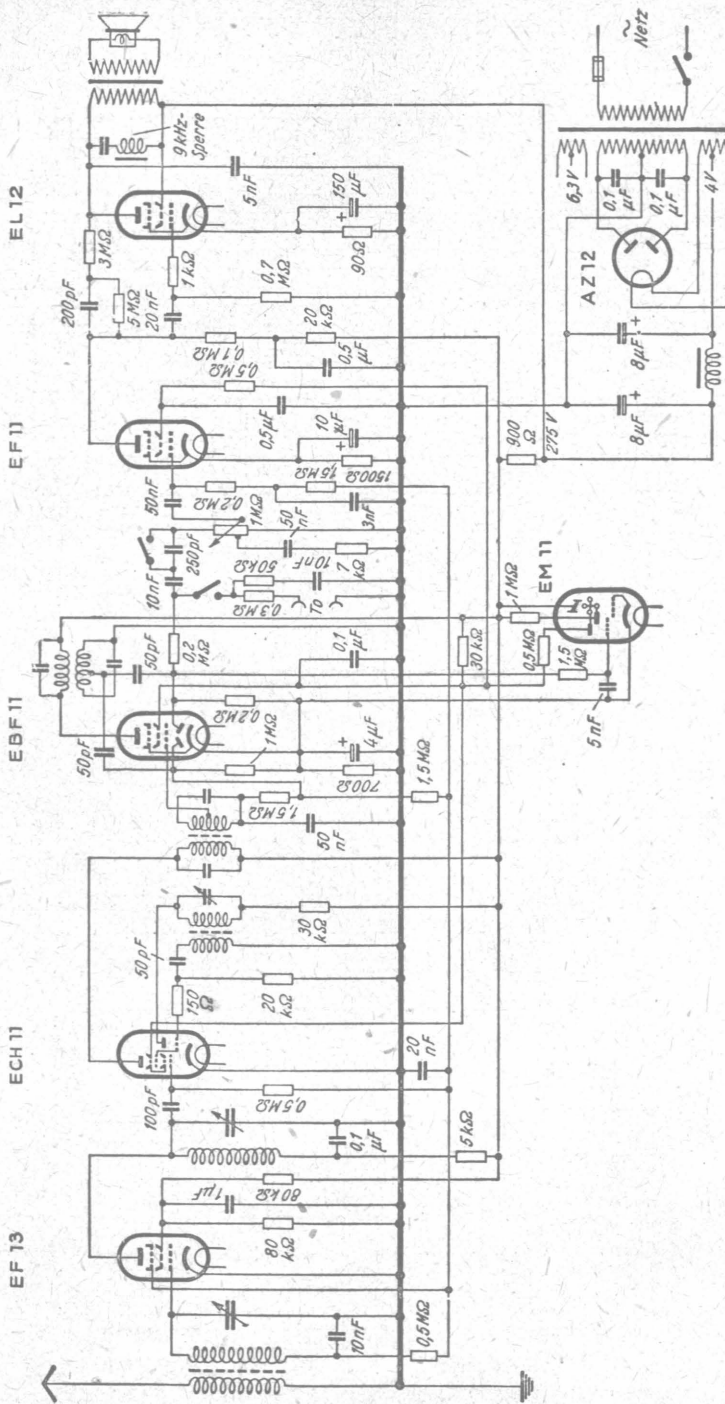
$$I_{g2} = f(U_{g2})$$



a = Schirmgitter der EF11 direkt an gemeinsame Schirmgitterleitung der ECH 11 + EBF 11 ($R_{g2} = 30 \text{ k}\Omega$)
 b = Schirmgitter der EF11 über 500 k Ω an gemeinsame Schirmgitterleitung der ECH 11 + EBF 11 ($R_{g2} = 30 \text{ k}\Omega$)

Spitzensupper mit den EF 11 als Nf-Regelröhre und der EF 13 als Voröhre

(das Bremsgitter wirkt als 3. Diodenstrecke)





Röhren-Dokumente
Stahlröhre, Universalpentode

EF12

7 Blätter

FUNKWERK-Sammlung, Gruppe Röhrentechnik

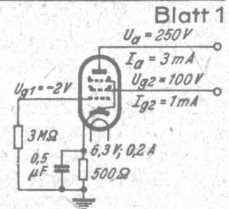
Heizung:

Indirekt geheizte Katode

Heizspannung
Heizstrom

U_F 6,3
 I_F 0,2

Volt $\sim \sim$
A ind.



Betriebswerte:

1. als HF- oder Zf-Vergärtker (auch für statische Messungen)

Anodenspannung	U_a	250	200	100	Volt
Schirmgitterspannung	U_g2	100	100	100	Volt
(Schirmgittervorwiderstand	R_g2	150	100	-	k Ω
Gittervorspannung	U_g1	-2	-2	-2	Volt
Katodenwiderstand	R_k	500	500	500	Ω
Anodenstrom	I_a	3	3	3	mA
Schirmgitterstrom	I_g2	1	1	1	mA
Schirmgitterdurchgriff	D_g2	4	4	4	%
Steilheit	S	2,1	2,1	2,1	mA/V
Innenwiderstand	R_i	>1,5	1,5	0,4	M Ω

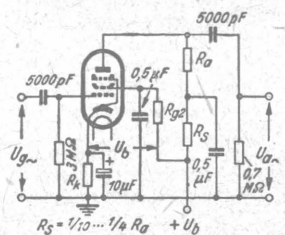
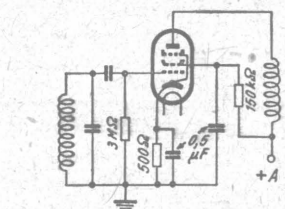
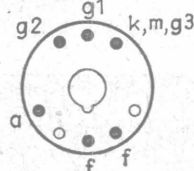
Siehe die Kennlinienfelder 1, 2, 3, 4, 5, 6, 7.

2. als Nf-Verstärker mit RC-Kopplung

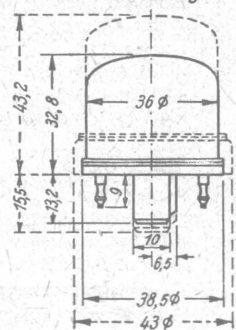
Betriebsspannung	U_b	250	250	250	250	Volt
Außenwiderstand	R_a	0,3	0,2	0,1	0,05	M Ω
Schirmgittervorwiderstand	R_g2	0,8	0,5	0,3	0,2	M Ω
Katodenwiderstand	R_k	4000	3000	1600	1000	Ω
Anodenstrom	I_a	0,6	0,9	1,5	2,0	mA
Schirmgitterstrom	I_g2	0,2	0,3	0,5	0,7	mA
Spannungsverstärkung	V	180	135	700	70	
Betriebsspannung	U_b	200	200	200	200	Volt
Außenwiderstand	R_a	0,3	0,2	0,1	0,05	M Ω
Schirmgittervorwiderstand	R_g2	0,8	0,5	0,3	0,2	M Ω
Katodenwiderstand	R_k	6000	4000	2500	2000	Ω
Anodenstrom	I_a	0,4	0,6	1,0	1,25	mA
Schirmgitterstrom	I_g2	0,13	0,2	0,3	0,4	mA
Spannungsverstärkung	V	140	110	80	50	
Betriebsspannung	U_b	100	100	100	100	Volt
Außenwiderstand	R_a	0,3	0,2	0,1	0,05	M Ω
Schirmgittervorwiderstand	R_g2	0,8	0,5	0,3	0,2	M Ω
Katodenwiderstand	R_k	6000	4000	2500	2000	Ω
Anodenstrom	I_a	0,2	0,3	0,5	0,65	mA
Schirmgitterstrom	I_g2	0,07	0,1	0,17	0,22	mA
Spannungsverstärkung	V	110	90	60	40	

Siehe die Kennlinienfelder 8, 9, 10, 11, 12.

Socket
von unten gesehen



Kolbenabmessungen

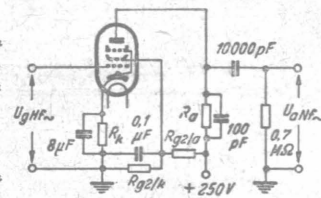


Gestrichelt: Ältere Ausführung
Ausgezogen: Neue Ausführung

Betriebswerte (Fortsetzung):**3. als Anodengleichrichter**

<i>Betriebsspannung</i>	U_b	250	250	Volt
<i>Außenwiderstand</i>	R_a	100	300	k Ω
<i>Anodenspannung</i>	U_a	(195)	(175)	Volt
<i>Anodenstrom</i>	I_a	0,4	0,25	mA
<i>Schirmgitterwiderstand</i>	$R_{g2/k}$	25	20	k Ω
<i>Schirmgitterwiderstand</i>	$R_{g2/a}$	80	80	k Ω
<i>Schirmgitterspannung</i>	U_{g2}	(55)	(48)	Volt
<i>Schirmgitterstrom</i>	I_{g2}	0,15	0,1	mA
<i>Katodenwiderstand</i>	R_k	4	6	k Ω
<i>Gittervorspannung</i>	U_{g1}	-2,1	-2,1	Volt
<i>Gleichrichterverstärkung</i>	V_{gl}	9	20	

Siehe Kennlinienfelder 13

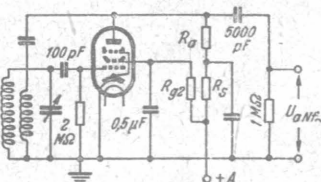


Bei Anodengleichrichtung nie gleitende Schirmgitterspannung, sondern feste Schirmgitterspannung!

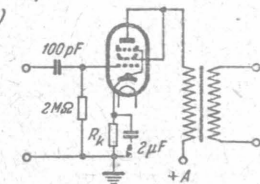
4. als Audion

<i>Betriebsspannung</i>	U_b	250	250	250	Volt
<i>Außenwiderstand</i>	R_a	200	200	200	k Ω
<i>Anodenstrom</i>	I_a	1,0	0,85	0,7	mA
<i>Schirmgittervorwiderstand</i>	R_{g2}	0,5	0,0	1,0	M Ω
<i>Schirmgitterstrom</i>	I_{g2}	0,45	0,3	0,25	mA
<i>Audionverstärkung</i>	V_{gl}	17	19	18,5	

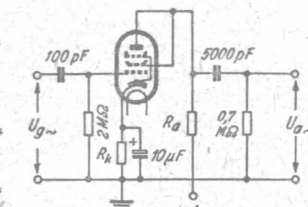
Siehe die Kennlinienfelder 14, 15.

**5. in Triodenschaltung (Schirmgitter mit Anode direkt verbunden)****a. als HF- oder ZF-Verstärker oder bei Transistorkopplung**

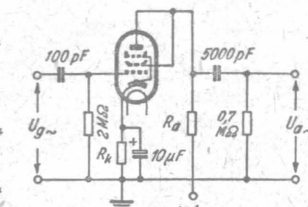
<i>Anodenspannung</i>	U_a	200	100	Volt
<i>Gittervorspannung</i>	U_{g1}	-5	-2	Volt
<i>Katodenwiderstand</i>	R_k	800	600	k Ω
<i>Anodenstrom</i>	$I_a + I_{g2}$	6	3,5	mA
<i>Steilheit</i>	S	3	2,5	mA/V
<i>Durchgriff</i>	D	4	4	%
<i>Innenwiderstand</i>	R_i	8,5	10	k Ω

**b. als NF-Verstärker mit RC-Kopplung**

<i>Betriebsspannung</i>	U_b	200	200	200	Volt
<i>Außenwiderstand</i>	R_a	200	100	50	k Ω
<i>Anodenstrom</i>	I_a	0,6	1,25	2,0	mA
<i>Katodenwiderstand</i>	R_k	5	2,5	1,5	k Ω
<i>Gittervorspannung</i>	U_{g1}	-3	-3	-3	Volt
<i>Spannungsverstärkung</i>	V	17,5	17,5	17,5	



<i>Betriebsspannung</i>	U_b	150	150	150	Volt
<i>Außenwiderstand</i>	R_a	200	100	50	k Ω
<i>Anodenstrom</i>	I_a	0,4	0,83	1,3	mA
<i>Katodenwiderstand</i>	R_k	6	3	2	k Ω
<i>Gittervorspannung</i>	U_{g1}	-2,5	-2,5	-2,5	Volt
<i>Spannungsverstärkung</i>	V	16,8	16,8	16,8	

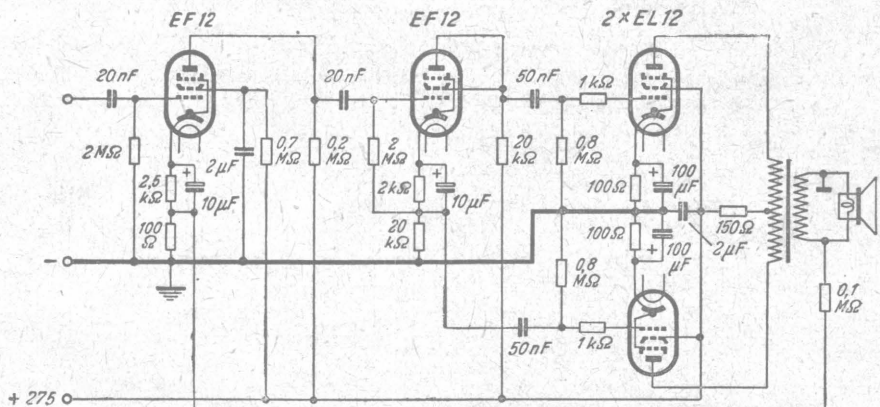


<i>Betriebsspannung</i>	U_b	100	100	100	Volt
<i>Außenwiderstand</i>	R_a	200	100	50	k Ω
<i>Anodenstrom</i>	I_a	0,26	0,44	0,75	mA
<i>Katodenwiderstand</i>	R_k	8	5	3	k Ω
<i>Gittervorspannung</i>	U_{g1}	-2	-2	-2,3	Volt
<i>Spannungsverstärkung</i>	V	16	16	16	

Siehe die Kennlinienfelder 16, 17, 18, 19 und die Schaltung als Kraftverstärker 35 Watt

Siehe auch die Schaltung auf Blatt 2

Phasenumkehrschaltung mit der EF12 (transformatorlose Gegenaktenschaltung)



Grenzwerte:

	als Pentode	als Triode
Anodenspannung	300	200
Anodenkaltspannung	550	550
Schirmgitterspannung	200	Volt
Schirmgitterkaltspannung	550	Volt
Anodenverlustleistung	1,5	1,5
Schirmgitterverlustleistung	0,4	Watt
Katodenstrom	10	mA
Gitterableitwiderstand	3	MΩ
Spannung Faden - Schicht	100	Volt
Außenwiderstand Faden - Schicht ¹⁾	20.	kΩ

Innere Röhrenkapazitäten:

	als Pentode	als Triode
Eingang	6,5	3,8
Ausgang	6,5	9,8
Gitter - Anode	<0,002	<2,8

Streuwerte:

Bei	U_f	6,3	Volt	betrugen	U_{g1}	1,4 ... 2,7	Volt
	U_g	210	Volt		S	1,7 ... 2,5	mA/V
	U_{g2}	100	Volt		$R_{i\min}$	1,3	MΩ
	I_a	3	mA				
Bei	I_g	= 0,3	μA	ist		U_{g1} nie negativer als -1,3 Volt	

¹⁾ Mit Rücksicht auf Brummen und andere Störgeräusche in MF- und HF-Verstärkern sollen nur solche Schaltmittel zwischen Faden und Schicht gelegt werden, die Gitterspannungen erzeugen. Für Gegenkopplungsschaltungen sind MF-Spannungen an Teilkondensatoren des Katodenwiderstandes zulässig.

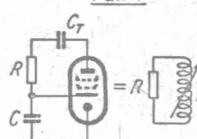
Die EF 12 als Impedanz (Strecke g-a)

 $U_{g2} \text{ fest (z.B. } R_{k/g2} = 15 \text{ k}\Omega, R_{a/g2} = 30 \text{ k}\Omega\text{);}$ $C_T = \text{Trennkondensatoren zur gleichstrom - mäßigen Trennung (}\mathcal{R}_C \gg \mathcal{R}_L \text{ bzw. } R\text{).}$

a) als veränderliche Induktivität

 $\Delta L = f(\Delta S)$. Wirkt als Serienschaltung von R u. L .

Fall 1



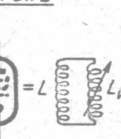
$$\mathcal{R}_i = \frac{1}{S} + j\omega \frac{CR}{S}$$

$$\mathcal{G}_a^+ = \frac{1}{R} + \frac{S}{j\omega CR}$$

$$L_V = \frac{CR}{S} \text{ (großes } L\text{)}$$

$$\text{Frequenzhub } \Delta f = \frac{\omega_0}{2} \cdot \frac{S_{max} \cdot L_0}{C \cdot R}$$

Fall 2



$$\frac{1}{S} + j\omega \frac{L}{RS}$$

$$\frac{1}{j\omega L} + \frac{RS}{j\omega L}$$

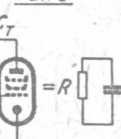
$$L_V = \frac{L}{RS} \text{ (kleines } L\text{)}$$

$$\omega_0 \cdot \frac{L_0}{2} (1 + S_{max} R)$$

b) als veränderliche Kapazität

 $\Delta C = f(\Delta S)$ Wirkt als Serienschaltung von R u. C .

Fall 3



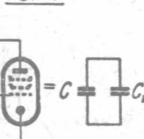
$$\frac{1}{S} + \frac{R}{j\omega LS}$$

$$\frac{1}{R} + \frac{j\omega LS}{R}$$

$$C_V = \frac{LS}{R} \text{ (kleines } C\text{)}$$

$$\omega_0^3 \cdot \frac{L_0 \cdot LS_{max}}{R}$$

Fall 4



$$\frac{1}{S} + \frac{1}{j\omega CRS}$$

$$j\omega C + j\omega CRS$$

$$C_V = CRS \text{ (großes } C\text{)}$$

$$-\frac{\omega_0^3}{2} \cdot L_0 C (1 + RS_{max})$$

Kleinster Verlustwinkel: Fall 4

Praktische Anwendungen:

Fall 3 für selbsttätige Scharfjustierung.

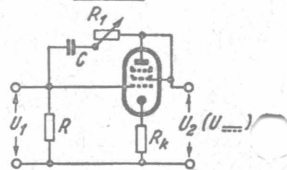
Die EF 12 dient als Nachstimmröhre; die EB 11 liefert die Nachstimmspannung (Schaltung siehe EB 11).

Durch $C \parallel L$ wird $\Delta f = -\frac{\omega_0^3}{2} \cdot \frac{L_0 \cdot S_{max}}{RC(\omega_0^2 - \omega_t^2)}$.

Fall 4 als Siebkondensator im Netzteil.

Besser-Schaltung 4a. R_1 so einstellen, daß $R_1 = \frac{1}{S}$. Dann ist $C_V = CRS$.Mit $S = 2 \text{ mA/V}$, $R = 1 \cdot 10^6 \Omega$, $C = 0,2 \mu F$ erhält man $C_V = CRS = 400 \mu F$!Nur für kleine Ströme, da I_{anode} nie $> I_{a}$ der Röhre, und $U_{max} = U_{anode max}$ der Röhre. Bei der EF 12 (Triode) also $I_{anode max} = 7,5 \text{ mA}$, $U_{max} = 200 \text{ Volt}$. Für größere Ströme und höhere Spannungen nehme man große Endtrioden.

Fall 4a

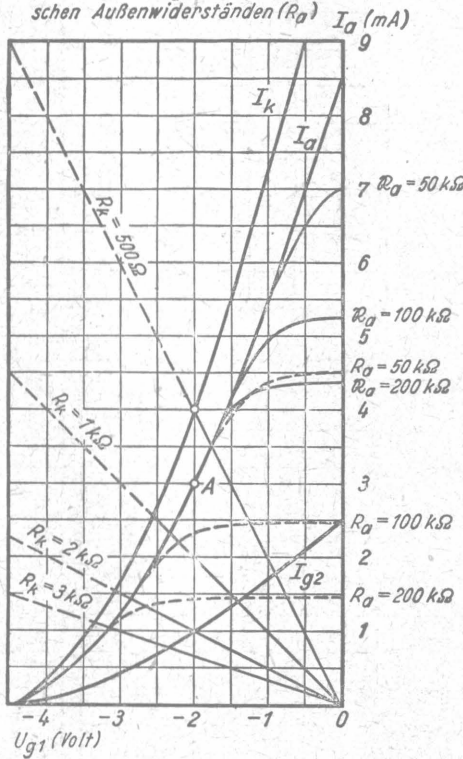
 $\dagger \mathcal{G}_a = \text{Leitwert von der Anode aus, für } \frac{1}{R_1} = 0 \text{ und } j\omega C_{a/k} = 0. \mathcal{G}_a = \frac{1}{R_1 + R_2} + \frac{S \cdot R_1}{R_1 + R_2} -$ Ist $R_1 \ll R_2$, dann ist $\mathcal{G}_a = \frac{1}{R_2} + \frac{S \cdot R_1}{R_2} - \mathcal{R}_g = R_{k/g}, \mathcal{R}_2 = R_{a/g}$. $\ddagger \Delta f = f(S_{max} \cdot S_0)$; ω_0 = ursprüngliche Kreisfrequenz (z.B. des Oszillators), L_0 = deren ursprüngliches L .Die angegebenen Anwendungen und Formeln gelten nicht nur für die EF 12, sondern für alle Pentoden. Im Fall 4 ist es besser, eine Triode zu nehmen, da $U_2 = U_1 - (R_1 \cdot I_a)$. Bei einer Pentode wäre infolge hohen R_1 der Spannungsabfall zu hoch.

Fritz Kunze

Kennlinienfeld 1

$$I_k, I_a, I_{g2} = f(U_{g1}), U_a = 100 \dots 250V$$

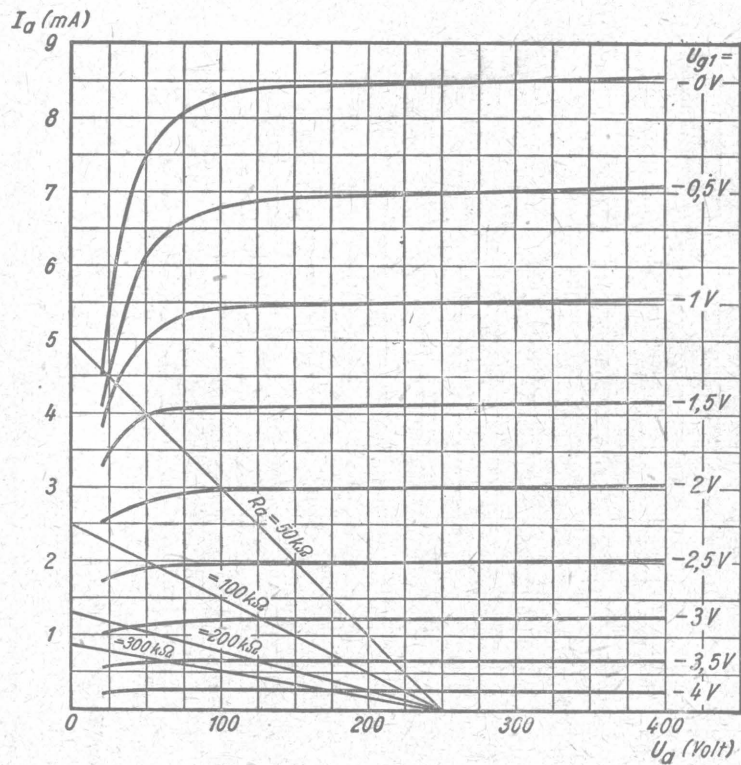
Arbeitskennlinien bei abgestimmten Kreisen (\mathcal{R}_a) und bei ohmschen Außenwiderständen (R_a)

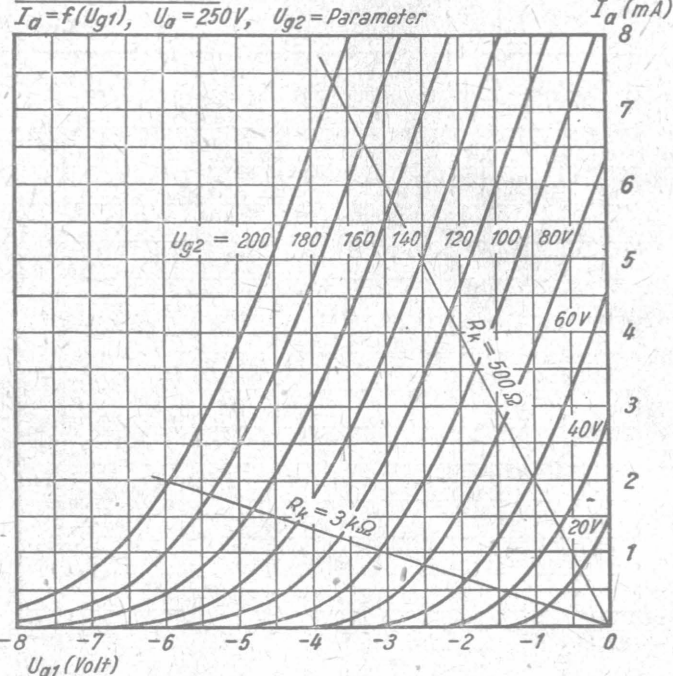
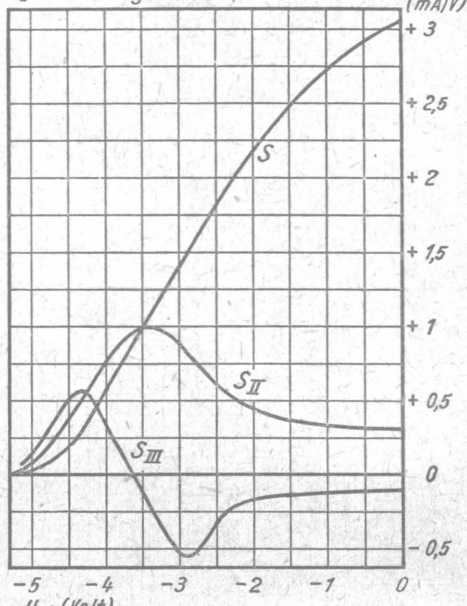
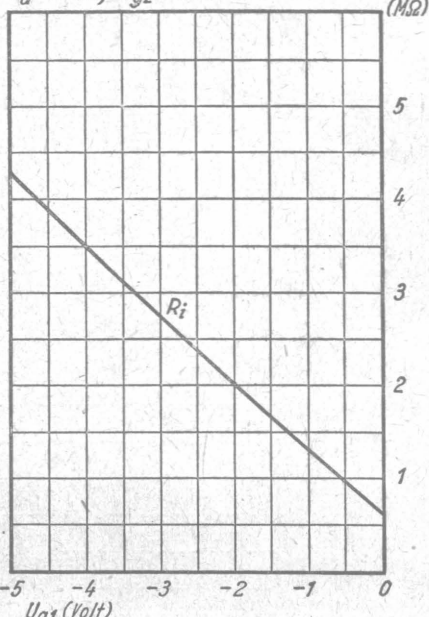


Kennlinienfeld 2

$$I_a = f(U_a)$$

$$U_{g1} = 100V$$

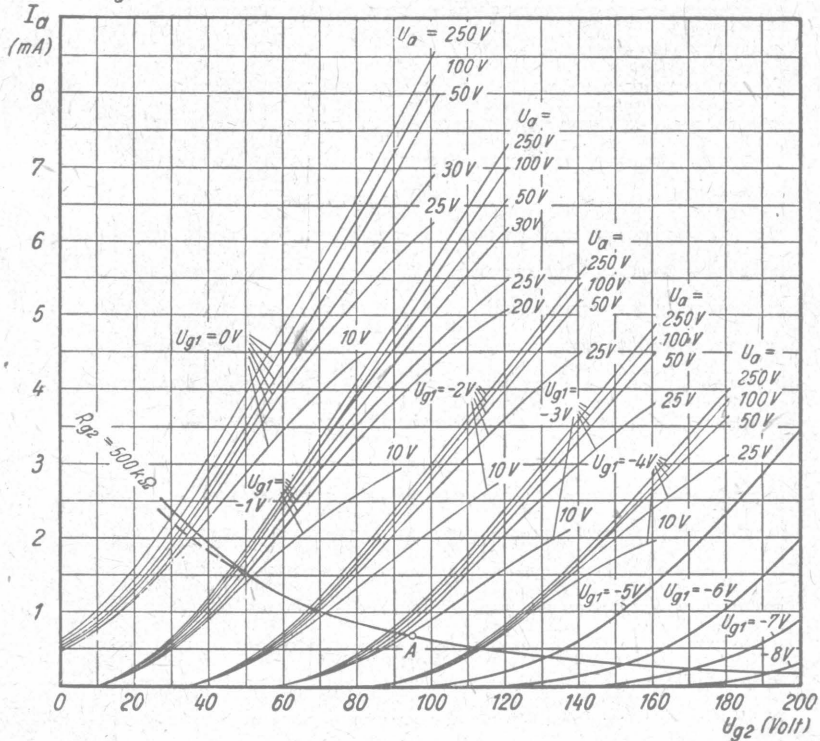


Kennlinienfeld 3 $I_a = f(U_{g1})$, $U_a = 250V$, U_{g2} = ParameterKennlinienfeld 4 $S, S_{II}, S_{III} = f(U_{g1})$ (als Pentode)
 $U_a = 250V$, $U_{g2} = 100V$ Kennlinienfeld 5 $R_i = f(U_{g1})$
 $U_a = 250V$, $U_{g2} = 100V$ 

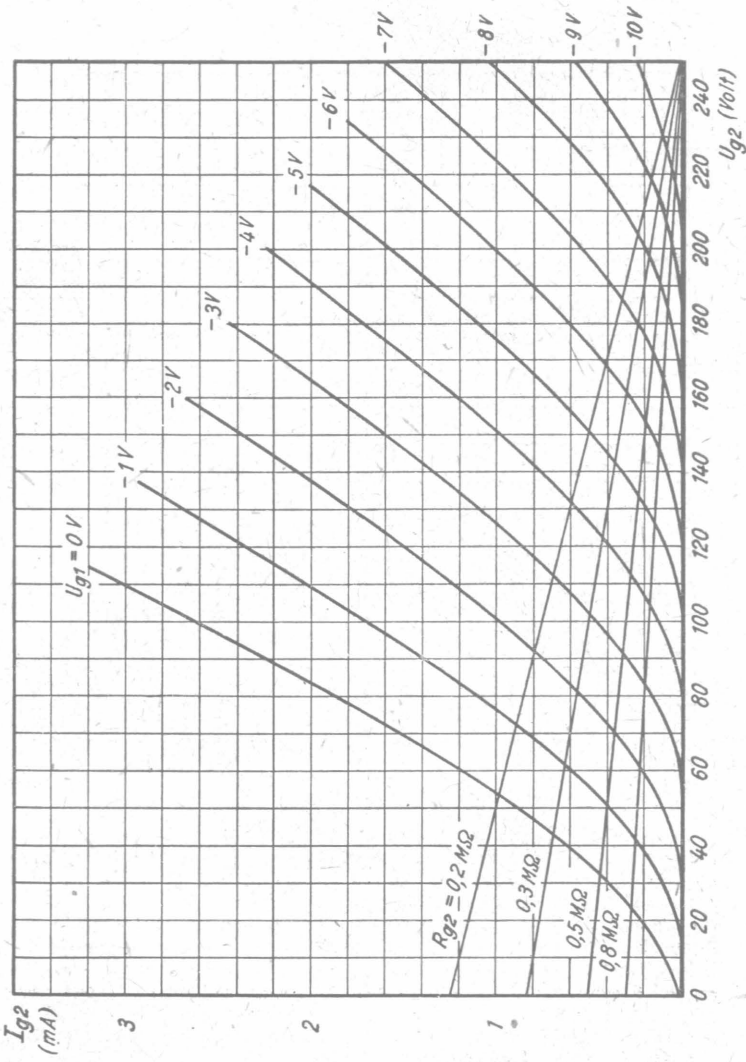
Die Ströme bei kleineren SchirmgitterspannungenKennlinienfeld 6

$$I_a = f(U_{g2})$$

$$U_a = 100 \dots 250 V$$

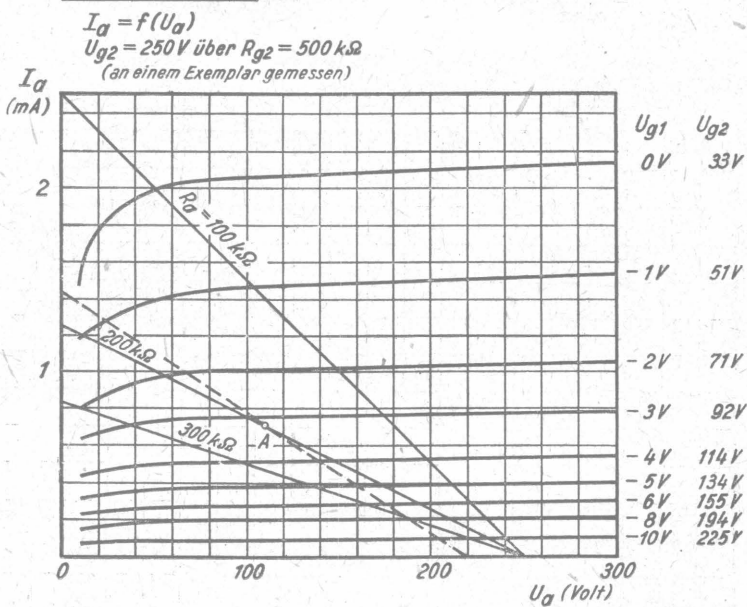


Aus dem I_{g2} - U_{g2} - und dem I_a - U_{g2} -Kennlinienfeld (6 und 7) kann man den Arbeitspunkt bei kleineren oder größeren Schirmgitterspannungen als 100 V entnehmen, da der Anodenstrom sich zwischen $U_a = 100 \text{ V}$ bis 250 V nur unwesentlich ändert. Bei gleitender Schirmgitterspannung trage man in das I_{g2} - U_{g2} -Kennlinienfeld die Schirmgitterwiderstandsgerade ein und übertrage dann die sich hierbei ergebenden U_{g1} - U_{g2} -Kreuzungspunkte in das I_a - U_{g2} -Kennlinienfeld. Nur in der Nähe von $U_{g1} = 0 \text{ Volt}$ liegt der wirkliche Anodenstrom etwas tiefer, da hier $U_a < 100 \text{ V}$. Der Strom wird in diesem Gebiet vom Schirmgitter übernommen. Höher als $U_a : R_a$ kann I_a niemals werden. Als Beispiel wurde in den Kennlinienfeldern die Widerstandsgerade für einen Schirmgittervorwiderstand $R_{g2} = 500 \text{ k}\Omega$ eingetragen.

Kennlinienfeld 7

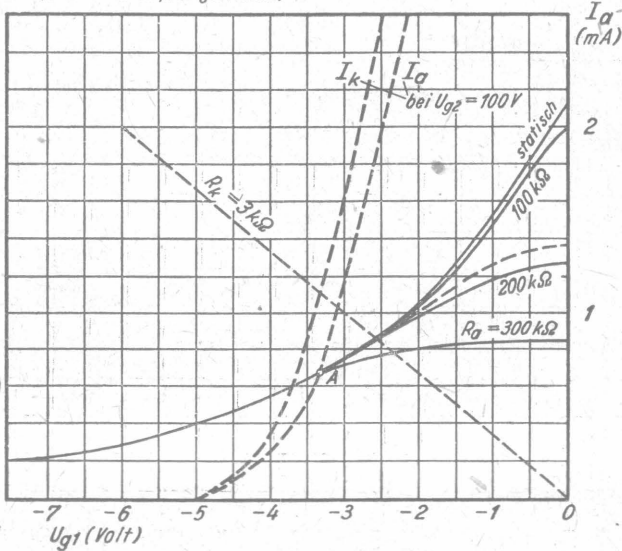
Schirmgitterspannung über Vorwiderstand

Kennlinienfeld 8



Kennlinienfeld 9

$I_a = f(U_{g1})$
 $U_a = 100 \dots 250V$
 $U_{g2} = 250V$ über $R_{g2} = 500k\Omega$
 (an einem Exemplar gemessen)

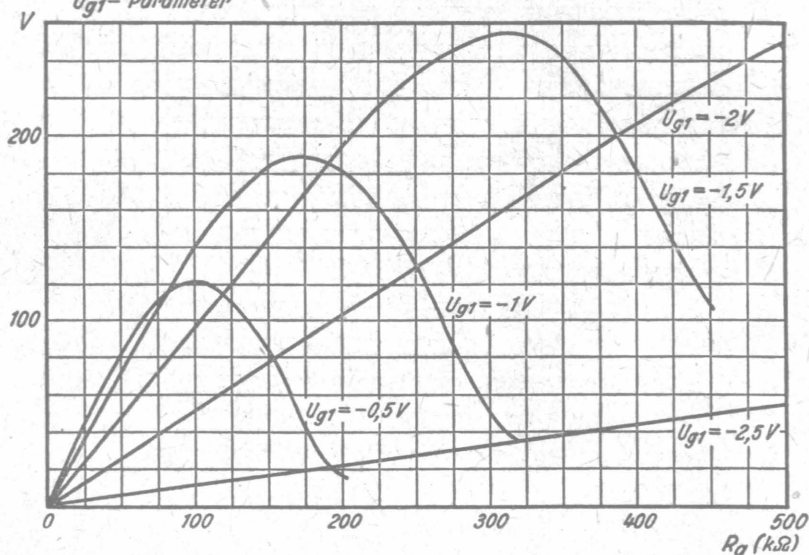


Die EF12 bei Nf-Verstärkung (RC-Kopplung)Kennlinienfeld 10

$$V = f(R_a)$$

$$U_b = 250 \text{ V}$$

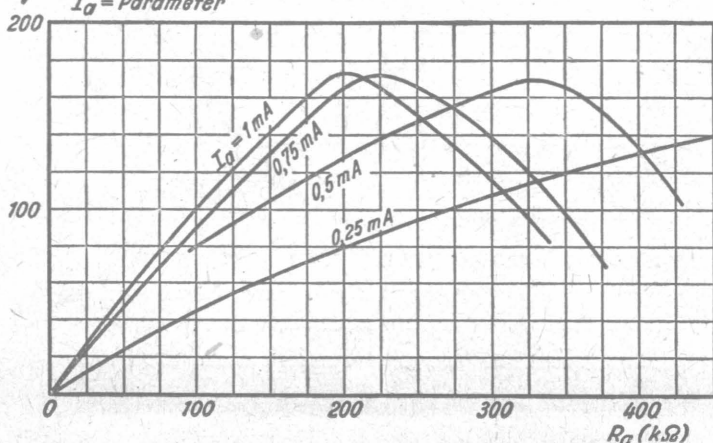
U_{g1} = Parameter

Kennlinienfeld 11

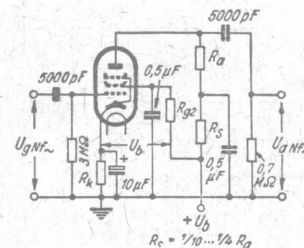
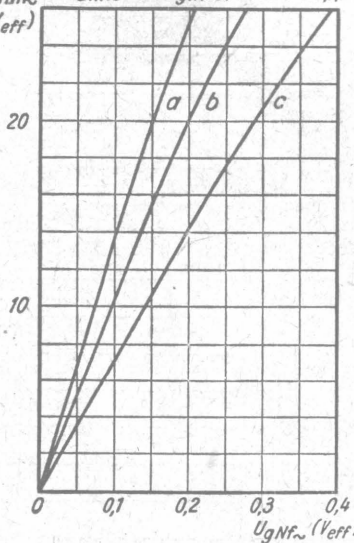
$$V = f(R_a)$$

$$U_b = 250 \text{ V}$$

I_a = Parameter



Kennlinienfeld 12
 $U_{aNF\sim} = f(U_{gNF\sim})$ bei RC-Kopplung, $U_b = 250 V$

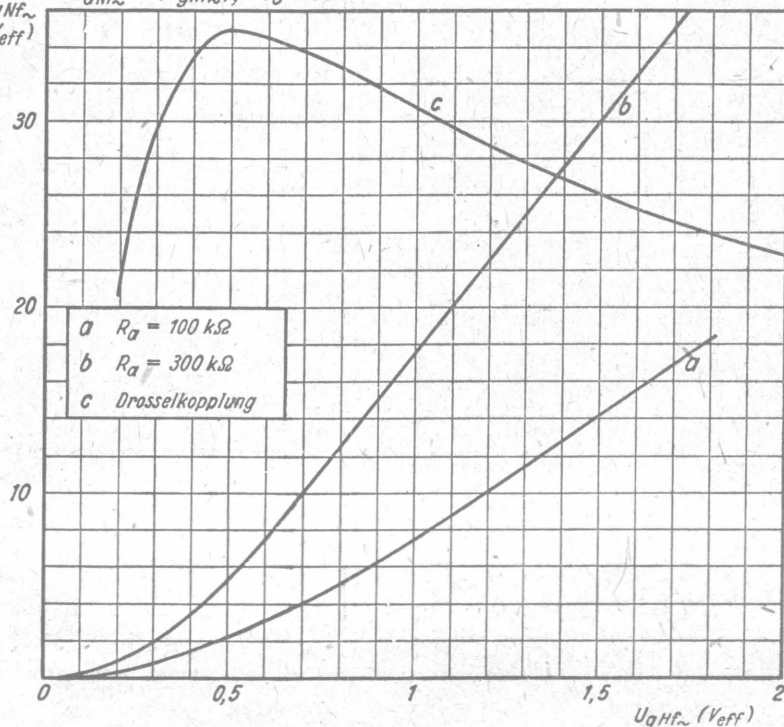


	a	b	c
R_a	0,2	0,1	0,05 M Ω
R_{g2}	0,5	0,3	0,2 M Ω
R_k	3,0	1,6	1,0 M Ω
V	135	100	70

Die EF12 bei Anodengleichrichtung

Kennlinienfeld 13

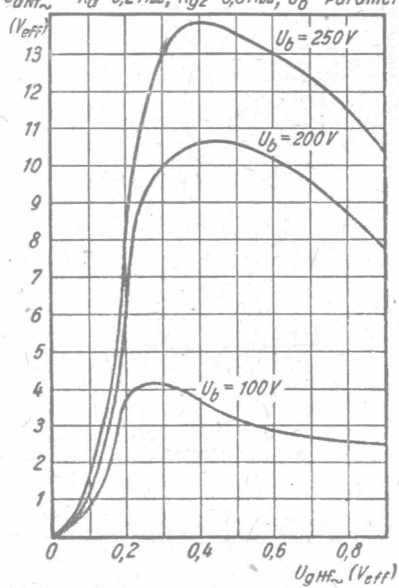
$U_{aNF\sim} = f(U_{gHF\sim})$, $U_b = 250 V$



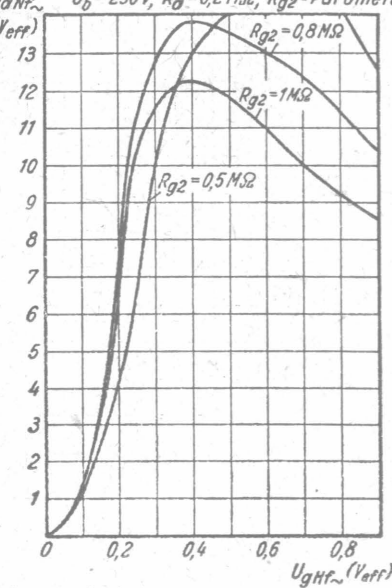
- | | |
|---|---------------------|
| a | $R_a = 100 k\Omega$ |
| b | $R_a = 300 k\Omega$ |
| c | Drosselkopplung |

Kennlinienfeld 14

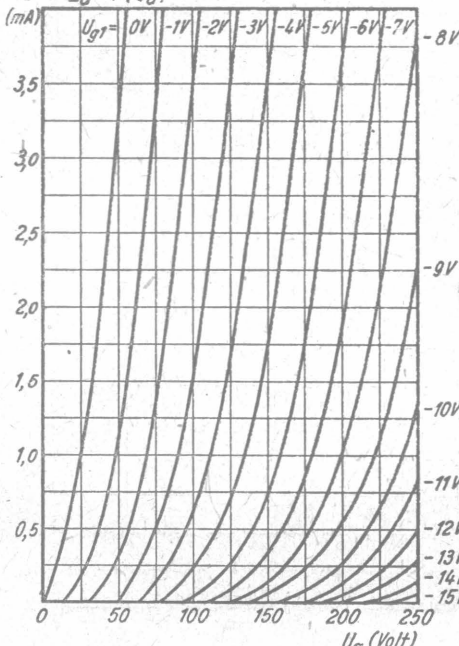
$U_{oNf\sim} = f(U_{gHf\sim})$
 $R_o = 0,2 M\Omega$, $R_{g2} = 0,8 M\Omega$, U_b = Parameter

Kennlinienfeld 15

$U_{oNf\sim} = f(U_{gHf\sim})$
 $U_b = 250V$, $R_o = 0,2 M\Omega$, R_{g2} = Parameter

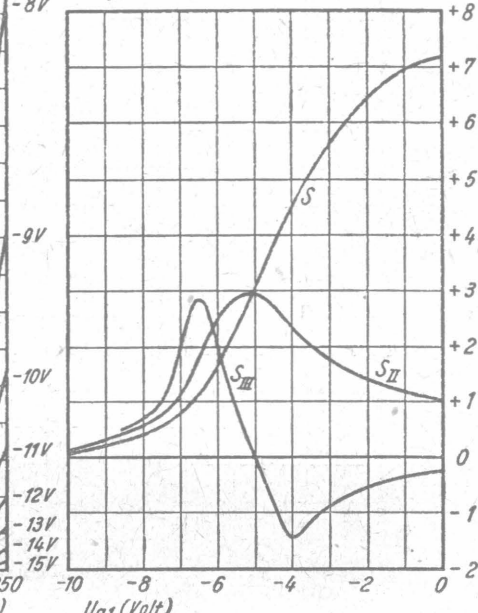
Die EF12 als Triode geschaltetKennlinienfeld 16

I_a $I_a = f(U_a)$

Kennlinienfeld 17

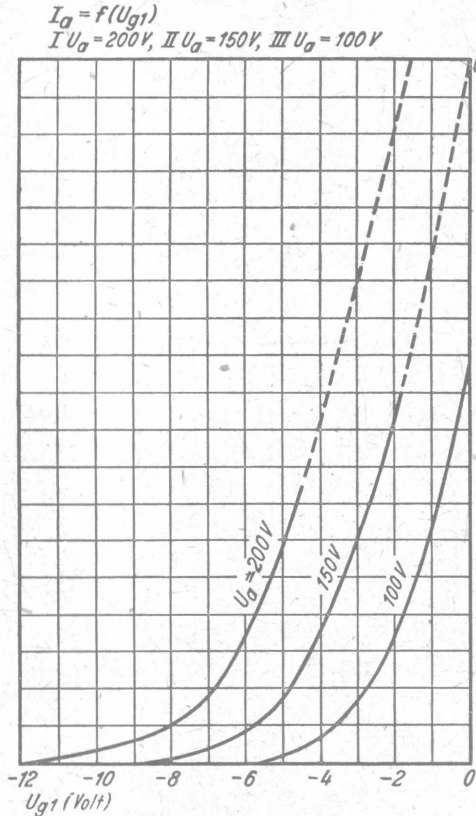
$S, S_{II}, S_{III} = f(U_{g1})$ (als Triode)
 $U_a = 250V$

S, S_{II}, S_{III}
 (mA/V)

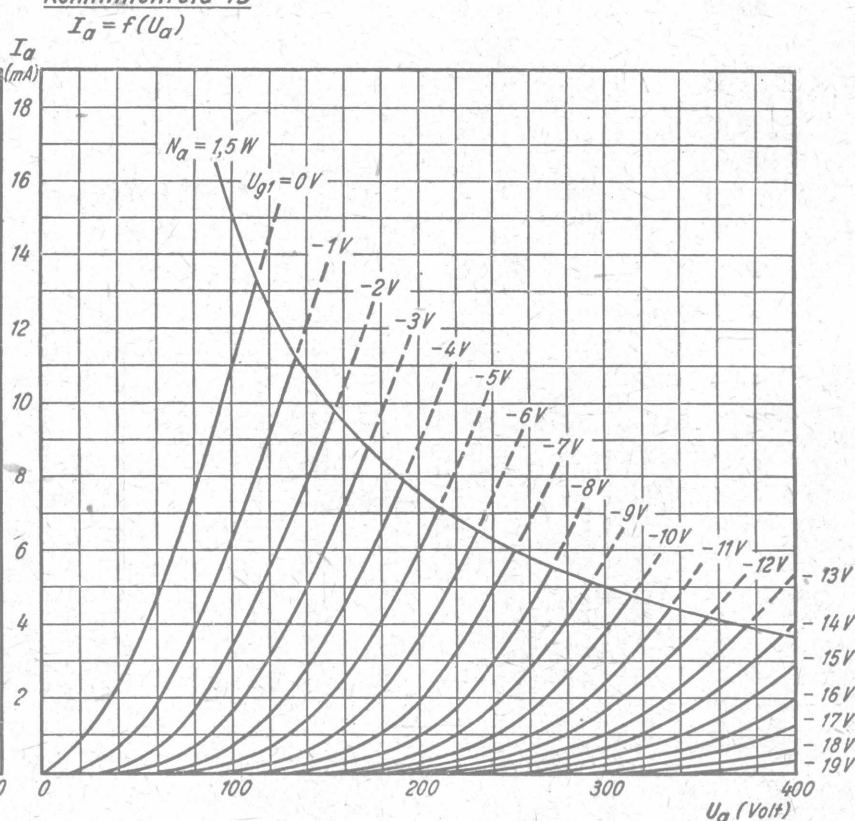


Die EF12 als Triode geschaltet (Gitter mit Anode verbunden)

Kennlinienfeld 18



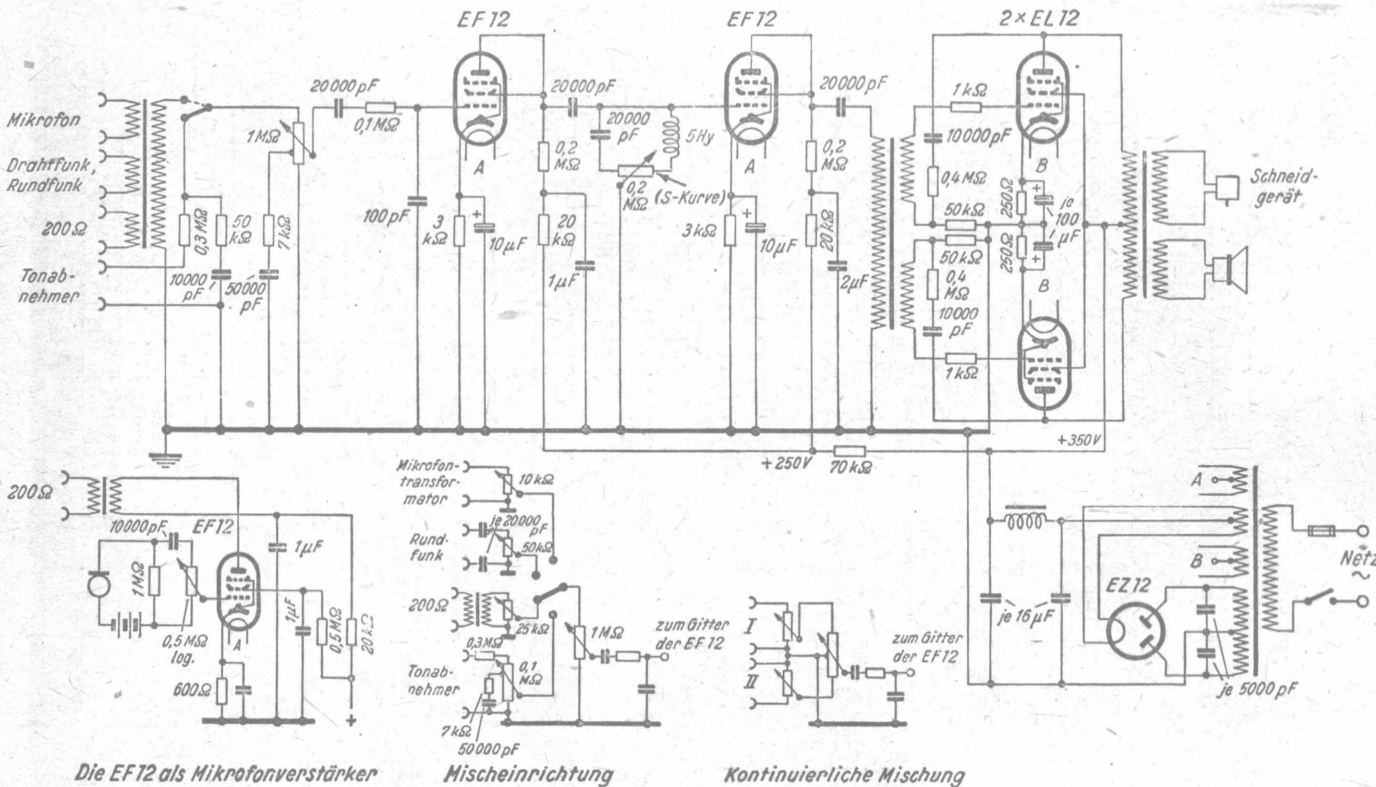
Kennlinienfeld 19



Kraftverstärker 35 Watt

mit EF12 in Triodenschaltung als Vorröhren

Funkschau - Vertrieb Wilhelm Wolf, Potsdam, Tzianstraße 8. Nachdruck verboten!





Allgemeines:

Abstimmröhre mit zwei Anzeigebereichen in Glaskolben mit Stahlröhrensockel. Enthält außer dem vierwinkligen Anzeigesystem noch zwei Triodensysteme mit gemeinsamem Steuergitter, die zur Verstärkung der Steuerspannung dienen, zur gesonderten NF-Verstärkung aber nicht verwendbar sind. Die Anoden-Haltestege, die bei den beiden Systemen um 90° versetzt sind, ragen in das Anzeigesystem hinein und steuern die Anzeige. Das untere Triodensystem hat einen kleinen Durchgriff und infolgedessen einen großen Verstärkungsfaktor, und dient zur Anzeige schwacher Sender (Anzeigebereich I). Das obere Triodensystem hat einen größeren Durchgriff und einen kleineren Verstärkungsfaktor, und dient zur Anzeige stärkerer Sender und des Ortsenders (Anzeigebereich II). Das Leuchtsystem enthält ein Anzeigegitter, das im Innern der Röhre an Käthe liegt. Hierdurch wird ein zu starkes Ansteigen des Leuchtschirmstromes und damit ein zu schneller Verschleiß der Leuchtschirmspalte verhütet. Eine Steuerung des Anzeigesystems durch das Anzeigegitter ist bei der EM 11 also nicht möglich. Die Steuerspannung nimmt man am besten von der (unverzögerten) Empfangsgleichrichterdiode ab, damit auch schwache Sender gut angezeigt werden. Die Anodenspannung kann man über hohe Außenwiderstände ($R_{aI} = 1 \dots 3 M\Omega$, $R_{aII} = 0,5 \dots 2 M\Omega$) direkt an die Betriebsspannung anschließen (siehe Betriebsfall a) und Schaltung des 7Kreis - 4 Röhren - Super bei der ECL 11). Man kann aber auch aII über einen Außenwiderstand an die Betriebsspannung und aII über einen Vorwiderstand an die gleitende Schirmgitterspannung der HF-Röhren (ECH 11 + EBF 11) anschließen (siehe Betriebsfall b) und Schaltung des Spitzensuper bei der EF 11). Da diese Röhren verzögert geregt werden, und somit die Schirmgitterspannung erst nach Überschreiten der Verzögerungsspannung beginnt hochzugehen, tritt auch in der Anzeige des Bereiches II eine Verzögerung ein, und man erreicht, daß bei schwachen Sendern nur die Leuchtsektoren des Bereiches I schließen, und die Leuchtsektoren des Bereiches II bei schwachen Sendern unbeeinflußt bleiben.

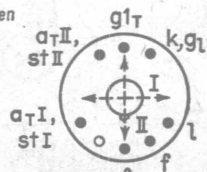
Die Kathode der EM 11 verbindet man zweckmäßig direkt mit der Kathode der EBF 11 bzw. der Diode (siehe Schaltung des Spitzensuper bei der EF 11). Sind die Anfangs-Schattenwinkel verhältnismäßig klein, so kann man ein Breitwerden derselben dadurch erreichen, daß man die Kathode der EM 11 direkt an Erde bzw. Masse legt (siehe Schaltung des 7Kreis - 4 Röhren - Super bei der ECL 11). Dadurch liegt die Verzögerungsspannung der Diode mit der Anlaufspannung der EM 11 in Reihe - aber mit entgegengesetztem Potential - und bewirkt eine wesentliche Herabsetzung der negativen Vorspannung und damit eine Vergrößerung der Anfangs-Schattenwinkel. Verwendet man auch bei der EM 11 einen Kathodenwiderstand, so erzielt man ein rascheres Schließen der Leuchtwellen.

Um eine scharfe, nicht flackernde Anzeige zu erhalten, muß die EM 11 durch eine Gleichspannung gesteuert werden. Die starken Pulsationen der Regelspannung müssen deshalb durch ein Siebglied mit richtig bemessener Zeitkonstante geglättet werden. Bei flackernder Anzeige ist die Zeitkonstante zu klein, bei ziehender, gummiartiger Anzeige zu groß.

Verbindet man beide Anoden der Triodensysteme miteinander und legt sie dann über einen gemeinsamen Vorwiderstand ($R_{aI+aII} = 1 \dots 3 M\Omega$), an die Betriebsspannung, so erhält man eine Einbereichsanzeige. Die beiden Triodensysteme sind damit parallel geschaltet und wirken wie ein System mit veränderlichem Durchgriff (siehe Kennlinienfeld 3).

Die EM 11 kann nicht nur als Anzeigeröhre in Rundfunkgeräten verwendet werden, sondern dient auch in steigendem Maße zur Anzeige in Brückenschaltungen.

Sockel von unten gesehen

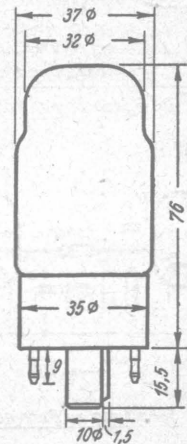


Lage der Schattenwinkel:

I. Mitte des Schattenwinkels β_I für den Bereich I

II. Mitte des Schattenwinkels β_{II} für den Bereich II

Kolbenabmessungen



E M 11 tungen und sonstigen Meßschaltungen an Stelle von Meßinstrumenten. Man kann sie sogar als Spannungsmesser verwenden.

Will man, daß die Schattenwinkel des Bereiches I zur Anzeige schwacher Sender waagerecht liegen, so ordnet man den Sockel so an, daß der Führungsstützen nach unten zeigt.

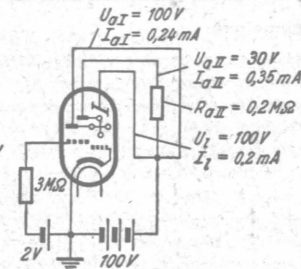
Heizung:

Heizspannung	U_f	6,3	Volt ~	\approx
Heizstrom	I_f	200	mA	ind

Meßwerte im Arbeitsbereich (Zirka-Werte):

Triodensystem I		Triodensystem II	
Anodenspannung	U_a	100	U_b
Anodenvorwiderstand	R_{aII}	-	0,2
Gittervorspannung	U_gI	-2	-2
Anodenstrom	I_a	0,24	0,35
Steilheit (statisch)	S	0,8	0,55
Durchgriff	D	2	10
Innenwiderstand	R_i	63	18
Leuchtschirmspannung	U_l	100	100
Leuchtschirmstrom	I_l	0,2	0,2

Siehe Kennlinienfelder 1, 2 und 4



Betriebswerte:

a. R_{aII} an U_b angeschlossen

System	U_b ¹⁾		200		100		Volt	
	I	II	I	II	I	II	I	II
Anodenvorwiderstand (Außenwiderstand)	R_a	2	1	2	1	2	1	$M\Omega$
Gittervorspannung	U_gI	0 -4	0 -20	0 -3	0 -20	0 -2	0 -10	Volt
Anodenstrom	I_a	0,12 0,07	0,25 0,08	0,1 0,06	0,2 0,06	0,05 0,03	0,1 0,03	mA
Schattenwinkel	β	75° 15°	83° 5°	75° 18°	82° 3°	75° 15°	80° 3°	
[Schattenwinkel $\beta = 180^\circ -$ Leuchtwinkel α]								

b. R_{aII} an die gleitende Schirmgitterspannung von ECH 11 + EBF 11 ($R_{g2+4} = 30k\Omega$) angeschlossen.

Betriebsspannung	U_b ¹⁾			250			250			250			Volt		
	I	II	III	I	II	III	I	II	III	I	II	III	I	II	III
Leuchtschirmspannung	U_l	250	250	250	250	250	250	250	250	250	250	250	Volt	Volt	Volt
Anodenvorwiderstand	R_{aII}	0,5	0,5	0,5	0,5	0,5	0,5	0,5	0,5	0,5	0,5	0,5	$M\Omega$	$M\Omega$	$M\Omega$
Verzögerungsspannung	U_v	0	-2	0	-2	-4	0	-4	-20	0	-4	-20	Volt	Volt	Volt
Gittervorspannung	U_gI	0 -4 -20	0 -4 -20	0 -4 -20	0 -4 -20	0 -4 -20	0 -4 -20	0 -4 -20	0 -4 -20	0 -4 -20	0 -4 -20	0 -4 -20	Volt	Volt	Volt
(Anodenspannung)	U_a	18 48 171	18 47 170	18 42 169	18 42 169	18 42 169	12 37 158	12 37 158	12 37 158	12 37 158	12 37 158	12 37 158	Volt	Volt	Volt
Anodenstrom	I_a	0,17 0,185 0,11	0,17 0,17 0,11	0,17 0,11 0,10	0,17 0,11 0,10	0,17 0,11 0,10	0,09 0,06 0,06	0,09 0,06 0,06	0,09 0,06 0,06	0,09 0,06 0,06	0,09 0,06 0,06	0,09 0,06 0,06	mA	mA	mA
Schattenwinkel	β	80° 60° 6°	80° 61° 6,5°	80° 65° 7°	80° 65° 7°	80° 68° 9°	83° 68° 9°	83° 68° 9°	83° 68° 9°	83° 68° 9°	83° 68° 9°	83° 68° 9°			

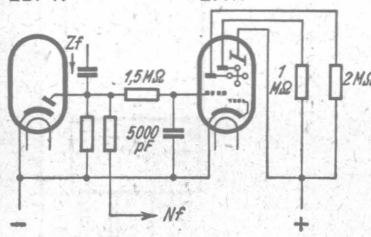
Die Werte für den Bereich I sind die gleichen wie im Betriebsfall a.

Durch den Mitzieheffekt ist der Schattenwinkel bei $U_gI = 0$ Volt in der Praxis etwa 10% kleiner als angegeben.

Siehe Kennlinienfelder 1, 2, 4 und 5.

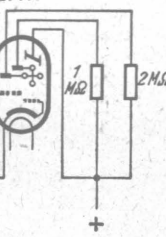
¹⁾ U_b = Spannung an Röhre + Spannungsabfall am Anodenvorwiderstand.

EBF 11

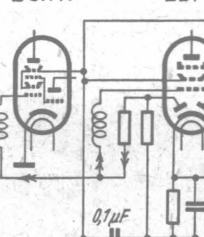


Schaltung zu Betriebsfall a.

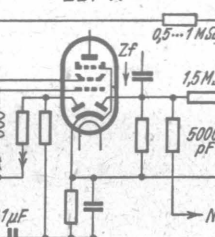
EM 11



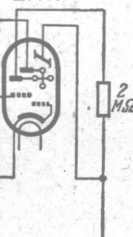
ECH 11



EBF 11



EM 11



Schaltung zu Betriebsfall b.

Betriebswerte (Fortsetzung):

c. Einbereichsanzeige (Zirka-Werte)

Betriebsspannung	$U_b^{(1)}$	250	200	100	Volt
Leuchtschirmspannung	U_L	250	200	100	Volt
Anodenwiderstand	R_A	2	2	2	MΩ
Gittervorspannung	U_{g1}	-1 -20	-1 -20	-1 -10	Volt
(Anodenspannung)	U_A	20 142	17 138	12 80	Volt
Anodenstrom	I_A	0,12 0,055	0,09 0,04	0,044 0,012	mA
Schattenwinkel	β_0	86° 10°	84° 5°	77° 5°	

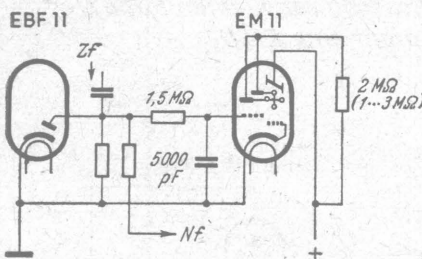
Siehe Kennlinienfelder 3 und 6

d. als Spannungsmesser (Gleichspannungsvoltmeter)

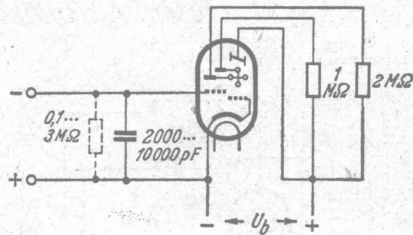
Betriebsspannung	$U_b^{(1)}$	250	200	100	Volt			
Leuchtschirmspannung	U_L	250	200	100	Volt			
Anodenwiderstand	R_{A1}	2	2	2	MΩ			
	R_{A2}	1	1	1	MΩ			
Meßbereich (ausnutzbarer Steuerbereich)	$U_{g1} = 0 \dots -3,5 \quad -2,5 \dots -20$	0 ... -3	-2 ... -18	0 ... -2	-1 ... -10	Volt		
Empfindlichkeit (erforderliche Steuerspannung U_{g1} pro Grad Winkeländerung)		60	200	35	125	25	80	mV

1) $U_b = \text{Spannung an Röhre} + \text{Spannungsabfall am Anodenwiderstand}$

EBF 11

Schaltung zu Betriebsfall c.

EM11

Schaltung zu Betriebsfall d.

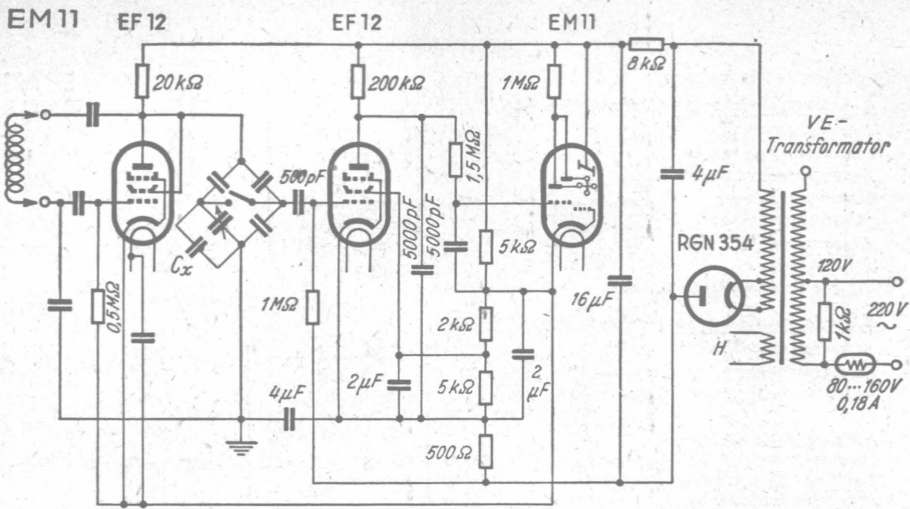
Grenzwerte:

	Triodensystem I	Triodensystem II		
Anodenspannung	$U_A \max$	300	300	Volt
Anodenkaltspannung	$U_{AL} \max$	550	550	Volt
Anodenbelastung	$R_A \max$	0,5	0,5	Watt
Leuchtschirmspannung	$U_L \min u. \max$	90 ... 250	90 ... 250	Volt
Leuchtschirmkaltspannung	$U_{IL} \max$	550	550	Volt
Katodenstrom	$I_k \max$	5	5	mA
Gitterableitwiderstand	$R_{g1} \max$	3	3	MΩ
Spannung zwischen Faden und Schicht (Kathode)	$U_{f/k} \max$	100	100	Volt
Gitterstrom - Einsatzpunkt: bei $I_{g1} = 0,3 \mu\text{A}$	bei $U_{g1} = -1,3 \text{ Volt}$			

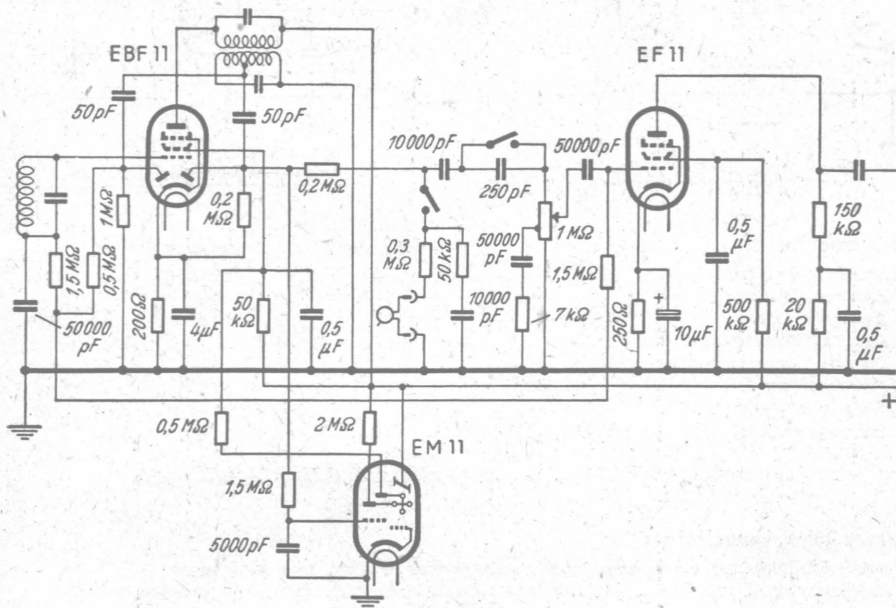
Innere Röhrenkapazitäten:

Da die EM11 nicht zur Verstärkung, sondern nur zur Anzeige dient, sind die inneren Röhrenkapazitäten uninteressant und werden von den Röhrenfabriken nicht angegeben.

Fritz Künzer

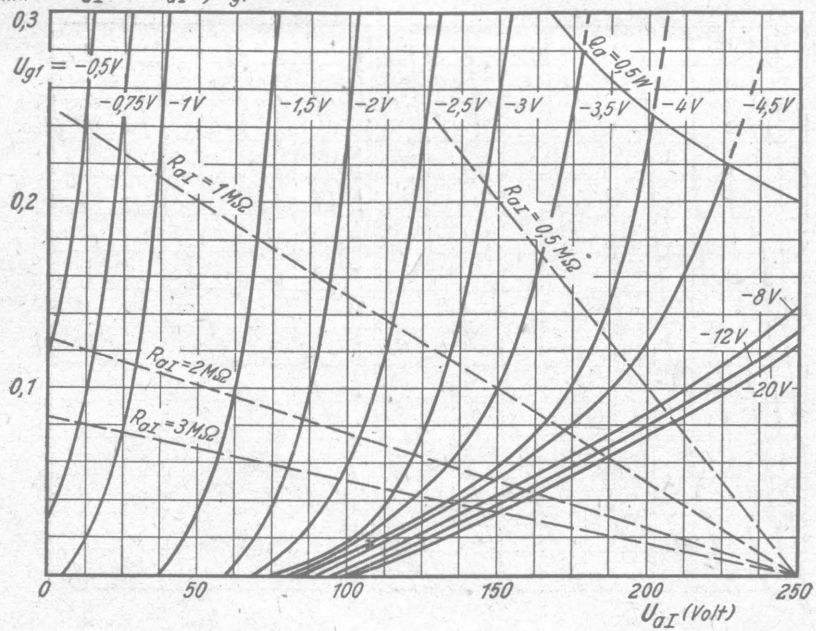


Zweistufiges Röhrenvoltmeter mit Gleichstromrückkopplung und Doppelspannungsteiler zur Messung von kleinen Kapazitäten. Als Indikator dient eine EM 11.

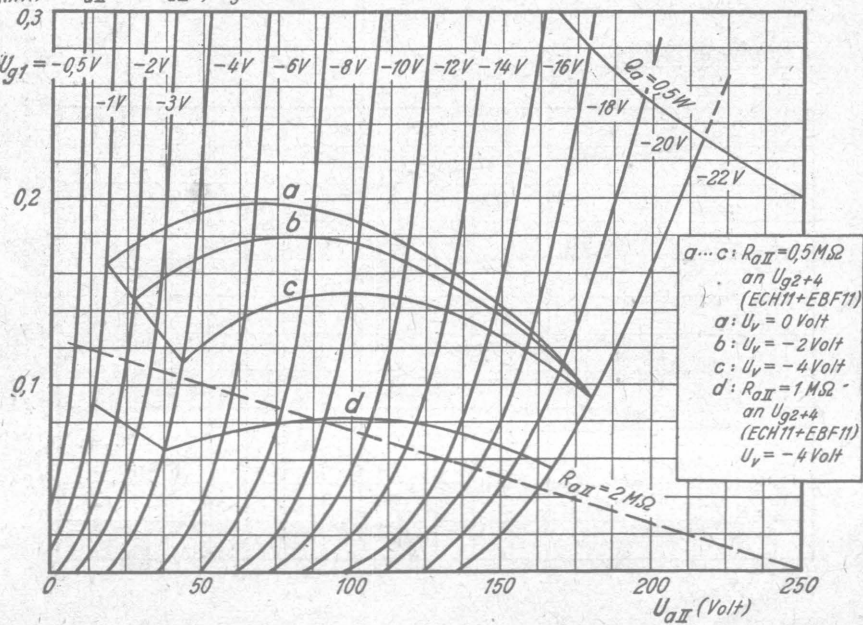


Schaltung EBF11 - EM11 - EF11

Anodenströme
 I_{aI} Kennlinienfeld 1
 $I_{aI} = f(U_{aI})$, U_{gI} = Parameter



Kennlinienfeld 2
 I_{aII} Kennlinienfeld 2
 $I_{aII} = f(U_{aII})$, U_{gI} = Parameter

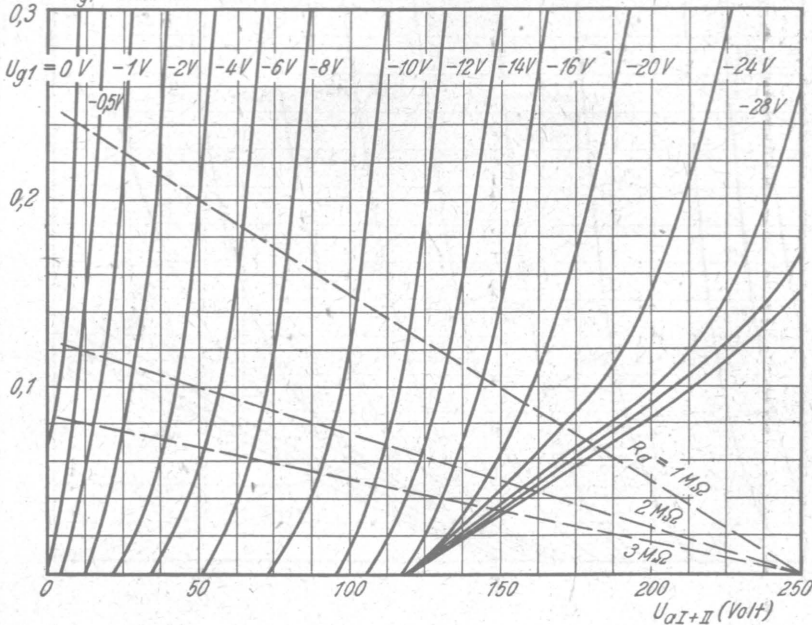


EM11 Kennlinienfeld 3

Einbereichsanzeige. Beide Anoden verbunden

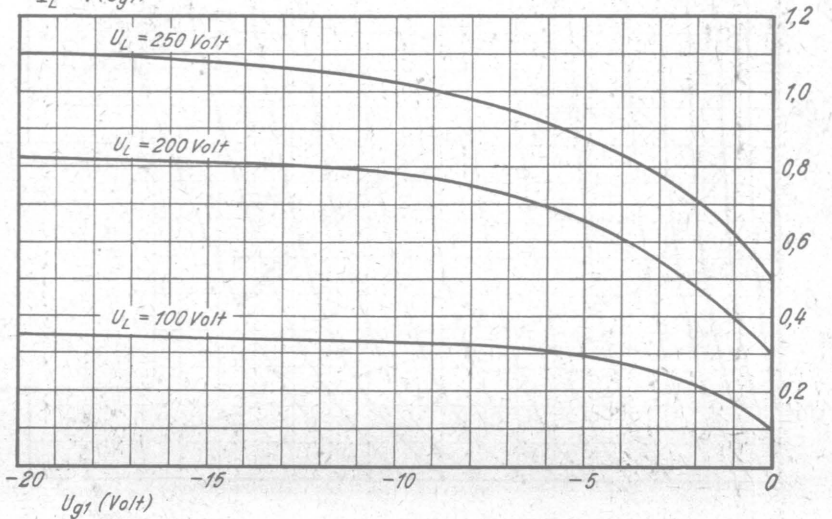
$$I_{aI+II} \quad I_{aI+II} = f(U_{aI+II})$$

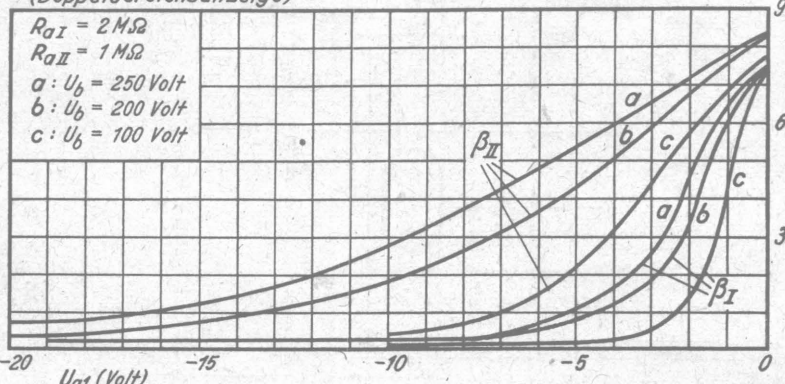
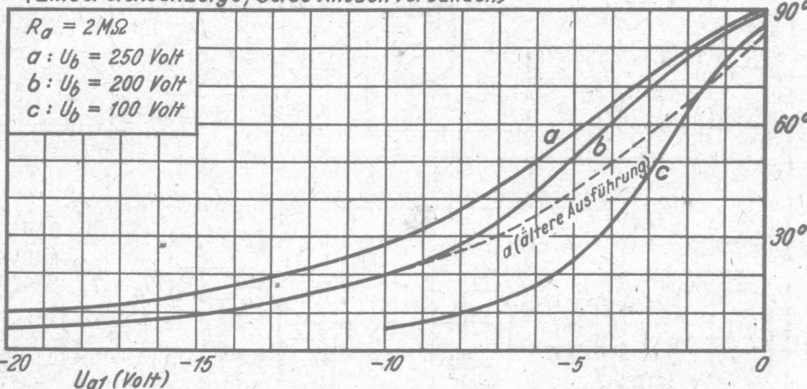
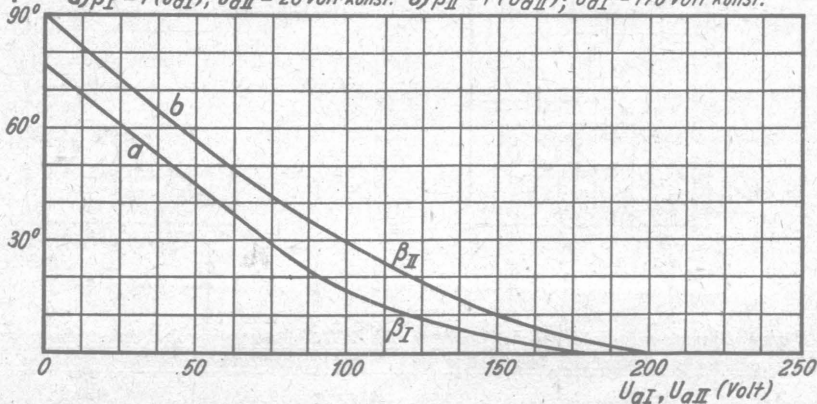
(mA) U_{g1} = Parameter



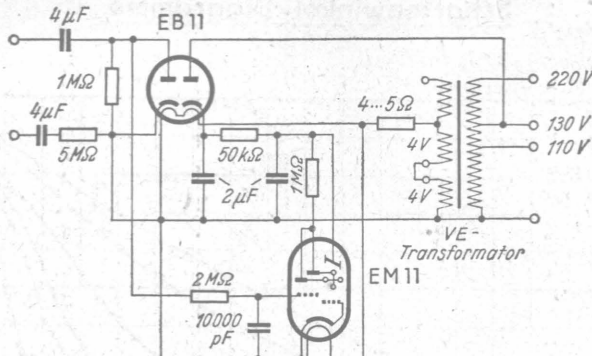
Kennlinienfeld 4

$$I_L = f(U_{g1})$$

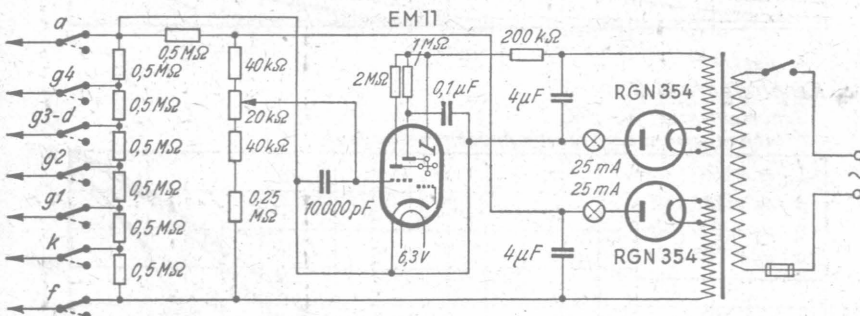


β_I, β_{II}
90°Schattenwinkel-DiagrammeKennlinienfeld 5Schattenwinkel β_I und $\beta_{II} = f(U_{g1})$
(Doppelbereichsanzeige)Kennlinienfeld 6Schattenwinkel $\beta_0 = f(U_{g1})$
(Einbereichsanzeige; beide Anoden verbunden)Kennlinienfeld 7Schattenwinkel $\beta = f(U_g)$; $U_b = 250$ Volt
a) $\beta_I = f(U_{gI})$; $U_{gII} = 20$ Volt konst. b) $\beta_{II} = f(U_{gII})$; $U_{gI} = 170$ Volt konst.

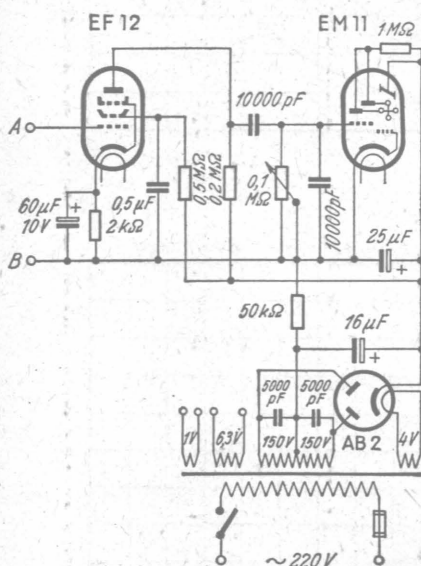
EM11



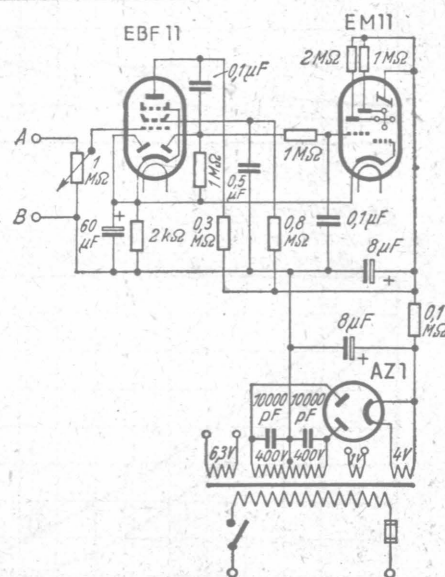
Übersteuerungs - Kontrollgerät mit der EM11



Isolations - Prüfgerät mit der EM11



Die EM11 als Nullanzeiger in Brückenschaltungen mit Vorverstärkung, einfache Ausführung



Die EM11 als Nullanzeiger in Brückenschaltungen mit Vorverstärkung und Gleichrichtung



Röhren-Dokumente
Indirekt geheizte Zweiweg-Hochvakuum-Gleichrichterröhre für Autoempfänger
FUNKWERK - Sammlung, Gruppe Röhrentechnik

1 Blatt

EZ 11

EZ 1

EZ 1 Cu-Bi

FZ 1

Allgemeines:

Röhre in Stahlkolben, Abschirmkolben an besonderen Sockelkontakt geführt. Speziell für Gleichrichtung im Autoempfänger.

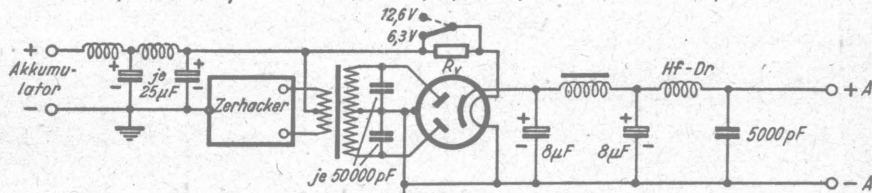
Vorläufer: EZ 1 ($U_f = 6,3 V$)

FZ 1 ($U_f = 13 V$)

Heizung:

Gemeinsame (indirekt geheizte) Kathode für beide Gleichrichtersysteme,

		EZ 11	EZ 1	EZ 1 Cu-Bi	FZ 1	
Heizspannung	U_f	6,3	6,3	6,3	13	Volt
Heizstrom	I_f	0,29	0,4 (0,5)	0,28	0,25	Amp



Schaltung der EZ 11 im Autoempfänger.

Betriebswerte: Siehe Kennlinienfelder.

Betriebshinweise: Der Stahlmantel der EZ 11 und der Mittelpunkt der Sekundärwicklung des Netztransformators sind gemeinsam zu erden. In Autoempfängern ist besonders gute Siebung notwendig. Falls der Ersatzwiderstand des Netztransformators ($R_E = R_s + \bar{u}^2 \cdot R_D$) kleiner als 600Ω pro Gleichrichterstrecke ist, muß noch ein entsprechender zusätzlicher Widerstand R_z eingebaut werden. Bei Anschluß an eine 12,6V-Autobatterie ist bei der EZ 11 ein Vorwiderstand R_V von 22Ω (2 Watt) und bei der EZ 1 ein solcher von 16Ω (3 Watt) in den Heizkreis einzufügen.

Grenzwerte: pro System

Transformatorspannung, Effektivwert
 entnehmbarer Gleichstrom bei der EZ 11 und EZ 1
 bei der FZ 1

Gleichrichterbelastung ($U_{tr} \times I_{tr}$)

Spannung zwischen Faden und Schicht (Heizfaden und Kathode)

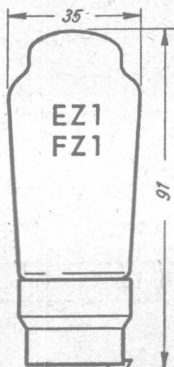
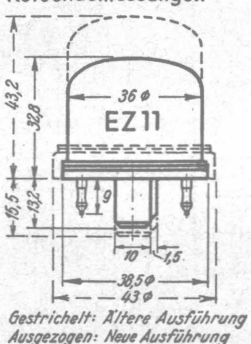
Kleinstiger Ersatzwiderstand des Netztransformators und

zusätzlicher Schutzwiderstand ($R_E [= R_s + \bar{u}^2 \cdot R_D] + R_z$)

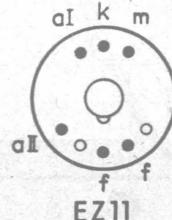
Ladekondensator

$U_{tr\ eff\ max}$	250(300)	Volt
$I_{tr\ max}$	60(50)	mA
$I_{tr\ max}$	50	mA
$N_{gl\ max}$	15	Watt
$U_{ff\ max}$	350	Volt
$R_E + R_z\ min$	600	Ω
$C_L\ max$	32	μF

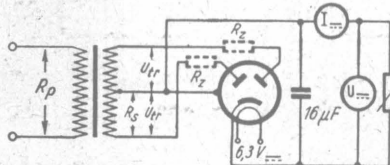
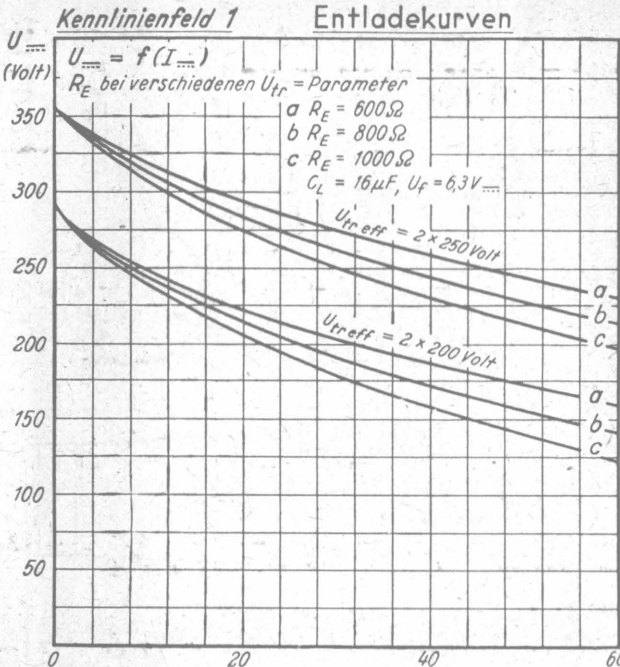
Kolbenabmessungen



Sockel
von unten gesehen

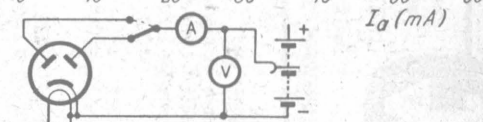
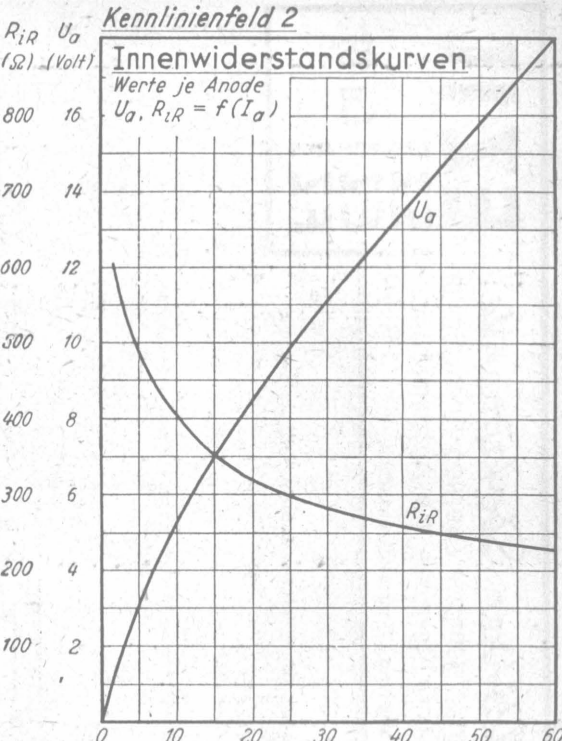


aI k m
aII f f
EZ1, FZ1
Fritz Künze



Meßschaltbild für Entladekurven

Bei den Entladekurven ist
 U_{tr} die effektive Leerlaufspannung der Anoden-
 spannungswicklung des Netztransformators,
 der Ersatzwiderstand des Netztransformators.
 Es ist $R_E = R_S + \bar{\mu}^2 R_P (+ R_z)$
 (R_S = ohmscher Widerstand der halben Sekundärwicklung,
 R_P = ohmscher Widerstand der Primärwicklung,
 $\bar{\mu}$ = Verhältnis der halben Sekundärwicklung zur
 Primärwicklung,
 R_z = eventueller Zusatzwiderstand.)



Meßschaltbild für Innenwiderstandskurven



Röhren-Dokumente

Indirekt geheizte Zweiweg-Hochvakuum-Netzgleichrichterröhre

EZ 12

1 Blatt

FUNKWERK-Sammlung, Gruppe Röhrentechnik

Allgemeines:

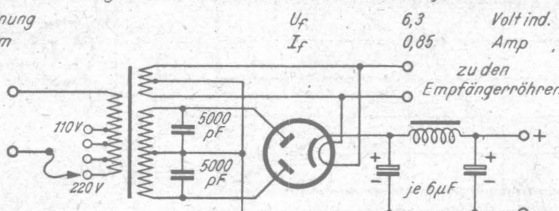
Röhre in Glaskolben mit Stahlröhrensockel

Heizung:

Gemeinsame (indirekt geheizte) Katode für beide Gleichrichtersysteme

Heizspannung

Heizstrom

Schaltung der EZ 12 bei Anodenspannungen < 390 V (effektiv)**Betriebswerte:** Siehe Kennlinienfelder.

Betriebsweise: Die EZ 12 verwendet man vorzugsweise in größeren Empfängern mit indirekt geheizten Endröhren, da bei direkt geheizten Röhren die Kondensatoren zu stark beansprucht werden. Die maximal zulässige Spannung zwischen Heizfaden und Kathode beträgt 550 Volt. Man kann deshalb bei Sekundärspannungen $< 2 \times 390$ Volt ($\frac{1}{\sqrt{2}} \cdot 550$ Volt) für die Empfängeröhren und die EZ 12 eine gemeinsame Heizwicklung benutzen. Bei einer Sekundärspannung ≥ 400 Volt dagegen muß für die EZ 12 eine besondere Heizwicklung vorhanden sein. Ein direkter Anschluß der EZ 12 an das Netz ohne Netztromtransformator ist unzweckmäßig. In solchem Falle verwendet man besser die UY 11 oder UY 1

Grenzwerte pro System:Spannung zwischen Faden und Schicht
(Heizfaden - Kathode)U_{f/k} max 550 VoltKleinster Ersatzwiderstand des Netztromtransformators und zusätzlicher Schutzwiderstand ($R_E = R_S + U^2 R_D [+ R_Z]$)R_E + R_Z min 300 Ω

Ladekondensator

C_L max 32 μF

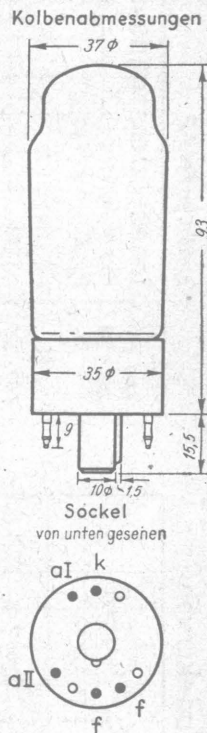
Transformatorspannung, Effektivwert entnehmbarer Gleichstrom

U_{tref} eff max 500 VoltGleichrichterbelastung¹⁾I_{...-max} 125 mAN_{gl} max 50 Watt

Hieraus ergeben sich für beide Systeme in Zweiweggleichrichtung bei den einzelnen Transformatorspannungen folgende Werte:

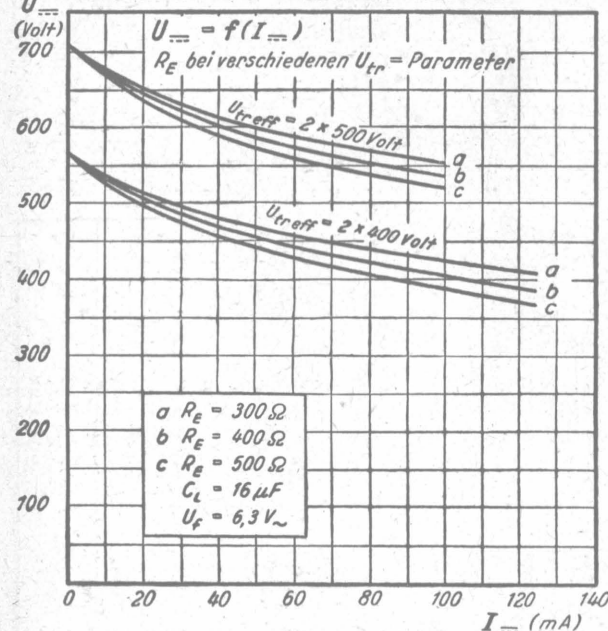
Bei einer Transformatorspannung (U _{tref}) von Volt	beträgt der maximal entnehmbare Gleichstrom (I _{...-max}) mA
2 x 500	100
2 x 400	125
< 2 x 400	125

¹⁾ Unter Gleichrichterbelastung N_{gl} ist das Produkt U_{tref} × I_{...-max} zu verstehen. N_{gl} ist keine Gleichstrombelastung (U_{tref} ist ja eine Wechselspannung), entspricht aber auch nicht der Anodenverlustleistung. Die Anodenverlustleistung Q_a ist bei Gleichrichterröhren Q_a ca 0,8 (U_{tref} - U_{an}) × I_{...-max}. Die Sperrspannung beträgt bei Zweiweggleichrichtung U_{sperr} = U_{tref} + U_{an}.

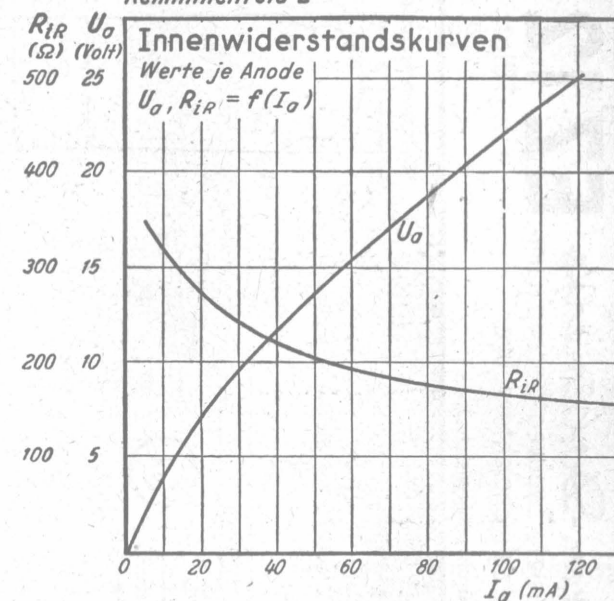


Fritz Kunzel

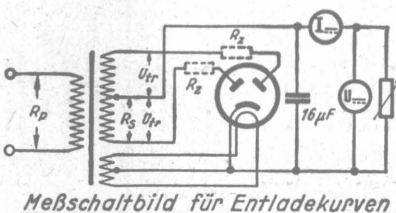
Kennlinienfeld 1 Entladekurven



Kennlinienfeld 2



Bei den Entladekurven ist
 U_{eff} die effektive Leerlaufspannung der Anoden-
spannungswicklung des Netztransformators,
 R_E der Ersatzwiderstand des Netztransformators.
Es ist $R_E = R_S + \bar{u}^2 R_P (+ R_Z)$.
(R_S = ohmischer Widerstand der halben Sekundärwickl.,
 R_P = ohmischer Widerstand der Primärwicklung
 \bar{u} = Verhältnis der halben Sekundärwicklung zur
Primärwicklung,
 R_Z = eventueller Zusatzwiderstand.)



Meßschaltbild für Entladekurven



Röhren-Dokumente

Duodiode + Regelpentode

(Verbundröhre)

FUNKWERK - Sammlung, Gruppe Röhrentechnik

UBF 11

4 Blätter

Allgemeines:

Stahlröhre. Stahlmantel, Abschirmung und g3 im Innern der Röhre mit k verbunden. Diodenteil gegen Pentodenteil abgeschirmt. Pentodensystem hat gute Regeleigenschaften trotz geringem Anodenstrombedarf.

Heizung:

Heizspannung	U_f	20	Volt \approx
Heizstrom	I_f	100	mA ind.

Meßwerte:

1. der Diodenstrecken

Werte und Kennlinien siehe Kennlinienfelder 2,5 und 6

2. des Pentodenteils (Regelröhre)

Anodenspannung	U_a	200	100	Volt
Schirmgitterspannung	U_g2	80	40	Volt
Gittervorspannung	U_g1	-2	-1	Volt
Anodenstrom	I_a	5	2,6	mA
Schirmgitterstrom	I_g2	1,7	0,8	mA
Steilheit	S	1,8	1,4	mA/V
Innenwiderstand	R_i	> 1,5	0,9	MΩ

Betriebswerte:

1. der Diodenstrecken

Es ist dII = Diode für Empfangsgleichrichtung

dI = Diode für Regelspannungsverzweigung und andere Zwecke
dII liegt bei der Fünferreihe des Röhrensockels am weitesten außen
dI liegt zwischen dII und Heizfaden.

Werte und Kennlinien siehe Kennlinienfelder 3...6

Ausführliche Erklärung und Berechnungsbeispiele für den
Diodenteil siehe bei der EBF 11.

2. des Pentodenteils

a. als HF- und ZF-Verstärker

α) Schirmgitterspannung fest

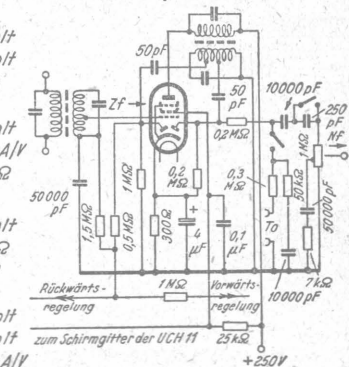
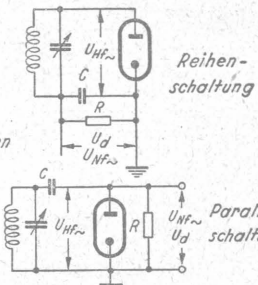
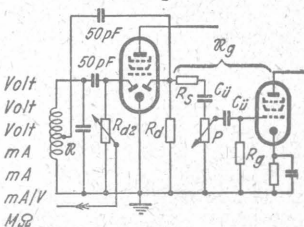
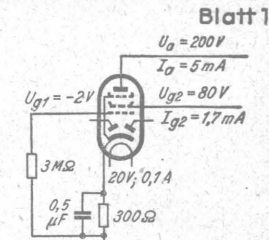
Anodenspannung	U_a	200	100	Volt
Schirmgitterspannung	U_g2	80	40	Volt
Katodenwiderstand	R_k	300	300	MΩ
Regelbereich		1 : 100	1 : 100	
Gittervorspannung	U_g1	-2 - 15	-1 - 8	Volt
Steilheit	S	1,8, 0,018	1,4, 0,014	mA/V
Innenwiderstand	R_i	> 1,5	> 10	MΩ

β) Schirmgitterspannung gleichförmig

Betriebsspannung	U_b	200	100	Volt
Schirmgitter-Vorwiderstand	R_g2	80	300	kΩ
Katodenwiderstand	R_k	300	300	MΩ
Regelbereich		1 : 100	1 : 100	
Schirmgitterspannung	U_g2	76	200	Volt
Gittervorspannung	U_g1	-2 - 37	-1 - 20	Volt
Steilheit	S	1,8, 0,018	1,4, 0,014	mA/V
Innenwiderstand	R_i	> 1,5	> 10	MΩ

Siehe die Kennlinienfelder 7...11

$\Sigma I_{g2}(\text{UBF 11}) + I_{g2+4}(\text{UCH 11}) = f(U_{g2[+4]})$ siehe UCH 11, Kennlinienfeld 16



Schaltbild der UBF 11
als ZF-Verstärker

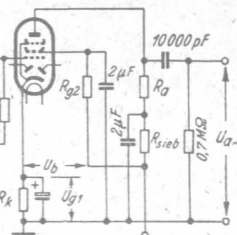
Betriebswerte:

2. des Pentodenteils (Fortsetzung)

b. als NF-Verstärker (in RC-Kopplung)

Betriebsspannung	U_b	200	200	200	200	Volt
Außenwiderstand	R_g	0,3	0,2	0,1	0,05	MΩ
Siebwiderstand	R_{sieb}	20	20	20	20	kΩ
Schirmgittervorwiderstand	R_{g2}	1	0,6	0,4	0,2	MΩ
Katodenwiderstand	R_k	3000	2000	1600	800	Ω
Gittervorspannung	U_{g1}	-2 -20	-2 -20	-2 -20	-2 -20	Volt
Anodenstrom	I_a	0,53	0,78	1,0	2,0	- mA
Schirmgitterstrom	I_{g2}	0,16	0,26	0,38	0,7	- mA
Spannungsverstärkung	V	95 9	75 10	70 8	45 6	Fach
Klirrfaktor ($U_{a\sim} = 5 V_{eff}$)	K	1,5 3	1,8 3	2 3	2 4	%

Betriebsspannung	U_b	100	100	100	100	Volt
Außenwiderstand	R_g	0,3	0,2	0,1	0,05	MΩ
Siebwiderstand	R_{sieb}	20	20	20	20	kΩ
Schirmgittervorwiderstand	R_{g2}	1	0,6	0,4	0,2	MΩ
Katodenwiderstand	R_k	3000	2000	1600	800	Ω
Gitterwiderstand	U_{g1}	-1 -10	-1 -10	-1 -10	-1 -10	Volt
Anodenstrom	I_a	0,26	0,39	0,5	1,0	- mA
Schirmgitterstrom	I_{g2}	0,08	0,13	0,19	0,35	- mA
Spannungsverstärkung	V	90 9	75 10	60 6,5	40 5,5	
Klirrfaktor ($U_{a\sim} = 3 V_{eff}$)	K	0,2 4	0,2 3	0,8 4	0,5 3	%

Schaltbild der UBF 11
als NF-Verstärker

Grenzwerte:

1. der Diodenstrecken

Diodenspannung	$U_d \max$	200	Volt (Spitze)
Diodenstrom	$I_d \max$	0,8	mA je Diode

Der Widerstand einer Diodenstrecke kann bei der Berechnung der Gitterableitwiderstände mit einem Wert von mindestens 100 kΩ angesetzt werden, sofern an der betreffenden Diodenstrecke keine negative Vorspannung (Verzögerungsspannung) liegt.

Diodenstrom-Einsatzpunkt:

max ($I_d \geq 0,3 \mu A$)	U_{de}	-0,1	Volt
min ($I_d \leq 0,3 \mu A$)	U_{de}	-1,3	Volt

2. des Pentodenteils

Anodenspannung	$U_a \max$	250	Volt
Anodenkaltspannung	$U_{aL} \max$	550	Volt
Schirmgitterspannung ($I_a = 5 \text{ mA}$)	$U_{g2} \max$	125	Volt
($I_a \leq 2 \text{ mA}$)	$U_{g2} \max$	250	Volt
Schirmgitterkaltspannung	$U_{g2L} \max$	550	Volt
Anodenverlustleistung	$Q_a \max$	1,5	Watt
Schirmgitterverlustleistung	$Q_{g2} \max$	0,3	Watt

Innenwiderstand bei:

$U_g = 200V$, $U_{g2} = 80V$, $I_a = 5mA$: $R_f \min$	0,7	MΩ	
$U_g = 100V$, $U_{g2} = 40V$, $I_a = 2,6mA$: $R_f \min$	0,4	MΩ	
Katodenstrom	$I_k \max$	10	mA
Gitterableitwiderstand	$R_{g1} \max$	3	MΩ

Gitterstrom-Einsatzpunkt:

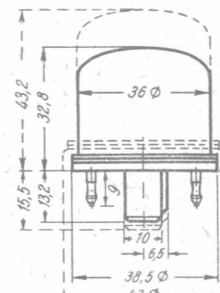
Bei $I_{gf} = 0,3 \mu A$ ist U_{g1} nie negativer als -1,3 Volt

3. allgemein

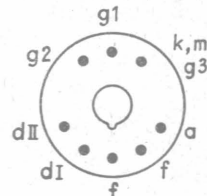
Spannung zwischen Fäden und Schicht	$U_{f/k} \max$	125	Volt
Außenwiderstand zwischen Fäden u. Schicht ¹⁾	$R_{f/k} \max$	20	kΩ

¹⁾ Mit Rücksicht auf Brummen und andere Störgeräusche sollen nur solche Schaltmittel zwischen Fäden und Schicht gelegt werden, die Gittervorspannung bzw. Verzögerungsspannung erzeugen.

Kolbenabmessungen



Sockel von unten gesehen



Innere Röhrenkapazitäten:

1. des Diodenteils

Diode I — Kathode	$C_{dI/k}$	2,8	pF
Diode II — Kathode	$C_{dII/k}$	3,1	pF
Diode I — Diode II	$C_{dI/dII}$	< 0,5	pF

2. des Pentodenteils

Eingang	$C_e (C_g/k)$	6	pF
Ausgang	$C_a (C_{g1}/k)$	6,5	pF
Gitter 1 — Anode	$C_{g1/a}$	< 0,002	pF
Heizfäden — Gitter 1	C_f/g_1	< 0,001	pF

3. allgemein

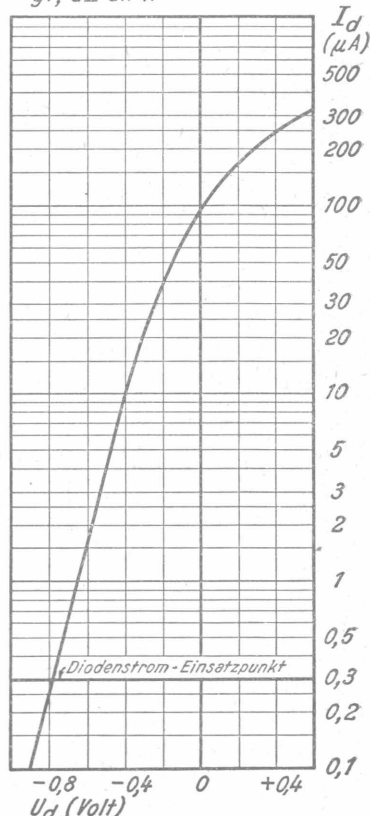
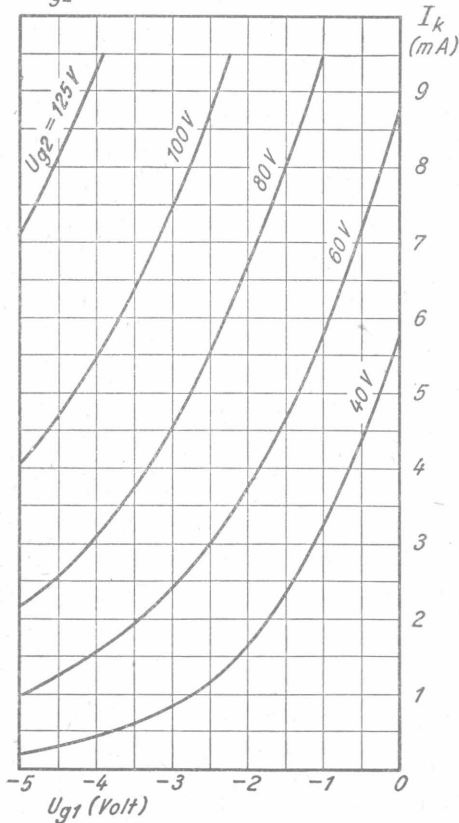
Diode I — Gitter 1	C_{dI/g_1}	< 0,001	pF
Diode II — Gitter 2	C_{dII/g_2}	< 0,001	pF
Diode (I+II) — Gitter 1	C_{dIdII/g_1}	< 0,002	pF
Diode I — Anode	$C_{dI/a}$	< 0,012	pF
Diode II — Anode	$C_{dII/a}$	< 0,008	pF
Diode (I+II) — Anode	$C_{dIdII/a}$	< 0,015	pF

Fritz Künzle

Kennlinienfeld 1

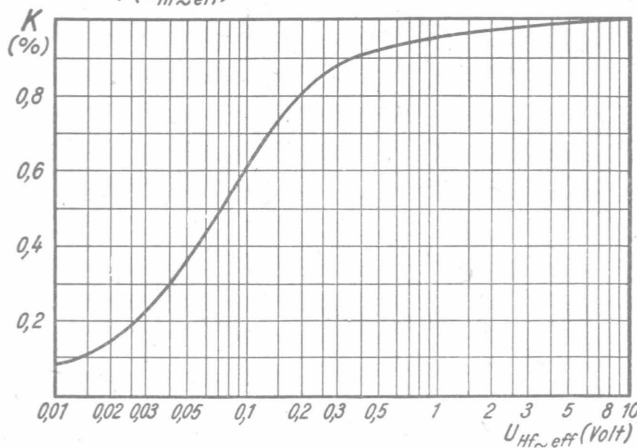
$$I_k = f(U_{g1})$$

U_{g2} = Parameter



Kennlinienfeld 3

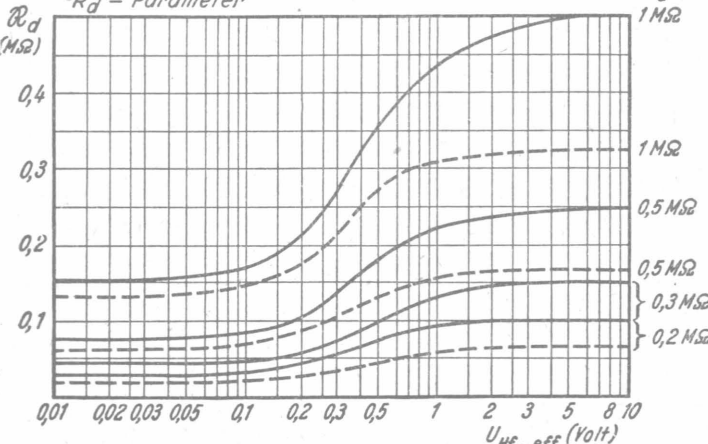
$$K = f(U_{Hf \sim eff})$$

Kennlinienfeld 4

$$R_d = f(U_{Hf \sim eff})$$

R_d = Parameter

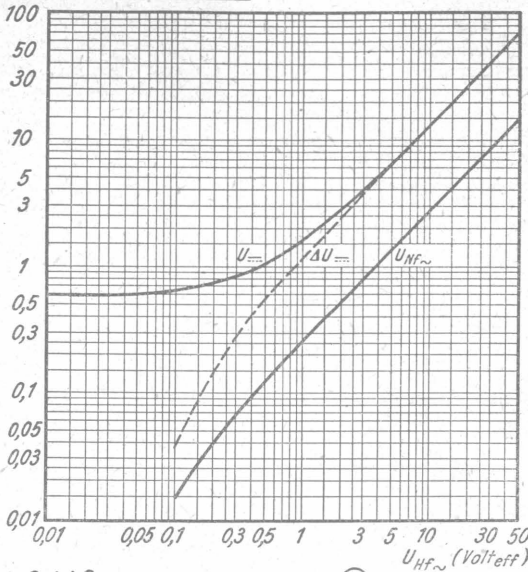
$$R_d = 1 M\Omega$$



— in Reihe geschaltet

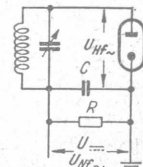
- - - parallel geschaltet

$U_{\text{...}}, \Delta U_{\text{...}}$ (Volt)
 $U_{Nf,\sim}$ (Volteff) Kennlinienfeld 5



$U_{\text{...}}, \Delta U_{\text{...}} = f(U_{HF,\sim})$
 $R_d = 0,1 \dots 1 M\Omega$
 $C = 100 pF$

$U_{Nf,\sim} = f(U_{HF,\sim})$
 $m = 0,3$
 $R_d = 0,5 M\Omega$
 $C = 100 pF$

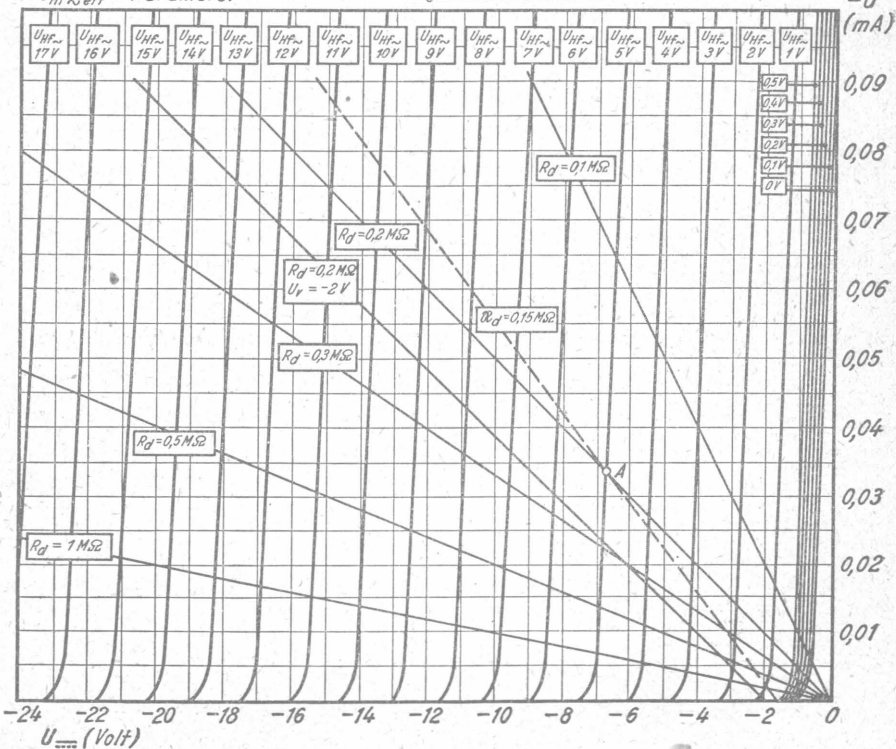


Meßschaltung zu
Kennlinienfeld 3

Kennlinienfeld 6

$$I_d = f(U_{\text{...}})$$

$U_{HF,\sim}$ eff = Parameter



I_d
(mA)

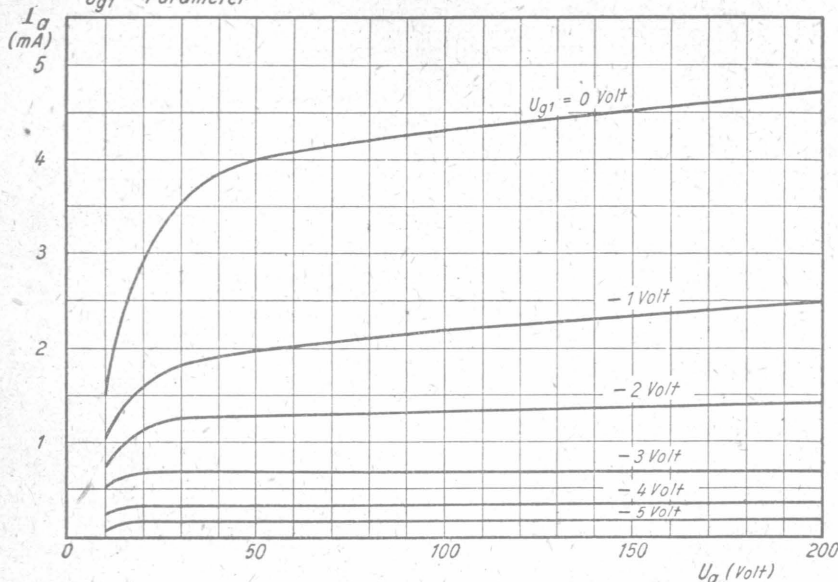
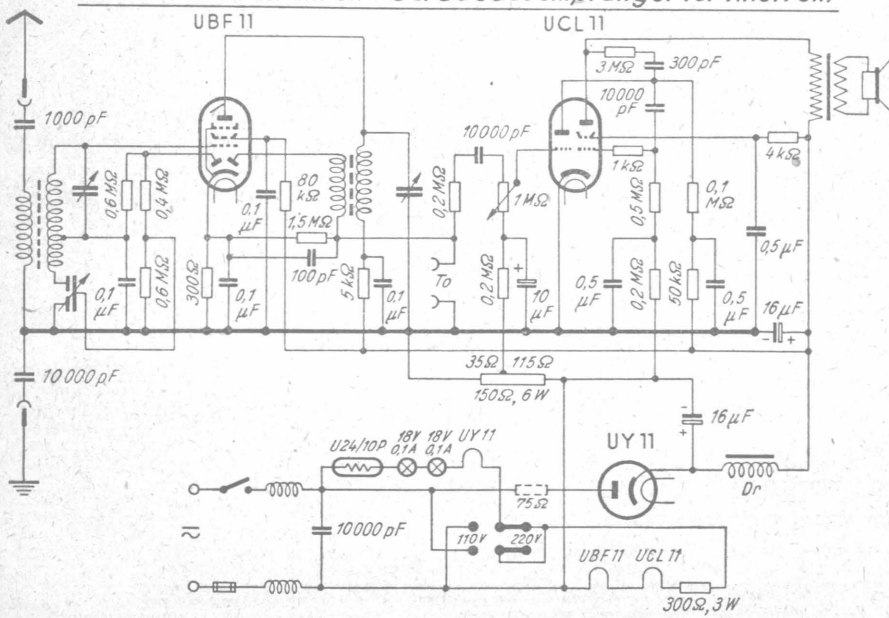
0,09
0,08
0,07
0,06
0,05
0,04
0,03
0,02
0,01

Kennlinienfeld 7

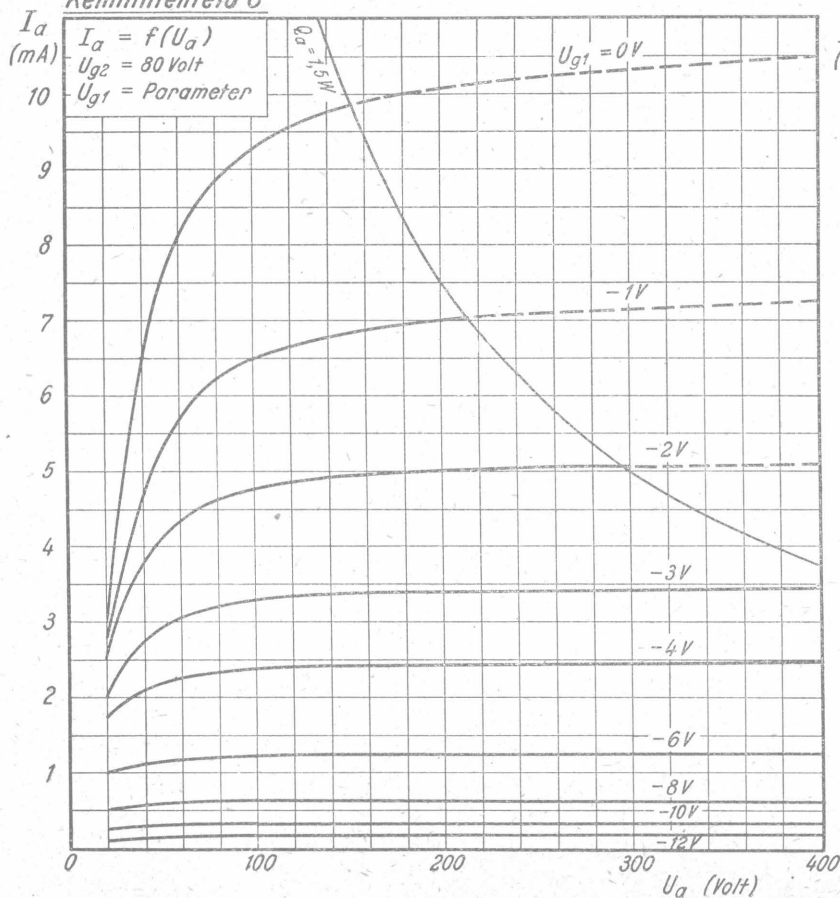
$$I_a = f(U_a)$$

$U_{g2} = 40 \text{ Volt}$

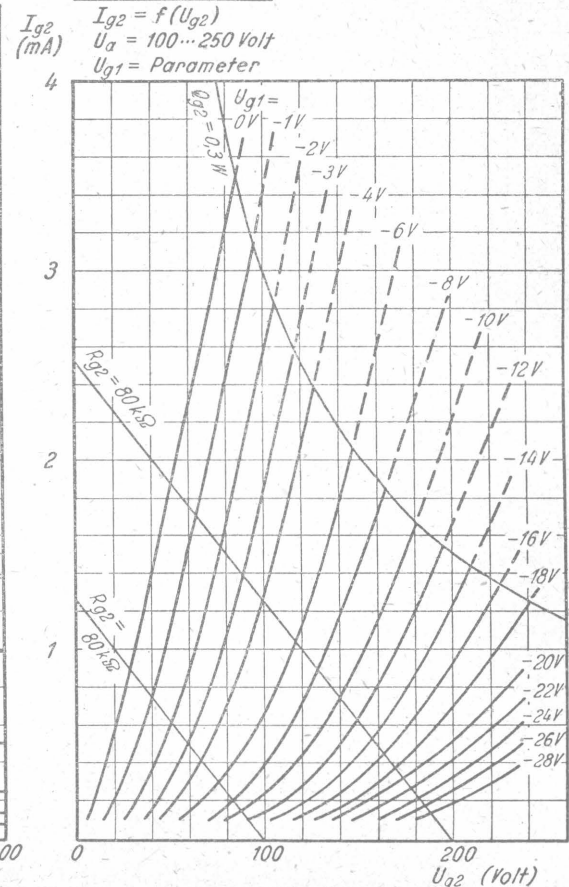
$U_{g1} = \text{Parameter}$

Zweikreis - Dreiröhren - Geradeausempfänger für Allstrom

Kennlinienfeld 8

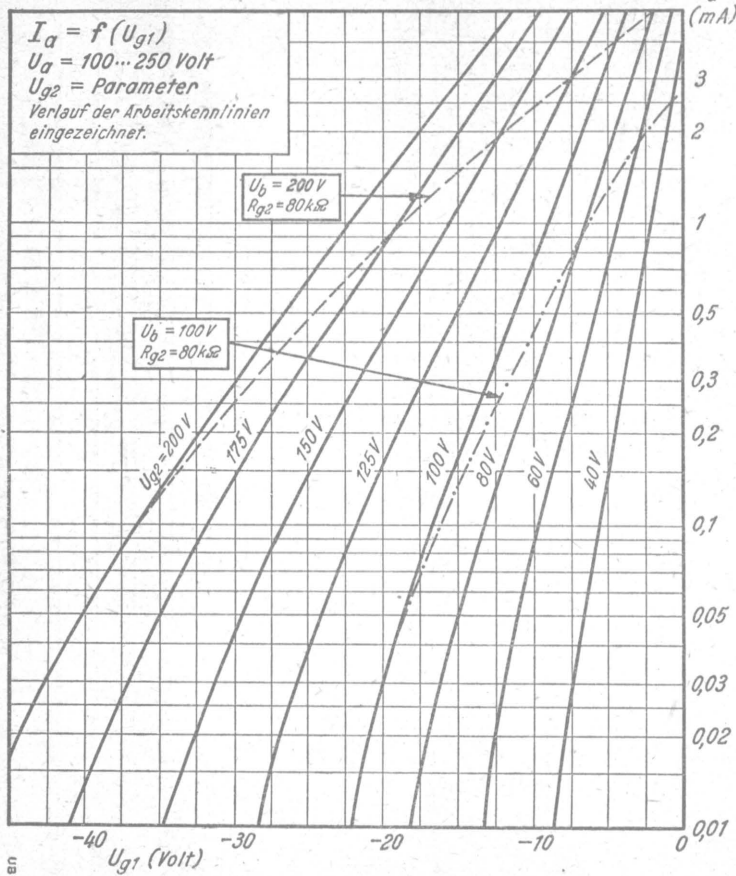


Kennlinienfeld 9

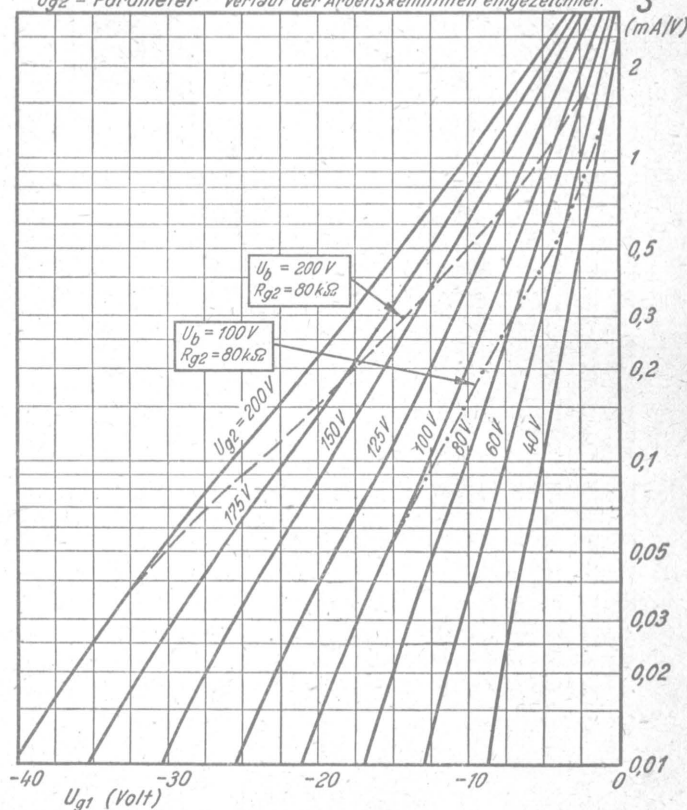


Kennlinienfeld 10

$I_a = f(U_{g1})$
 $U_a = 100 \dots 250 \text{ Volt}$
 $U_{g2} = \text{Parameter}$
 Verlauf der Arbeitskennlinien
 eingezeichnet.

Kennlinienfeld 11

$S = f(U_{g1})$
 $U_a = 100 \dots 250 \text{ Volt}$
 $U_{g2} = \text{Parameter}$ Verlauf der Arbeitskennlinien eingezeichnet.



für regelbare Mischstufen

FUNKWERK - Sammlung, Gruppe Röhrentechnik

Heizung:

Indirekt geheizte Kathode für Allstrom

Heizspannung	U_h	20	Volt	\approx
Heizstrom	I_h	0,1	A ind.	

Meßwerte (statisch):

1. Triodenteil

Anodenspannung	U_{AT}	150	115	100	60	Volt
Gitterverspannung	U_{g1T}	0	-8	0	-5	Volt
Anodenstrom	I_{AT}	21	0,5	12	0,2	mA
Steilheit	S	3,2	0,2	3	0,2	mA/V
Durchgriff	D	5,8	6,2	5,8	6,2	%
Innenwiderstand	R_i	5,4	81	5,8	81	k Ω

Siehe auch das Kennlinienfeld 5.

2. Hexodenteil

Anodenspannung	U_{AH}	200	100	100	Volt
Schirmgitterspannung	U_{g2+4}	80	40	40	Volt
Gitterspannung	U_g	-8	-5	-5	Volt
Gitterverspannung	U_{g1H}	-2	-1	-1	Volt
Anodenstrom	I_{AH}	2,0	0,6	0,6	mA
Schirmgitterstrom	I_{g2+4}	3,0	1,4	1,4	mA
Steilheit	S	0,68	0,5	0,5	mA/V
Innenwiderstand	R_i	1	1	1	k Ω

Siehe auch die Kennlinienfelder 1...4, 6, 7.

Betriebswerte:

1. Triodenteil (in schwingendem Zustande, bei mittlerer Kreisgüte)

Betriebsspannung	U_b	200	100	100	Volt
Anodenwiderstand	R_{AT}	30	30	30	k Ω
Anodenspannung	U_{AT}	115	60	60	Volt
Oszillatortspannung ν	U_{osz}	-8	-5	-5	Volt
Anodenstrom	I_{AT}	2,85	1,3	1,3	mA
Gitterableitwiderstand	R_{g1T}	50	50	50	k Ω
Durchgriff	D	6	6	6	%

Siehe auch die Kennlinienfelder 14 und 15

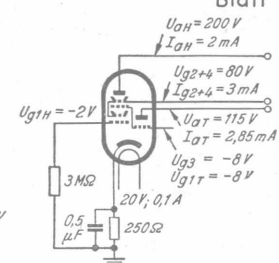
2. Hexodenteil

a) Schirmgitterspannung fest

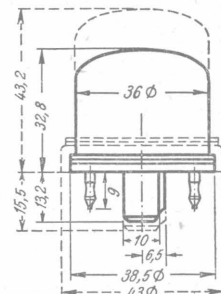
Anodenspannung	U_{AH}	200	100	100	Volt
Schirmgitterspannung	U_{g2+4}	80	40	40	Volt
Oszillatortspannung ν	U_g	-8	-5	-5	Volt
Katodenwiderstand	R_k	250	250	250	Ω
Regelbereich	1	: 100	: 400	1	: 100 : 300
			(opt)		(opt)
Gitterverspannung	U_{g1H}	-2	-12	-16	-1
Mischsteilheit	S_c	680	6,8	1,7	500
Innenwiderstand	R_i	>1	>10	>10	>10

b) Schirmgitterspannung über Vorwiderstand $R_{g2+4} = 40 \text{ k}\Omega$ (vollgleitend)

Betriebsspannung	U_b	200	100	100	Volt
Oszillatortspannung ν	U_g	-8	-5	-5	Volt
Katodenwiderstand	R_k	250	250	250	Ω
Regelbereich	1	: 100	: 400	1	: 100 : 300
			(opt)		(opt)
Schirmgitterspannung	U_{g2+4}	80	194	199	41
Gitterverspannung	U_{g1H}	-2	-20	-26	-1
Mischsteilheit	S_c	680	6,8	1,7	510
Innenwiderstand	R_i	>1	>0,5	>0,8	>1

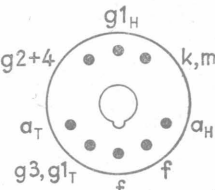


Kolbenabmessungen



Gestrichelt: Ältere Ausführung
Ausgezogen: Neue Ausführung

Sockel von unten gesehen



c) Schirmgitterspannung über Spannungsteiler ($R_{g2/+} = 30\text{ k}\Omega$, $R_{g2/-} = 80\text{ k}\Omega$) (schwachgleitend)

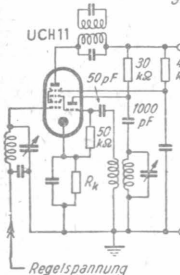
Betriebsspannung	U_b	200	100	Volt
Oszillatorschaltung	U_{g3}	-8	-5	Volt
Katodenwiderstand	R_k	250	250	Ω
Regelbereich		1 : 100	1 : 100	
Schirmgitterspannung	U_{g2+4}	80	143	(opt)
Gittervorspannung	U_{g1H}	-2	-17	145
Mischstabilität	S_c	680	6,8	47
Innenwiderstand	R_t	>1	>7	72
			>10	72,5
			>1	-9,5
				-12
				1,7
				$\mu\text{A}/V$
				MS

1) Im schwingenden Zustand ist $U_{as} = -U_{g1T} = -U_{g3} = -I_{g1T} \times R_{g1T}$ ($50\text{ k}\Omega$).

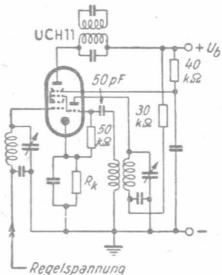
Zur Konstanthaltung der Schwingamplitude im Kurzwellengebiet ist ein zusätzlicher Dämpfungs- widerstand R_d zweckmäßig. (Siehe Kennlinienfeld 9 und die dazugehörige Meßschaltung.)

Siehe auch die Kennlinienfelder 10- 13

Schirmgitterspannung über Vorwiderstand
 $R_{g2+4} = 40\text{ k}\Omega$

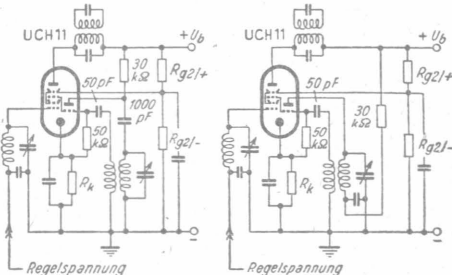


Anodenwiderstand des Triodenteils parallel zum Oszillatorkreis

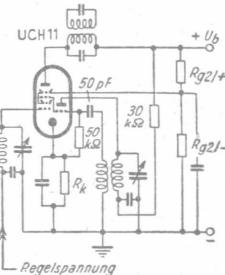


Anodenwiderstand des Triodenteils in Reihe mit dem Oszillatorkreis

Schirmgitterspannung über Spannungsteiler



Anodenwiderstand des Triodenteils parallel zum Oszillatorkreis



Anodenwiderstand des Triodenteils in Reihe mit dem Oszillatorkreis

Grenzwerte:

	des Triodenteils	des Hexodenteils	
Anodenspannung	150	250	Volt
Anodenkaltspannung	550	550	Volt
Schirmgitterspannung	$I_{gH} = 2,0\text{ mA}$	-	Volt
Schirmgitterkaltspannung	$I_{gH} \leq 1,0\text{ mA}$	-	Volt
Anodenbelastung	-	550	Volt
Schirmgitterbelastung	-	1,0	Watt
Innenwiderstand	-	1,5	Watt
Gitterableitwiderstand	-	0,5	Watt
Katodenstrom	$R_t \min \begin{cases} 200V & I_{g2+4} \\ 100V & I_{g1H} \end{cases} \begin{cases} 2mA & I_{gH} \\ 0,6mA & I_{g1T} \end{cases}$	0,7	$\text{M}\Omega$
Gitterstrom-Einsatzpunkt bei $U_g = -1,3\text{ Volt}$	-	1	$\text{M}\Omega$
Spannung zwischen Fäden und Schicht	-	15	mA
Außenwiderstand zwischen Fäden u. Schicht	$U_f/k \max$	$\leq 0,3$	μA
Außenwiderstand zwischen Fäden u. Schicht " "	$R_f/k \max$	$\leq 0,3$	μA
	-	200	Volt
	-	20	$\text{k}\Omega$

1) Mit Rücksicht auf Brummen und andere Störgeräusche sollen nur solche Schaltmittel zwischen Fäden und Schicht gelegt werden, die Gittervorspannung erzeugen

Innere Röhrenkapazitäten:

	des Triodenteils	des Hexodenteils	
Eingang	$c_e (c_{g1k})$	4,7	$p\text{F}$
Ausgang	$c_a (c_{a1k})$	2,7	$p\text{F}$
Gitter 1 - Anode	$c_{g1/a}$	<1,5	$\leq 0,002$ $p\text{F}$
Gitter 1 - Gitter 3	$c_{g1/g3}$	-	<0,2 $p\text{F}$
Gitter 1 - Heizfaden	$c_{g1/f}$	-	<0,001 $p\text{F}$

Fritz Künzler

UCH 11/1a



Röhren-Dokumente

Nf - Triode + Endtetrode

(Verbundröhre)

UCL 11

5 Blätter

FUNKWERK - Sammlung, Gruppe Röhrentechnik

Blatt 1

Allgemeines:

Röhre mit Stahlröhrensockel und Glaskolben (innen geschwärzt). Innere Abschirmungen mit Kathode verbunden. Sockelblech zur Abschirmung unbedingt erforderlich. Übergang zur Ganzstahlröhre war geplant, es wurden aber nur verhältnismäßig wenige Röhren mit Stahlkolben hergestellt.

Triodensystem mit kleinem Durchgriff. Endtetrodensystem mit „kritischem Anodenabstand“, um das Auftreten von Sekundärelektronen zu verhindern.

Heizung:

Ovalkathode (Berylliumoxyd) mit bifilar gewickelten Heizfäden.

Heizspannung	U_F	60	Volt	~
Heizstrom	I_F	100	mA ind.	

Meßwerte:

1. des Triodenteils

Anodenspannung	U_{AT}	200	100	Volt
Gittervorspannung	U_{G1T}	-2	-1	Volt
Anodenstrom	I_{AT}	2	1	mA
Steilheit	S	2	1,6	mA/V
Durchgriff	D	1,5	1,5	%
Innenwiderstand	R_i	33	41	k Ω

Siehe auch die Kennlinienfelder 16 und 17.

2. des Tetrodenteils

Anodenspannung	U_{AQ}	200	100	Volt
Schirmgitterspannung	U_{G2Q}	200	100	Volt
Gittervorspannung	U_{G1Q}	-8,5	-4	Volt
Anodenstrom	I_{AQ}	45	21	mA
Schirmgitterstrom	I_{G2Q}	6	2,8	mA
Steilheit	S	9	7	mA/V
Schirmgitterdurchgriff	D_{G2}	7,5	7,5	%
Innenwiderstand	R_i	18	18	k Ω

Siehe auch die Kennlinienfelder 1...4.

Betriebswerte:

1. des Triodenteils

a) als Audion in RC-Kopplung

Betriebsspannung	U_b	200	100	Volt
Außenwiderstand	R_{AT}	100	50	k Ω
Siebwiderstand	R_{ATsib}	20	10	k Ω
Anodenstrom	I_{AT}	1,3	1,1	mA
Detektorverstärkung	V	4...5	ca. 3	fach

b) als Audion in Drosselkopplung

Betriebsspannung	U_b	200	100	Volt
Siebwiderstand	R_{ATsib}	20	10	k Ω
Anodenstrom	I_{AT}	4	2,5	mA
Detektorverstärkung	V	6...7	5...6	fach

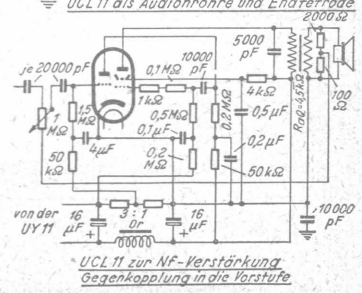
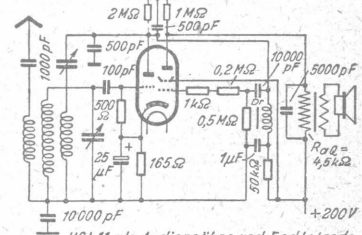
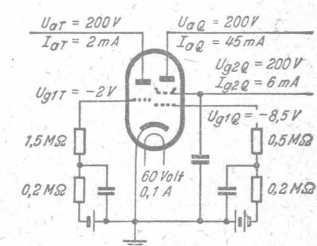
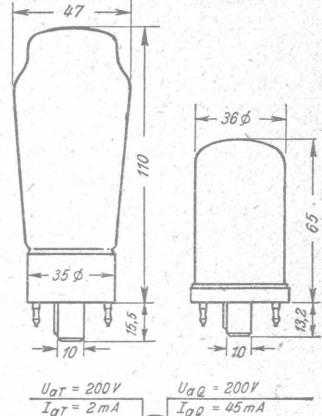
c) als NF-Verstärker in RC-Kopplung

Betriebsspannung	U_b	200	100	Volt
Außenwiderstand	R_{AT}	300 200 100	300 200 100	k Ω
Siebwiderstand	R_{ATsib}	50 50 20	50 50 20	k Ω
(Anodenspannung)	U_{AT}	110 120 130	50 55 65	Volts
Gittervorspannung	U_{G1T}	-2 -2 -2	-1 -1 -1	Volt
Anodenstrom	I_{AT}	0,25 0,3 0,55	0,15 0,2 0,3	mA
Spannungsverstärkung V	42 41 34	41 39 30	fach	

Siehe auch das Kennlinienfeld 12.

Kolbenabmessungen

a) mit Glaskolben b) mit Metallkolben



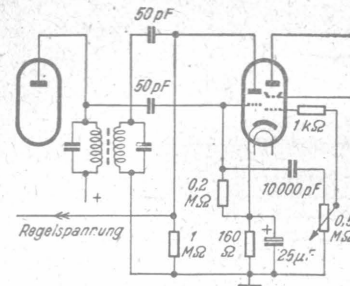
Betriebswerte (Fortssetzung)

2. des Endtetrodeuteils

a) Einkakt-A-Betrieb

Anodenspannung	U_{aQ}	200	100	Volt
Schirmgitterspannung	U_{g2Q}	200	100	Volt
Gittervorspannung	U_{g1Q}	-8,5	-4	Volt
Anodenstrom	I_{aQ}	45	21	mA
Schirmgitterstrom	I_{g2Q}	6	2,8	mA
Außenwiderstand	R_{aQ}	4,5	4,5	k Ω
max. Sprechleistung	N_{\sim}	4	0,9	Watt
hierbei Klirrfaktor	K	10	10	%
Gitterwechselspannung	$U_{g\sim\text{eff}}$	5	2,8	Volt
Empfindlichkeit				
(Gitterwechselspannung bei einer Sprechleistung von 50mW)	$U_{g\sim\text{eff}}$ (50mW)	0,4	0,5	Volt

Siehe auch die Kennlinienfelder 6...11 und 13

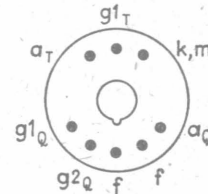
Verwendung der UCL 11
als Duodiode + Endtetrode

Die Gittervorspannung darf nur halbautomatisch durch Spannungsabfall an einem Widerstand erzeugt werden, der in der gemeinsamen Minusleitung des Gerätes liegt und somit von den Anoden- und Schirmgitterströmen aller Röhren durchflossen wird, da sonst die Gefahr einer unerwünschten Kopplung zwischen Trioden- und Tetrodensystem besteht. Seine Größe errechnet sich nach dem Ohmschen Gesetz:

$$R = \frac{U_{g1Q}}{\Sigma I_1 + \Sigma I_2} \quad \text{Die Gittervorspannung des Triodensystems wird}$$

durch entsprechende Unterteilung des Widerstandes gewonnen ($1/4$ des Gesamtwiderstandes; bei $\Sigma I = 53\text{ mA}$ z.B. ist $R = 160\text{ }\Omega$ oder $40+120\text{ }\Omega$).

Nur wenn das Triodensystem als Audion geschaltet ist, darf die Gittervorspannung vollautomatisch durch Spannungsabfall an einem Kathodenwiderstand erzeugt werden, da dieser dann nur von den Strömen des Endtetrodensystems durchflossen wird. Hierbei ist $R_k = 165\text{ }\Omega$.

Sockel
von unten gesehen

b) 2 Röhren im Gegentakt - A-Betrieb

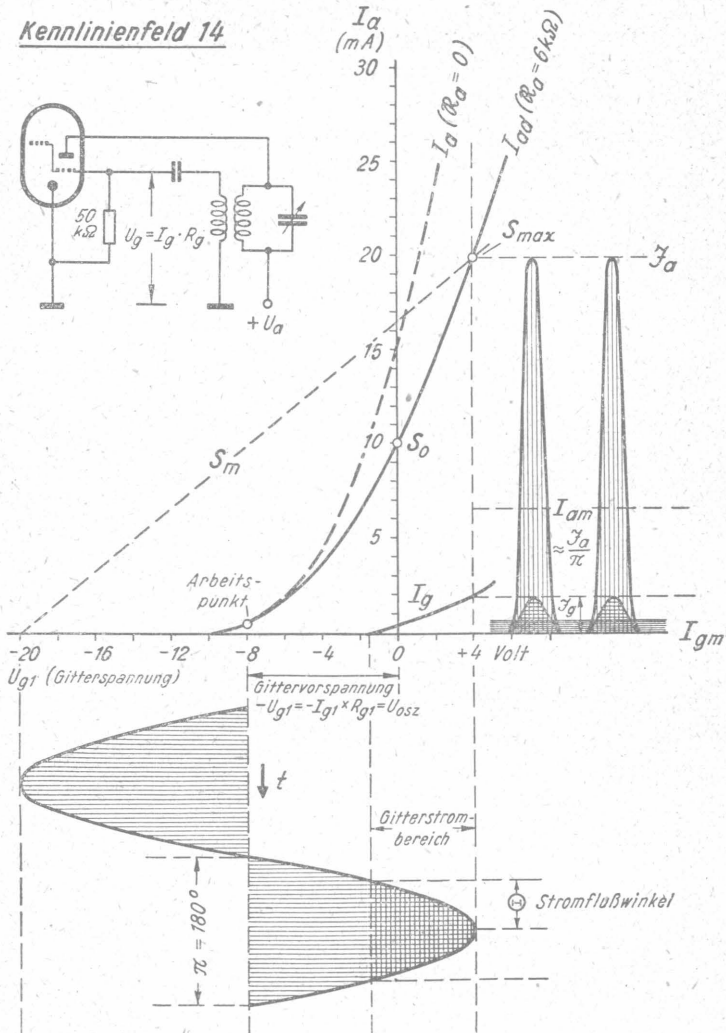
Anodenspannung	U_{aQ}		200	Volt
Schirmgitterspannung	U_{g2Q}		200	Volt
Gittervorspannung	U_{g1Q}	je	-8,5	Volt
Anodenstrom	I_{aQ}		2x45	mA
Schirmgitterstrom	I_{g2Q}		2x6	mA
bei voller Aussteuerung	I_{g2Qd}		2x12	mA
Außenwiderstand				
von Anode zu Anode	R_{aa}		6	k Ω
opt. Sprechleistung	N_{\sim}		9	Watt
hierbei Klirrfaktor	K		8,6 ¹⁾	%
Gitterwechselspannung				
von Gitter zu Gitter	$U_{g\sim\text{eff}}$		12	Volt

c) 2 Röhren im Gegentakt - AB-Betrieb

Anodenspannung	U_{aQ}		200	Volt
Schirmgitterspannung	U_{g2Q}		200	Volt
Gittervorspannung	U_{g1Q}	je	-9,5	Volt
Anodenstrom	I_{aQ}		2x35	mA
Schirmgitterstrom	I_{g2Q}		2x4,5	mA
bei voller Aussteuerung	I_{g2Qd}		2x13	mA
Außenwiderstand				
von Anode zu Anode	R_{aa}	6,5 5	6,5 5	k Ω
opt. Sprechleistung	N_{\sim}	9 8,8	8,8 8,4	Watt
hierbei Klirrfaktor	K	8 ¹⁾ 5	8 ¹⁾ 5	%
Gitterwechselspannung				
von Gitter zu Gitter	$U_{g\sim\text{eff}}$	14 14	14,5 14,5	Volt
			15,5 15,5	
			12	

¹⁾ Aussteuerung bis zum Einsatzpunkt des Gitterstromes

Der Aussteuervorgang beim Triodenteil der UCH 11



S_0 = Anschwingsteilheit (Steilheit bei $U_g1 = 0$ Volt)

S_m = mittlere Steilheit

S_{max} = maximale Steilheit

I_a = Anoden spitzenstrom

I_{am} = mittlerer Anodenstrom

I_a = statische Anodenstromkennlinie

I_{ad} = Anodenstrom - Arbeitskennlinie

I_g = Gitterspitzenstrom

I_{gm} = mittlerer Gitterstrom

I_g = statische Gitterstromkennlinie

Kennlinienfeld 15

$$U_{osz} = f(R_{at})$$

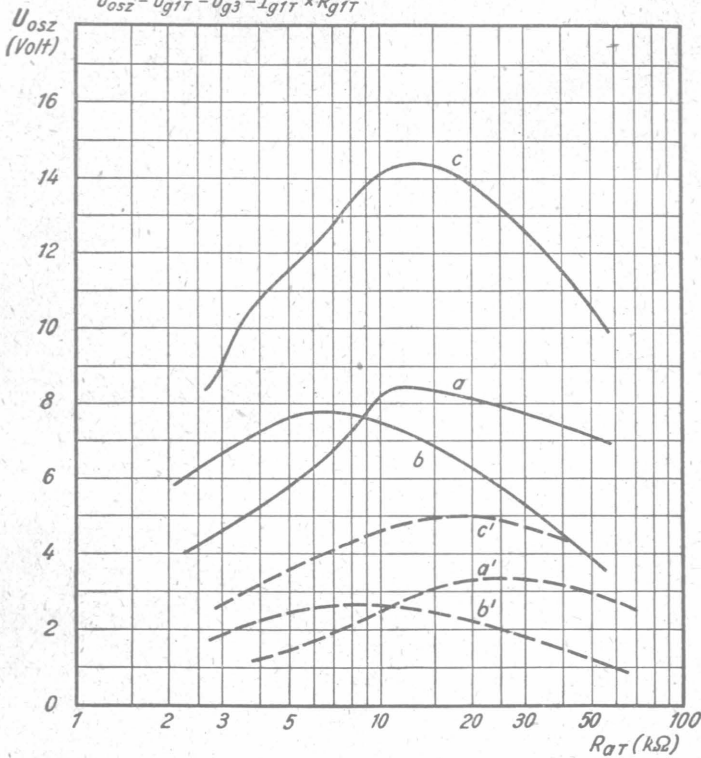
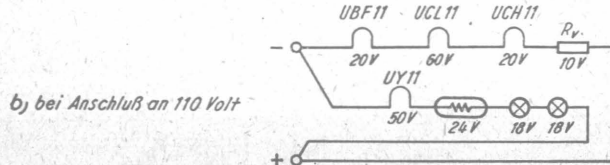
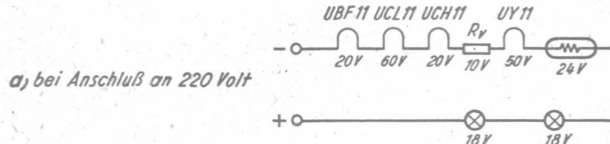
$$U_A = \begin{array}{ccc} 200 & 100 & \text{Volt} \end{array}$$

$$\lambda = 200 \dots 2000 \text{ m}; R_g = 30 \text{ k}\Omega : \begin{array}{cc} a & a' \\ b & b' \end{array}$$

$$\lambda = 50 \text{ m}; R_g = 5 \text{ k}\Omega : \begin{array}{cc} b & b' \\ c & c' \end{array}$$

$$\lambda = 15 \text{ m}; R_g = 15 \text{ k}\Omega : \begin{array}{cc} c & c' \end{array}$$

$$U_{osz} = U_{g1T} = U_{g3} = I_{g1T} \times R_{g1T}$$

**Die Schaltung der Heizfäden beim 4 Röhren-Allstromsuper**

UCH 11 u. UBF 11 mit gemeinsamem Schirmgitter-Vorwiderstand

UCH 11
Blatt 6

Kennlinienfeld 16

$$\Sigma I_{g2(+4)} = f(U_{g2(+4)})$$

$$U_d = 100 \dots 200 \text{ Volt}, R_{g2(+4)} = 25 \text{ k}\Omega$$

U_{gr} Parameter



UCH 11
Blatt 4

Steilheitskennlinien

Kennlinienfeld 10

$$S_C = f(U_{g1H})$$

$$U_b = 200 \text{ Volt}; R_{dT} = 30 \text{ k}\Omega$$

$$U_{osz} = U_{g1T} = U_{g3} = I_{g1T} \times 50 \text{ k}\Omega = -8 \text{ V}$$

$$S_C (\mu\text{A/V})$$

$$300$$

$$200$$

$$100$$

$$50$$

$$30$$

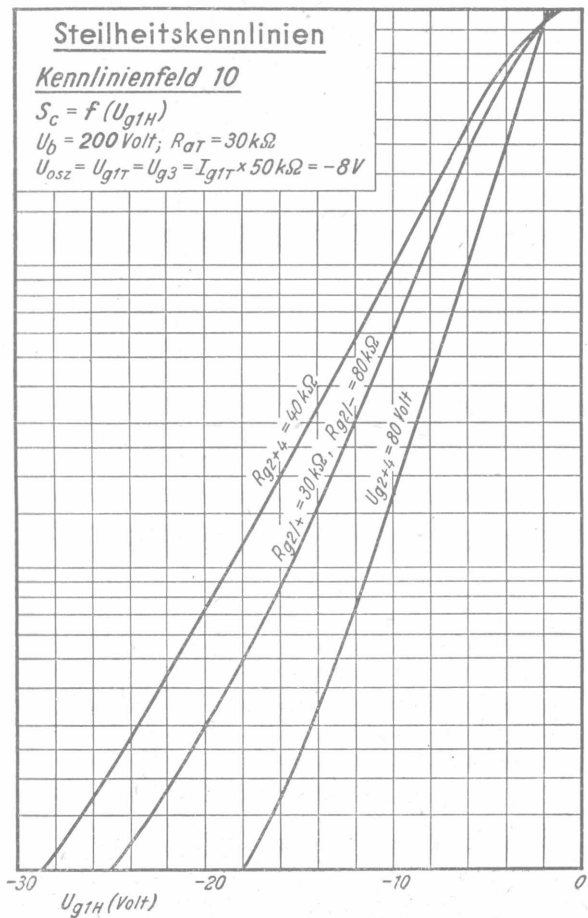
$$20$$

$$10$$

$$5$$

$$2$$

$$1$$



Steilheitskennlinien

Kennlinienfeld 11

$$S_C = f(U_{g1H})$$

$$U_b = 100 \text{ Volt}; R_{dT} = 30 \text{ k}\Omega$$

$$U_{osz} = U_{g1T} = U_{g3} = I_{g1T} \times 50 \text{ k}\Omega = -5 \text{ V}$$

$$S_C (\mu\text{A/V})$$

$$300$$

$$200$$

$$100$$

$$50$$

$$30$$

$$20$$

$$10$$

$$5$$

$$2$$

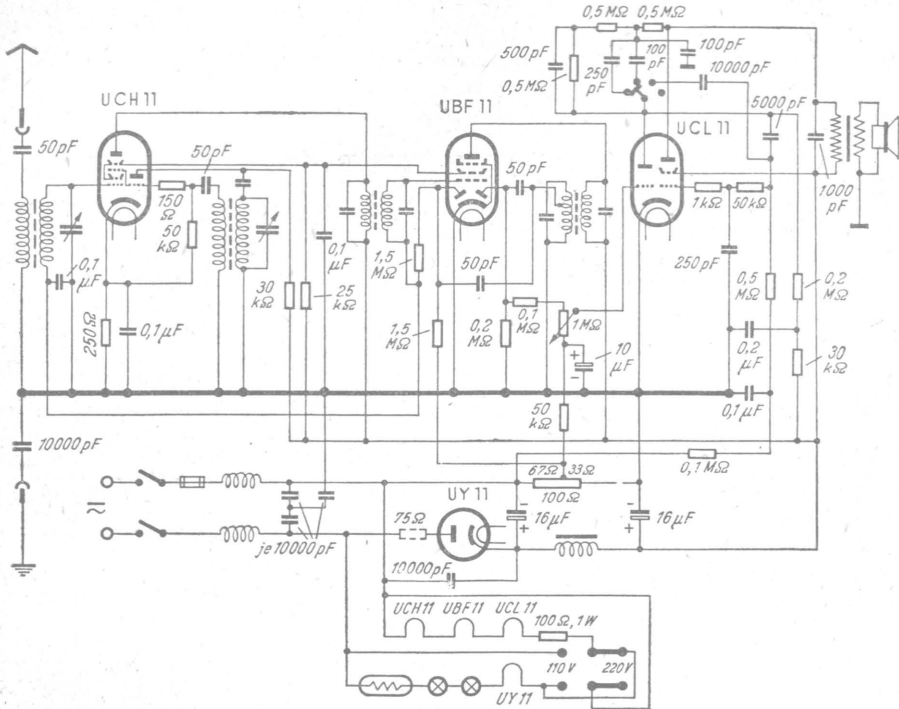
$$1$$

$$0$$

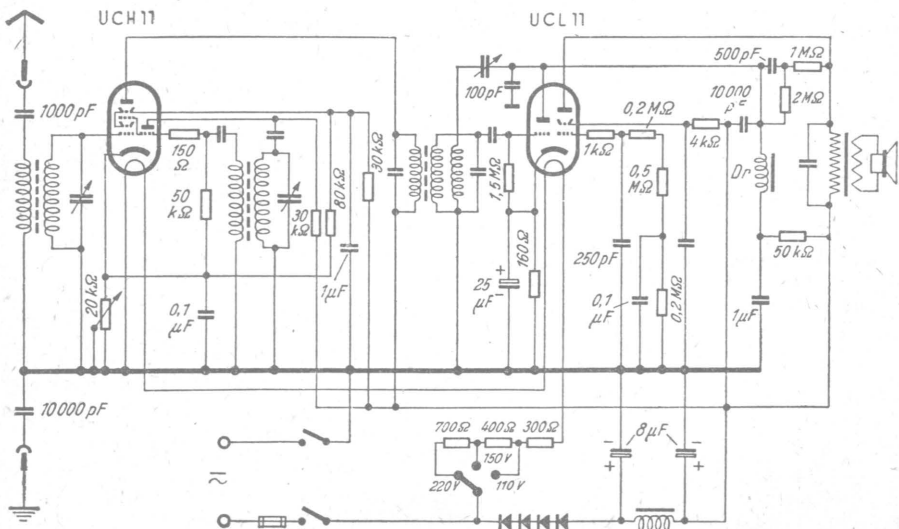
$$U_{g1H} (\text{Volt})$$

UCH11

Vierröhren - Kleinsuper für Allstrom



Zweiröhren - Zwergsuper für Allstrom



UCH11/6a

Funkwerk-Vertrieb Wilhelm Wolf, Potsdam, Seestraße 43. Nachdruck verboten!

U_{CH11}

UCH11/4a

Funkwerk-Vertrieb Wilhelm Wolf, Potsdam, Seestraße 43. Nachdruck verboten!

Betriebswerte:

2. des Endtetrodenteils (Fortsetzung)

d) 2 Röhren im Gegentakt - AB - Betrieb, Messung mit Zweitonmethode

Anodenspannung	U_{aQ}	200	250	Volt
Schirmgitterspannung	U_{g2Q}	200	250	Volt
Gittervorspannung	U_{g1Q}	je	-10,5	Volt
Anodenstrom	I_aQ	2×30	2×30	mA
Schirmgitterstrom	I_{g2Qd}	2×4	2×4	mA
bei voller Aussteuerung	I_{g2Qd}	2×9	2×9	mA
Außenwiderstand von Anode zu Anode	R_{aa}	5	6	k Ω
opt. Vergleichsleistung	$N_{v\sim}$	9	13,5	Watt
hierbei Verzerrungsmaß	K_V	1,5	5,7	%
Gitterwechselspannung von Gitter zu Gitter	$U_{gg\sim eff}$	15	25	Volt

Siehe auch das Kennlinienfeld 15

3. des als Triode geschalteten Endtetrodenteils im Eintakt - A - Betrieb
(Schirmgitter direkt mit Anode verbunden)

Anodenspannung	U_{aII}	200	200	Volt
Gittervorspannung	U_{g1II}	-8,5	-8,5	Volt
Anodenstrom	I_aII	50	50	mA
Außenwiderstand	R_a	4,5	4,5	k Ω
max. Sprechleistung	$N_{a\sim}$	0,85	0,85	Watt
hierbei Klirrfaktor	K	5	5	%
Gitterwechselspannung	$U_{g\sim eff}$	6	6	Volt

Grenzwerte:

		Triodenteil	Endtetrodenteil	
Anodenspannung	U_a	250	250	Volt
Anodenkaltspannung	U_{aL}	550	550	Volt
Schirmgitterspannung	U_{g2}	-	250	Volt
Schirmgitterkaltspannung	U_{g2L}	-	550	Volt
Anodenverlustleistung	Q_a	0,6	9	Watt
Schirmgitterbelastung bei $U_{g2} = 0$ Volt	Q_{g2}	-	1,5	Watt
bei voller Aussteuerung	Q_{g2d}	-	3	Watt
Gitterableitwiderstand	R_{g1}	1,7	0,7	M Ω
hiervon zweckmäßig Kopplungswiderstand	R_{g1}	1,5	0,5	M Ω
Siebwiderstand	R_{g1sieg}	0,2	0,2	M Ω
Katodenstrom	I_k	75		mA
Gitterstrom - Einsatzpunkt	Bei $I_{g1} = 0,3$ mA ist U_{g1} nie negativer als -1,3 Volt			
Spannung zwischen Faden und Schicht	$U_{f/k}$	125		Volt
Außenwiderstand zwischen Faden und Schicht	$R_{f/k}$	5		k Ω

Mit Rücksicht auf Brummen und andere Störgeräusche sollen nur solche Schaltmittel zwischen Faden und Schicht gelegt werden, die die Gittervorspannung erzeugen.

Zur Vermeidung von UKW-Störschwingungen ist es notwendig, unmittelbar vor das Steuergitter einen Schutzwiderstand von mindestens 1000 Ω oder (und) vor das Schirmgitter einen Widerstand von mindestens 700 Ω zu legen.

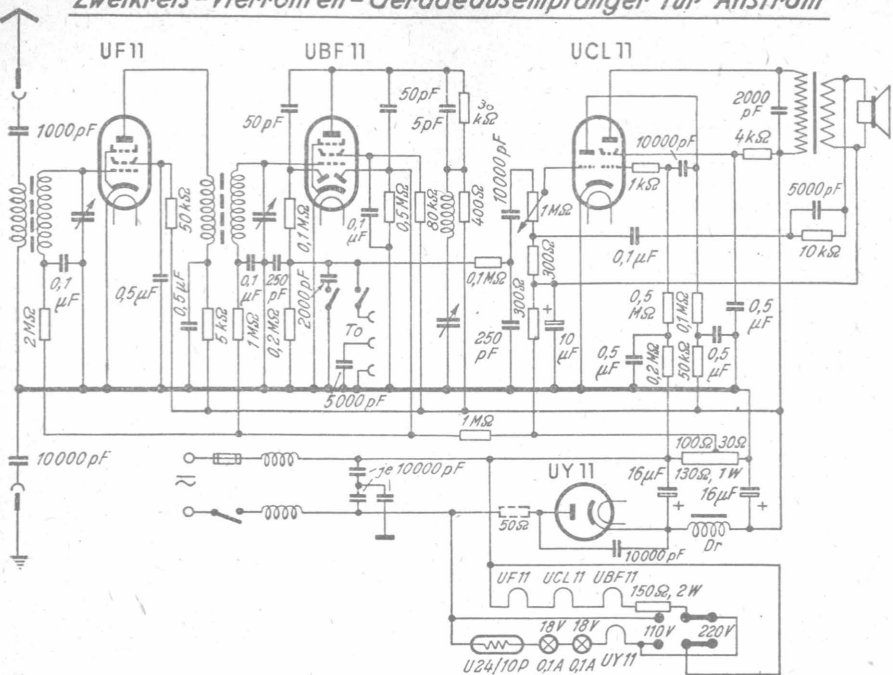
Innere Röhrenkapazitäten:

Eingang (Triode)	$c_{er} (c_{g1kT})$	5,3	pF
Gitter - Anode (Triode)	$c_{gt/aT}$	1,5	pF
Gitter (Triode) - Heizfäden	$c_{gt/f}$	< 0,016	pF
Gitter (Triode) - Anode (Tetrode)	$c_{gt/aQ}$	< 0,02	pF

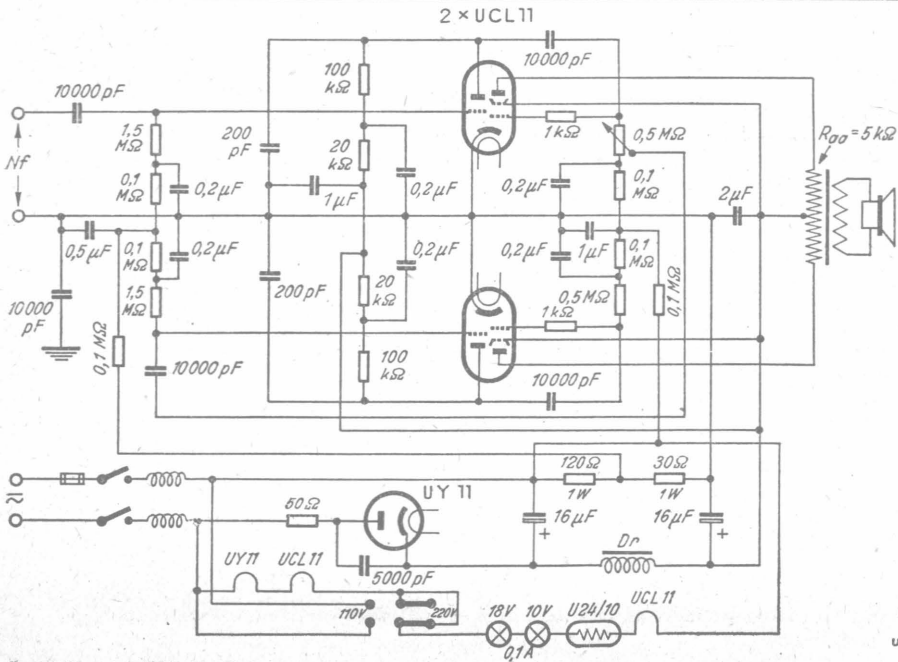
Fritz Künzel

UCL 71

Zweikreis-Vierröhren-Geradeausempfänger für Allstrom



Allstrom-9-Watt-Kraftverstärker mit Phasenumkehr-Eingangsschaltung



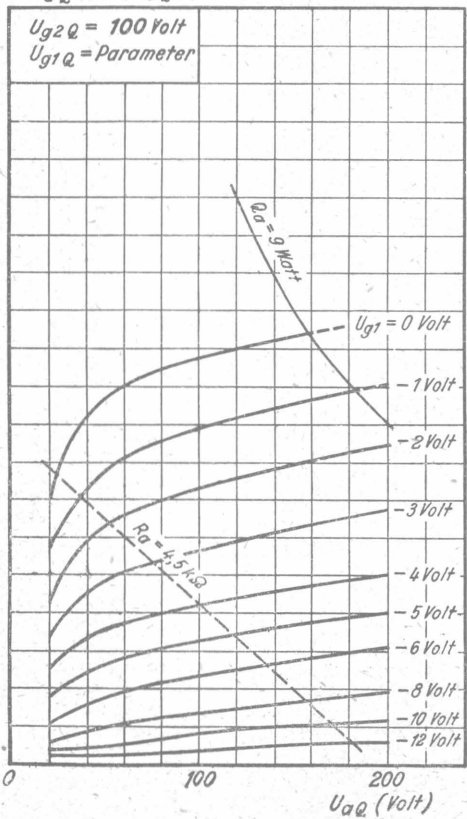
UCL11/2a

Kennlinienfeld 1

$$I_{aQ} = f(U_{aQ})$$

$$U_{g2Q} = 100 \text{ Volt}$$

$$U_{g1Q} = \text{Parameter}$$



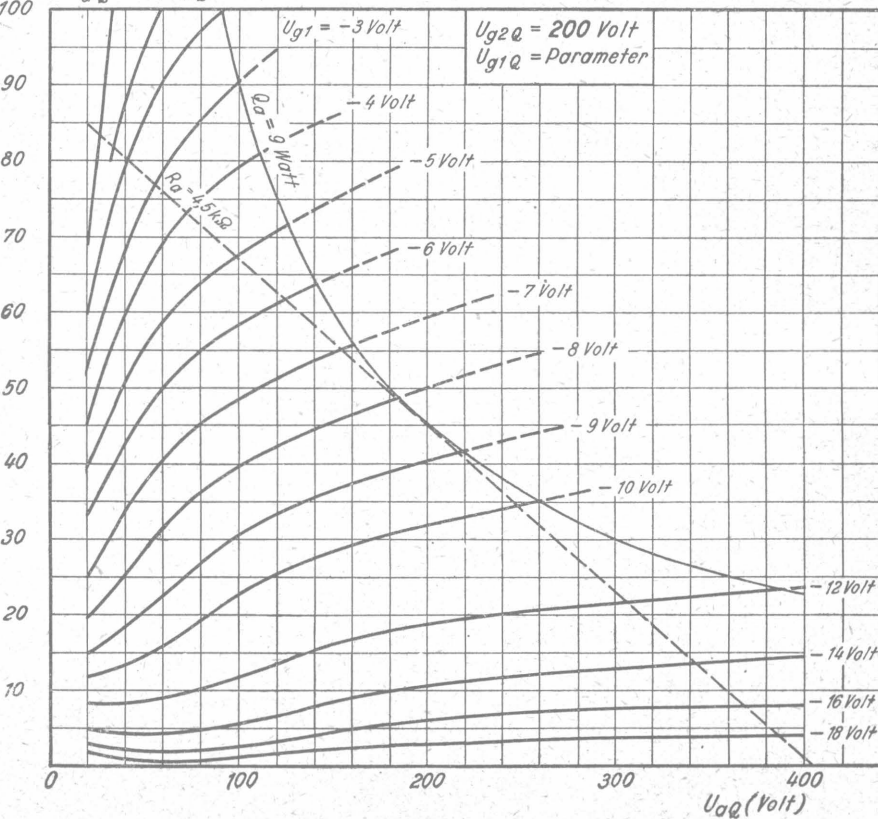
Endtetrodenteil

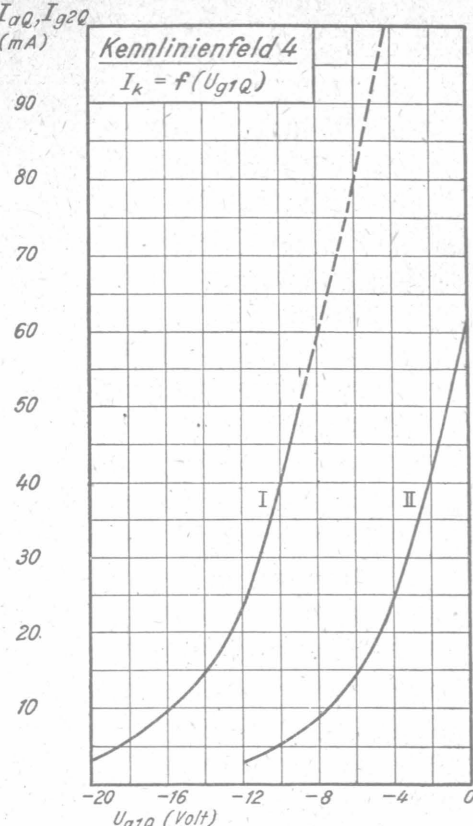
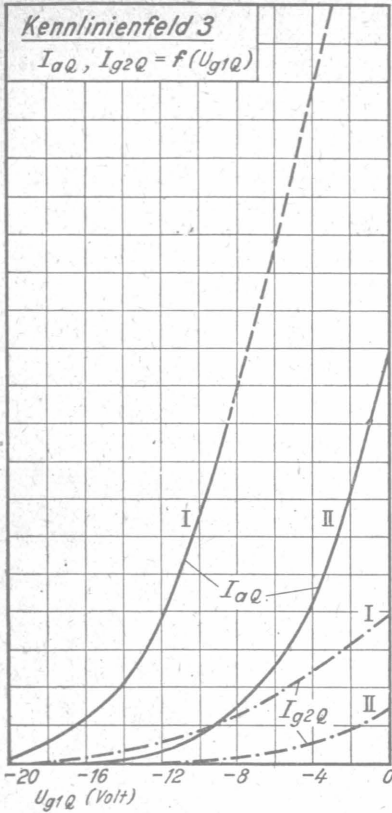
Kennlinienfeld 2

$$I_{aQ} = f(U_{aQ})$$

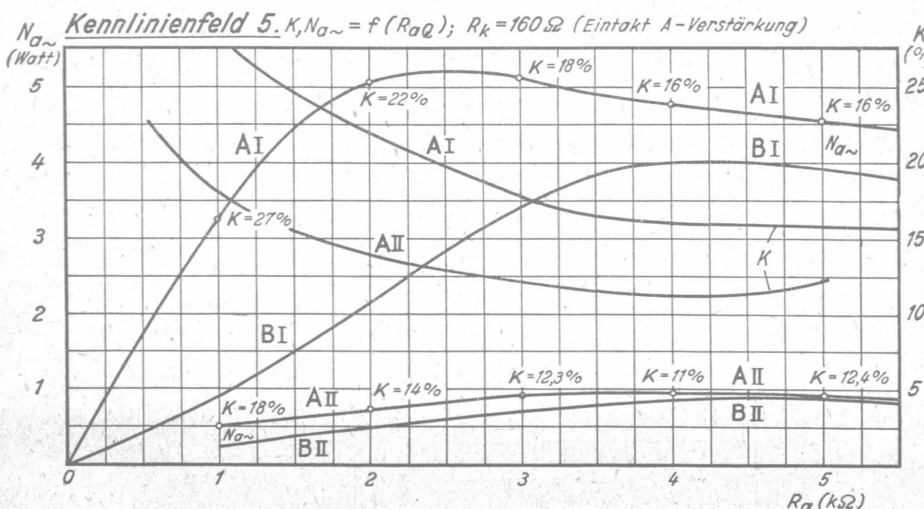
$$U_{g2Q} = 200 \text{ Volt}$$

$$U_{g1Q} = \text{Parameter}$$





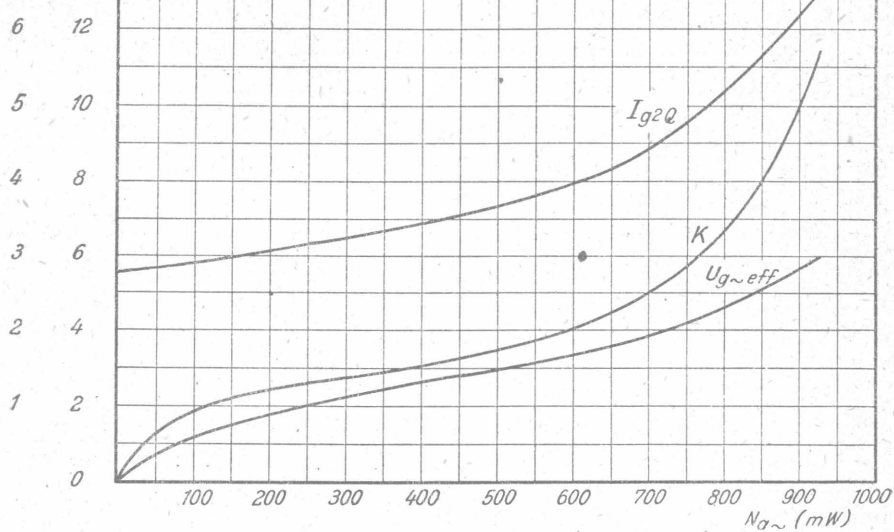
I. $U_{\alpha Q}$ und $U_{g2Q} = 200$ Volt, $U_{g1T} = -2$ Volt, $I_{\alpha T} = 2$ mA
 II. $U_{\alpha Q}$ und $U_{g2Q} = 100$ Volt, $U_{g1T} = -1$ Volt, $I_{\alpha T} = 1$ mA



A. Aussteuerung bis zum Einsatz des Gitterstromes I. U_{α} u. $U_{g2} = 200$ Volt; II. U_{α} u. $U_{g2} = 100$ Volt.
 B. Aussteuerung bis $K = 10\%$. I. U_{α} und $U_{g2} = 200$ Volt; II. U_{α} und $U_{g2} = 100$ Volt.

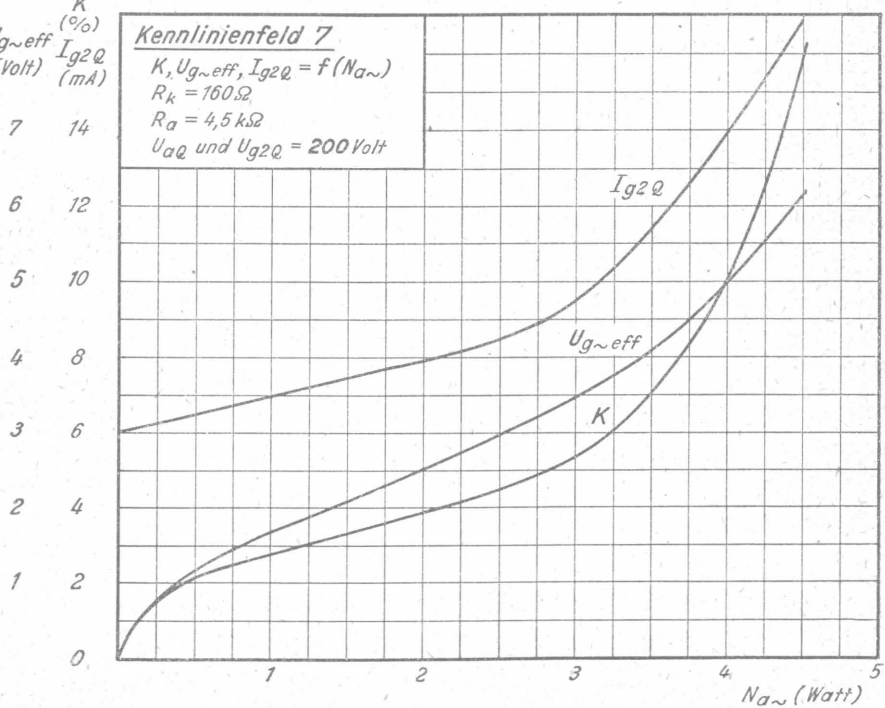
$U_{g\sim eff}$ (Volt)	K (%)
I_{g2Q} (mA)	
7	14

Kennlinienfeld 6
 $K, U_{g\sim eff}, I_{g2Q} = f(N_{a\sim})$
 $R_k = 160 \Omega$
 $R_a = 4,5 \text{ k}\Omega$
 $U_{aQ} \text{ und } U_{g2Q} = 100 \text{ Volt}$



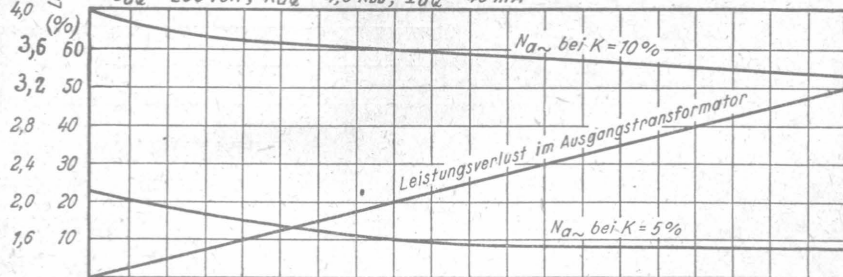
$U_{g\sim eff}$ (Volt)	K (%)
I_{g2Q} (mA)	
7	14

Kennlinienfeld 7
 $K, U_{g\sim eff}, I_{g2Q} = f(N_{a\sim})$
 $R_k = 160 \Omega$
 $R_a = 4,5 \text{ k}\Omega$
 $U_{aQ} \text{ und } U_{g2Q} = 200 \text{ Volt}$

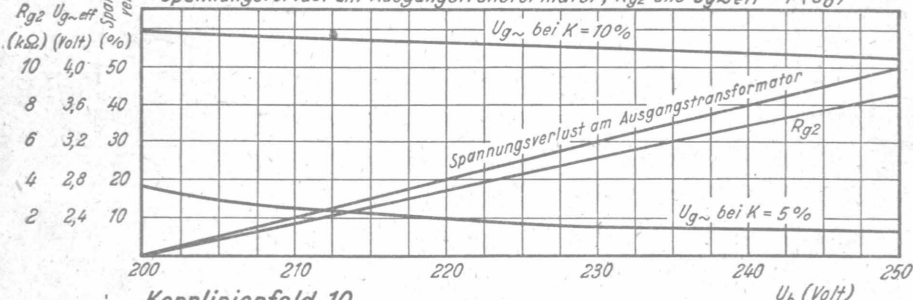


Kennlinienfeld 8

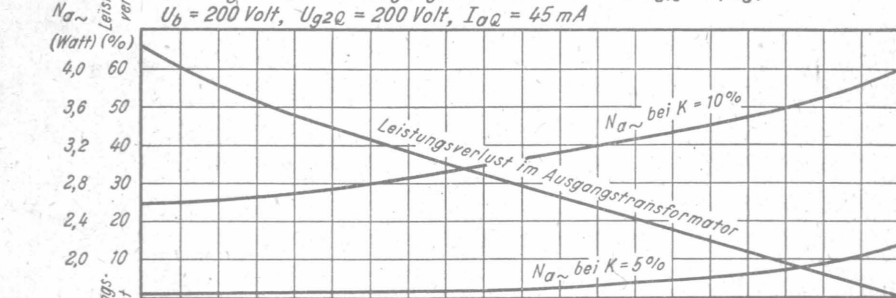
Leistungsverlust im Ausgangstransformator und $N_{\alpha \sim} = f(U_b)$
 $U_{aQ} = 200 \text{ Volt}$, $R_{aQ} = 4,5 \text{ k}\Omega$, $I_{aQ} = 45 \text{ mA}$

**Kennlinienfeld 9**

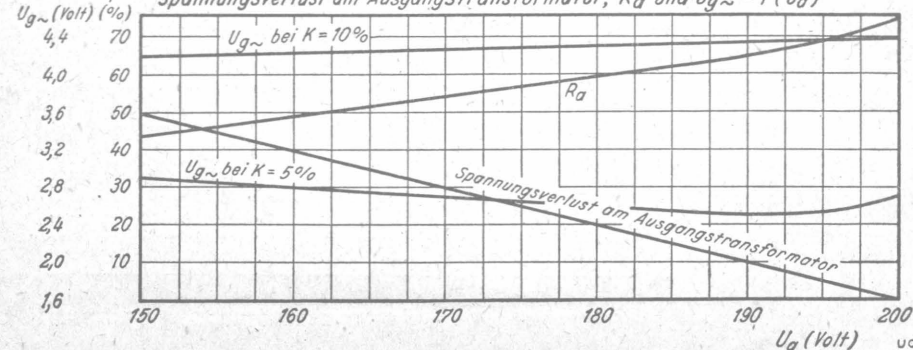
Spannungsverlust am Ausgangstransformator, R_{g2} und $U_{g \sim \text{eff}} = f(U_b)$

**Kennlinienfeld 10**

Leistungsverlust im Ausgangstransformator und $N_{\alpha \sim} = f(U_a)$

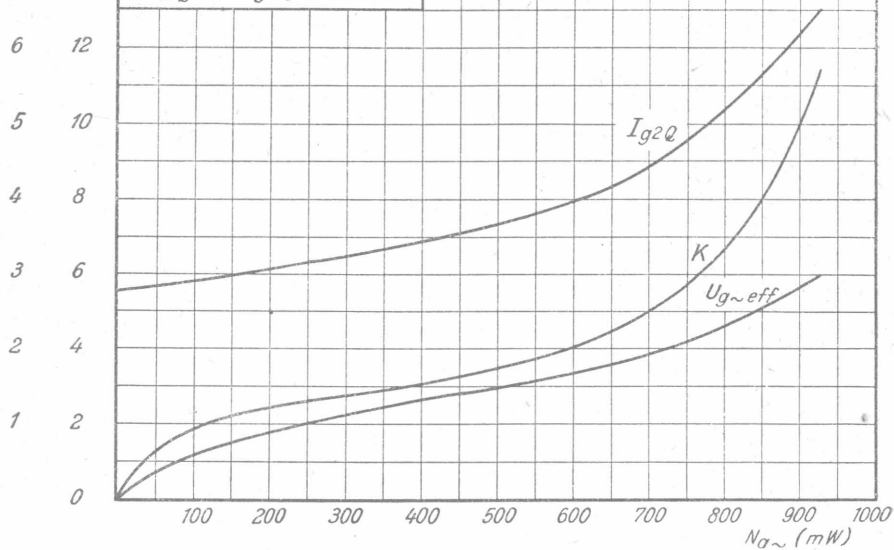
**Kennlinienfeld 11**

Spannungsverlust am Ausgangstransformator, R_a und $U_{g \sim} = f(U_a)$



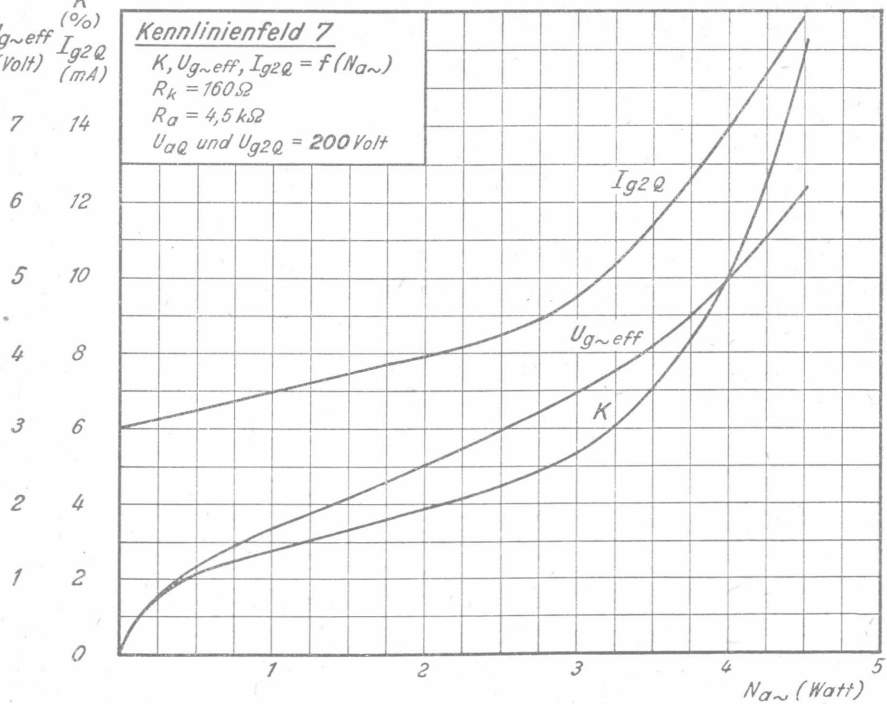
$U_{g\sim eff}$ (Volt)	K (%)
7	14
I_{g2Q} (mA)	

Kennlinienfeld 6
 $K, U_{g\sim eff}, I_{g2Q} = f(N_{a\sim})$
 $R_k = 160 \Omega$
 $R_a = 4,5 \text{ k}\Omega$
 $U_{aQ} \text{ und } U_{g2Q} = 100 \text{ Volt}$



$U_{g\sim eff}$ (Volt)	K (%)
7	14
I_{g2Q} (mA)	

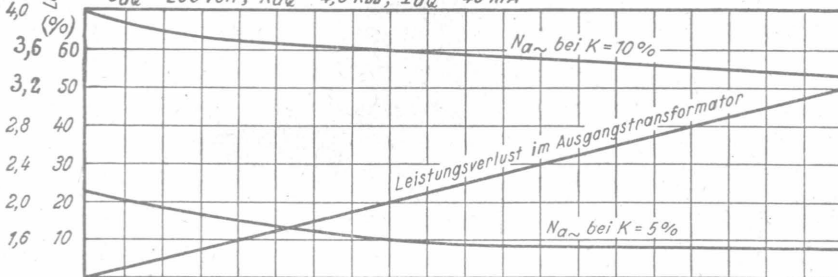
Kennlinienfeld 7
 $K, U_{g\sim eff}, I_{g2Q} = f(N_{a\sim})$
 $R_k = 160 \Omega$
 $R_a = 4,5 \text{ k}\Omega$
 $U_{aQ} \text{ und } U_{g2Q} = 200 \text{ Volt}$



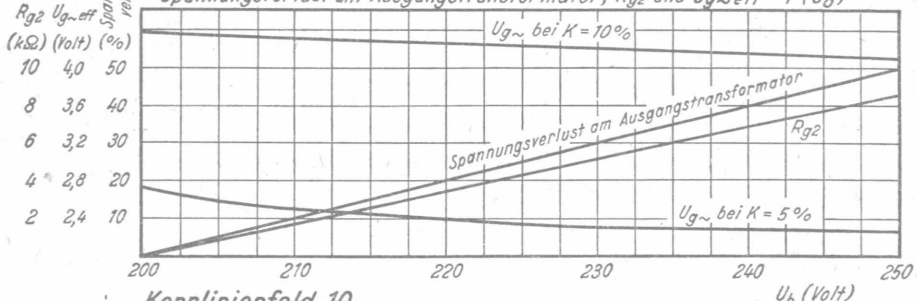
UCL 11

Kennlinienfeld 8

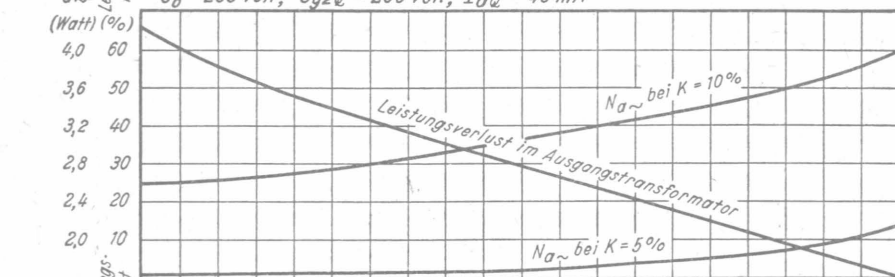
Leistungsverlust im Ausgangstransformator und $N_{\alpha\sim} = f(U_b)$
 $U_{aQ} = 200 \text{ Volt}$, $R_{aQ} = 4,5 \text{ k}\Omega$, $I_{aQ} = 45 \text{ mA}$

**Kennlinienfeld 9**

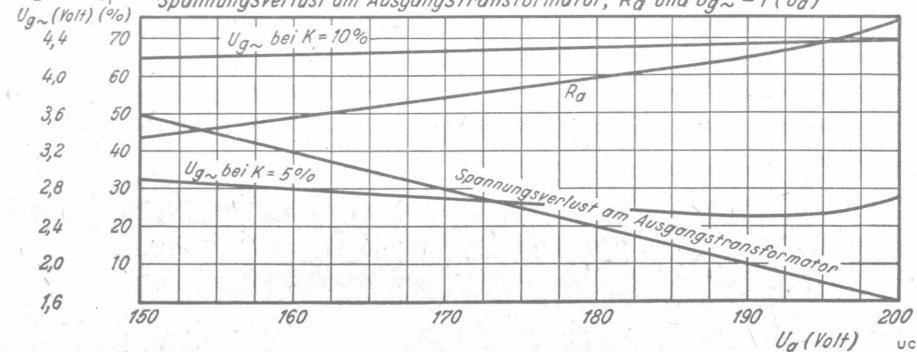
Spannungsverlust am Ausgangstransformator, R_{g2} und $U_{g\sim\text{eff}} = f(U_b)$

**Kennlinienfeld 10**

Leistungsverlust im Ausgangstransformator und $N_{\alpha\sim} = f(U_a)$
 $U_b = 200 \text{ Volt}$, $U_{g2Q} = 200 \text{ Volt}$, $I_{aQ} = 45 \text{ mA}$

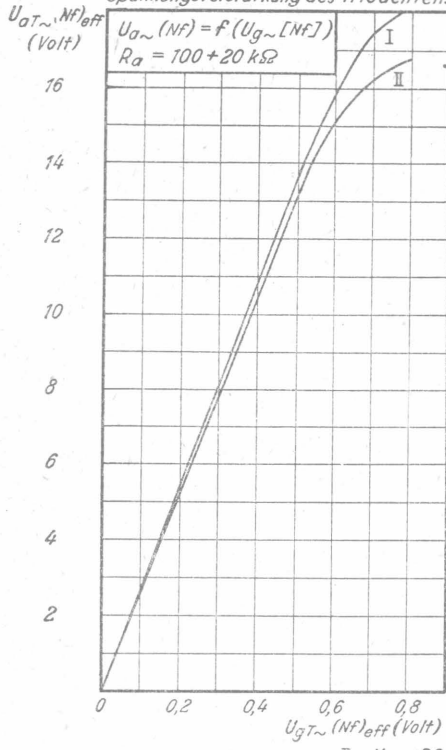
**Kennlinienfeld 11**

Spannungsverlust am Ausgangstransformator, R_a und $U_{g\sim} = f(U_a)$



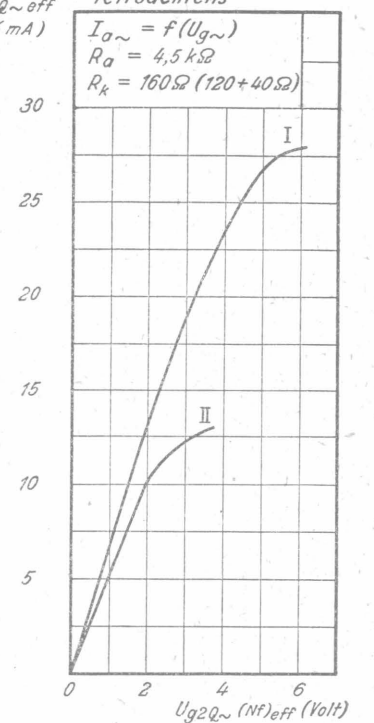
Kennlinienfeld 12

Spannungsverstärkung des Triodenteils

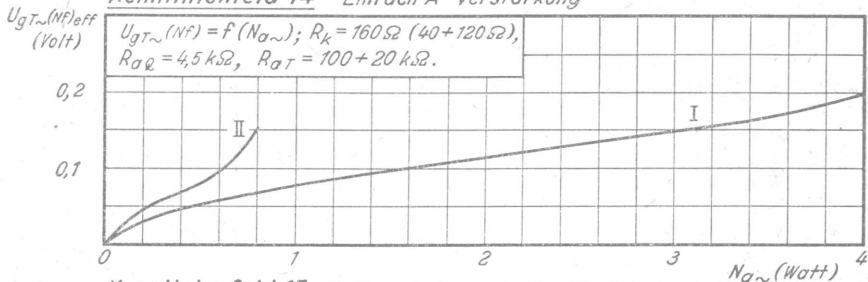


Kennlinienfeld 13

Verstärkung des Tetrodenteils

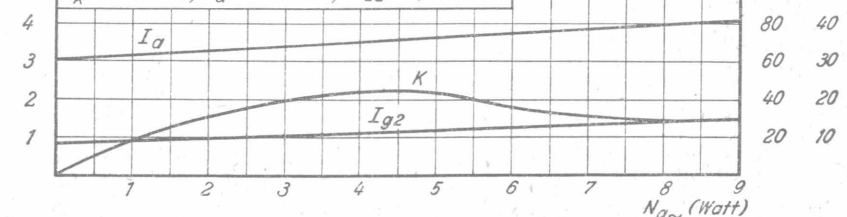


Kennlinienfeld 14 Einfach A - Verstärkung

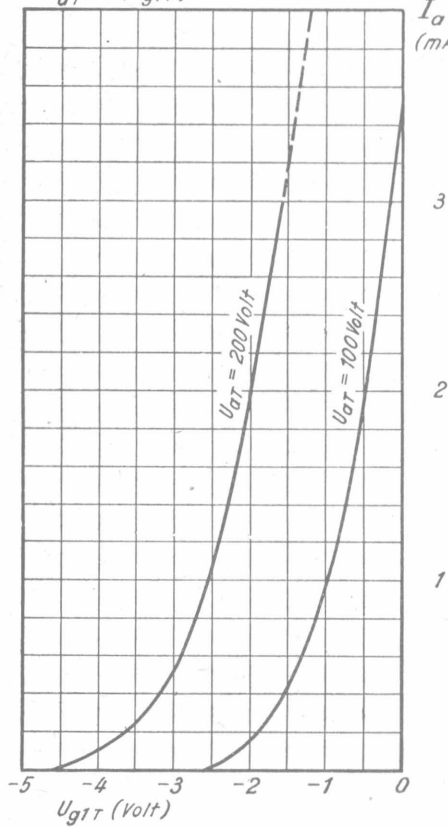


Kennlinienfeld 15 2 Röhren in Gegenakt - AB - Schaltung

I_a, I_{g2} und $K = f(N_{o\sim})$; U_a und $U_{g2} = 200$ Volt,
 $R_k = 2 \times 270\Omega$, $I_a = 2 \times 33$ mA, $R_{aa} = 4.5$ k\Omega.

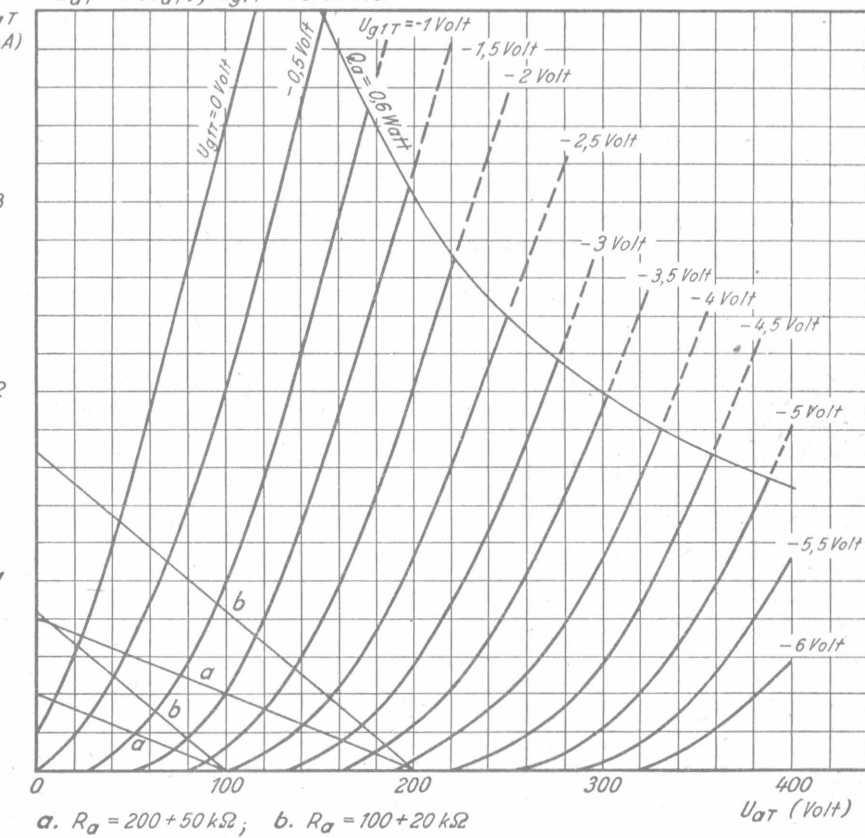


Kennlinienfeld 16
 $I_{aT} = f(U_{g1T})$



Triodenteil

Kennlinienfeld 17
 $I_{aT} = f(U_{aT}), U_{g1T}$ = Parameter



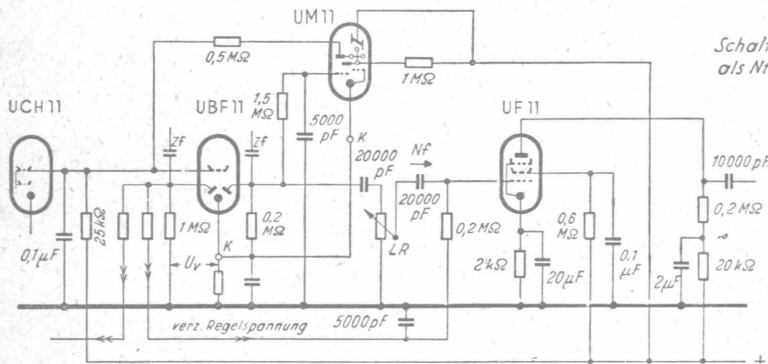
a. $R_a = 200 + 50 k\Omega$; b. $R_a = 100 + 20 k\Omega$

UF11

Betriebswerte (Fortsetzung):

b. als Nf-Regelröhre (in RC-Kopplung)

Betriebsspannung	U_b	200	200	200	200	100	100	100	V
Außenwiderstand	R_a	0,3	0,2	0,1	0,05	0,3	0,2	0,1	0,05 MΩ
Siebwiderstand	R_{Sieb}	20	20	20	20	20	20	20	20 kΩ
Schirmgittervorwiderstand	R_{g2}	1	0,6	0,4	0,2	1	0,6	0,4	0,2 MΩ
Katodenwiderstand	R_k	3000	2000	1600	800	3000	2000	1600	800 MΩ
Gittervorwiderstand	U_{g1}	-2 -20	-2 -20	-2 -20	-2 -20	-1 -10	-1 -10	-1 -10	-1 -10 V
Anodenstrom	I_a	0,5	-	0,78	-	1,15	-	2,1	- mA
Schirmgitterstrom	I_{g2}	0,17	-	0,27	-	0,38	-	0,74	- mA
Spannungsverstärkung	V	80	10	80	10	65	5	50	5 fach
Klirrfaktor ($U_{a\sim} = 5 \text{ Veff}$)	K	1,3	4	1,3	4	1,3	4	-	- %
($U_{a\sim} = 3 \text{ Veff}$)	K	-	-	-	-	-	1	4,5	1 5 %



Schaltung der UF11
als Nf-Regelröhre

Grenzwerte:

Anodenspannung

Anodenkaltspannung

Schirmgitterspannung ($I_a = 6 \text{ mA}$)
($I_a \leq 3 \text{ mA}$)

Schirmgitterkaltspannung

Anodenverlustleistung

Schirmgitterverlustleistung

Innenwiderstand bei

$U_a = 200 \text{ V}, U_{g2} = 80 \text{ V}, I_a = 6 \text{ mA}$

$U_a = 100 \text{ V}, U_{g2} = 40 \text{ V}, I_a = 2,6 \text{ mA}$

Katodenstrom

Gitterableitwiderstand

Gitterstrom-Einsatzpunkt

Bei $I_{g1} = 0,3 \text{ mA}$ ist U_{g1} nie negativer als -1,3 Volt

Spannung zwischen Fäden und Schicht $-U_{f/k} \text{ max}$ 200 Volt

Außenwiderstand zwischen Fäden u. Schicht $R_{f/k} \text{ max}$ 20 kΩ

Mit Rücksicht auf Brummen und andere Störgeräusche sollen nur sol-

che Schaltmittel zwischen Fäden und Schicht gelegt werden, die die

Gitterspannung erzeugen.

Innere Röhrenkapazitäten

Eingang

$c_e (c_{g1/k})$ 7,5 pF

Ausgang

$c_a (c_{a/k})$ 6,7 pF

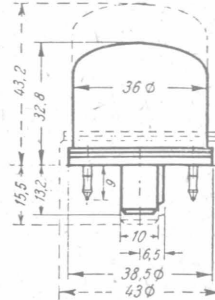
Gitter1 - Anode

$c_{g1/a}$ < 0,003 pF

Heizfäden - Gitter 1

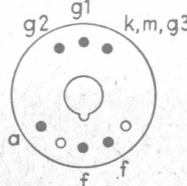
$c_{f/g1}$ < 0,008 pF

Kolbenabmessungen



Gestrichelt: Ältere Ausführung
Ausgezogen: Neue Ausführung

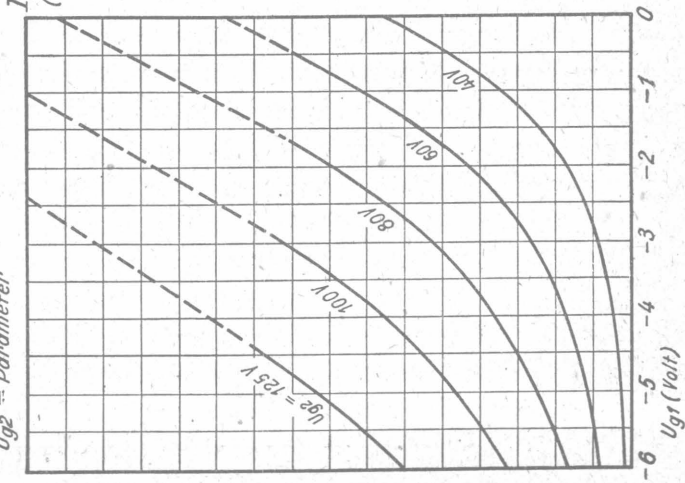
Socket
von unten gesehen



Fritz Künze

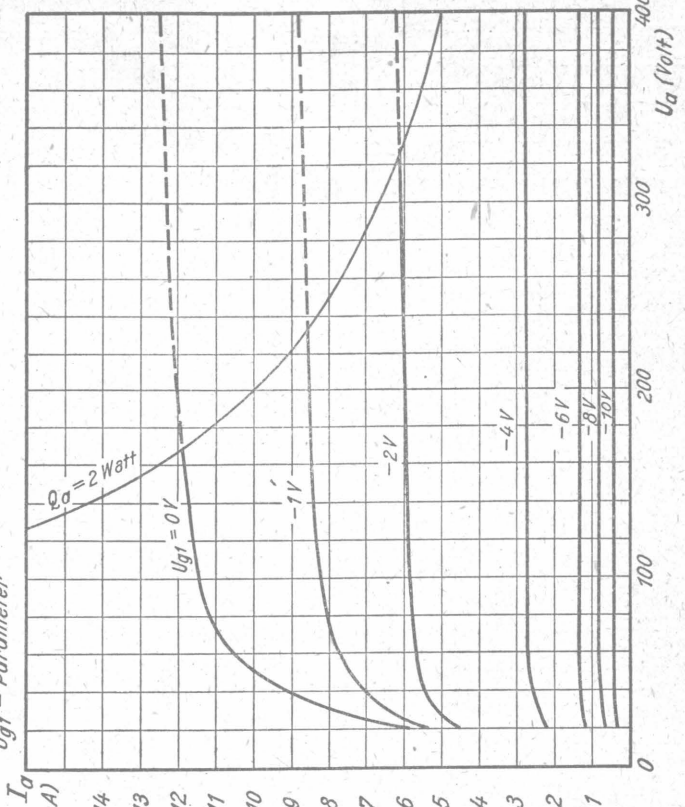
Kennlinienfeld 1

$I_k = f(U_{g1})$
 $U_a = 100 \dots 200 \text{ Volt}$
 $U_{g2} = \text{Parameter}$



Kennlinienfeld 2

$I_\sigma = f(U_a)$
 $U_{g2} = 80 \text{ Volt}$
 $U_{g1} = \text{Parameter}$



Kennlinienfeld 3

$$I_a = f(U_{g1})$$

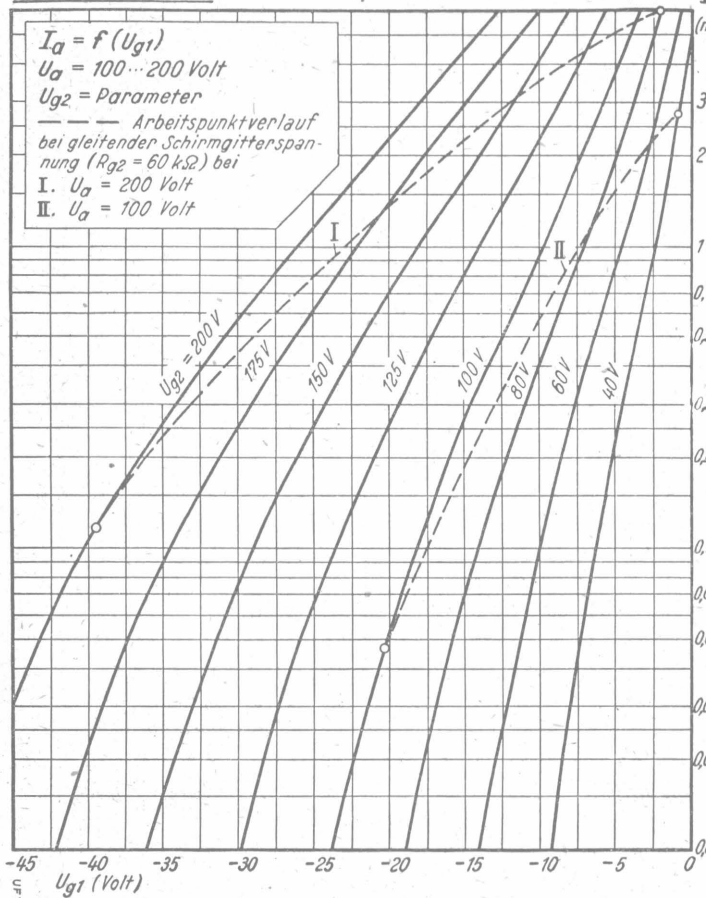
$$U_g = 100 \dots 200 \text{ Volt}$$

Ug_2 = Parameter

— — — Arbeitspunktverlauf bei gleitender Schirmgitterspannung ($R_{G2} = 60 \text{ k}\Omega$) bei

$$\text{I. } U_d = 200 \text{ Volt}$$

$$\text{II. } U_a = 100 \text{ Volt}$$



Ig Kennlinienfeld 4

$$S = f(Ug_1)$$

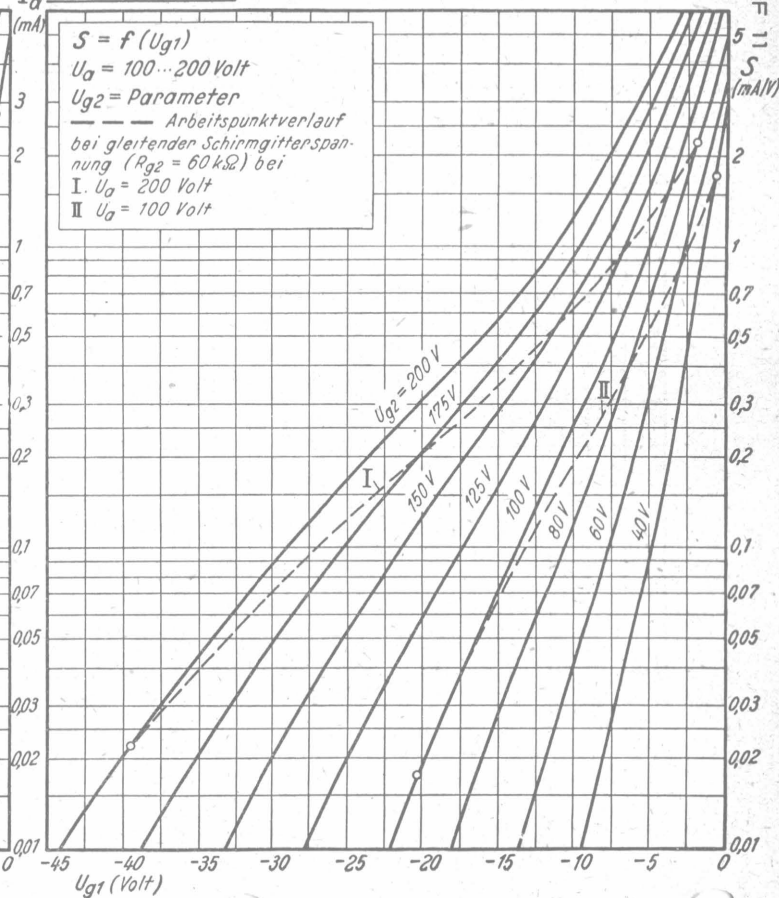
$U_d = 100 \dots 200 \text{ Volt}$

$1/a^2 = \text{Parameter}$

— — — Arbeitspunktverlauf bei gleitender Schirmgitterspannung ($R_{G2} = 60\text{ k}\Omega$) bei

$$I \cdot U_g = 200 \text{ Volt}$$

$$\text{II } U_d = 100 \text{ Volt}$$



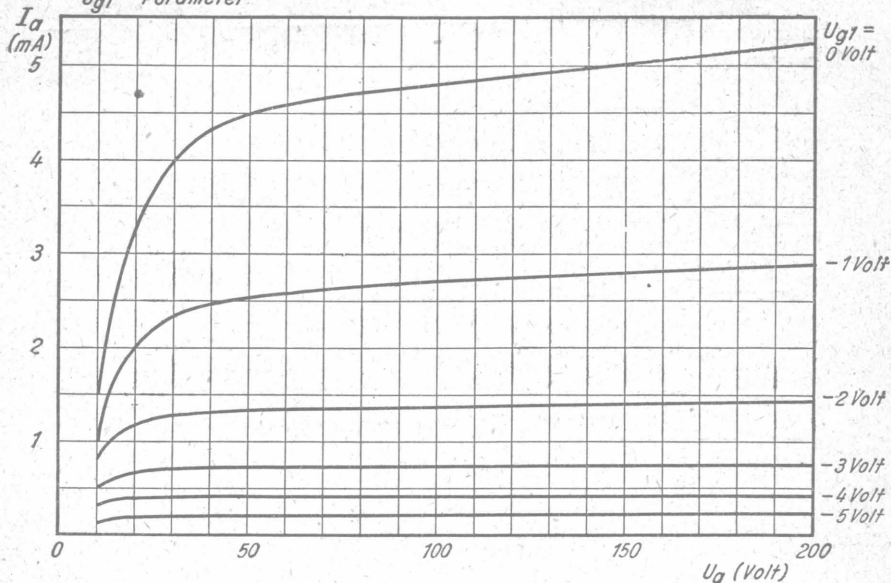
Kennlinienfeld 5

UF 11
Blatt 3

$$I_a = f(U_a)$$

$$U_{g2} = 40 \text{ Volt}$$

$$U_{g1} = \text{Parameter}$$

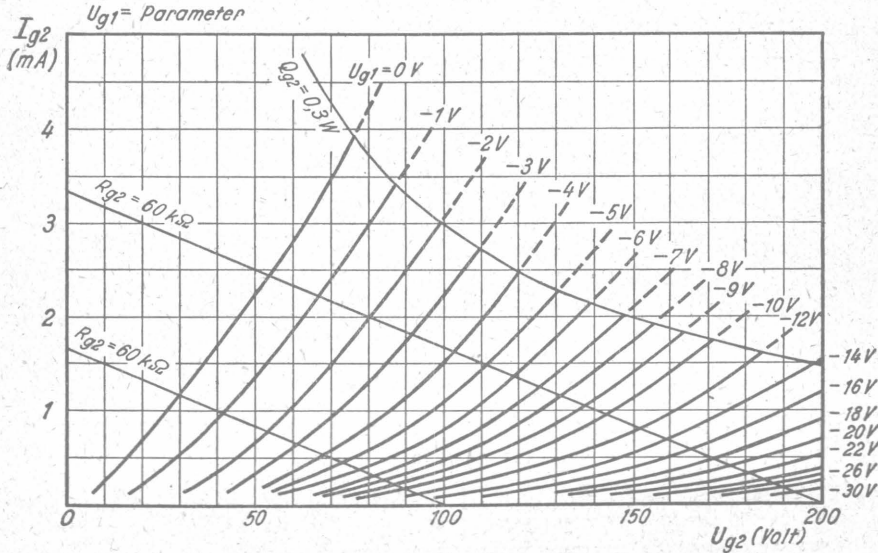


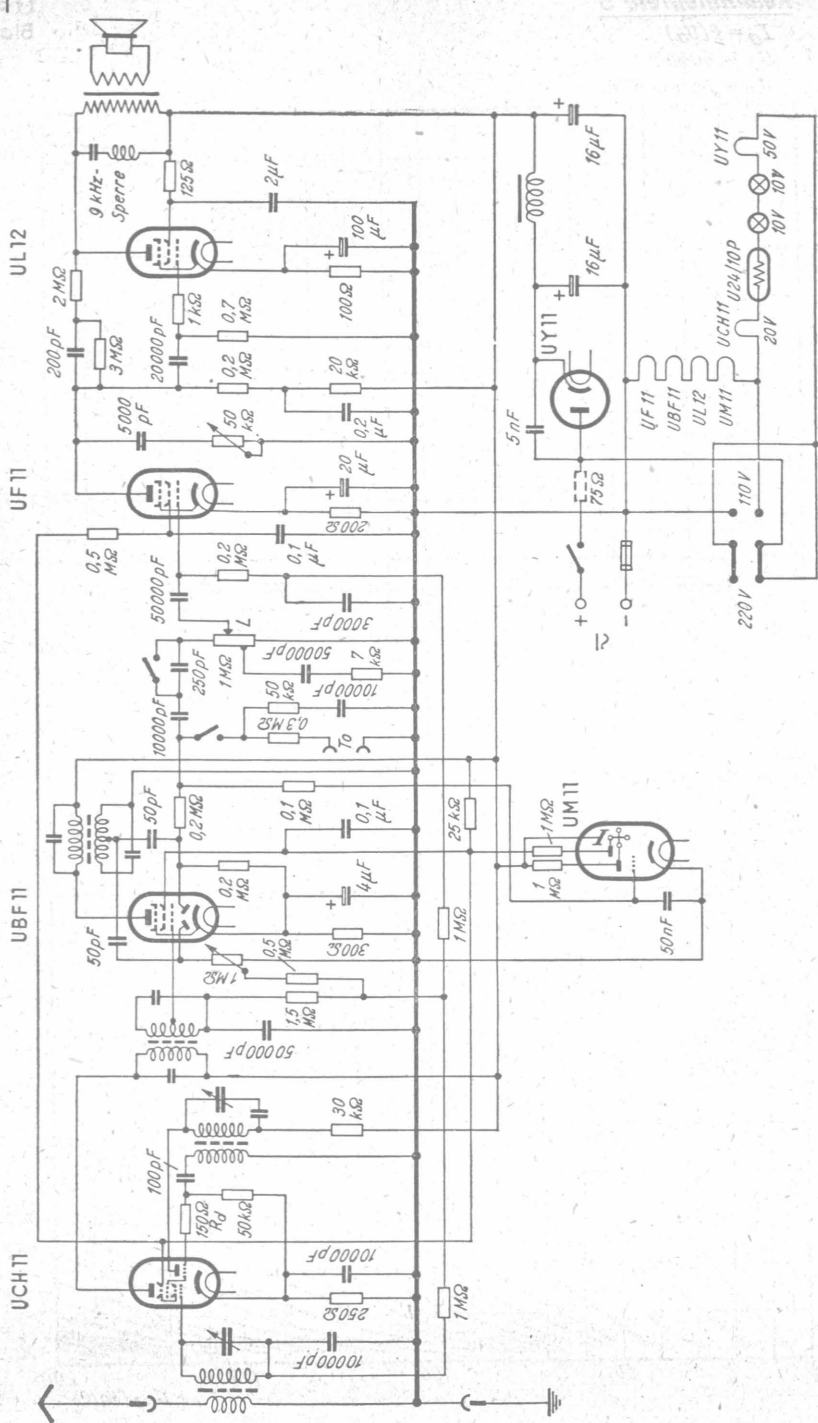
Kennlinienfeld 6

$$I_{g2} = f(U_{g2})$$

$$U_a = 100 \dots 200 \text{ Volt}$$

$$U_{g1} = \text{Parameter}$$



Allstrom - Spitzensuper



Röhren-Dokumente

Stahlröhre, Triode - Hexode

für regelbare Mischstufen

FUNKWERK - Sammlung, Gruppe Röhrentechnik

VCH 11

4 Blätter

Heizung:

Indirekt geheizte Kathode für Allstrom

Heizspannung	U_f	40	Volt
Heizstrom	I_f	50	mA

\approx
mA ind.

Meßwerte (statisch):

1. Triodenteil

Anodenspannung	U_{AT}	150	115	100	60	Volt
Gittervorspannung	U_{G1T}	0	-8	0	-5	Volt
Anodenstrom	I_{AT}	21	0,5	1,2	0,2	mA
Stellheit	S	3,2	0,2	3	0,2	mA/V
Durchgriff	D	5,8	6	5,8	6	%
Innenwiderstand	R_i	5,4	81	5,8	81	MΩ

Siehe auch das Kennlinienfeld 5.

2. Hexodenteil

Anodenspannung	U_{AH}	200	100	Volt
Schirmgitterspannung	U_{G2+4}	80	40	Volt
Gitterspannung	U_{G3}	-8	-5	Volt
Gittervorspannung	U_{G1H}	-2	-1	Volt
Anodenstrom	I_{AH}	2,0	0,6	mA
Schirmgitterstrom	I_{G2+4}	3,0	1,4	mA
Mischstelheit	S_c	0,68	0,5	mA/V
Innenwiderstand	R_i	1	1	MΩ

Siehe auch die Kennlinienfelder 1...4, 6, 7.

Betriebswerte:

1. Triodenteil (in schwingendem Zustande, bei mittlerer Kreisgüte)

Betriebsspannung	U_b	200	100	Volt
Anodenwiderstand	R_{AT}	30	30	kΩ
Anodenspannung	U_{AT}	115	60	Volt
Oszillatorenspannung 1) U_{OSZ}	-8	-5	Volt	
Anodenstrom	I_{AT}	2,85	1,3	mA
Gitterableitwiderstand	R_{G1T}	50	50	kΩ
Durchgriff	D	6	6	%

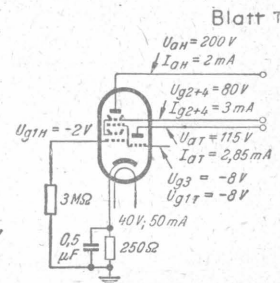
2. Hexodenteil

a) Schirmgitterspannung fest

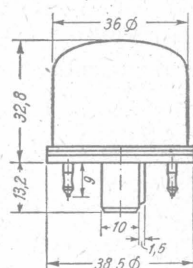
Anodenspannung	U_{AH}	200	100	Volt
Schirmgitterspannung	U_{G2+4}	80	40	Volt
Oszillatorenspannung 1) U_{G3}	-8	-5	Volt	
Katodenwiderstand	R_k	250	250	Ω
Regelbereich	ϕ	: 100 : 400 (opt.)	1 : 100 : 300 (opt.)	Volt
Gittervorspannung	U_{G1H}	-2 -12 -16	-1 -6,5 -8,5	Volt
Mischstelheit	S_c	680 6,8 1,7	500 5 1,6	μA/V
Innenwiderstand	R_i	>1 >10 >10	>1 >10 >10	MΩ

b) Schirmgitterspannung über Vorwiderstand $R_{G2+4} = 40 \text{ k}\Omega$ (vollgleitend)

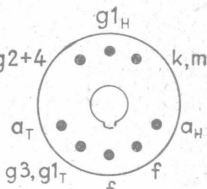
Betriebsspannung	U_b	200	100	Volt
Oszillatorenspannung 1) U_{G3}	-8	-5	Volt	
Katodenwiderstand	R_k	250	250	Ω
Regelbereich	τ	: 100 : 400 (opt.)	1 : 100 : 300 (opt.)	Volt
Schirmgitterspannung	U_{G2+4}	80 194 199	41 96 98	Volt
Gittervorspannung	U_{G1H}	-2 -20 -26	-1 -11 -13,5	Volt
Mischstelheit	S_c	680 6,8 1,7	510 5,1 1,7	μA/V
Innenwiderstand	R_i	>1 >0,5 >0,8	>1 >0,9 >1	MΩ



Kolbenabmessungen



Socket von unten gesehen



c) Schirmgitterspannung über Spannungsteiler ($R_{g2/+} = 30 \text{ k}\Omega$, $R_{g2/-} = 80 \text{ k}\Omega$) (schwachgleitend)

Betriebsspannung	U_b	200	100	Volt
Oszillatorschaltung	U_{g3}	-8	-5	Volt
Katodenwiderstand	R_k	250	250	Ω
Regelbereich		1 : 100	1 : 100	
Schirmgitterspannung	U_{g2+4}	80	143	(opt)
Gittervorspannung	U_{g1H}	-2	-17	-22,5
Mischsteilheit	S_c	680	6,8	1,7
Innenwiderstand	R_i	>1	>7	>10

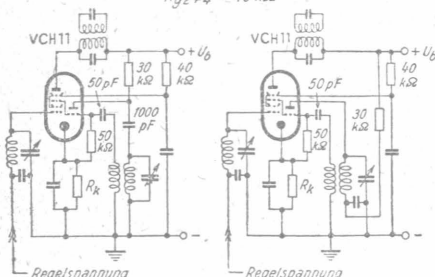
1) Im schwingenden Zustand ist $U_{osz} = -U_{g1T} = -U_{g3} = -I_{g1T} \times R_{g1T}$ ($50 \text{ k}\Omega$).

Zur Konstanthaltung der Schwingamplitude im Kurzwellengebiet ist ein zusätzlicher Dämpfungs-widerstand R_d zweckmäßig.

Weitere Kennlinienfelder siehe bei der UCH 11, die denselben Systemaufbau wie die VCH 11 hat.

Schirmgitterspannung über Vorwiderstand

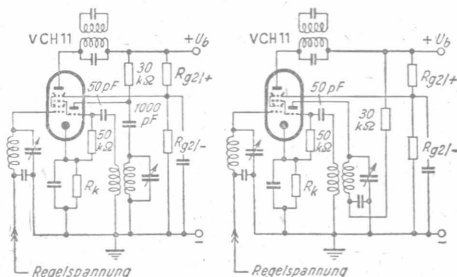
$R_{g2+4} = 40 \text{ k}\Omega$



Anodenvorwiderstand des Triodenteils parallel zum Oszillatorkreis

Anodenvorwiderstand des Triodenteils in Reihe mit dem Oszillatorkreis

Schirmgitterspannung über Spannungsteiler



Anodenwiderstand des Triodenteils in Reihe mit dem Oszillatorkreis

Grenzwerte:

		des Triodenteils	des Hexodenteils
Anodenspannung	U_a max	150	250 Volt
Anodenkaltspannung	U_{aL} max	550	550 Volt
Schirmgitterspannung	U_{g2+4} max	{ $I_{aH} = 2,0 \text{ mA}$ $I_{aH} \leq 1,0 \text{ mA}$	{ 125 Volt 250 Volt
Schirmgitterkaltspannung	U_{g2+4L} max	—	550 Volt
Anodenbelastung	R_a max	1,0	1,5 Watt
Schirmgitterbelastung	R_{g2+4} max	—	0,5 Watt
Innenwiderstand	R_i min	{ $200V U_{g2+4} I_{aH}$ 80V 2mA — 100V 40V 0,6mA —	{ $0,7 \text{ M}\Omega$ $1 \text{ M}\Omega$ $3 \text{ M}\Omega$
Gitterableitwiderstand	R_{gt} max	0,05	—
Katodenstrom	I_k max	15	mA
Gitterstrom-Einsatzpunkt bei $U_{ge} = -1,3 \text{ Volt}$	I_{gTH} $I_{g3} = I_{g1T}$	$\leq 0,3 \mu\text{A}$ $\leq 0,3 \mu\text{A}$	μA
Spannung zwischen Fäden und Schicht	$U_{f/k}$ max	200	Volt
Außenwiderstand zwischen Fäden u. Schicht	$R_{f/k}$ max	20	$\text{k}\Omega$

2) Mit Rücksicht auf Brummen und andere Störgeräusche sollen nur solche Schaltmittel zwischen Fäden und Schicht gelegt werden, die Gittervorspannung erzeugen.

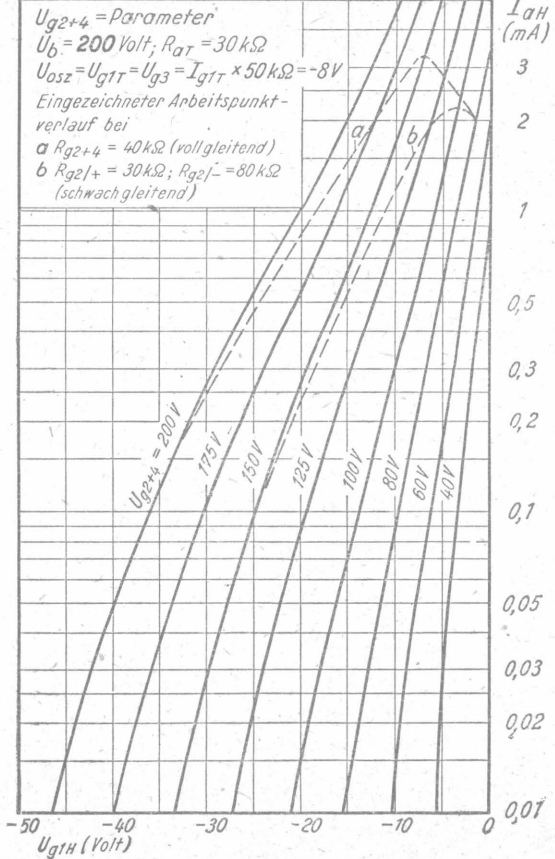
Innere Röhrenkapazitäten:

		des Triodenteils	des Hexodenteils
Eingang	c_e ($c_{g/k}$)	4,7	6,2 pF
Ausgang	c_a ($c_{a/k}$)	2,7	9,1 pF
Gitter 1 - Anode	$c_{gt/a}$	< 1,5	< 0,002 pF
Gitter 1 - Gitter 3	$c_{gt/g3}$	—	< 0,2 pF
Gitter 1 - Heizfaden	$c_{gt/f}$	—	< 0,001 pF

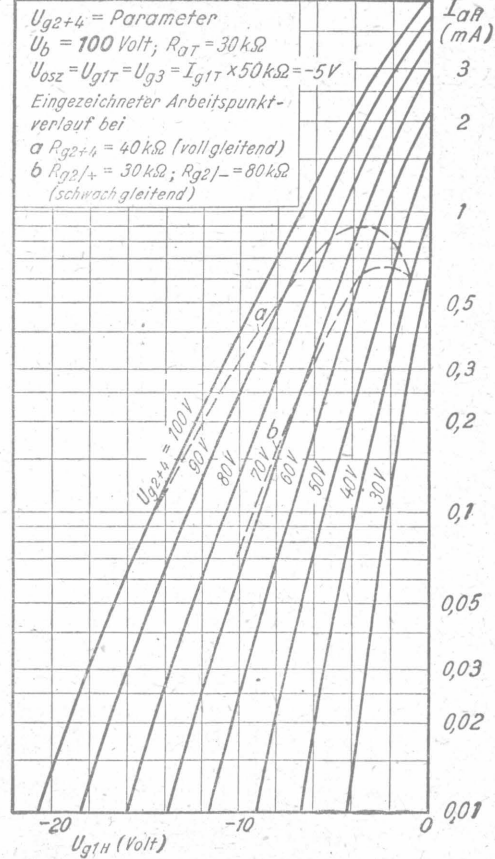
Für kurze Längen

VCH

Kennlinienfeld 1 $I_{aH} = f(U_{g1H})$ Anodenströme



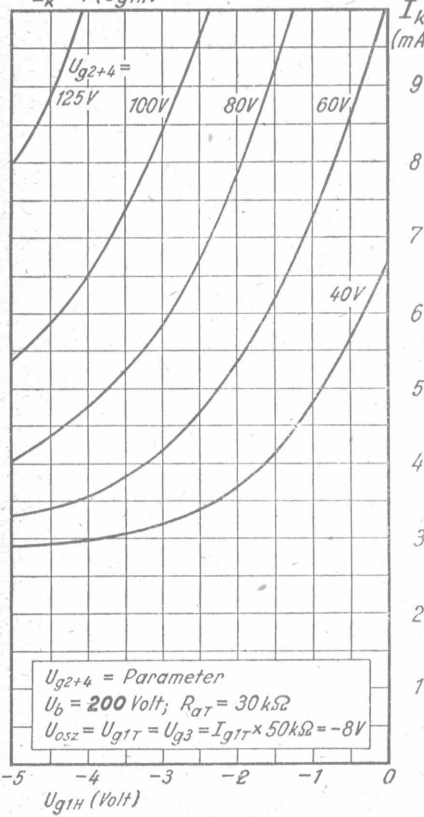
Kennlinienfeld 2 $I_{aH} = f(U_{g1H})$



Katodenströme

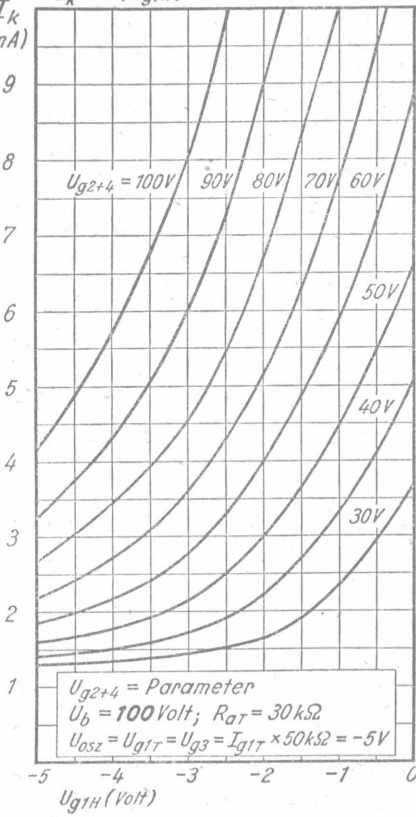
Kennlinienfeld 3

$$I_k = f(U_{g1H})$$



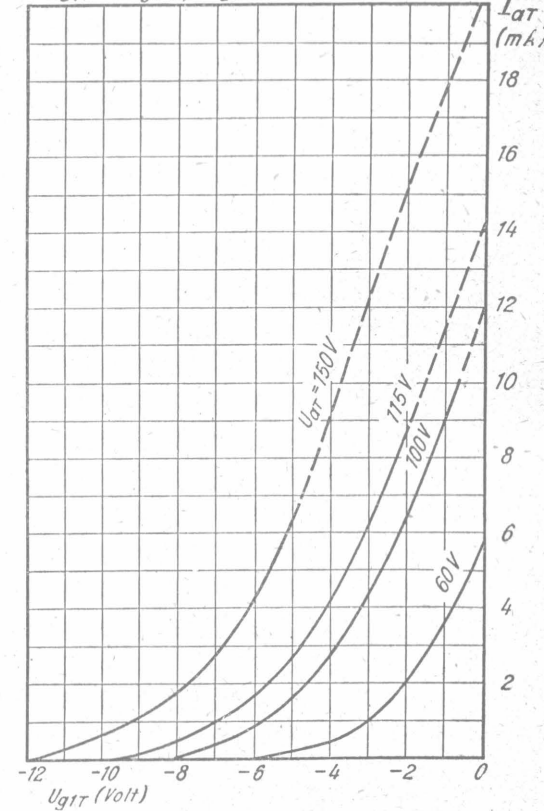
Kennlinienfeld 4

$$I_k = f(U_{g1H})$$



Kennlinienfeld 5

$$I_{aT} = f(U_{g1T}); U_{aT} = \text{Parameter}$$



Schirmgitterströme

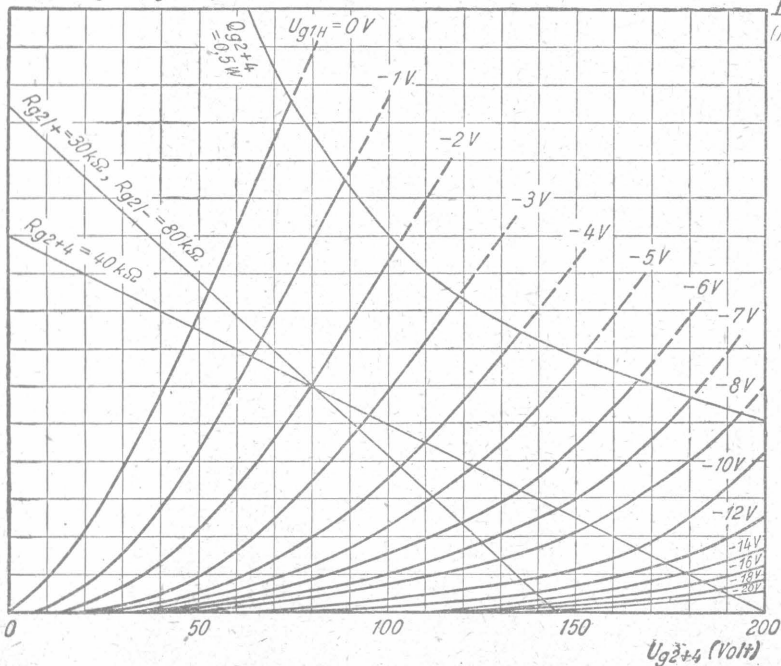
Kennlinienfeld 6

$$I_{g2+4} = f(U_{g2+4})$$

U_{g1H} = Parameter

$U_b = 200 \text{ Volt}$

$$U_{0sz} = U_{g1T} = U_{g3} = I_{g1T} \times 50 \text{ k}\Omega = -8 \text{ Volt}$$



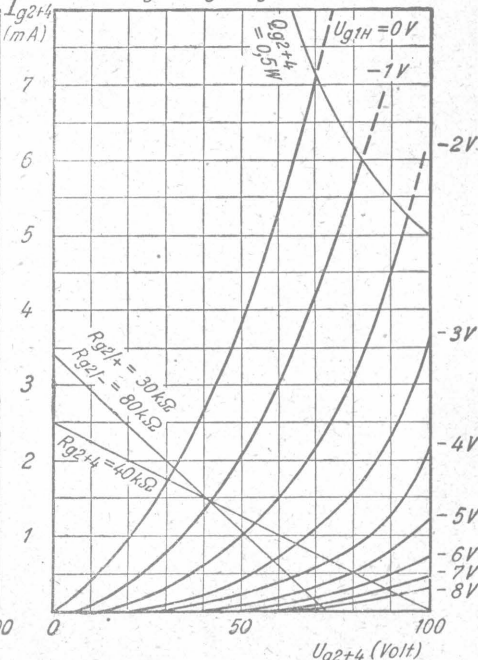
Kennlinienfeld 7

$$I_{g2+4} = f(U_{g2+4})$$

U_{g1H} = Parameter

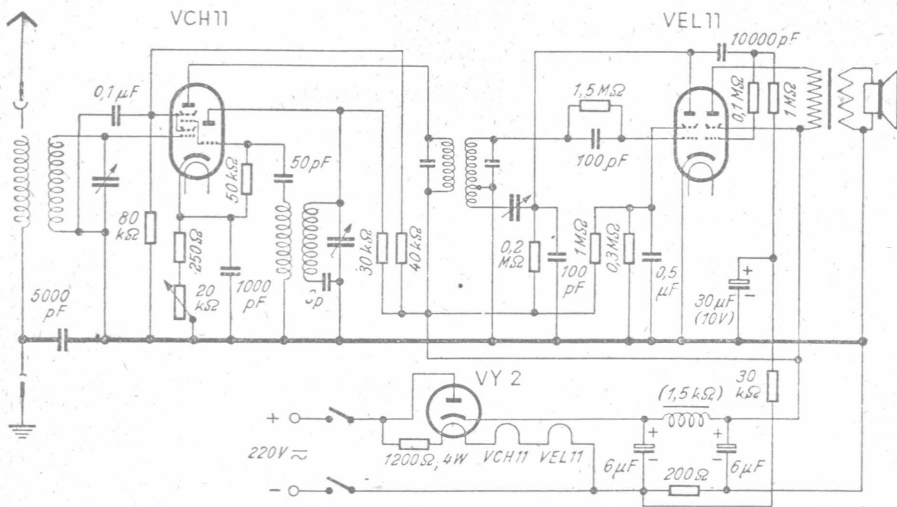
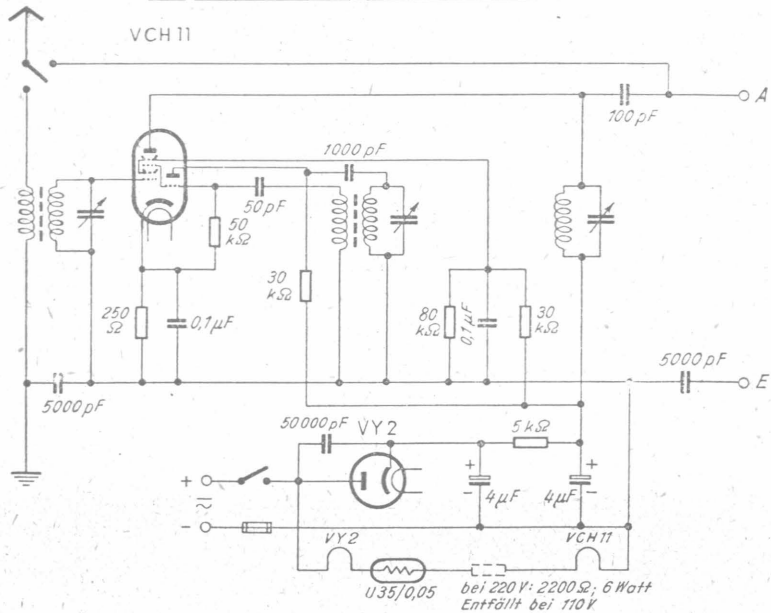
$U_b = 100 \text{ Volt}$

$$U_{0sz} = U_{g1T} = U_{g3} = I_{g1T} \times 50 \text{ k}\Omega = -5 \text{ V}$$



4 Kreis Kleinstsuper für Allstrom

Stromverbrauch nur 19 Watt!

Supervorsatzgerät mit der vCH 11

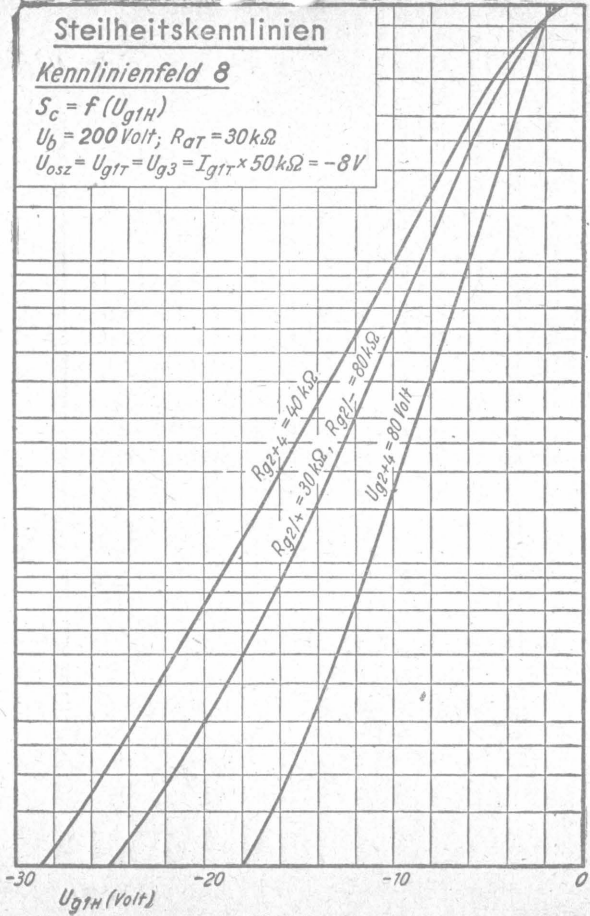
Steilheitskennlinien

Kennlinienfeld 8

$$S_C = f(U_{g1H})$$

$U_b = 200 \text{ Volt}; R_{aT} = 30 \text{ k}\Omega$

$$U_{osz} = U_{g1T} = U_{g3} = I_{g1T} \times 50 \text{ k}\Omega = -8 \text{ V}$$



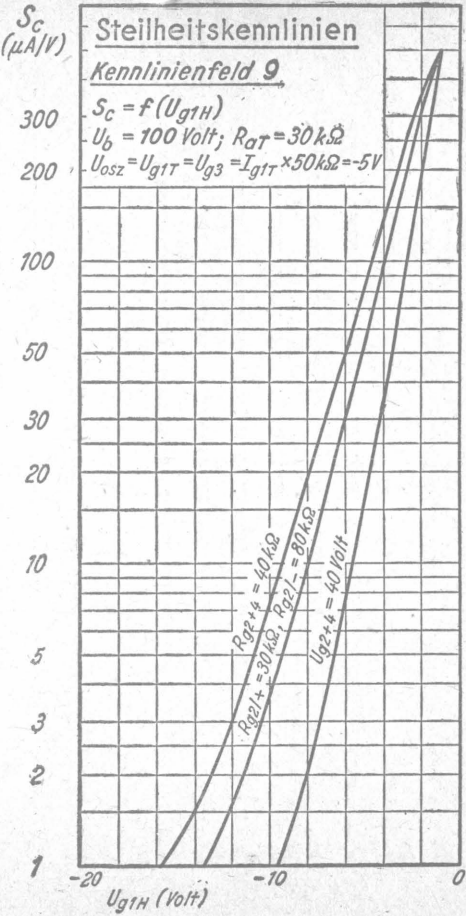
Steilheitskennlinien

Kennlinienfeld 9

$$S_C = f(U_{g1H})$$

$U_b = 100 \text{ Volt}; R_{aT} = 30 \text{ k}\Omega$

$$U_{osz} = U_{g1T} = U_{g3} = I_{g1T} \times 50 \text{ k}\Omega = -5 \text{ V}$$



SteilheitskennlinienKennlinienfeld 10

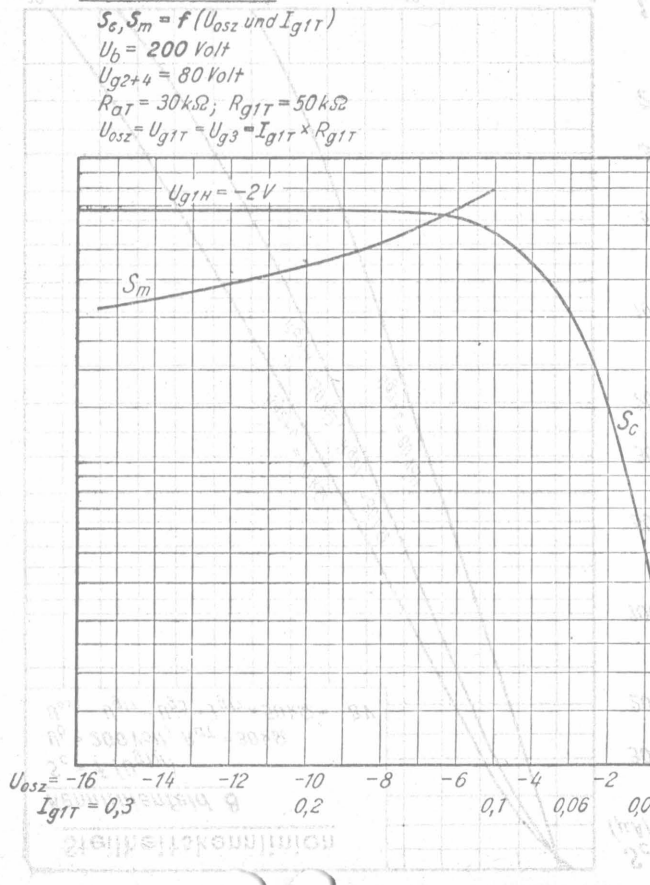
$$S_C, S_m = f(U_{0sz} \text{ und } I_{g1T})$$

$$U_b = 200 \text{ Volt}$$

$$U_{g2+4} = 80 \text{ Volt}$$

$$R_{aT} = 30 \text{ k}\Omega; R_{g1T} = 50 \text{ k}\Omega$$

$$U_{0sz} = U_{g1T} = U_{g3} = I_{g1T} \times R_{g1T}$$

Kennlinienfeld 11

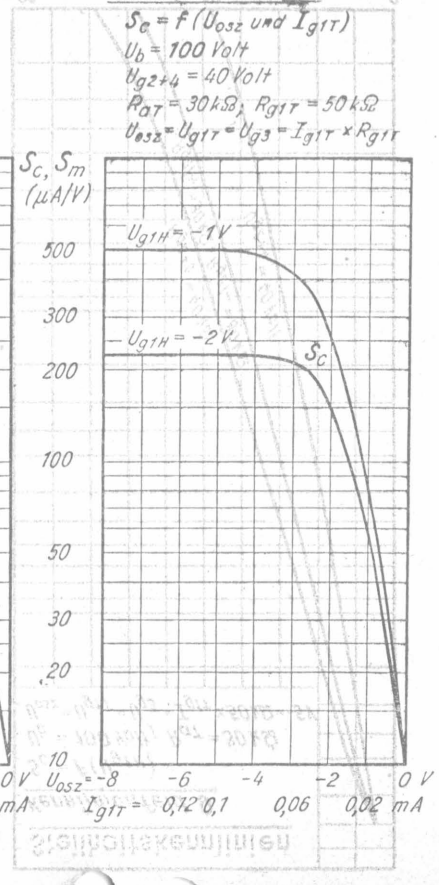
$$S_C = f(U_{0sz} \text{ und } I_{g1T})$$

$$U_b = 100 \text{ Volt}$$

$$U_{g2+4} = 40 \text{ Volt}$$

$$R_{aT} = 30 \text{ k}\Omega; R_{g1T} = 50 \text{ k}\Omega$$

$$U_{0sz} = U_{g1T} = U_{g3} = I_{g1T} \times R_{g1T}$$





Röhren-Dokumente

Verbundröhre mit Hf-Tetrode u. Endtetrode,

für Allstrombetrieb mit 50mA Heizstrom

FUNKWERK – Sammlung, Gruppe Röhrentechnik

VEL 11

2 Blätter

Blatt 1

Heizung:

Indirekt geheizte Kathode

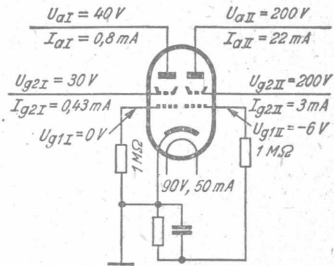
Heizspannung	U_f	90	Volt	\approx
Heizstrom	I_f	50	mA	ind.

Betriebswerte:

1. Eingangssystem (Hf-Tetrode)

Betriebsspannung	U_b	200	Volt
Außenwiderstand	R_a	200	k Ω
(Anodenspannung)	U_a	ca 40	Volt
Schirmgitterspannung	U_{g2}	ca 30	Volt
[Betriebsspannung über Spannungssteiler $R_{g2/-} = 0,3 M\Omega$, $R_{g2/+} = 1 M\Omega$ ans Schirmgitter]			
Gittervorspannung	U_{g1}	0	Volt
Gitterableitwiderstand	R_{g1}	1	M Ω
Anodenstrom	I_a	0,8	mA
Schirmgitterstrom	I_{g2}	ca 0,43	mA
Schirmgitterdurchgriff	D_{g2}	4	%
Innenwiderstand	R_i	280	k Ω
Detektavorstärkung	V	17...20	fach

Siehe die Kennlinienfelder 1 ... 3.



2. Endsystem (Endtetrode)

Anodenspannung	U_a	200	Volt
Schirmgitterspannung	U_{g2}	200	Volt
Gittervorspannung	U_{g1}	-6	Volt
Katodenwiderstand	R_k	250	Ω
Anodenstrom	I_a	22	mA
Schirmgitterstrom	I_{g2}	3	mA
Gitterableitwiderstand	R_{g1}	1	M Ω
Schutzwiderstand	R_{g1}	0,1	M Ω
Gitterschwabwiderstand	R_{g1}	30	k Ω
Steilheit	S	5,2	mA/V
Schirmgitterdurchgriff	D_{g2}	5,6	%
Innenwiderstand	R_i	30	k Ω
Außenwiderstand	R_a	9	k Ω
Sprechleistung bei einem Klinnfaktor von 10 %	N_{\sim}	ca 2	Watt

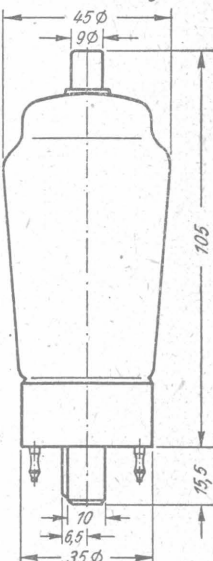
Siehe die Kennlinienfelder 4 ... 5.

Grenzwerte:

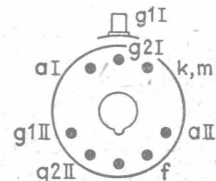
Hf-Tetrode Endtetrode

Anodenspannung	$U_a \text{ max}$	250	250	Volt
Anodenkaltspannung	$U_{aL \text{ max}}$	550	550	Volt
Schirmgitterspannung	$U_{g2 \text{ max}}$	100	250	Volt
Schirmgitterkaltspannung	$U_{g2L \text{ max}}$	250	550	Volt
Anodenverlustleistung	$\varrho_a \text{ max}$	1	5	Watt
Schirmgitterbelastung	$\varrho_{g2 \text{ max}}$	0,2	0,8	Watt
Gitterableitwiderstand	$R_{g1 \text{ max}}$	2	1,2	M Ω
Gitterstrom bei $U_{g1} = -1,3 V$	I_{g1}	< 0,3	< 0,3	μA

Kolbenabmessungen



Sockel von unten gesehen



VEL 11

Grenzwerte (Fortsetzung):

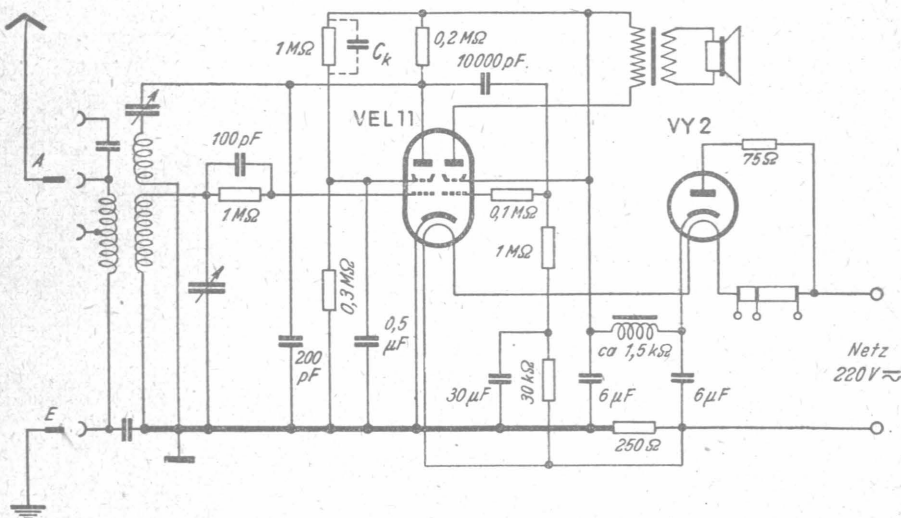
Katodenstrom	$I_k \text{ max}$	30	mA
Spannung zwischen Faden und Schicht	$U_{f/k} \text{ max}$	150	Volt
Außenwiderstand zwischen Faden u. Schicht 1) $R_{f/k} \text{ max}$	800	Ω	

1) Mit Rücksicht auf Brummen und andere Störgeräusche sollen nur solche Schaltmittel zwischen Faden und Schicht gelegt werden, die Gittervorspannungen erzeugen.

Innere Röhrenkapazitäten:

Gitter 1 der Eingangstetrode gegen Anode der Endtetrode	$C_{g1/a2}$	8×10^{-3}	pF
---	-------------	--------------------	----

Einkreiser mit der VEL 11



Ersatz der VCL 11 durch die VEL 11 im DKE.

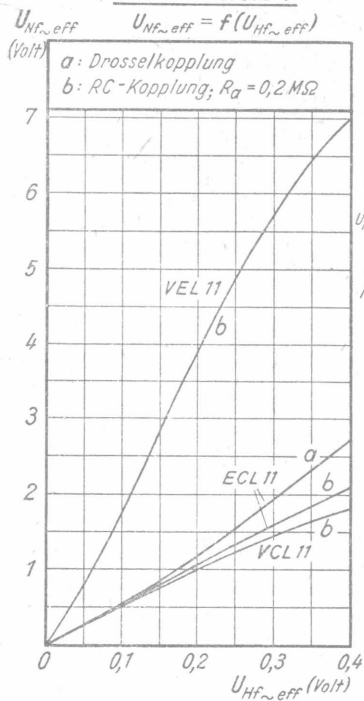
Bei einem Ersatz der VCL 11 durch die VEL 11 im DKE ist die Gitterleitung des Triodenteils (Mittelstift der Dreierreihe) vom Mittelstift zu entfernen und an die Kolbenkappe zu legen. An den Mittelstift kommt die Schirmgitterleitung über einen Spannungsteiler ($0,3 \text{ M}\Omega$ nach Minus – mit $0,5 \mu\text{F}$ überbrückt –, $1 \text{ M}\Omega$ nach Plus). Sollte die Rückkopplung zu stark schwingen, so ist der Rückkopplungsspule ein Dämpfungswiderstand von $3000 \dots 5000 \Omega$ parallel zu schalten. Weitere Änderungen sind nicht notwendig. Durch den im DKE vorhandenen Katodenwiderstand von 300Ω stellt sich ein Anodenstrom von etwa 18 mA ein.

Fritz Künzer

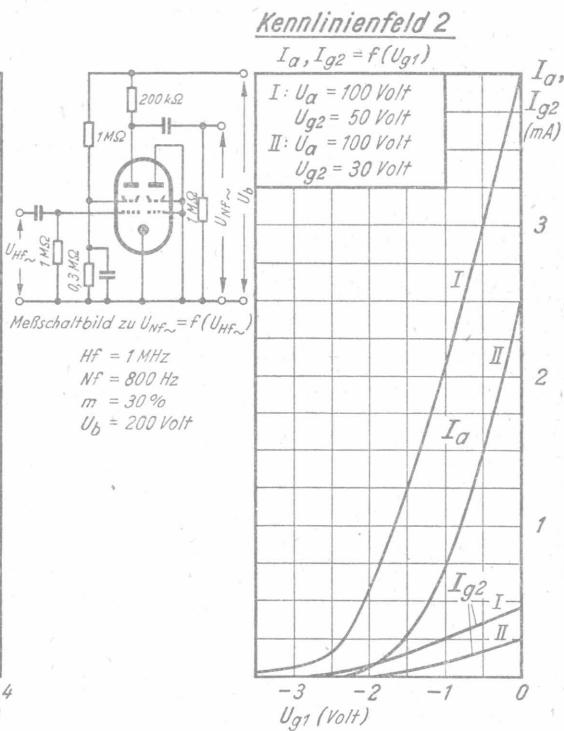
Das Eingangssystem der VEL11

VEL11
Blatt 2

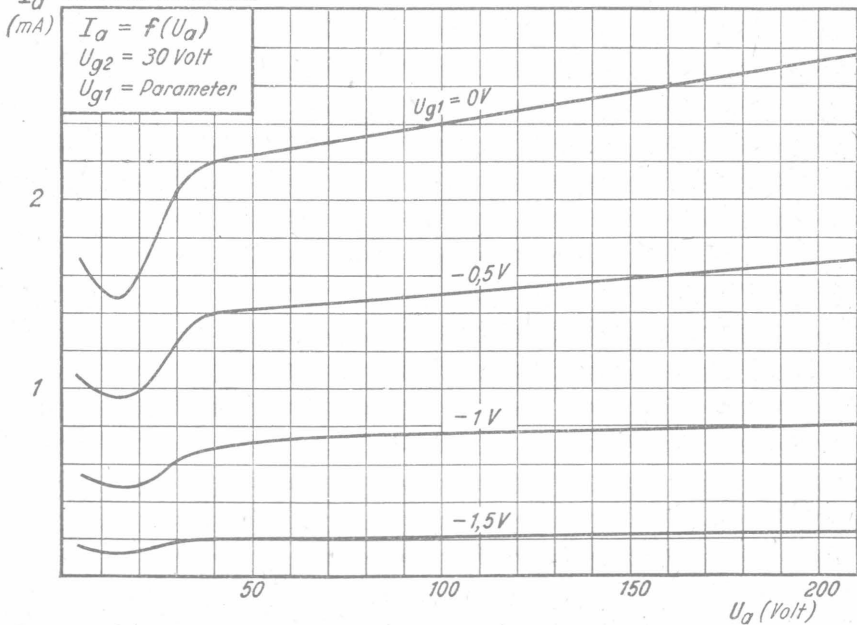
Kennlinienfeld 1



Kennlinienfeld 2



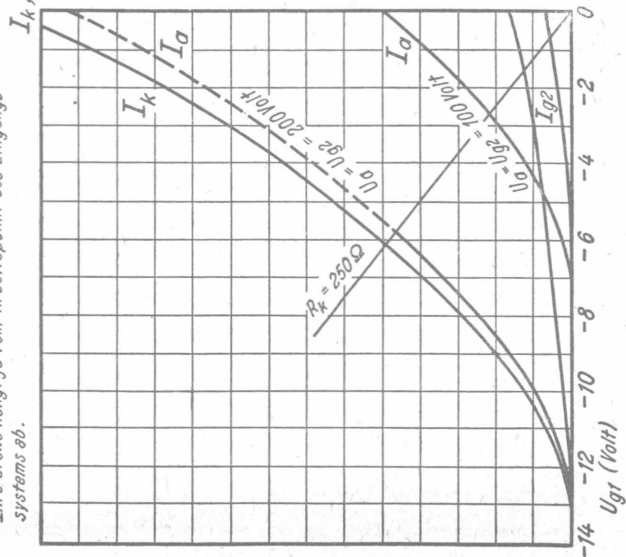
Kennlinienfeld 3



Das Endsystem der VEL 11Kennlinienfeld 4

$$I_k, I_\alpha, I_{g2} = f(U_{gr})$$

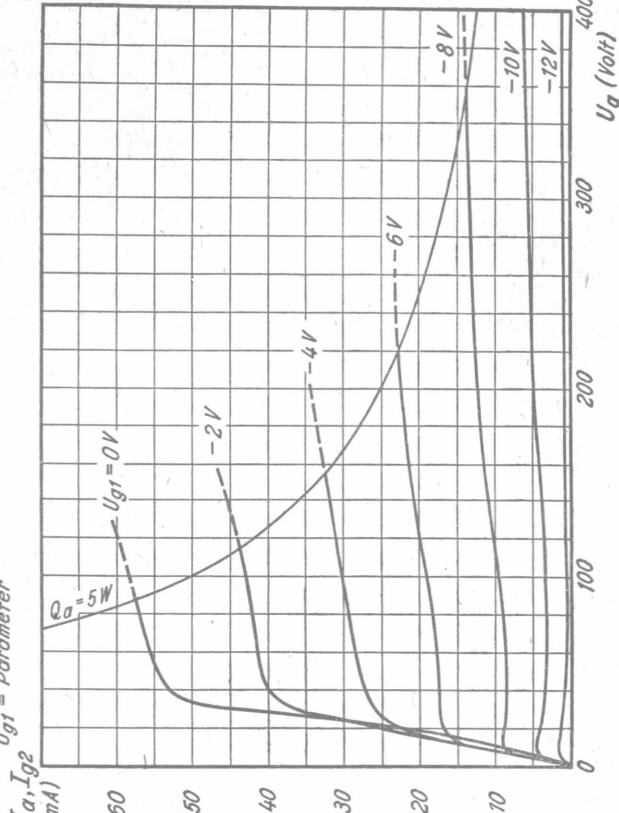
Bei I_k ist I_α und I_{g2} nach nicht berücksichtigt!
Ihre Größe hängt ja vom Arbeitspunkt des Eingangssystems ab.

Kennlinienfeld 5

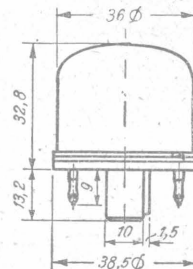
$$I_\alpha = f(U_\alpha)$$

$$U_{g2} = 200 \text{ Volt}$$

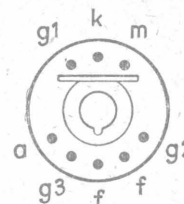
$$U_{g1} = \text{Parameter}$$



Kolbenabmessungen



Sockel von unten gesehen



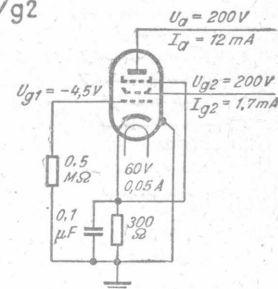
Allgemeines:

Stahlröhre mit kleinem Kolben. Stahlmantel und g_3 an besondere Stifte geführt. Hierdurch Spezial-Kurzwellenschaltungen möglich.

Heizung:

Indirekt geheizte Kathode für Allstrom

Heizspannung	U_f	60	Volt \sim
Heizstrom	I_f	50	mA ind



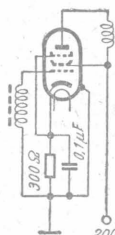
Betriebswerte (auch für statische Messungen):

als HF-Pentode für Breitbandverstärkung

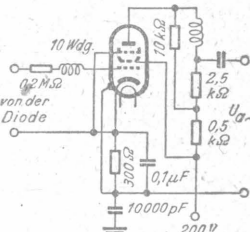
Bremsgitter an Kathode

Anodenspannung	U_a	200	Volt
Bremsgitterspannung	U_g3	0	Volt
Schirmgitterspannung	U_g2	200	Volt
Gittervorspannung	U_g1	-4,5	Volt
Katodenwiderstand	R_k	300	Ω
Anodenstrom	I_a	12	mA
Schirmgitterstrom	I_g2	1,7	mA
Steilheit	s	7	mA/V
Schirmgitterdurchgriff	D_g2	3,5	%
Innenwiderstand	R_i	200	kΩ
Rauschwiderstand	r_o	1000	Ω

Siehe die Kennlinienfelder 1, 2 und 10.



Meßschaltung



Betriebsschaltung

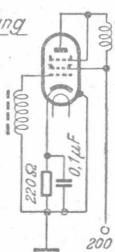
als HF-Tetrode

als Antennenverstärker zur Kennlinienlinearisierung

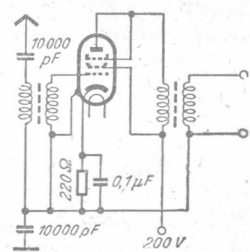
remsgitter an Anode

Anodenspannung	$U_a (+U_g3)$	200	Volt
Schirmgitterspannung	U_g2	200	Volt
Gittervorspannung	U_g1	-4,5	Volt
Katodenwiderstand	R_k	220	Ω
Anodenstrom	$I_a (+I_g3)$	18	mA
Schirmgitterstrom	I_g2	1,6	mA
Steilheit	s	9,5	mA/V
Schirmgitterdurchgriff	D_g2	3,6	%
Innenwiderstand	R_i	30	kΩ
Rauschwiderstand	r_o	600	Ω
Klirrfaktor bei $U_{a\text{eff}} = 5V$	K	< 0,01	%

Siehe die Kennlinienfelder 3, 4 und 11.



Meßschaltung

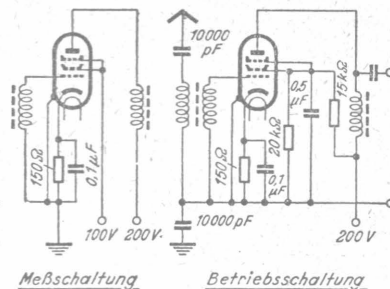


Betriebsschaltung

Betriebswerte (Fortsetzung):

c) als HF-Tetrode für BreitbandverstärkungBremsgitter an Schirmgitter

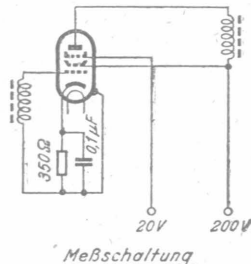
Anodenspannung	U_a	200	Volt
Schirmgitterspannung	$U_{g2} (+U_{g3})$	100	Volt
Gittervorspannung	U_{g1}	-2	Volt
Katodenwiderstand	R_k	150	Ω
Anodenstrom	I_a	12	mA
Schirmgitterstrom	$I_{g2} (+I_{g3})$	2	mA
Steilheit	s	10	mA/V
Schirmgitterdurchgriff	D_{g2}	4	%
Innenwiderstand	R_i	0,5	$M\Omega$
Rauschwiderstand	r_a	650	Ω
Siehe Kennlinienfeld 7.			

d) als HF-Pentode

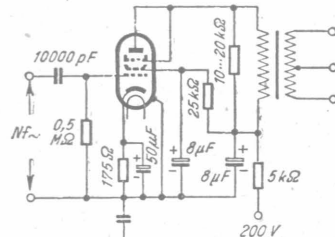
Bremsgitter mit positiver Vorspannung (größte Aussteuervermögen)

Anodenspannung	U_a	200	Volt
Bremsgitterspannung	U_{g3}	20	Volt
Schirmgitterspannung	U_{g2}	200	Volt
Gittervorspannung	U_{g1}	-4,5	Volt
Katodenwiderstand	R_k	350	Ω
Anodenstrom	I_a	11,5	mA
Bremsgitterstrom	I_{g3}	$\pm 0,2$	mA
Schirmgitterstrom	I_{g2}	1,5	mA
Steilheit	s	6,5	mA/V
Schirmgitterdurchgriff	D_{g2}	3,4	%
Innenwiderstand	R_i	300	$k\Omega$
Rauschwiderstand	r_a	1200	Ω

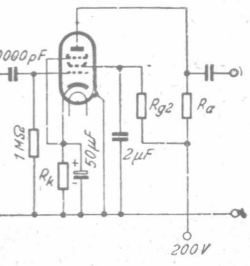
Siehe die Kennlinienfelder 5, 6 und 12

e) als Nf-Tetrode mit TransformatorkopplungBremsgitter an Anode

Betriebsspannung	U_b	200	Volt
Anodenleibwiderstand	R_{sieb}	5	$k\Omega$
Anodenparallelwiderstand	R_{ap}	10...20	$k\Omega$
(Anodenspannung)	$U_a (+U_{g3})$	ca 150	Volt
Schirmgittervorwiderstand	R_{g2}	25	$k\Omega$
(Schirmgitterspannung)	U_{g2}	ca 150	Volt
Gittervorspannung	U_{g1}	-3,5	Volt
Katodenwiderstand	R_k	175	Ω
Anodenstrom	$I_a (+I_{g3})$	18	mA
Schirmgitterstrom	I_{g2}	ca 2	mA

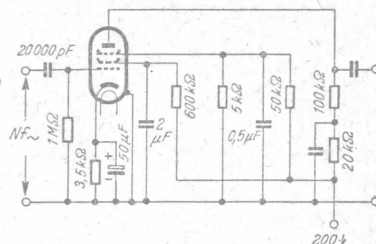
VF14 als Tetrode mit Transformatorkopplung
vor einer Gegenakt-Endstufef) als Nf-Pentode mit RC-KopplungBremsgitter an Katode

Betriebsspannung	U_b	200	
Anodenwiderstand	R_a	20	$k\Omega$
(Anodenspannung)	U_a	125	100 Volt
Schirmgittervorwiderstand	R_{g2}	40	400 $k\Omega$
(Schirmgitterspannung)	U_{g2}	160	160 Volt
Gittervorspannung	U_{g1}	-3,4	-3,4 Volt
Katodenwiderstand	R_k	400	600 Ω
Anodenstrom	I_a	7,5	4,8 mA
Schirmgitterstrom	I_{g2}	1,0	0,8 mA
Maximale Anodenwechselsgpg. hierbei Klirrfaktor	$U_{a,eff,max}$	37	45 30 Volt
Spannungsverstärkung	K	5	5 %
	V	38	55 fach
		50	
		100	
		20000 pF	
		1 k Ω	
		50 μF	
		2 μF	
		200V	

VF14 als Nf-Pentode
mit RC-Kopplung

g) als Nf-Pentode mit RC-Kopplung
Bremsgitter mit positiver Vorspannung

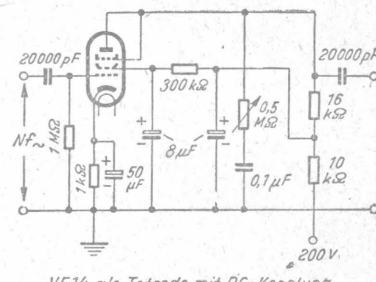
Betriebsspannung	U_b	200	Volt
Anodenwiderstand	R_a	100	k Ω
Anodensiebwiderstand	R_{sieb}	20	k Ω
(Anodenspannung	U_a	135	Volt)
Bremsgitterspannung	U_{g3}	20	Volt
Schirmgitterverwiderstand	R_{g2}	600	k Ω
(Schirmgitterspannung	U_{g2}	85	Volt)
Gittervorspannung	U_{g1}	-3	Volt
Katodenwiderstand	R_k	3,5	k Ω
Anodenstrom	I_a	0,6	mA
Bremsgitterstrom	I_{g3}	$\pm 0,2$	mA
Schirmgitterstrom	I_{g2}	0,25	mA
Maximale Anodenwechselstr.	$U_{a,\text{eff,max}}$	40	Volt
hierbei Klirrfaktor	K	5	%
Spannungsverstärkung	V	ca 200	fach



VF14 als Nf-Pentode, Bremsgitter mit positiver Vorspannung, mit RC-Kopplung.

h) als Nf-Tetrode mit RC-KopplungBremsgitter an Anode

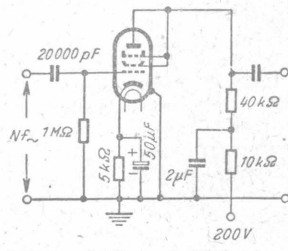
Betriebsspannung	U_b	200	Volt
Anodenwiderstand	R_a	16	k Ω
Anodensiebwiderstand	R_{sieb}	10	k Ω
(Anodenspannung	$U_a (+U_{g3})$	100	Volt)
Schirmgitterverwiderstand	R_{g2}	300	k Ω
(Schirmgitterspannung	U_{g2}	100	Volt)
Gittervorspannung	U_{g1}	-3	Volt
Katodenwiderstand	R_k	1	k Ω
Anodenstrom	$I_a (+I_{g3})$	3	mA
Schirmgitterstrom	I_{g2}	0,25	mA
Spannungsverstärkung	bei $U_{a,\text{eff}} = 25$ Volt	V	ca 65 fach



VF14 als Tetrode mit RC-Kopplung.

i) als Nf-Triode mit RC-Kopplung

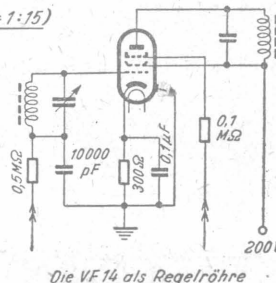
Schirmgitter und Bremsgitter mit Anode verbunden	
Betriebsspannung	U_b
Anodenwiderstand	R_a
Anodensiebwiderstand	R_{sieb}
(Anodenspannung	$U_a (+U_{g3} + U_{g2})$
Gittervorspannung	U_{g1}
Katodenwiderstand	R_k
Anodenstrom	$I_a (+I_{g3} + I_{g2})$
Durchgriff	D
Spannungsverstärkung	bei $U_{a,\text{eff}} = 60$ Volt
	V
	ca 21 fach



VF14 als Nf-Triode mit RC-Kopplung.

k) als Regelpentode(kombierte Steuergitter-Bremsgitter-Regelung; $\Delta U_{g1} : \Delta U_{g3} = 1:15$)

Anodenspannung	U_a	200	Volt
Schirmgitterspannung	U_{g2}	200	Volt
Katodenwiderstand	R_k	300	Ω
Regelbereich		1 : 100	
Gittervorspannung	U_{g1}	-4,5 - 8	Volt
Bremsgitterspannung	U_{g3}	0 - 50	Volt
Anodenstrom	I_a	12 -	mA
Steilheit	S	7 - 0,07	mA/V
Innenwiderstand ¹⁾	R_i	200 > 500	k Ω
Klirrfaktor (3. Harmonische)			
bei $U_{a,\text{eff}} = 0,5$ Volt	K_3	1 < 3	%
Siehe Kennlinienfeld 14.			



Die VF14 als Regelröhre.

¹⁾ Der niedrigste Wert von R_i (bei $U_{g3} = -40$ Volt) ist $R_i > 40$ k Ω .

VF14

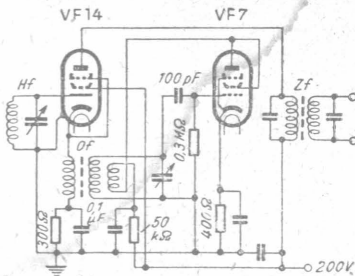
Betriebswerte (Fortsetzung):

l) additive Mischverstärkung in Pentodenschaltung

Strahl stark! Nur verwendbar, wenn Vorstufe vorhanden.

a) fremderregt; Hochfrequenz an g1,
Oszillatorkreis in die Kathode

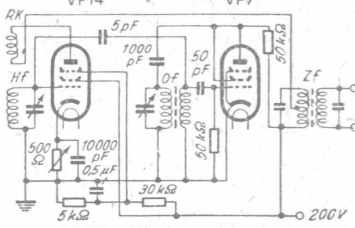
Anodenspannung	Ua	200	Volt
Bremsgitterspannung	Ug3	0	Volt
Schirmgitterspannung	Ug2	200	Volt
Rauschwiderstand	rö	3	kΩ



Additive Mischung, fremderregt,
Oszillatorkreis in die Kathode

β) fremderregt; Hochfrequenz und Oszillatorkreis an g1

Anodenspannung	Ua	200	Volt
Bremsgitterspannung	Ug3	0	Volt
Schirmgitterspannung	Ug2	100	Volt
Oszillatorkreis (Uosz = Ug1 = Ig1 × Rg1)	Uosz	-4	Volt
Anodenstrom	Ia	7	mA
Schirmgitterstrom	Ig2	1,1	mA
Mischsteilheit	Sc	2,6	mA/V
Innenwiderstand	Ri	0,3	kΩ
Rauschwiderstand	rö	2,5	kΩ

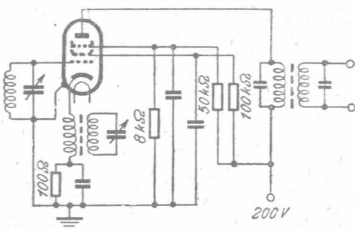


Additive Mischung, fremderregt,
Oszillatorkreis an g1

γ) eingererregt mit Katodenrückkopplung

Heizleitungen verdrosseln!

Anodenspannung	Ua	200	Volt
Bremsgitterspannung	Ug3	30	Volt
Schirmgittervorwiderstand	Rg2	100	kΩ
(Schirmgitterspannung)	Ug2	100	Volt
Anodenstrom	Ia	25	mA
Schirmgitterstrom	Ig2	2	mA
Mischsteilheit	Sc	3	mA/V
Innenwiderstand	Ri	600	kΩ
Rauschwiderstand	rö	3	kΩ



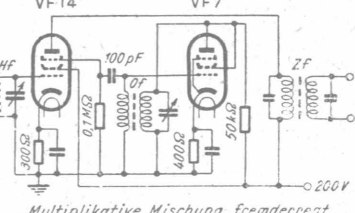
Additive Mischung, eingererregt,
mit Katodenrückkopplung

m) multiplikative Mischverstärkung in Pentodenschaltung

fremderregt; Oszillatorkreis an g3

Anodenspannung	Ua	200	Volt
Schirmgitterspannung	Ug2	100	Volt
Gittervorspannung	Ug1	-2,5	Volt
Oszillatorkreis (Uosz = Ug3 = Ig3 × Rg3)	Uosz	-18	Volt
Anodenstrom	Ia	2,8	mA
Schirmgitterstrom	Ig2	2,4	mA
Mischsteilheit	Sc	2,2	mA/V
Innenwiderstand	Ri	150	kΩ
Rauschwiderstand	rö	7	kΩ

Siehe Kennlinienfeld 15

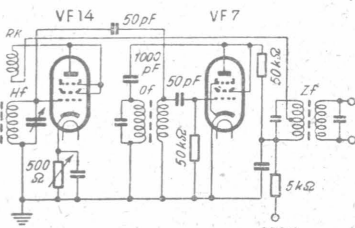


Multiplikative Mischung, fremderregt

n) additive Mischverstärkung in Triodenschaltung

fremderregt; Oszillatorkreis an g1

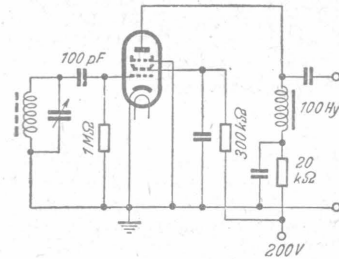
Anodenspannung	Ua (+Ug3+Ug2)	150	Volt
Oszillatorkreis (Uosz = Ug1 = Ig1 × Rg1)	Uosz	-7	Volt
Anodenstrom	Ia (+Ig3+Ig2)	8,8	mA
Mischsteilheit	Sc	2,8	mA/V
Innenwiderstand	Ri	50	kΩ
Rauschwiderstand	rö	1000	Ω



Additive Mischung in Triodenschaltung,
fremderregt

o) als Audion mit Drosselkopplung
als Pentode geschaltet

Betriebsspannung	U_b	200	Volt
Selbstinduktion der Drossel	L	ca 100	Henry
Anodenstromwiderstand	Rasieb	20	k Ω
(Anoden)spannung	U_a	ca 150	Volt
Bremsgitterspannung	U_{g3}	0	Volt
Schirmgittervorwiderstand	R_{g2}	300	k Ω
(Schirmgitterspannung)	U_{g2}	ca 100	Volt
Anodenstrom	I_a	2,5	mA
Schirmgitterstrom	I_{g2}	0,3	mA
Maximale Anodenwechselspannung	$U_{a\text{eff}}$	ca 50	Volt
Detektorverstärkung	V	ca 160	fach

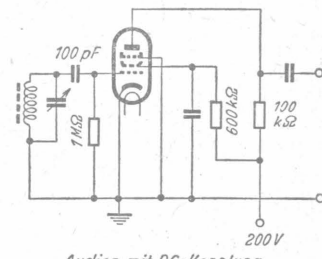


Audion mit Drosselkopplung

p) als Audion mit RC-Kopplung
als Pentode geschaltet

Betriebsspannung	U_b	200	200	Volt
Anodenwiderstand	R _a	100	30	k Ω
(Anoden)spannung	U_a	60	—	Volt
Bremsgitterspannung	U_{g3}	0	20	Volt
Schirmgittervorwiderstand	R_{g2}	600	200	k Ω
(Schirmgitterspannung)	U_{g2}	50	35	Volt
Anodenstrom	I_a	7,4	5,2	mA
Schirmgitterstrom	I_{g2}	0,5	0,8	mA
Maximale Anodenwechselspannung	$U_{a\text{eff}}$	ca 11	17	Volt
Detektorverstärkung	V	ca 22	22	fach

Siehe Kennlinienfeld 13.

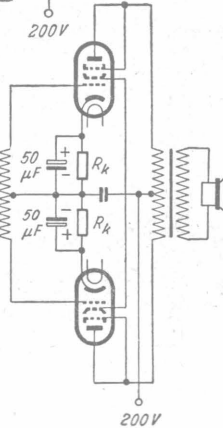
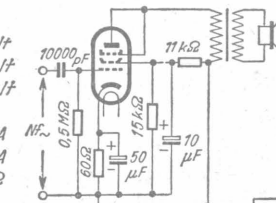


Audion mit RC-Kopplung

q) als Endtetrode

Bremsgitter an Anode

Anodenspannung	$U_a (+U_{g3})$	200	Volt
Schirmgitterspannung	U_{g2}	100	Volt
Gittervorspannung	U_{g1}	-1,5	Volt
Katodenwiderstand	R _k	60	Ω
Anodenstrom	$I_a (+I_{g3})$	22	mA
Schirmgitterstrom	I_{g2}	2,5	mA
Außenwiderstand	R _a	10	k Ω
Maximale Sprechleistung bei $K = 10\%$	N _a	1,8	Watt



r) als Endtetrode in Gegentakt-AB-Schaltung

Messung mit Zweittonmethode für Aussteuerung mit Sprache und Musik

Anodenspannung	$U_a (+U_{g3})$	200	Volt
Schirmgitterspannung	U_{g2}	200	Volt
(Gittervorspannung)	U_{g1}	-5	Volt
Katodenwiderstand	R _k	2 × 250	Ω
Anodenstrom	$I_a (+I_{g3})$	2 × 17	mA
Anodenstrom bei voller Aussteuerung	I_{ad}	2 × 20	mA
Schirmgitterstrom	I_{g2}	2 × 2,5	mA
Schirmgitterstrom bei voller Aussteuerung	I_{g2d}	2 × 4	mA
Außenwiderstand von Anode zu Anode	R _{aa}	14	k Ω
Gitterwechselspannung von Gitter zu Gitter	$U_{gg\text{eff}}$	6	Volt
Maximale Vergleichsleistung bei Aussteuerung bis zum Gitterstrom-Einsatzpunkt hierbei Verzerrungsmaß	$N_{a\text{eff}}$	5,1	Watt
	K_p	< 3	%

VF14

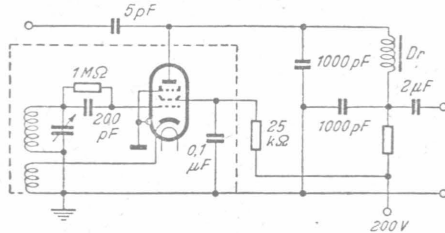
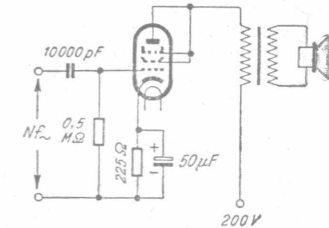
Betriebswerte (Fortsetzung):

S₃ als Endtriode

Schirmgitter und Bremsgitter mit Anode verbunden

Anodenspannung	$U_A + U_{g3} + U_{g2}$	200	Volt
Gittervorspannung	U_{g1}	-4,5	Volt
Katodenwiderstand	R_K	225	Ω
Anodenstrom	$I_A + I_{g3} + I_{g2}$	20	mA
Außenwiderstand	R_a	5	$k\Omega$
Maximale Sprechleistung bei K=5%	N_{an}	1	Watt

Siehe Kennlinienfeld 8.



Die VF14 in Eco-Schaltung

Grenzwerte:

Anodenspannung	U_{anmax}	300	Volt
Anodenkaltspannung	U_{aLmax}	550	Volt
Bremsgitterspannung	U_{g3max}	300	Volt
Bremsgitterkaltspannung	U_{g3Lmax}	550	Volt
Schirmgitterspannung	U_{g2max}	200	Volt
Schirmgitterkaltspannung	U_{g2Lmax}	550	Volt
Anodenverlustleistung	$Q_{a max}$	5	Watt
Schirmgitterbelastung	Q_{g2max}	0,7	Watt
Katodenstrom	$I_K max$	30	mA
Gitterableitwiderstand $Q_a \geq 2$ Watt	R_{g1max}	0,5	$M\Omega$
Gitterableitwiderstand $Q_a < 2$ Watt	R_{g1max}	1	$M\Omega$
Bremsgitterableitwiderstand	R_{g3max}	0,1	$M\Omega$
Gittersstrom bei $U_{g1} = -3$ Volt	I_{ge}	$\leq 0,3$	μA
Spannung zwischen Faden und Schicht	$U_{f/kmax}$	100	Volt
Außenwiderstand zwischen Faden und Schicht	$R_{f/kmax}$	20	$k\Omega$

Die VF14 darf nur mit automatischer Gittervorspannung betrieben werden.

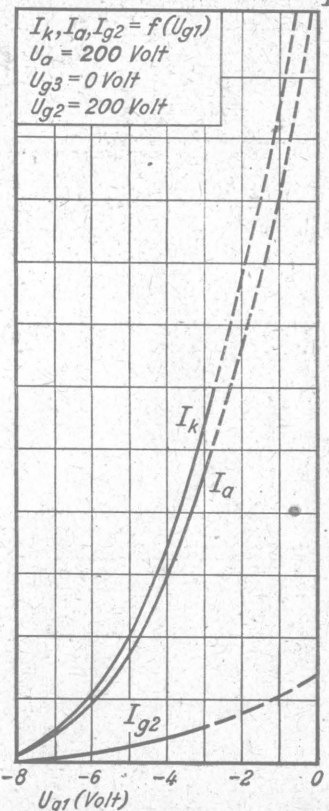
Innere Röhrenkapazitäten:

		als Pentode	als Tetrode ($g_3 + g_2 + g_1$)	als Triode ($g_3 + g_2 + g_1$)	
Eingang	$C_e (cg/k)$	9,5	9,5	4,6	pF
Ausgang	$C_a (cg/a)$	8,2	10	0,85	pF
Gitter1 - Anode	$C_{g1/a}$	$< 0,01$	$< 0,15$	2,8	pF
Raumladungskapazität	C_p	$c_0 3 \cdot \frac{S}{V_{Ug2}}$	—	—	pF

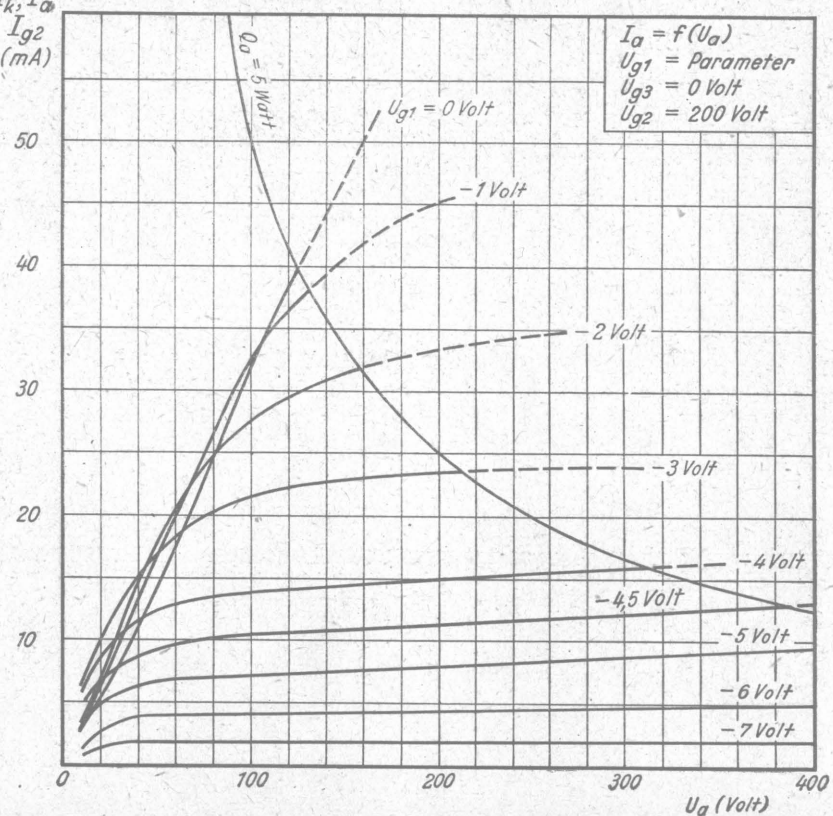
Fritz Kunze

Pentodenschaltung (Bremsgitter an Katode)

Kennlinienfeld 1

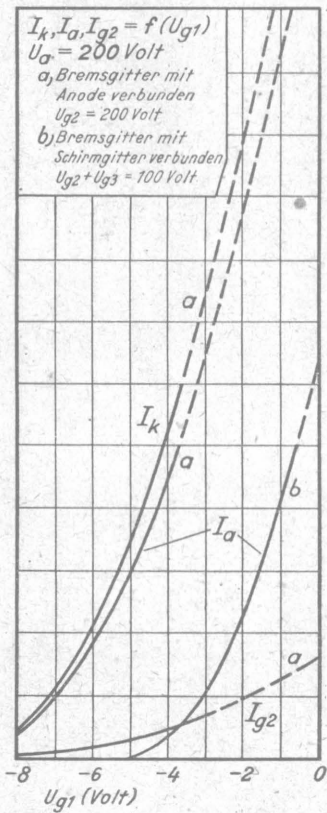


Kennlinienfeld 2

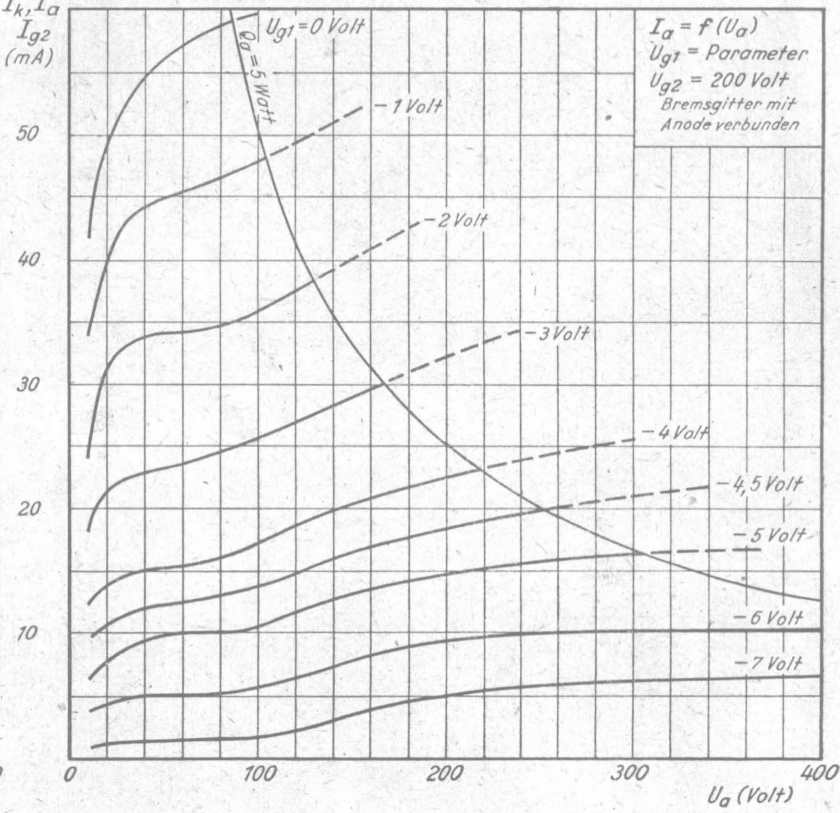


Tetrodenschaltung

Kennlinienfeld 3

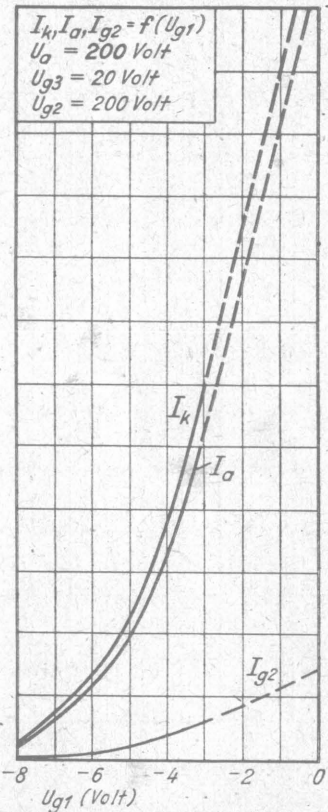


Kennlinienfeld 4

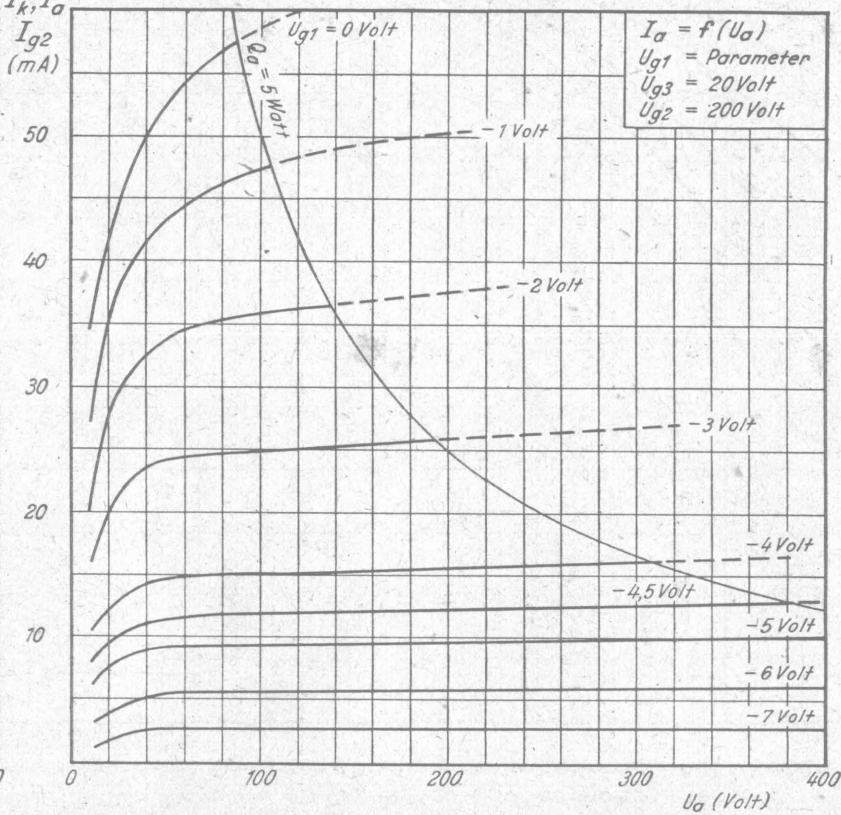


Pentodenschaltung ($U_{g3} = +20$ Volt)

Kennlinienfeld 5



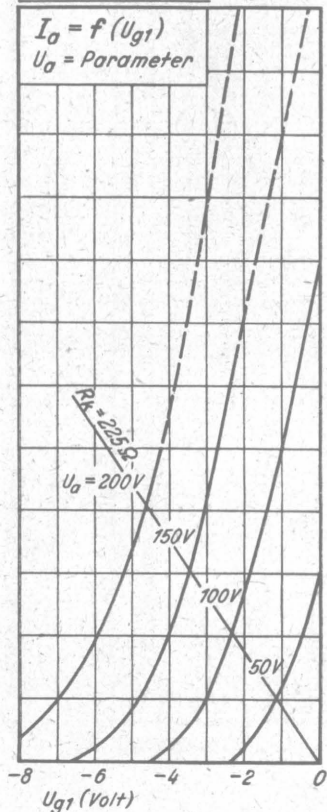
Kennlinienfeld 6



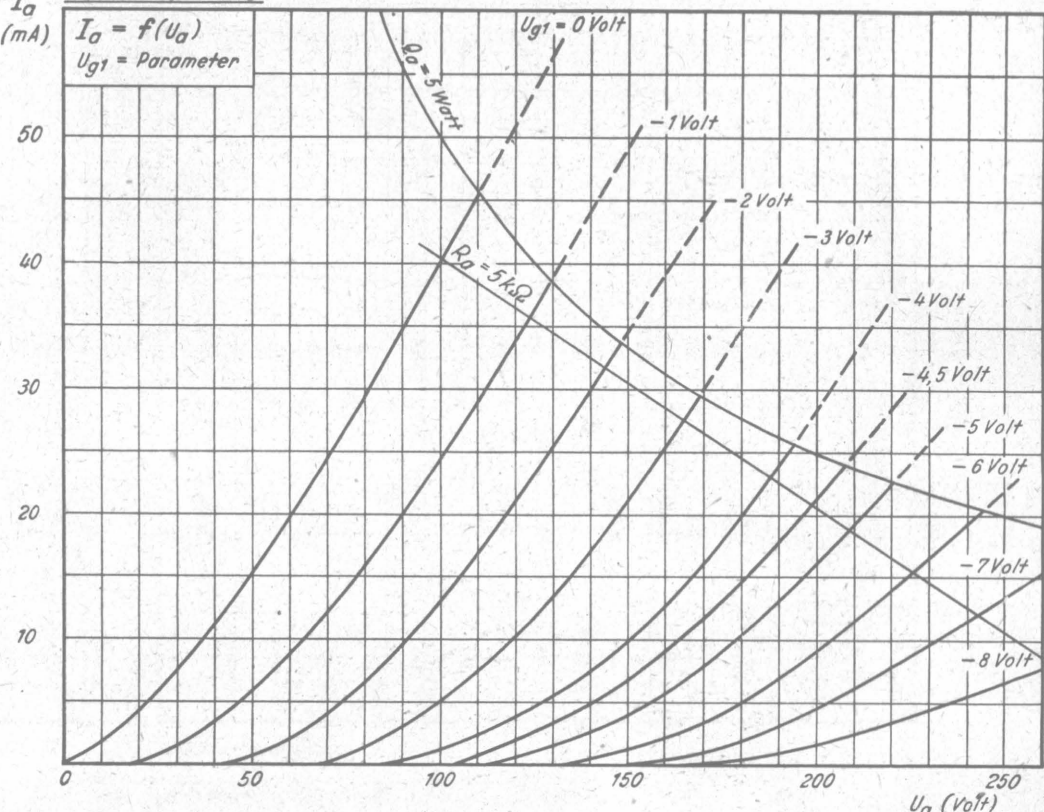
Triodenschaltung (Bremsgitter, Schirmgitter und Anode miteinander verbunden)

Kennlinien der Tetrodenschaltung: Bremsgitter mit Schirmgitter verbunden siehe Kennlinienfeld 3

Kennlinienfeld 7

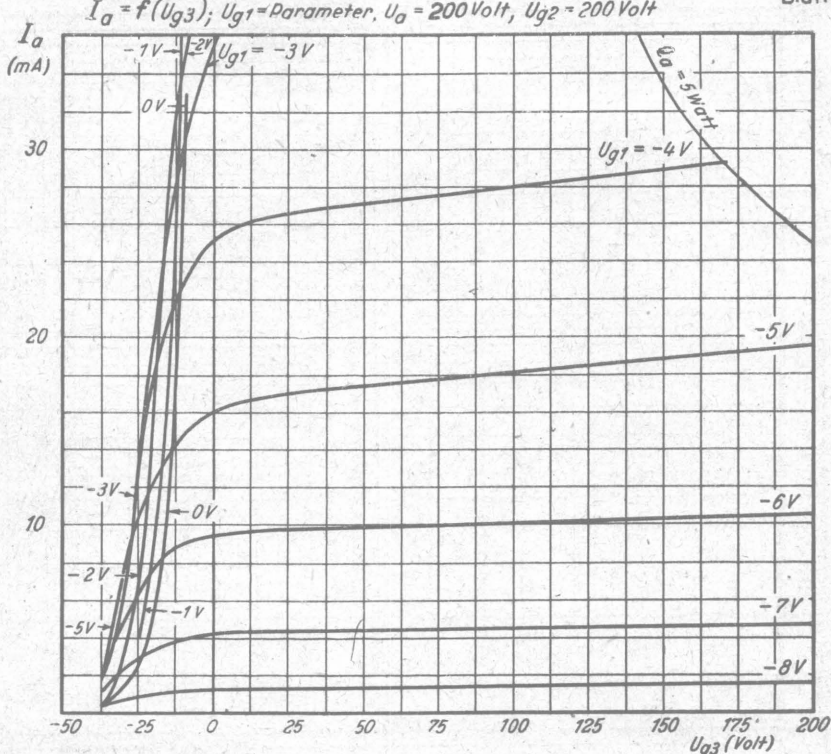


Kennlinienfeld 8

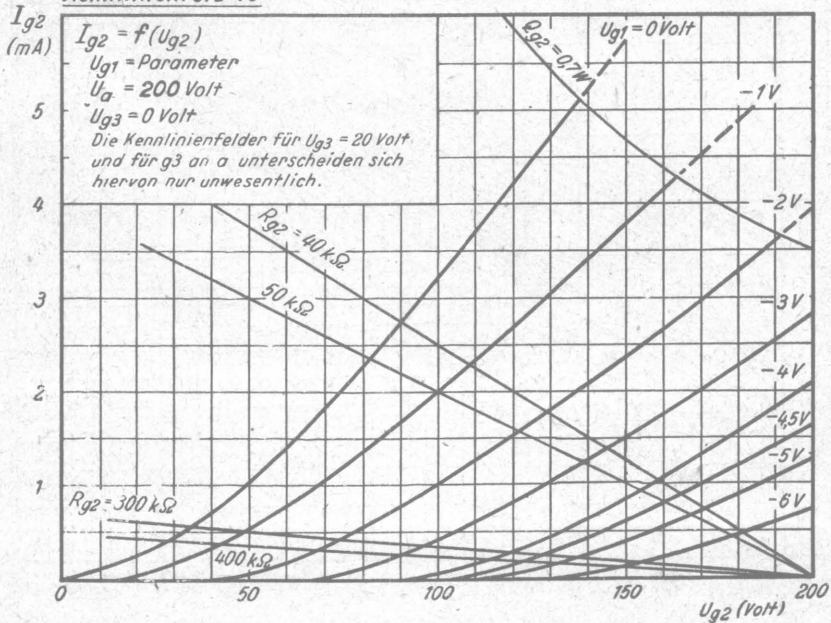


Kennlinienfeld 9

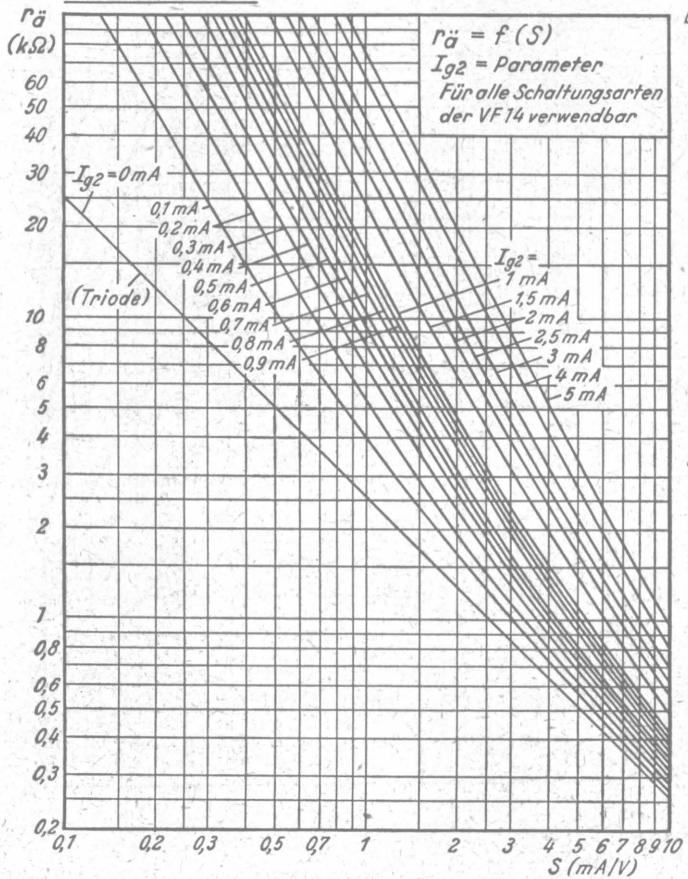
VF 14
Blatt 6



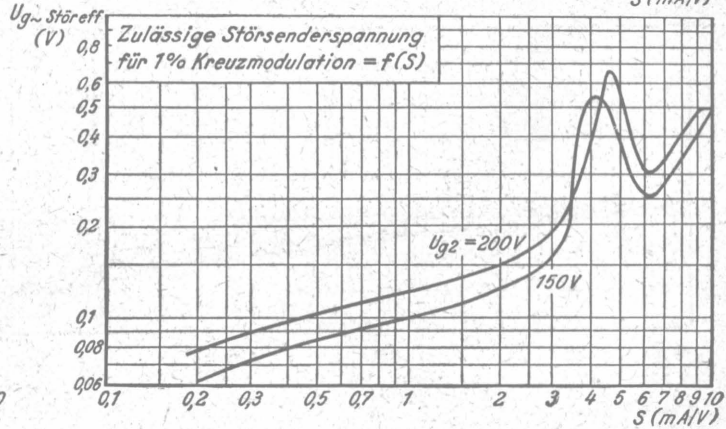
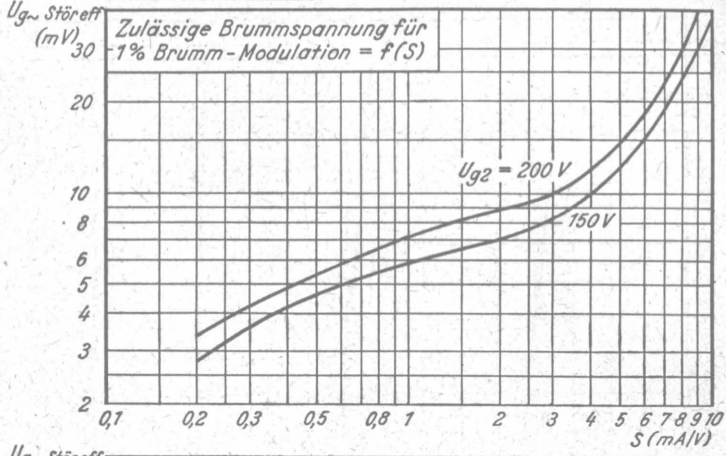
Kennlinienfeld 10



Kennlinienfeld 11



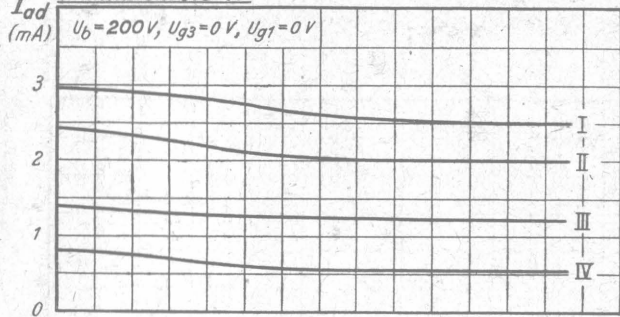
Kennlinienfeld 12



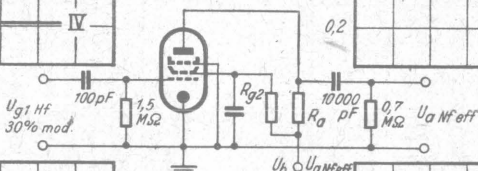
Die VF14 als Audion mit RC-Kopplung

$I_{ad}, U_{aNeff} = f(U_{g1Hf\text{eff}})$, 30% moduliert, R_a mit opt. R_{g2} = Parameter

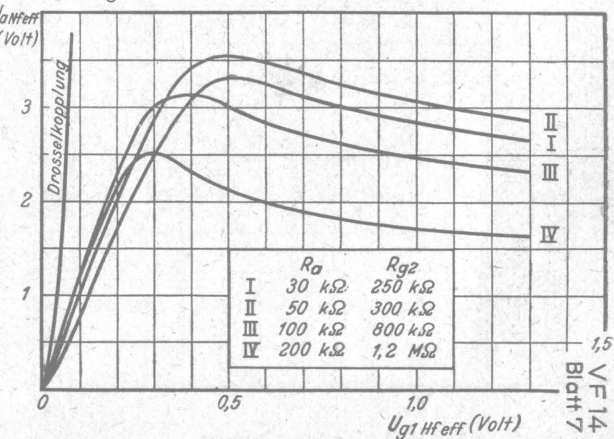
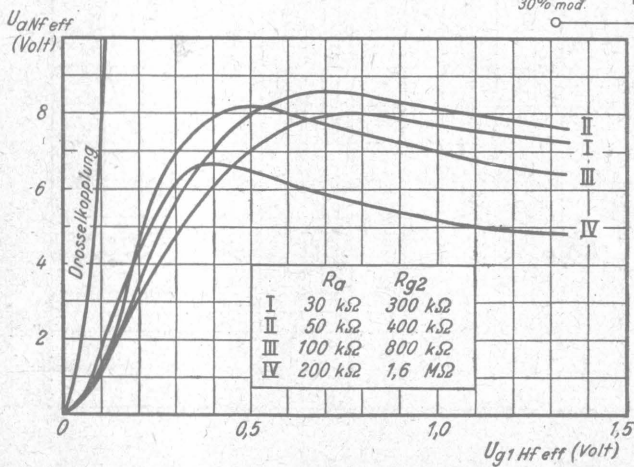
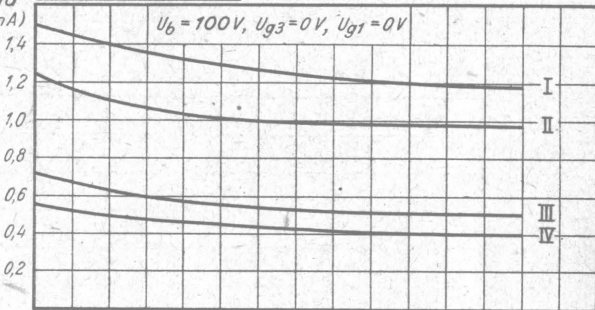
Kennlinienfeld 13



I_{ad} = dynamischer Anodenstrom
(kennzeichnet das Absinken des Anodenstroms mit der Aussteuerung)

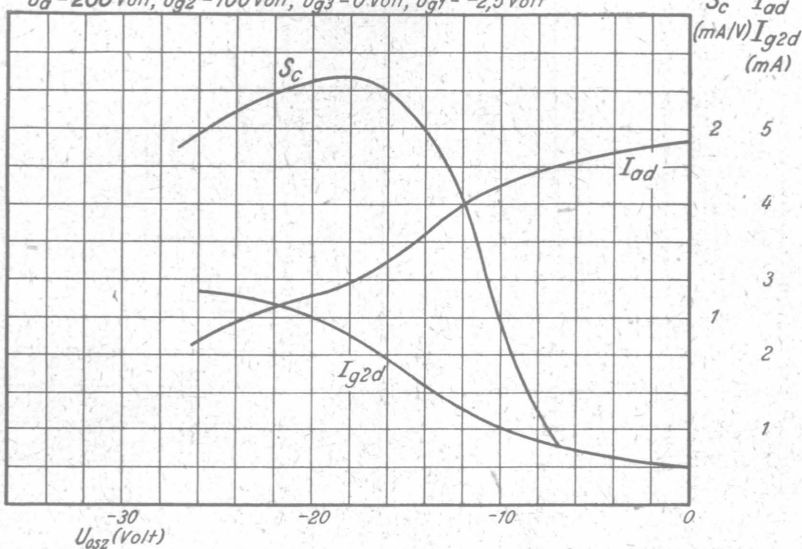


Kennlinienfeld 14

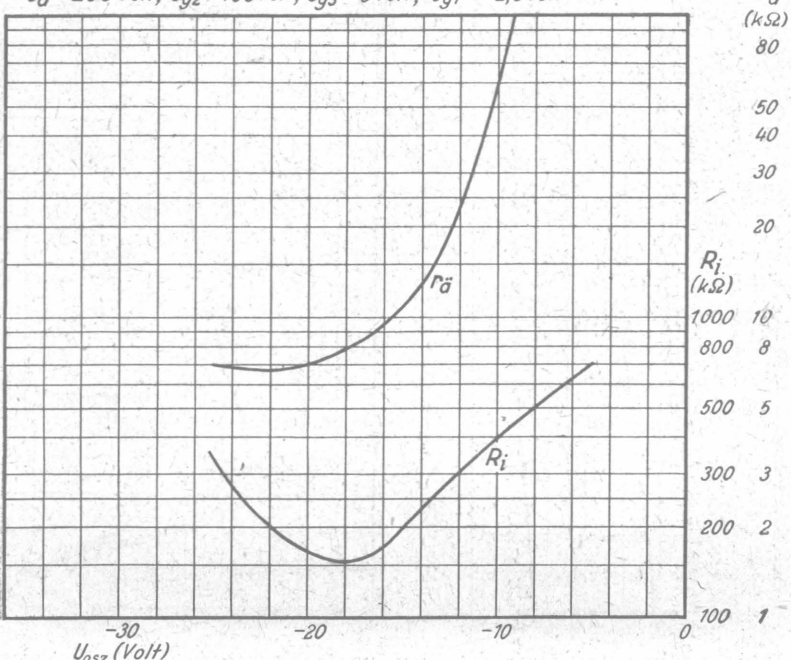


Kennlinienfeld 15

$S_C, I_{ad}, I_{g2d} = f(U_{osz})$; $U_{osz} = U_{g3} = I_{g3} \times R_{g3}$
 $U_a = 200 \text{ Volt}, U_{g2} = 100 \text{ Volt}, U_{g3} = 0 \text{ Volt}, U_g = -2,5 \text{ Volt}$

Kennlinienfeld 16

$R_i, r_o = f(U_{osz})$; $U_{osz} = U_{g3} = I_{g3} \times R_{g3}$
 $U_a = 200 \text{ Volt}, U_{g2} = 100 \text{ Volt}, U_{g3} = 0 \text{ Volt}, U_g = -2,5 \text{ Volt}$



Schirmgitterströme

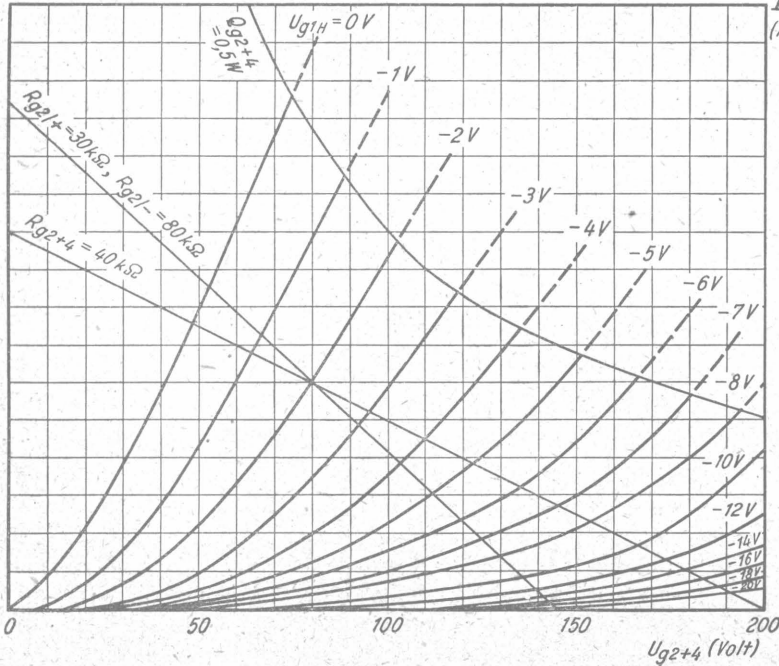
Kennlinienfeld 1

$$I_{g2+4} = f(U_{g2+4})$$

U_{g1H} = Parameter

$U_b = 200 \text{ Volt}$

$$U_{osz} = U_{g1T} = U_{g3} = I_{g1T} \times 50 \text{ k}\Omega = -8 \text{ Volt}$$



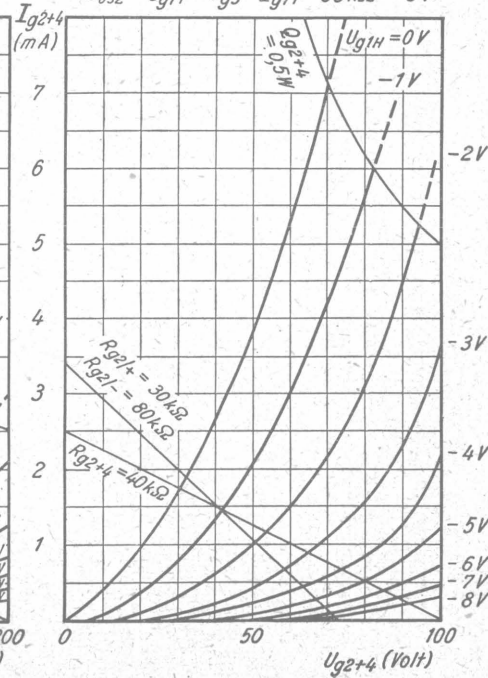
Kennlinienfeld 2

$$I_{g2+4} = f(U_{g2+4})$$

U_{g1H} = Parameter

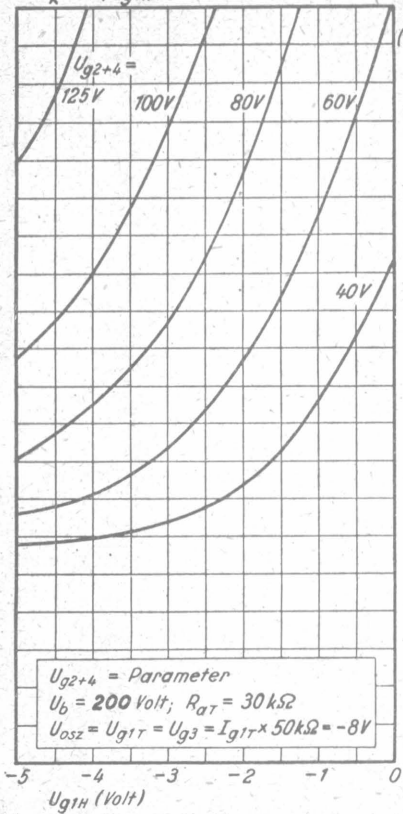
$U_b = 100 \text{ Volt}$

$$U_{osz} = U_{g1T} = U_{g3} = I_{g1T} \times 50 \text{ k}\Omega = -5 \text{ V}$$

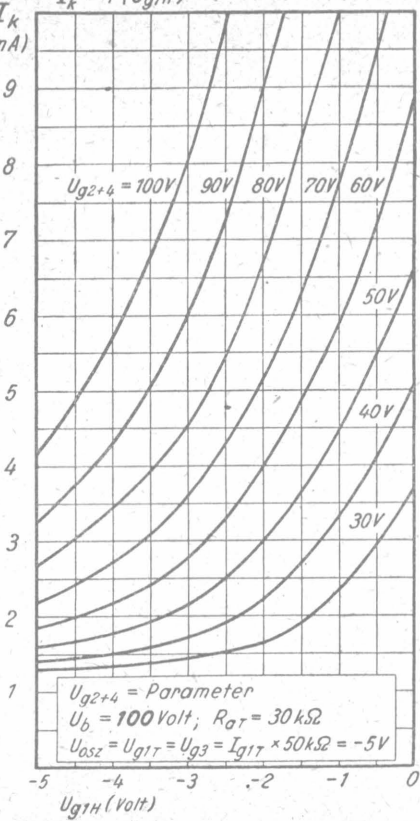


KatodenströmeKennlinienfeld 3

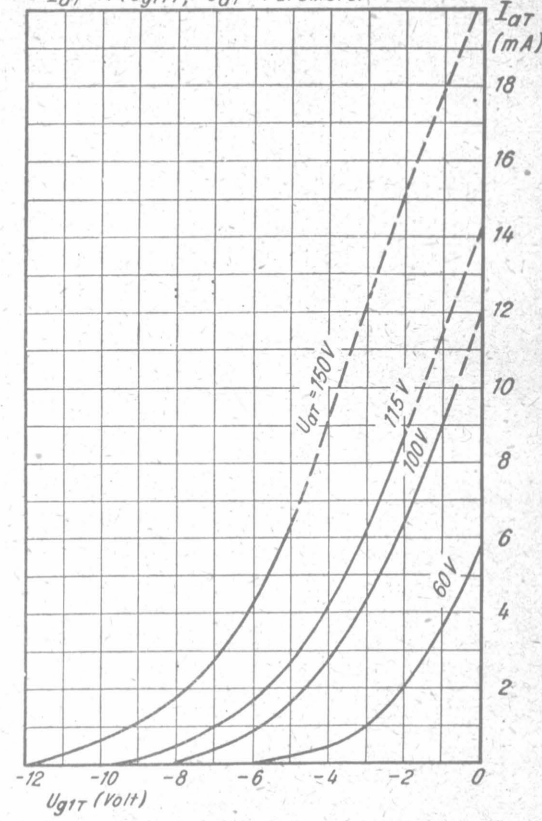
$$I_k = f(U_{g1H})$$

Kennlinienfeld 4

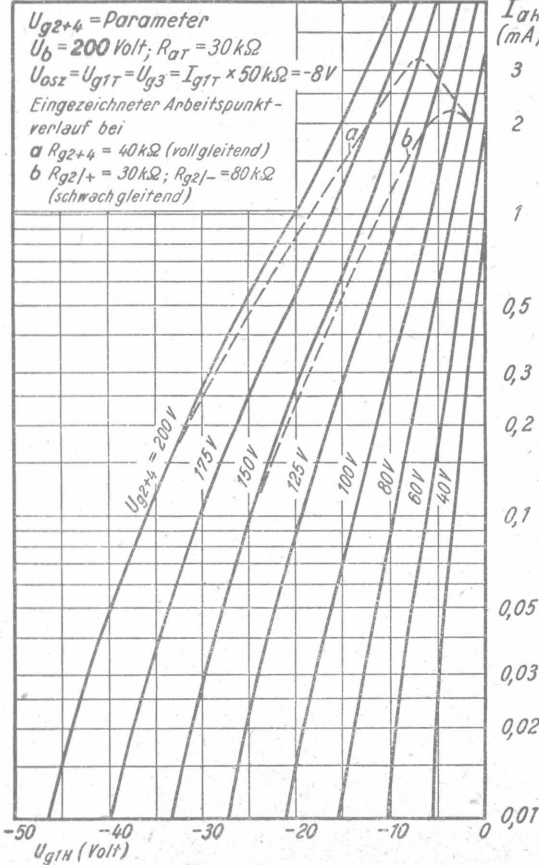
$$I_k = f(U_{g1H})$$

Kennlinienfeld 5

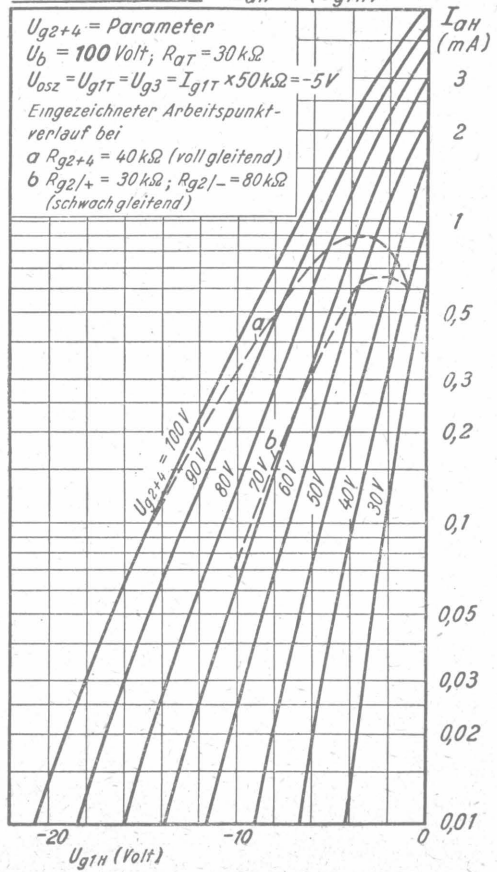
$$I_{aT} = f(U_{g1T}); U_{aT} = \text{Parameter}$$

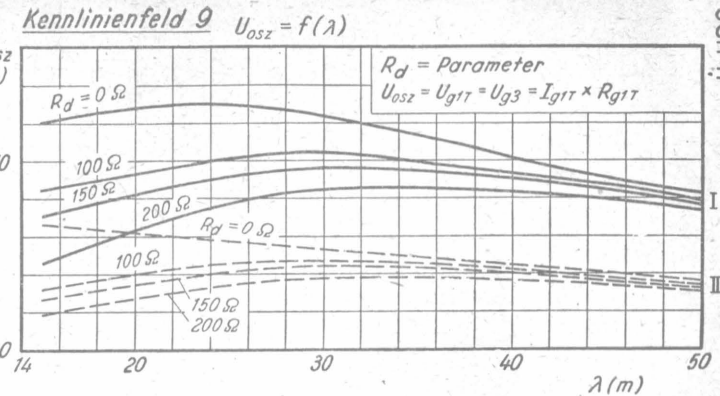
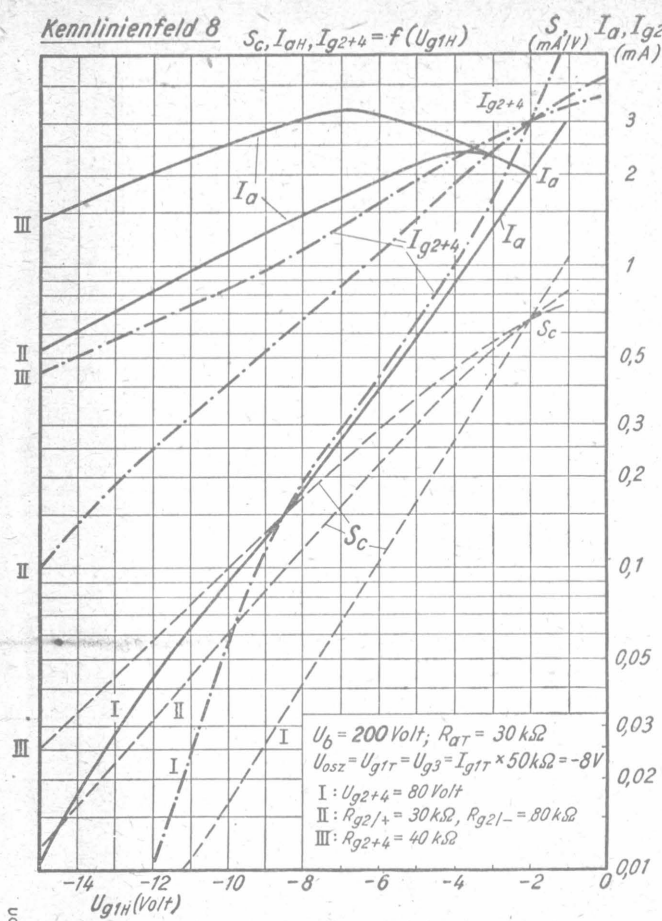


Kennlinienfeld 6 $I_{AH} = f(U_{g1H})$ Anodenströme



Kennlinienfeld 7 $I_{AH} = f(U_{g1H})$





Zur Konstanzhaltung der Schwingamplitude im Kurzwellengebiet ist eine zusätzliche Dämpfung „ R_d “ zweckmäßig. Das Kennlinienfeld zeigt die Abhängigkeit der Schwingamplitude von der Wellenlänge und von der Größe dieses Dämpfungswiderstandes. Es ist bei I: $U_b = 200$ Volt, bei II: $U_b = 100$ Volt.

Meßschaltung

